

ความสัมพันธ์ระหว่างองค์ประกอบของภาร์บอน และความเข้มข้นของผู้นลละอง
กับลักษณะของขั้นบรรยายการในเบ็ดเมือง

นางสาวสุวพร นมทาสุวรรณ

ศูนย์วิทยทรัพยากร

วิทยานิพนธ์นี้เป็นส่วนหนึ่งของการศึกษาตามหลักสูตรปริญญาวิทยาศาสตร์มหาบัณฑิต
สาขาวิชาวิทยาศาสตร์สิ่งแวดล้อม (สาขสาขาวิชา)

บัณฑิตวิทยาลัย จุฬาลงกรณ์มหาวิทยาลัย

ปีการศึกษา 2552

ลิขสิทธิ์ของจุฬาลงกรณ์มหาวิทยาลัย

THE RELATIONSHIP OF CARBON COMPOSITION CONCENTRATION OF PARTICULATE
AND ATMOSPHERIC PROFILE IN URBAN AREA

Miss Suwaporn Monthasuwan

ศูนย์วิทยทรัพยากร
มหาวิทยาลัยชุลalongkorn

A Thesis Submitted in Partial Fulfillment of the Requirements
for the Degree of Master of Science Program in Environmental Science
(Interdisciplinary Program)

Graduate School

Chulalongkorn University

Academic Year 2009

Copyright of Chulalongkorn University

521089

หัวข้อวิทยานิพนธ์

ความสัมพันธ์ระหว่างองค์ประกอบของภาร์บอน และความเข้มข้น
ของผู้คนละของ กับลักษณะของชั้นบรรยายกาศ ในเขตเมือง

โดย

นางสาวสุวพร นฤมาสุวรรณ

สาขาวิชา

วิทยาศาสตร์สิ่งแวดล้อม

อาจารย์ที่ปรึกษาวิทยานิพนธ์หลัก ผู้ช่วยศาสตราจารย์ ดร. สุรัตน์ บัวเลิศ

อาจารย์ที่ปรึกษาวิทยานิพนธ์ร่วม อาจารย์ ดร. ศิวัช พงษ์เพียจันทร์

บันทึกวิทยาลัย จุฬาลงกรณ์มหาวิทยาลัย อนุมัติให้นับวิทยานิพนธ์ฉบับนี้เป็น¹
ส่วนหนึ่งของการศึกษาตามหลักสูตรปริญญามหาบัณฑิต

.....

คณบดีบันทึกวิทยาลัย

(รองศาสตราจารย์ ดร. พรหอน เปี้ยบสมบูรณ์)

คณะกรรมการสอบวิทยานิพนธ์

..... ประธานกรรมการ

(รองศาสตราจารย์ ดร. สมใจ เพ็งปริชา)

..... อาจารย์ที่ปรึกษาวิทยานิพนธ์หลัก

(ผู้ช่วยศาสตราจารย์ ดร. สุรัตน์ บัวเลิศ)

..... อาจารย์ที่ปรึกษาวิทยานิพนธ์ร่วม

(อาจารย์ ดร. ศิวัช พงษ์เพียจันทร์)

..... กรรมการ

(ผู้ช่วยศาสตราจารย์ ดร. อานันท์ สนิทวงศ์ ณ อยุธยา)

..... กรรมการภาขนกมมหาวิทยาลัย

(ผู้ช่วยศาสตราจารย์ ดร. เอื้อมพร นัชณิมวงศ์)

สุวพร นพชาสุวรรณ: ความสัมพันธ์ระหว่างองค์ประกอบของคาร์บอน และความเข้มข้นของฝุ่นละออง กับลักษณะของชั้นบรรยากาศ ในเขตเมือง. (THE RELATIONSHIP OF CARBON COMPOSITION CONCENTRATION OF PARTICULATE AND ATMOSPHERIC PROFILE IN URBAN AREA) อ.ที่ปรึกษาวิทยานิพนธ์หลัก: ผศ.ดร.สุรัตน์ บัวเดช, อ.ที่ปรึกษาวิทยานิพนธ์ร่วม: ดร.ศิริวัช พงษ์เพียจันทร์, 167 หน้า

การศึกษาความสัมพันธ์ระหว่างความเข้มข้นของฝุ่นละอองกับลักษณะของชั้นบรรยากาศ โดยคิดตั้งเครื่องไฮวอลุ่มเก็บตัวอย่างฝุ่นละอองรวม ฝุ่นละอองขนาดไม่เกิน 10 ไมโครเมตร และอุปกรณ์ตรวจวัดอุตุนิยมวิทยาเพื่อ 3 ระดับความสูง ในเขตเมืองของ 3 จังหวัดในประเทศไทย คือ อ.หาดใหญ่ จ.สงขลา ที่ความสูง 30 60 และ 125 เมตร เขตราชเทวี กรุงเทพมหานครที่ความสูง 38 158 และ 328 เมตร และ อ.เมือง จ.เชียงใหม่ ที่ความสูง 12 52 และ 152 เมตร พร้อมกับตรวจวัดอุตุนิยมวิทยาชั้นบนเป็นเวลา 3 วันต่อเนื่อง โดยใช้วิธีหุ่นยนต์ภาคติดกับบล็อกนูน และห้องที่ประกอบทางเคมีในฝุ่นละอองขนาดไม่เกิน 10 ไมโครเมตร โดยวิเคราะห์สารไอออนิกด้วยเครื่อง Ion chromatography และองค์ประกอบคาร์บอน ด้วยเครื่อง Thermal/optical carbon analyzer ตามพิธีสาร IMPROVE ผลการศึกษาพบว่า กรุงเทพมหานคร และเชียงใหม่ มีความเข้มข้นของฝุ่นละอองรวม และฝุ่นละอองขนาดไม่เกิน 10 ไมโครเมตร แปรผันกับความสูง และ สัดส่วนของ PM_{10}/TSP แปรผันกับระดับความสูง แต่หาดใหญ่ ไม่ได้ผลเช่นนั้น ซึ่งเกิดจากปัจจัยทางกายภาพของจุดตรวจส่งผลให้เกิดความปั่นป่วนทางกายภาพ ทำให้เกิดการเรื่อยๆ ของสารสูงในชั้นกลาง เมื่อพิจารณาสัดส่วนของ PM_{10}/TSP กับอุตุนิยมวิทยาพบว่าไม่มีความสัมพันธ์กันอย่างมีนัยสำคัญ ซึ่งปัจจัยที่ส่งผลน่าจะมาจากการแพร่กระจายของฝุ่นละอองในชั้นบรรยากาศ

ผลการศึกษาร้อยละขององค์ประกอบของสารในฝุ่นละอองขนาดไม่เกิน 10 ไมโครเมตร ในกรุงเทพมหานคร ได้แก่ OC EC Na⁺ NH₄⁺ K⁺ Ca²⁺ Cl⁻ NO₃⁻ SO₄²⁻ และ องค์ประกอบอื่นๆ พบว่า องค์ประกอบอื่นๆ ที่อาจจะเกิดจากโลหะหนัก มีค่าสูงสุดในทุกระดับความสูง รองลงมาคือ OC SO₄²⁻ EC และ NO₃⁻ ซึ่งองค์ประกอบหลัก มีความเข้มข้นที่ความสูง 158 เมตร และ 328 เมตร ใกล้กับเชียงกัน อย่างมีนัยสำคัญ บวกกับได้ว่าแหล่งกำเนิดมาจากการปลดปล่อยการเผาไหม้เครื่องยนต์

ผลการศึกษาองค์ประกอบการ์บอนในฝุ่นละอองขนาดไม่เกิน 10 ไมโครเมตร ในกรุงเทพมหานคร ได้แก่ OC1 OC2 OC3 OC4 EC1 EC2 และ EC3 พบว่า มีความเข้มข้นของ OC3 EC1 OC2 เด่นที่สุด บวกกับได้ว่าแหล่งกำเนิดการ์บอนทั้งสามระดับความสูงของพื้นที่ศึกษา มาจากการปลดปล่อยไอเสียของ เครื่องยนต์เบนซิน ก๊าซปีโตรเลียมเหลว และดีเซล ความเข้มข้นของ OC และ EC แปรผันตรงกับ PM_{10} ในทุกระดับความสูง ส่งผลให้พบความเข้มข้นของ OC และ EC มีค่าสูงในช่วงเวลากลางคืนตาม PM_{10} สัดส่วนของ OC/EC มีค่าแปรผันตามความสูง และมีความสัมพันธ์กับความชื้นสัมพัทธ์ อุณหภูมิ และความสูงISM อย่างมีนัยสำคัญ

สาขาวิชา วิทยาศาสตร์สิ่งแวดล้อม ลายมือชื่อนิติศิลป์ ๗๙๘ ๒
ปีการศึกษา ๒๕๕๒ ลายมือชื่อ อ.ที่ปรึกษาวิทยานิพนธ์หลัก ๖๔๔
ลายมือชื่อ อ.ที่ปรึกษาวิทยานิพนธ์ร่วม ศิริวัช พงษ์

4989214720 : MAJOR ENVIRONMENTAL SCIENCE

KEYWORD: TSP /PM₁₀ / PM₁₀/TSP /CARBON COMPOSITION/ OC/EC

SUWAPORN MONTHASUWAN : THE RELATIONSHIP OF CARBON
COMPOSITION CONCENTRATION OF PARTICULATE AND ATMOSPHERIC
PROFILE IN URBAN AREA. THESIS ADVISOR: ASSIT. PROF. SURAT BUALER
, Ph.D., THESIS CO-ADVISOR: SIWATT PONGPIAJUN, Ph.D., 167 pp.

The study in relation between particulate concentrations and atmospheric condition by adopting the high-volume air sampler sampling total suspended particulate (TSP) and particulate matter less than 10 micron (PM₁₀) in 3 urban areas including Songkhla (Amphur Hat Yai, at the height level of 30, 60 and 125 meter), Bangkok (Rajdhani District, at the height level of 38, 158 and 328 meter) and Chiangmai (Amphur Muang, at the height level of 12, 52 and 152 meter) along with using radiosonde to measure meteorological conditions above for 3 days continuously. And to find the chemical composition in PM₁₀ by analyzing the organic substance that using ion chromatography and analyzing carbon composition that using thermal/optical carbon analyzer according to IMPROVE protocol. Study result revealed Bangkok and Chiangmai having the concentration of TSP and PM₁₀ varied reversely to the height and the ratio of PM₁₀/TSP varied reversely to the height level as well. In contrary to Amphur Hat Yai, the physical factors caused the turbulence that diluted the concentration of pollutant in middle height. The consideration of PM₁₀/TSP ratio and meteorological condition revealed that there was insignificant relation, the potential factor could be caused by direct sources.

The study result in percentage of PM₁₀ composition in Bangkok including OC, EC, Na, NH₄⁺, K⁺, Ca²⁺, Cl⁻, NO₃⁻, SO₄²⁻ and others species, found other species compositions might generated by heavy metal that was the highest figure at all height levels, the inferior including OC, SO₄²⁻, EC and NO₃⁻. The predominant had the concentrations at medium level (158 meter) and upper level (328 meter) in equivalent figures significantly that could be able to indicate those sources including the emission from motor vehicles combustion.

The study results of carbon composition in PM₁₀ in Bangkok including OC1, OC2, OC3, OC4, EC1, EC2 and EC3, found that OC3, EC1 and OC2 concentrations were predominant. This indicated that carbon sources of the studied 3-height levels were released from engine exhaust (gasoline, liquid petroleum gas and diesel). Concentration of OC and EC varied directly to PM₁₀ at all height levels that caused higher concentration of OC and EC at night time following PM₁₀. The ratio of OC/EC varied reversely to the height and related significantly to relative humidity, temperature and mixing height.

Field of Study : Environmental Science..... Student's Signature : S. Monthasuwann

Academic Year : 2009..... Advisor's Signature : Surat Bualer

Co-advisor's Signature : Siwatt Pongpiajun

กิตติกรรมประกาศ

วิทยานิพนธ์นี้เป็นส่วนหนึ่งของการถกเถียงของชั้นบรรณาการและผลต่อการเปลี่ยนแปลงองค์ประกอบของมาตรฐานทางอาชีวศึกษาสำหรับประเทศไทย ภาควิชาฯวิทยาศาสตร์ทั่วไป คณะวิทยาศาสตร์ จุฬาลงกรณ์มหาวิทยาลัย โดยได้รับทุนสนับสนุนการวิจัยจากสำนักงานคณะกรรมการวิจัยแห่งชาติ

ขอกราบขอบพระคุณผู้ช่วยศาสตราจารย์ ดร. สุรัตน์ บัวเลิศ อาจารย์ที่ปรึกษาวิทยานิพนธ์ และอาจารย์ ดร.ศิริวัช พงษ์เพียจันทร์ อาจารย์ที่ปรึกษาร่วม ที่ได้ให้ความรู้ คำแนะนำ ข้อคิดเห็น และช่วยแก้ไขวิทยานิพนธ์เล่มนี้ให้สมบูรณ์

ขอกราบขอบพระคุณ รองศาสตราจารย์ ดร. สมใจ เพ็งบริชา ที่กรุณาให้ความอนุเคราะห์ เป็นประธานกรรมการสอบวิทยานิพนธ์ รวมถึง ผู้ช่วยศาสตราจารย์ ดร. เอื่อมพร มัชณิมวงศ์ และ ผู้ช่วยศาสตราจารย์ ดร.อานันท์ สนิทวงศ์ ณ อุบลฯ ที่กรุณาเสียสละเวลาเป็นกรรมการในการสอบ วิทยานิพนธ์ พร้อมทั้งให้ข้อคิดเห็น ข้อเสนอแนะ และตรวจรายละเอียดในวิทยานิพนธ์เล่มนี้ให้ สมบูรณ์ยิ่งขึ้น

ขอขอบพระคุณผู้บริหาร โรงเรียนลีกการ์เด้นท์ และ โรงเรียน ในโวเทล เช่นกัน ฯ หาดใหญ่ โรงเรียนในหอกสีทึบ และ โรงเรียนในหอกสากล กรุงเทพมหานคร โรงเรียนเช่นกัน ฯ คงจะวัน โรงเรียนอินฟิรีลแลมปิง จ.เชียงใหม่ ที่ให้ความอนุเคราะห์ในการติดตั้งเครื่องมือตรวจวัดฝุ่นละออง กรมอุตุนิยมวิทยา หาดใหญ่ กรมอุตุนิยมวิทยา บางนา และ กรมอุตุนิยมวิทยา เชียงใหม่ ที่ทำการ ตรวจวัดอุตุนิยมวิทยาชั้นบน บริษัท นิคิส ซัพพลาย จำกัด ที่ให้ความอนุเคราะห์เข้าเครื่องมือ ตรวจวัดฝุ่นละออง และอุตุนิยมวิทยาพื้นผิว บัณฑิตวิทยาลัย จุฬาลงกรณ์มหาวิทยาลัย ได้ให้ความ อนุเคราะห์มอบทุนอุดหนุนการทำวิจัย ในการทำวิทยานิพนธ์นี้

ขอขอบพระคุณ ดร. Ho Kin Fai และคณะ จาก Research Center for Urban Environmental Technology & Management, Department of Civil & Structural Engineering, The Hong Kong Polytechnic University, Hong Kong, China ที่ให้ความอนุเคราะห์ในการวิเคราะห์องค์ประกอบ ภาร์บน และ น.ส.จิราภรณ์ พิพุฒ ที่ให้ความอนุเคราะห์ผลการตรวจวัดสาร ไอออนิกในฝุ่น ละอองขนาดไม่เกิน 10 ไมครอน ของพื้นที่ศึกษากรุงเทพมหานคร

ขอขอบพระคุณ ภาควิชาฯวิทยาศาสตร์ทั่วไป และสาขาวิชาฯวิทยาศาสตร์สิ่งแวดล้อม คณะวิทยาศาสตร์ ที่ได้อี๊อฟีสสถานที่และเครื่องมือในการทำวิจัย ขอขอบคุณเจ้าหน้าที่ภาควิชา วิทยาศาสตร์ทั่วไป รวมทั้ง พี่ๆ และน้องๆ ในโครงการวิจัยฯ ที่มีส่วนร่วมในการทำวิจัย และให้ ความช่วยเหลือ ทั้งกำลังกาย และกำลังใจ ในการทำงานวิจัยด้วยคือลดลงมา

สุดท้ายนี้ขอกราบขอบพระคุณ บิความารดา ที่ให้โอกาส นุ่น น้ำ และคิน ที่เป็นกำลังใจที่ดี ร่วมทั้งให้การสนับสนุนในการศึกษา

สารบัญ

	หน้า
บทคัดย่อภาษาไทย.....	๔
บทคัดย่อภาษาอังกฤษ.....	๕
กิตติกรรมประกาศ.....	๙
สารบัญ.....	๊
สารบัญตาราง.....	๘
สารบัญภาพ.....	๙
บทที่	
1 บทนำ.....	1
1.1 ที่มาและความสำคัญของปัจจุบัน.....	1
1.2 วัตถุประสงค์ของการวิจัย.....	2
1.3 ขอบเขตของการศึกษา.....	2
1.4 ประโยชน์ที่คาดว่าจะได้รับ.....	3
2 เอกสารและงานวิจัยที่เกี่ยวข้อง.....	4
2.1 ปัจจุบันลักษณะทางอากาศในประเทศไทย.....	4
2.2 ฝุ่นละอองในอากาศ.....	5
2.2.1 ความหมายของฝุ่นละออง	5
2.2.2 แหล่งกำเนิดของฝุ่นละออง	6
2.2.3 ปัจจัยที่มีผลต่อกำลังเข้มข้นและการแพร่กระจายของฝุ่นละอองในบรรยากาศ	8
2.3 องค์ประกอบทางเคมีของฝุ่นละออง.....	11
2.3.1 องค์ประกอบของคาร์บอนในฝุ่นละอองขนาดไม่เกิน 10 ไมโครเมตร.....	11
2.3.2 สารไอโอดินิก ในฝุ่นละอองขนาดไม่เกิน 10 ไมโครเมตร.....	12
2.4 งานวิจัยที่เกี่ยวข้อง.....	14
3 วิธีดำเนินการศึกษา.....	21
3.1 พื้นที่ศึกษาและสถานที่เก็บตัวอย่าง.....	21
3.1.1 อําเภอหาดใหญ่ จังหวัดสงขลา.....	21
3.1.2 เขตราชเทวี กรุงเทพมหานคร.....	23
3.1.3 อําเภอมีอง จังหวัดเชียงใหม่.....	26
3.2 การศึกษาข้อมูลทางอุดมวิทยา.....	28
3.2.1 การเตรียมการศึกษา.....	28

บทที่	หน้า
3.2.2 การคำนวณการเก็บตัวอย่าง.....	28
3.2.3 การวิเคราะห์ตัวอย่าง.....	33
3.2.4 การรวมรวมและวิเคราะห์ข้อมูล.....	38
4 ผลและวิจารณ์ผลการศึกษา.....	40
4.1 การเปลี่ยนแปลงความเข้มข้น และสัดส่วนของฝุ่นละออง ในรอบวัน ตามชั้น ความสูง	40
4.1.1 ความเข้มข้นของฝุ่นละอองรวม (TSP) และฝุ่นละอองขนาดไม่เกิน 10 ไมโครเมตร (PM_{10})	40
4.1.2 สัดส่วนระหว่างฝุ่นละอองขนาดไม่เกิน 10 ไมโครเมตร และ ฝุ่นละออง รวม (PM_{10}/TSP) ในรอบวันเฉลี่ย.....	56
4.2 องค์ประกอบทางเคมีในฝุ่นละอองขนาดไม่เกิน 10 ไมโครเมตร บริเวณพื้นที่ ศึกษา เขตราชเทวี กรุงเทพมหานคร.....	64
4.3 องค์ประกอบการรับอนและสัดส่วนขององค์ประกอบการรับอน ในฝุ่นละอองขนาด ไม่เกิน 10 ไมโครเมตร ตามระดับความสูง พื้นที่ศึกษา เขตราชเทวี กรุงเทพมหานคร.....	66
4.3.1 องค์ประกอบของสารบอนในฝุ่นละอองขนาดไม่เกิน 10 ไมโครเมตร และ ความเข้มข้นในรอบวันเฉลี่ย ตามระดับความสูง.....	67
4.3.2 สัดส่วนของอินทรีย์สารบอนกับชาติอินทรีย์ และอินทรีย์สารบอนขั้นที่สอง ในฝุ่นละอองขนาดไม่เกิน 10 ไมโครเมตร พื้นที่ศึกษา เขตราชเทวี กรุงเทพมหานคร.....	76
4.4 ความสัมพันธ์ระหว่างสัดส่วนของฝุ่นละอองขนาดไม่เกิน 10 ไมโครเมตร และฝุ่น ละอองรวม (PM_{10}/TSP) สัดส่วนของอินทรีย์สารบอน และชาติสารบอน (OC/EC) กับลักษณะทางอุตุนิยมวิทยา ตามระดับความสูง.....	80
4.4.1 ความสัมพันธ์ระหว่างสัดส่วนของฝุ่นละอองขนาดไม่เกิน 10 ไมโครเมตร และฝุ่นละอองรวม (PM_{10}/TSP) กับลักษณะทางอุตุนิยมวิทยา ตามระดับความสูง	81
4.4.2 ความสัมพันธ์ระหว่างสัดส่วนของอินทรีย์สารบอน และชาติสารบอน (OC/EC) กับลักษณะทางอุตุนิยมวิทยา ตามระดับความสูง พื้นที่ศึกษา เขตราช เทวี กรุงเทพมหานคร.....	86

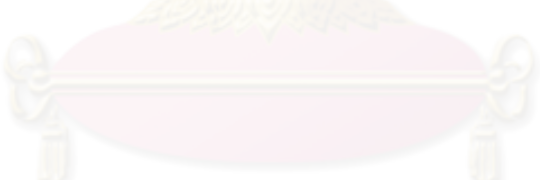
บทที่	หน้า
๕ สรุปผลการศึกษาและข้อเสนอแนะ.....	89
5.1 สรุปผลการศึกษา.....	89
5.1.1 การเปลี่ยนแปลงความเข้มข้น และสัดส่วนของฝุ่นละออง ในรอบวัน ตามชั้นความสูง.....	89
5.1.2 องค์ประกอบทางเคมีในฝุ่นละอองขนาดไม่เกิน 10 ไมโครเมตร บริเวณพื้นที่ศึกษา เขตราชเทวี กรุงเทพมหานคร.....	90
5.1.3 องค์ประกอบคาร์บอนและสัดส่วนขององค์ประกอบการบ่อน ในการลดอัตราการฟืดหิน ไม่เกิน 10 ไมโครเมตร ตามระดับความสูง พื้นที่ศึกษา เขตราชเทวี กรุงเทพมหานคร.....	91
5.1.4 ความสัมพันธ์ระหว่างสัดส่วนของฝุ่นละอองขนาดไม่เกิน 10 ไมโครเมตร และฝุ่นละอองรวม (PM_{10} /TSP) สัดส่วนของอินทรีย์การบ่อน และชาตุการบ่อน (OC/EC) กับลักษณะทางอุตุนิยมวิทยา ตามระดับความสูง.....	93
5.2 ข้อเสนอแนะ.....	95
รายการอ้างอิง.....	96
ภาคผนวก.....	100
ภาคผนวก ก ความเข้มข้นของ PM_{10} (ในกรัมต่อตรามิลลิเมตร) ในบรรยากาศ บริเวณใกล้พื้นที่ศึกษา ระหว่างปี พ.ศ. 2547-2551.....	101
ภาคผนวก ข ความเข้มข้นของฝุ่นละอองรวม และ ฝุ่นละอองขนาดไม่เกิน 10 ไมโครเมตร.....	105
ภาคผนวก ค องค์ประกอบทางเคมี และ องค์ประกอบของการบ่อน	
ในฝุ่นละอองขนาดไม่เกิน 10 ไมโครเมตร.....	114
ภาคผนวก ง อุตุนิยมวิทยาพื้นผิว.....	131
ภาคผนวก จ ผลการวิเคราะห์ทางสถิติ.....	147
ประวัติผู้เขียนวิทยานิพนธ์.....	167

สารบัญตาราง

ตารางที่		หน้า
4.1	ค่าต่ำสุด-สูงสุด และค่าเฉลี่ยของความเข้มข้นของ TSP และ PM_{10} (ในโครงการต่ออุกบาก์เมตร) ระหว่างวันที่ 17-20 ธันวาคม พ.ศ. 2550 พื้นที่ศึกษาอ่าเภอหาดใหญ่ จังหวัดสงขลา.....	42
4.2	ความเข้มข้นของของ TSP และ PM_{10} ในรอบวันเฉลี่ย (ในโครงการต่ออุกบาก์เมตร) ระหว่างวันที่ 17-20 ธันวาคม พ.ศ. 2550 พื้นที่ศึกษาอ่าเภอหาดใหญ่ จังหวัดสงขลา.....	42
4.3	การเปลี่ยนแปลงความเข้มข้นของ TSP และ PM_{10} ($\mu g/m^3$) ต่อความสูง 1 เมตร ในรอบวันเฉลี่ย ระหว่างวันที่ 17-20 ธันวาคม พ.ศ. 2550 พื้นที่ศึกษา อ่าเภอหาดใหญ่ จังหวัดสงขลา.....	45
4.4	ค่าต่ำสุด-สูงสุด และค่าเฉลี่ยความเข้มข้นของ TSP และ PM_{10} (ในโครงการต่ออุกบาก์เมตร) ระหว่างวันที่ 18-21 กุมภาพันธ์ พ.ศ. 2551 บริเวณพื้นที่ศึกษา เขตราชเทวี กรุงเทพมหานคร.....	47
4.5	ความเข้มข้นของ TSP และ PM_{10} ในรอบวันเฉลี่ย ระหว่างวันที่ 18-21 กุมภาพันธ์ พ.ศ. 2551 บริเวณพื้นที่ศึกษา เขตราชเทวี กรุงเทพมหานคร.....	47
4.6	การเปลี่ยนแปลงความเข้มข้นของ TSP และ PM_{10} ($\mu g/m^3$) ต่อความสูง 1 เมตร ในรอบวันเฉลี่ย ระหว่างวันที่ 18-21 กุมภาพันธ์ พ.ศ. 2551 บริเวณพื้นที่ศึกษา เขตราชเทวี กรุงเทพมหานคร.....	50
4.7	ค่าต่ำสุด-สูงสุด และค่าเฉลี่ยความเข้มข้นของ TSP และ PM_{10} (ในโครงการต่ออุกบาก์เมตร) ระหว่างวันที่ 25-28 กุมภาพันธ์ พ.ศ. 2551 บริเวณพื้นที่ศึกษา อ่าเภอมีอง จังหวัดเชียงใหม่.....	52
4.8	ความเข้มข้นของ TSP และ PM_{10} ในรอบวันเฉลี่ย (ในโครงการต่ออุกบาก์เมตร) ระหว่างวันที่ 25-28 กุมภาพันธ์ พ.ศ. 2551 บริเวณพื้นที่ศึกษา อ่าเภอมีอง จังหวัดเชียงใหม่.....	52
4.9	การเปลี่ยนแปลงความเข้มข้นของ TSP และ PM_{10} ($\mu g/m^3$) ต่อความสูง 1 เมตร ในรอบวันเฉลี่ย ระหว่างวันที่ 25-28 กุมภาพันธ์ พ.ศ. 2551 บริเวณพื้นที่ศึกษา อ่าเภอมีอง จังหวัดเชียงใหม่.....	55
4.10	ค่าต่ำสุด-สูงสุด และค่าเฉลี่ยของ PM_{10}/TSP ระหว่างวันที่ 17-20 ธันวาคม พ.ศ. 2550 บริเวณพื้นที่ศึกษา อ่าเภอหาดใหญ่ จังหวัดสงขลาอุตุนิยมวิทยา.....	57

ตารางที่		หน้า
4.11	สัดส่วนของ PM_{10}/TSP ในรอบวันเฉลี่ย ระหว่างวันที่ 17-20 ธันวาคม พ.ศ. 2550 บริเวณพื้นที่ศึกษา อัมเภอหาดใหญ่ จังหวัดสงขลา.....	57
4.12	ค่าต่ำสุด-สูงสุด และค่าเฉลี่ยของสัดส่วนของ PM_{10}/TSP ระหว่างวันที่ 18-21 กุมภาพันธ์ พ.ศ. 2551 บริเวณพื้นที่ศึกษา เขตราชเทวี กรุงเทพมหานคร.....	59
4.13	สัดส่วนของ PM_{10}/TSP ในรอบวันเฉลี่ย ระหว่างวันที่ 18-21 กุมภาพันธ์ พ.ศ. 2551 บริเวณพื้นที่ศึกษา เขตราชเทวี กรุงเทพมหานคร.....	60
4.14	ค่าต่ำสุด-สูงสุด และค่าเฉลี่ยสัดส่วนของ PM_{10}/TSP ระหว่างวันที่ 25-28 กุมภาพันธ์ พ.ศ. 2551 บริเวณพื้นที่ศึกษา อัมเภอมีอง จังหวัดเชียงใหม่.....	62
4.15	สัดส่วนของ PM_{10}/TSP ในรอบวันเฉลี่ย ระหว่างวันที่ 25-28 กุมภาพันธ์ พ.ศ. 2551 บริเวณพื้นที่ศึกษา อัมเภอมีอง จังหวัดเชียงใหม่.....	62
4.16	ค่าต่ำสุด-สูงสุดและค่าเฉลี่ยของสัดส่วนขององค์ประกอบอนทางเคมีโดยน้ำหนัก (%) ระหว่างวันที่ 18-21 กุมภาพันธ์ พ.ศ. 2551 บริเวณพื้นที่ศึกษา เขตราชเทวี กรุงเทพมหานคร.....	65
4.17	ค่าต่ำสุด-สูงสุด และค่าเฉลี่ยขององค์ประกอบอนการ์บอนใน PM_{10} (ไมโครกรัมต่อสูกนาศก์เมตร) ระหว่างวันที่ 18-21 กุมภาพันธ์ พ.ศ. 2551 บริเวณพื้นที่ศึกษา เขตราชเทวี กรุงเทพมหานคร.....	68
4.18	ความเข้มข้นขององค์ประกอบอนการ์บอนใน PM_{10} ในรอบวันเฉลี่ย (ไมโครกรัมต่อสูกนาศก์เมตร) ระหว่างวันที่ 18-21 กุมภาพันธ์ พ.ศ. 2551 บริเวณพื้นที่ศึกษา เขตราชเทวี กรุงเทพมหานคร (ชั้นถ่าง).....	68
4.19	ความเข้มข้นขององค์ประกอบอนการ์บอนใน PM_{10} ในรอบวันเฉลี่ย (ไมโครกรัมต่อสูกนาศก์เมตร) ระหว่างวันที่ 18-21 กุมภาพันธ์ พ.ศ. 2551 บริเวณพื้นที่ศึกษา เขตราชเทวี กรุงเทพมหานคร (ชั้นกลาง).....	70
4.20	ความเข้มข้นขององค์ประกอบอนการ์บอนใน PM_{10} (ไมโครกรัมต่อสูกนาศก์เมตร) ในรอบวันเฉลี่ย ระหว่างวันที่ 18-21 กุมภาพันธ์ พ.ศ. 2551 บริเวณพื้นที่ศึกษา เขตราชเทวี กรุงเทพมหานคร (ชั้นบน).....	71
4.21	ร้อยละขององค์ประกอบอนการ์บอนใน PM_{10} ในรอบวันเฉลี่ย ตามระดับความสูง บริเวณพื้นที่ศึกษา เขตราชเทวี กรุงเทพมหานคร.....	74
4.22	ร้อยละขององค์ประกอบอนการ์บอนและความเข้มข้นขององค์ประกอบอน การ์บอน ตามระดับความสูง บริเวณพื้นที่ศึกษา เขตราชเทวี กรุงเทพมหานคร.....	75

ตารางที่		หน้า
4.23	ร้อยละของ OC และ EC ใน TC ตามระดับความสูง บริเวณพื้นที่ศึกษา เขตราชเทวี กรุงเทพมหานคร.....	75
4.24	สัดส่วนของ OC/EC ใน PM ₁₀ ระหว่างวันที่ 18-21 กุมภาพันธ์ พ.ศ. 2551 ตามระดับความสูง บริเวณพื้นที่ศึกษา เขตราชเทวี กรุงเทพมหานคร.....	77
4.25	สัดส่วนของ OC/EC ใน PM ₁₀ ในรอบวันเดียวกันระหว่างวันที่ 18-21 กุมภาพันธ์ พ.ศ. 2551 ตามระดับความสูง บริเวณพื้นที่ศึกษา เขตราชเทวี กรุงเทพมหานคร.....	77
4.26	ความเข้มข้นของ SOC (ไมโครกรัมต่อลูกบาศก์เมตร) และร้อยละของ SOC/OC ในรอบวันเดียวกันระหว่างวันที่ 18-21 กุมภาพันธ์ พ.ศ. 2551 ตามระดับความสูง บริเวณพื้นที่ศึกษา เขตราชเทวี กรุงเทพมหานคร.....	79
4.27	ความสูงพสม (เมตร) ระหว่างวันที่ ระหว่างวันที่ 18-20 ธันวาคม พ.ศ. 2550 บริเวณพื้นที่ศึกษา อัมเภอหาดใหญ่ จังหวัดสงขลา.....	82
4.28	ความสูงพสม (เมตร) ระหว่างวันที่ 19-21 กุมภาพันธ์ พ.ศ. 2551 บริเวณพื้นที่ศึกษา เขตบางนา กรุงเทพมหานคร.....	84
4.29	ความสูงพสม (เมตร) ระหว่างวันที่ 26-28 กุมภาพันธ์ พ.ศ. 2551 บริเวณพื้นที่ศึกษา อัมเพลเมือง จังหวัดเชียงใหม่.....	85



ศูนย์วิทยทรัพยากร จุฬาลงกรณ์มหาวิทยาลัย

สารบัญภาพ

ภาพที่		หน้า
2.1	ความสัมพันธ์ระหว่างความเร็วลมและความสูง.....	10
2.2	ระยะเวลาการคงตัวของฝุ่นละออง.....	11
2.3	องค์ประกอบของอนุภาคคาร์บอน.....	12
3.1	แผนที่อำเภอหาดใหญ่ จังหวัดสงขลา.....	22
3.2	แผนที่ตั้งจุดเก็บตัวอย่างอำเภอหาดใหญ่ จังหวัดสงขลา.....	23
3.3	แผนที่เขตราชเทวี กรุงเทพมหานคร.....	24
3.4	แผนที่ตั้งจุดเก็บตัวอย่างกรุงเทพมหานคร.....	26
3.5	แผนที่ อำเภอเมือง จังหวัดเชียงใหม่.....	27
3.6	แผนที่ตั้งจุดเก็บตัวอย่างอำเภอเมือง จังหวัดเชียงใหม่.....	28
3.7	อุปกรณ์ตรวจวัดอุตุนิยมวิทยา.....	29
3.8	เครื่องเก็บตัวอย่างฝุ่นละออง High volume air sampler.....	32
3.9	เครื่องมือและอุปกรณ์.....	32
3.10	Ion Chromatography Methrom รุ่น Modular IC.....	35
3.11	Thermal/Optical Carbon Analyzer DRI Model 2001.....	37
3.12	แผนผังแสดงขั้นตอนการดำเนินงาน.....	39
4.1	ความเข้มข้นของ TSP ในรอบวันเฉลี่ย (ไมโครกรัมต่อลูกบาศก์เมตร) ระหว่าง วันที่ 17-20 ธันวาคม พ.ศ. 2550 บริเวณพื้นที่ศึกษา ออำเภอหาดใหญ่ จังหวัด สงขลา.....	43
4.2	ความเข้มข้นของ PM_{10} ในรอบวันเฉลี่ย (ไมโครกรัมต่อลูกบาศก์เมตร) ระหว่าง วันที่ 17-20 ธันวาคม พ.ศ. 2550 บริเวณพื้นที่ศึกษา ออำเภอหาดใหญ่ จังหวัด สงขลา.....	43
4.3	ค่าสัมประสิทธิ์สหสัมพันธ์ (R^2) ระหว่าง TSP กับ PM_{10} บริเวณพื้นที่ศึกษา อำเภอหาดใหญ่ จังหวัดสงขลา.....	43
4.4	ความเข้มข้นของ TSP ในรอบวันเฉลี่ย (ไมโครกรัมต่อลูกบาศก์เมตร) ระหว่าง วันที่ 18-21 กุมภาพันธ์ พ.ศ. 2551 บริเวณพื้นที่ศึกษา เขตราชเทวี กรุงเทพมหานคร.....	48

ภาคที่		หน้า
4.5	ความเข้มข้นของ PM_{10} ในรอบวันเฉลี่ย (ไม่ได้รวมต่ออุกบาทก์เมตร) ระหว่างวันที่ 18-21 กุมภาพันธ์ พ.ศ. 2551 บริเวณพื้นที่ศึกษา เขตราชเทวี กรุงเทพมหานคร.....	48
4.6	ค่าสัมประสิทธิ์สหสัมพันธ์ (R^2) ระหว่าง TSP กับ PM_{10} บริเวณพื้นที่ศึกษา เขตราชเทวี กรุงเทพมหานคร.....	48
4.7	ความเข้มข้นของ TSP ในรอบวันเฉลี่ย (ไม่ได้รวมต่ออุกบาทก์เมตร) ระหว่างวันที่ 25-28 กุมภาพันธ์ พ.ศ. 2551 บริเวณพื้นที่ศึกษา อำเภอเมือง จังหวัดเชียงใหม่.....	53
4.8	ความเข้มข้นของ PM_{10} ในรอบวันเฉลี่ย (ไม่ได้รวมต่ออุกบาทก์เมตร) ระหว่างวันที่ 25-28 กุมภาพันธ์ พ.ศ. 2551 บริเวณพื้นที่ศึกษา อำเภอเมือง จังหวัดเชียงใหม่.....	53
4.9	ค่าสัมประสิทธิ์สหสัมพันธ์ (R^2) ระหว่าง TSP กับ PM_{10} บริเวณพื้นที่ศึกษา อำเภอเมือง จังหวัดเชียงใหม่.....	53
4.10	สัดส่วนของ PM_{10}/TSP ในรอบวันเฉลี่ย ระหว่างวันที่ 17-20 ธันวาคม พ.ศ. 2550 บริเวณพื้นที่ศึกษา อำเภอหาดใหญ่ จังหวัดสงขลา.....	58
4.11	สัดส่วนของ PM_{10}/TSP ในรอบวันเฉลี่ย ระหว่างวันที่ 18-21 กุมภาพันธ์ พ.ศ. 2551 บริเวณพื้นที่ศึกษา เขตราชเทวี กรุงเทพมหานคร.....	60
4.12	สัดส่วนของ PM_{10}/TSP ในรอบวันเฉลี่ย ระหว่างวันที่ 25-28 กุมภาพันธ์ พ.ศ. 2551 บริเวณพื้นที่ศึกษา อำเภอเมือง จังหวัดเชียงใหม่.....	63
4.13	ค่าเฉลี่ยของสัดส่วนขององค์ประกอบทางเคมีโดยน้ำหนัก (%) ระหว่างวันที่ 18-21 กุมภาพันธ์ พ.ศ. 2551 บริเวณพื้นที่ศึกษา เขตราชเทวี กรุงเทพมหานคร.....	65
4.14	ความเข้มข้นขององค์ประกอบการบันบนใน PM_{10} ในรอบวันเฉลี่ย (ไม่ได้รวมต่ออุกบาทก์เมตร) ระหว่างวันที่ 18-21 กุมภาพันธ์ พ.ศ. 2551 บริเวณพื้นที่ศึกษา เขตราชเทวี กรุงเทพมหานคร (ชั้นล่าง).....	69
4.15	ความเข้มข้นขององค์ประกอบการบันบนใน PM_{10} ในรอบวันเฉลี่ย (ไม่ได้รวมต่ออุกบาทก์เมตร) ระหว่างวันที่ 18-21 กุมภาพันธ์ พ.ศ. 2551 บริเวณพื้นที่ศึกษา เขตราชเทวี กรุงเทพมหานคร (ชั้นกลาง).....	70
4.16	ความเข้มข้นขององค์ประกอบการบันบนใน PM_{10} (ไม่ได้รวมต่ออุกบาทก์เมตร) ในรอบวันเฉลี่ย ระหว่างวันที่ 18-21 กุมภาพันธ์ พ.ศ. 2551 บริเวณพื้นที่ศึกษา เขตราชเทวี กรุงเทพมหานคร (ชั้นบน).....	72
4.17	สัมประสิทธิ์สหสัมพันธ์ของ OC และ EC ใน PM_{10} ระหว่างวันที่ 18-21 กุมภาพันธ์ พ.ศ. 2551 ตามระดับความสูง บริเวณพื้นที่ศึกษา เขตราชเทวี กรุงเทพมหานคร.....	74

ภาคที่		หน้า
4.18	สัดส่วนของ OC/EC ในฝุ่นละอองขนาดไม่เกิน 10 ไมโครเมตร ในรอบวันเฉลี่ยระหว่างวันที่ 18-21 กุมภาพันธ์ พ.ศ. 2551 ตามระดับความสูง บริเวณพื้นที่ศึกษา เขตราชเทวี กรุงเทพมหานคร.....	78
4.19	SOC ใน PM_{10} ในรอบวันเฉลี่ย ระหว่างวันที่ 18-21 กุมภาพันธ์ พ.ศ. 2551 ตาม ระดับความสูง บริเวณพื้นที่ศึกษา เขตราชเทวี กรุงเทพมหานคร.....	80
4.20	ร้อยละของ SOC/OC (%) ในรอบวันเฉลี่ย ระหว่างวันที่ 18-21 กุมภาพันธ์ พ.ศ. 2551 ตามระดับความสูง บริเวณพื้นที่ศึกษา เขตราชเทวี กรุงเทพมหานคร.....	80
4.21	ทิศทางและความเร็วลม ระหว่างวันที่ 17-20 ธันวาคม พ.ศ. 2550 บริเวณชั้นล่าง ชั้นกลาง และชั้นบน ตามลำดับจากซ้ายไปขวา พื้นที่ศึกษา อ้ากอหาดใหญ่ จังหวัดสงขลา.....	81
4.22	สัดส่วนของ PM_{10}/TSP กับความสูงผสม (m) ตามระดับความสูง ระหว่างวันที่ 18-20 ธันวาคม พ.ศ. 2550 บริเวณพื้นที่ศึกษา อ้ากอหาดใหญ่ จังหวัดสงขลา....	82
4.23	ทิศทางและความเร็วลม ระหว่างวันที่ 18-21 กุมภาพันธ์ พ.ศ. 2551 บริเวณชั้นล่าง ชั้นกลาง และชั้นบน ตามลำดับจากซ้ายไปขวา พื้นที่ศึกษา เขตราชเทวี กรุงเทพมหานคร.....	83
4.24	สัดส่วนของ PM_{10}/TSP กับความสูงผสม (m) ตามระดับความสูง ระหว่างวันที่ 19-21 กุมภาพันธ์ พ.ศ. 2551 บริเวณพื้นที่ศึกษา กรุงเทพมหานคร.....	84
4.25	ทิศทางและความเร็วลม ระหว่างวันที่ 25-28 กุมภาพันธ์ พ.ศ. 2551 บริเวณชั้น ล่าง ชั้น กกลาง และชั้นบน ตามลำดับจากซ้ายไปขวา พื้นที่ศึกษา อ้ากอเมือง จังหวัดเชียงใหม่.....	85
4.26	สัดส่วนของ PM_{10}/TSP กับความสูงผสม (m) ตามระดับความสูง ระหว่างวันที่ 26-28 กุมภาพันธ์ พ.ศ. 2551 พื้นที่ศึกษา อ้ากอเมือง จังหวัดเชียงใหม่.....	86
4.27	สัดส่วนของ OC/EC กับความสูงผสม (m) ตามระดับความสูง ระหว่างวันที่ 18- 21 กุมภาพันธ์ พ.ศ. 2551 พื้นที่ศึกษา เขตราชเทวี กรุงเทพมหานคร.....	87

บทที่ 1

บทนำ

1.1 ที่มาและความสำคัญของปัญหา

ปัญหามลพิษทางด้านอากาศเป็นปัญหาสำคัญปัญหานหนึ่งที่เกิดขึ้นในเขตเมือง หรือเมืองที่มีการพัฒนาทางเศรษฐกิจ เนื่องจากมลพิษทางอากาศก่อให้เกิดผลกระทบด้านสุขภาพอนามัยของมนุษย์ การบดบังรังสีความอาทิตย์ ลดทัศนวิสัยในการมองเห็น เป็นต้น และบังส่างผลกระทบต่อเนื่องไปยังปัญหาด้านอันตรายมา เช่น การลดลงของจำนวนนักท่องเที่ยวเนื่องจากมีหมอกควันปกคลุมในภาคเหนือ เป็นต้น ปัจจัยที่ส่งผลต่อความเข้มข้นของฝุ่นละออง เช่น แหล่งกำเนิด การเปลี่ยนแปลงทางอุตุนิยมวิทยา ความเข้มข้นของรังสีจากดวงอาทิตย์ อุณหภูมิ ความชื้นสัมพันธ์ ความเร็วลม ความสามารถในการคงตัวอยู่ในบรรยายกาศ กิจกรรมการใช้ประโยชน์ของมนุษย์ เป็นต้น ส่งผลต่อการสะสมและการกระจายตัวของฝุ่นละอองในบรรยายกาศ และก่อให้เกิดการเปลี่ยนแปลงลักษณะและความรุนแรงของปัญหามลพิษทางอากาศ ดังเช่นปัญหาที่เกิดทางภาคเหนือของประเทศไทย พนความเข้มข้นของฝุ่นละอองขนาดไม่เกิน 10 ไมโครเมตรสูงเกินค่ามาตรฐาน สาเหตุหลักเกิดจากการเผาไหม้ หรือเผาหญ้าที่เป็นกิจวัตรของคนในท้องถิ่น และเป็นพื้นที่ที่มีอุณหภูมิหนาวเย็น ทำให้เกิดการคงตัวของฝุ่นละอองเป็นเวลานาน (Stable) เนื่องจากเกิดสภาพอากาศที่เป็นอุณหภูมิ高低 (Inversion) ส่งผลให้ระดับความสูงผสม (Mixing Height) ลดต่ำลง ทำให้ฝุ่นละอองที่สะสมอยู่มีความเข้มข้นสูงขึ้น หรือกรณีหมอกควันปกคลุมทางภาคใต้ของประเทศไทย เนื่องจากการขนถ่ายจากมวลอากาศระยะไกล (long range transport) นำฝุ่นละอองที่เกิดไฟป่าจากประเทศอินโดนีเซียเข้ามายังประเทศไทย ฝุ่นละอองนี้อาจเป็นตัวการสำคัญของมลพิษทางอากาศในเขตเมือง ซึ่งส่วนใหญ่มีแหล่งกำเนิดจากการจราจร เช่นเผาไหม้เชื้อเพลิงดีเซล ก๊าซโซลิน การทำไฟไหม้ช่วงวล หรือการทำไฟไหม้ที่ไม่สมบูรณ์ การก่อสร้าง การปลดปล่อยจากโรงงานอุตสาหกรรม และในฝุ่นละอองขนาดไม่เกิน 10 ไมโครเมตรจะมีองค์ประกอบของคาร์บอนอนอxygenated ถึงร้อยละ 70 ประกอบไปด้วยอินทรีคาร์บอน(Organic Carbon; OC) และธาตุคาร์บอน(Elemental Carbon; EC) อินทรีคาร์บอนเป็นสารประกอบอะโรฟิกติก อะโรมาติก โพลีไซคลิก อะโรมาติก ไฮโดรคาร์บอน (Polycyclic Aromatic Hydrocarbons; PAHs) และ โพลีคลอรีโนเดต ไบฟีนิล (Polychlorinated Biphenyls; PCBs) เป็นหลัก ส่วนธาตุคาร์บอนจะเกิดจากการเผาไหม้ที่ไม่สมบูรณ์ของเชื้อเพลิงดีเซล และเป็นตัวสำคัญที่คุ้มครองรังสีจากดวงอาทิตย์ (Solar Radiation) ซึ่งจะส่งผลกระทบต่อระบบภูมิคุ้มกันและสิ่งแวดล้อม จากที่กล่าวมาข้างต้นถึงปัจจัยทางสิ่งแวดล้อมและสภาพทางอุตุนิยมวิทยา ตามระดับความสูงที่แยกค่างกัน น่าจะส่งผลต่อการสะสมและการกระจายตัวของฝุ่นละออง และการเกิดปฏิกิริยา

ขององค์ประกอบนั้นทำให้มีความสนใจในการศึกษาถึงความสัมพันธ์ระหว่างองค์ประกอบนั้น ความเข้มข้นของฝุ่นละออง กับลักษณะของชั้นบรรยากาศ ในเขตเมือง ซึ่งการศึกษามูลสารทั่วไปสามารถระดับความสูงนี้เป็นงานใหม่ที่ซับซ้อนมาก การศึกษาในประเทศไทยมักก่อตัวมาจากการใช้เป็นข้อมูลในการแก้ปัญหาหรือหานมาตรการลดความพิษทางอากาศที่เกิดจากฝุ่นละอองและองค์ประกอบของคาร์บอนในประเทศไทยต่อไป

1.2 วัตถุประสงค์ของการวิจัย

1. เพื่อศึกษาสัดส่วนระหว่างความเข้มข้นของฝุ่นละอองขนาดไม่เกิน 10 ไมโครเมตร กับฝุ่นละอองรวมในแต่ละช่วงเวลา ตามระดับความสูง ในเขตเมือง
2. เพื่อศึกษาสัดส่วนระหว่างความเข้มข้นของอินทรีย์คาร์บอนและธาตุคาร์บอนในฝุ่นละอองขนาดไม่เกิน 10 ไมโครเมตร ในแต่ละช่วงเวลา ตามระดับความสูง ในเขตเมืองของกรุงเทพมหานคร
3. เพื่อศึกษาความสัมพันธ์ของลักษณะของชั้นบรรยากาศและระดับความสูงผสาน กับสัดส่วนระหว่างความเข้มข้นของฝุ่นละอองขนาดไม่เกิน 10 ไมโครเมตร กับฝุ่นละอองรวมและสัดส่วนของอินทรีย์คาร์บอนกับธาตุคาร์บอน ในแต่ละช่วงเวลา ตามระดับความสูง ในเขตเมือง

1.3 ขอบเขตของการศึกษา

1. ลักษณะทางอุตุนิยมวิทยาชั้นบน จากการปล่อยบนอุณหภูมิ ทุก 6 ชั่วโมง เป็นเวลา 3 วัน ต่อเนื่อง โดยจะรายงานค่าอุณหภูมิ ความชื้นสัมพัทธ์ ความดันบรรยากาศ ความเร็วลม ทิศทางลม และหาค่าระดับความสูงผสาน
2. ลักษณะทางอุตุนิยมวิทยาพื้นผิว ณ จุดตรวจวัด โดยจะรายงาน อุณหภูมิ ความดันบรรยากาศ ความชื้นสัมพัทธ์ ความเร็วลม ทิศทางลม และรังสีความอาทิตย์
3. ปริมาณฝุ่นละอองรวม (TSP) ทุก 6 ชั่วโมง เป็นเวลา 3 วัน ต่อเนื่อง
4. ปริมาณฝุ่นละอองขนาดไม่เกิน 10 ไมโครเมตร (PM_{10}) ทุก 3 ชั่วโมง เป็นเวลา 3 วัน ต่อเนื่อง
5. ปริมาณองค์ประกอบของคาร์บอนคือ อินทรีย์คาร์บอน และ ธาตุคาร์บอน ในฝุ่นละอองขนาดไม่เกิน 10 ในไมโครเมตร พื้นที่ศึกษากรุงเทพมหานคร
6. ปริมาณสารไอօนิก ได้แก่ ไอօนบวก คือ โซเดียม และไนเตรต โปรแทตเซียม และแคลเซียม และ ไอօนลบ คือ คลอไรด์ ในเครด และซัลเฟต ในฝุ่นละอองขนาดไม่เกิน 10 ในไมโครเมตร พื้นที่ศึกษากรุงเทพมหานคร
7. ระยะเวลาในการทดลองเดือนธันวาคม 2550 ถึงเดือน ธันวาคม 2551
8. พื้นที่ที่ใช้ในการศึกษาความเข้มข้นของฝุ่นละอองรวมและฝุ่นละอองขนาดไม่เกิน 10 ในไมโครเมตร

8.1 พื้นที่ศึกษา 3 ระดับความสูงในอิมแพคไฮเวย์ จังหวัดสงขลา

8.2 พื้นที่ศึกษา 3 ระดับความสูงในเขตราชเทวี กรุงเทพมหานคร

8.3 พื้นที่ศึกษา 3 ระดับความสูงในอิมแพคเมือง จังหวัดเชียงใหม่

การเลือกชุดเก็บตัวอย่าง พิจารณาจุดเก็บตัวอย่างตามลักษณะของอิทธิพลของเมืองที่มีต่อ
ความเร็วลม และอุณหภูมิ ซึ่งเป็นออกเป็น 3 ระดับคือ

1) ชั้นล่าง เลือกระดับเหนือชั้น Roughness Layer ซึ่งเป็นชั้นที่รับผลกระทบ
โดยตรงจากความขรุขระพื้นผิว ลักษณะการเคลื่อนตัวของมวลอากาศในระดับชั้นนี้ ได้รับอิทธิพล
มาจากการที่มีอุบัติเหตุ เช่น อาคาร บ้านเรือน ด้านใด เป็นด้าน สิ่งกีดขวางที่มีอยู่ระดับชั้นนี้
มีอิทธิพลก่อนข้างสูงต่อการเคลื่อนที่ของลมในแนวราบ (Advection)

2) ชั้นกลาง เลือกระดับที่อยู่ในช่วงความสูงที่เป็นชั้น Surface Layer ซึ่ง
บรรยายกาศในชั้นนี้จะ ได้รับอิทธิพลจากสิ่งกีดขวาง (เช่นเดียวกับ Roughness Layer) นอกจากนั้น
ยังได้รับอิทธิพลจากเคลื่อนที่ของอากาศในแนวตั้ง เนื่องจากอิทธิพลที่ได้รับมาจากความร้อนที่เกิด¹
และส่งผลให้เกิดการลอดตัวขึ้นของมวลอากาศ โดยลักษณะความแตกต่างของพื้นที่ เช่นเป็นพื้นที่
เขตป่าไม้ พื้นที่เขตเมือง หรือพื้นที่ที่มีวัสดุค่างๆในพื้นที่ต่างกันส่งผลต่อความร้อนที่เกิดขึ้นใน
บริเวณนั้นๆ และส่งผลต่อเนื่องถึงการเคลื่อนที่ของลมในแนวตั้งที่แตกต่างกัน เป็นระดับความสูง
เหนือพื้นดิน

3) ชั้นบน เลือกระดับความสูงที่อยู่ในช่วงระดับความสูงของชั้น Urban
Boundary Layer (UBL) โดยจะเลือกชั้นที่มีความสูงของพื้นที่ศึกษาที่สามารถเข้าถึงได้ และเป็นชั้น
ที่ได้รับอิทธิพลจากสิ่งกีดขวางในแนวราบมากที่สุด

1.4 ประโยชน์ที่คาดว่าจะได้รับ

1. แสดงความสามารถในการกระจายตัวของฝุ่นละอองขนาดเล็กกับขนาดใหญ่ ในแต่ละ
ช่วงเวลาที่ระดับความสูงค่างๆในเขตเมือง

2. บอกแนวโน้มการเปลี่ยนแปลงของฝุ่นละอองในบรรยายกาศที่มีต่อความเข้มข้นของฝุ่น
ละอองที่พื้นล่าง

บทที่ 2

เอกสารและงานวิจัยที่เกี่ยวข้อง

2.1 ปัญหานลภภาวะทางอากาศในประเทศไทย

ในช่วงสามทศวรรษที่ผ่านมาจนกระทั่งปัจจุบัน ประเทศไทยได้มีการเร่งพัฒนาเศรษฐกิจของประเทศโดยรวมอย่างรวดเร็ว ทำให้มีการเดินทางทั้งทางด้านอุตสาหกรรมและเกษตรกรรมเชิงอุตสาหกรรมเป็นอย่างมาก จึงมีการเร่งการก่อสร้าง การประกอบการอุตสาหกรรม การจัดหันสารเคมีทางการเกษตร การพัฒนาการزراعและการขนส่ง เพื่อการประกอบการธุรกิจต่างๆ และการดำเนินการต่างๆเหล่านี้ได้มีผลทำให้เกิดมลพิษอากาศ จากการตรวจสอบสภาพอากาศของประเทศไทยโดยกรุณควบคุมมลพิษ พบว่า นลภภาวะทางอากาศในประเทศไทยได้แก่ ฝุ่นละออง ก๊าซ/ไอระเหยต่างๆ และสารตะกั่วที่ผสมในน้ำมันเบนซิน ซึ่งถือเป็นปัญหานลภภาวะทางอากาศต่อสุขภาพนั้นมีความแตกต่างไปตามพื้นที่ต่างๆในประเทศไทย โดยพบว่าในเขตเมืองใหญ่ เช่น กรุงเทพมหานครและปริมณฑล จังหวัดเชียงใหม่ จังหวัดขอนแก่น จังหวัดสงขลา และจังหวัดราชบูรน์ มีนลภภาวะทางอากาศเป็นฝุ่นละออง ก๊าซพิษ และเขม่าควันจากการจราจรและการขนส่ง

ในปี พ.ศ. 2547 พบว่า มีปัญหานลภภาวะทางอากาศรุนแรงมากเมื่อเทียบกับปี พ.ศ. 2546 โดยจากการตรวจวัดคุณภาพอากาศโดยสถานีตรวจวัดคุณภาพอากาศทั่วประเทศ 49 สถานีในปี พ.ศ. 2547 (เดือนกรกฎาคม - พฤศจิกายน) พบว่า ปัญหาหลักทั้งสองเป็นฝุ่นละอองขนาดไม่เกิน 10 ไมโครเมตร รองลงมาคือ ก๊าซโอโซน ส่วนสารมลพิษประเภทอื่น เช่น ก๊าซซัลเฟอร์ไดออกไซด์ ก๊าซในโทรศัพท์ ไดออกไซด์ และก๊าซคาร์บอนอนออกไซด์ ซึ่งอยู่ในเกณฑ์มาตรฐาน นอกเหนือจากปัญหานลพิษจากฝุ่นละอองขนาดเล็กและก๊าซตั้งกล่าวแล้ว ปัญหานลพิษที่อุกคามมานับสิบปี เนื่องจากวัฒนธรรม และความนิยมในสังคม ได้แก่ การเผาฟาง การเผาขยะในที่โล่ง และการสูบบุหรี่ ในอาคารและที่สาธารณะ ที่เป็นสิ่งที่ต้องหันหน้าดึง การเผาขยะนั้นมีผลทำให้เกิดฝุ่นละอองรวมได้มาก คุณภาพอากาศในกรุงเทพมหานคร ในปี พ.ศ. 2547 พบว่าบริเวณถนนมีปัญหาฝุ่นขนาดเล็กกว่า 10 ไมครอน เพิ่มขึ้นเมื่อเทียบกับปีที่ผ่านมา สาเหตุหลักมาจากการพาหนะที่เพิ่มขึ้น ในพื้นที่ภาคเหนือนั้น จังหวัดเชียงใหม่มีมลพิษปัญหานลภภาวะทางอากาศมากในช่วงเดือน กุมภาพันธ์-เมษายน โดยมีปัญหาฝุ่นละอองขนาดเล็กจากการจราจรและการขนส่งมาก เนื่องจากมีปริมาณพาหนะจำนวนมากถึง 700,000 คัน และปัญหานลภภาวะอากาศเนื่องจากโรงงานจำนวน 247 โรง ปล่อยคุณภาพพิษออกมายังอากาศในเขตเมืองของจังหวัด ซึ่งพบปัญหาของการเผาป่า เผาไร่ เพาบะในเขตเมือง

การเผยแพร่สู่เหลือใช้ทางการเกษตร พลาสติกและสารอินทรีย์ต่างๆ ที่เป็นสารก่อมะเร็ง (สำนักงานพัฒนาระบบที่ข้อมูลข่าวสารสุขภาพ, 2551)

2.2 ฝุ่นละอองในอากาศ

2.2.1 ความหมายของฝุ่นละออง

2.2.1.1 ฝุ่นละอองรวม (Total suspended particulates, TSP)

ฝุ่นละอองรวม คือ ฝุ่นละอองที่สามารถเก็บตัวอย่างและตรวจวัดโดยเครื่องเก็บตัวอย่างฝุ่นละอองชนิดปริมาณครuder สูง ฝุ่นละอองมีช่วงของขนาดอนุภาคค่อนข้างกว้าง จากการทดสอบในอุโมงค์ลม เครื่องเก็บตัวอย่างฝุ่นละอองรวมชนิดปริมาณครuder สูงสามารถเก็บตัวอย่างอนุภาคที่มีขนาดไม่เกิน 100 ไมโครเมตร ได้ 100 เปอร์เซ็นต์ เพราะว่าเครื่องเก็บตัวอย่างฝุ่นละอองรวมชนิดปริมาณครuder สูงนี้ได้มีการบ่งชี้ถึงช่วงของขนาดอนุภาคที่เก็บตัวอย่าง อย่างไรก็ตาม ได้ระบุถึงค่า Effective cut point ที่สามารถเก็บตัวอย่างที่มีเส้นผ่านศูนย์กลางพลาสตอร์ได้เท่ากับ 30 ไมโครเมตร (U.S. EPA., 1994) เป็นอนุภาคของแข็งและกึ่งของแข็งที่พบในอากาศมีขนาดเส้นผ่านศูนย์กลางประมาณ 0.005 ไมโครเมตรถึง 100 ไมโครเมตร แหล่งกำเนิดโดยธรรมชาติตามกิจกรรมทางการค้า กระบวนการของคิน ทรัพย์ที่พื้นผืนดิน และสถานที่ก่อสร้าง โดยลิมพัดจากพื้นดิน โดยส่วนใหญ่ประกอบด้วยซิลิกาจำนวนมาก ฝุ่นละอองทางชีวภาพ เช่น สปอร์ ละอองเกสรของพืชต่างๆ ฝุ่นละอองรวมที่พบบริเวณเขตเมือง โดยทั่วไปเป็นการแพร่กระจายแบบปฐมภูมิจากการเผาไหม้เชื้อเพลิง ทั้งจากการจราจร โรงงานอุตสาหกรรม และกิจกรรมอื่นๆ ส่วนฝุ่นทุติภูมิมาจากการเปลี่ยนแปลงของสารประกอบชั้ลเฟอร์ ในโครงสร้าง และก้าชอื่นๆ ในออยล์ในรูปของอนุภาค nok จากน้ำ ออกจากการเผาไหม้เชื้อเพลิง ทั้งจากการจราจร โรงงานอุตสาหกรรม และกิจกรรมอื่นๆ ส่วนฝุ่นทุติภูมิมาจากการเปลี่ยนแปลงของสารประทุมชนิดต่างๆ ไม่เกิน 10 ไมโครเมตร ได้แก่ ฝุ่นละอองรวมที่มีขนาดใหญ่ถูกกำจัดโดยระบบทางเดินหายใจส่วนต้น เช่น ถุงคัตหรือกรองไวรในภายในช่องจมูก และถูกนำออกจากระบบท่อหายใจ ได้โดยการไอหรือจาม แต่ฝุ่นละอองรวมมักทำให้เกิดการระคายเคืองต่อระบบประสาทความรู้สึกของร่างกายเนื่องจากในฝุ่นอาจมีสารพิษ เช่น แมงกานีส สารหมู่ๆ ฯลฯ ซึ่งทำให้ตาบวม คอด้วยการระคายเคือง และอักเสบได้ (วนิดา จันศาสดร์, 2551)

2.2.1.2 ฝุ่นละอองขนาดไม่เกิน 10 ไมโครเมตร (Particulate matter less than 10 micrometer, PM₁₀)

ฝุ่นละอองขนาดไม่เกิน 10 ไมโครเมตร คือ อนุภาคของแข็งขนาดเล็กที่ล่องลอยอยู่ในอากาศมีเส้นผ่านศูนย์กลางตั้งแต่ 10 ไมโครเมตรลงมา (U.S. EPA., 1994) เป็นมลภาวะทางอากาศที่มีความสำคัญ มีลักษณะเป็นอนุภาคของแข็งและกึ่งของแข็งขนาดเล็ก ได้แก่ ฝุ่นควัน ฝุ่น

เมม่า ประกอบด้วยมลสารทางชั้นคิดผสมผสานกัน และมีองค์ประกอบอื่นๆที่แตกต่างกัน ฝุ่นละอองขนาดไม่เกิน 10 ไมโครเมตร เกิดจากแหล่งกำเนิดหลากหลายชนิด ฝุ่นละอองที่เกิดจากธรรมชาติ เช่น ฝุ่นดิน ฝุ่นจากฝุ่นละอองของทะเล ตัวน้ำฝุ่นที่เกิดจากกิจกรรมของมนุษย์ ได้แก่ การเผาไหม้เชื้อเพลิง โดยเฉพาะจากบ้านพากาหนะที่ใช้น้ำมันดีเซล การเผาไหม้แบบเปิด เช่น การเผาขยะ การเผาของเสียจากเกษตรกรรม (หญ้า พัง) ฝุ่นละอองที่เกิดขึ้นภายในอาคาร จากกระบวนการอุดสานกรรมที่ก่อให้เกิดฝุ่นละออง เช่น โรงไม้หิน โรงงานปูนซีเมนต์ ฝุ่นละอองขนาดไม่เกิน 10 ไมโครเมตร มักจะเกิดขึ้นระหว่างกระบวนการเผาไหม้ และรวมกับฝุ่นละอองขนาดไม่เกิน 10 ไม่เกิน 10 ไมโครเมตร จากแหล่งกำเนิดเหล่านี้จะมีปริมาณการบอนสูง ที่เป็นทั้งสาเหตุการบอน และอินทรีย์บอน ซึ่งองค์ประกอบเหล่านี้มีบทบาทสำคัญที่ทำให้เกิดผลกระทบต่อสุขภาพ เมื่อมนุษย์ได้รับฝุ่นละอองขนาดไม่เกิน 10 ไมโครเมตร เข้าสู่ร่างกายโดยการหายใจ และสามารถเข้าสู่ทางเดินหายใจส่วนลึกได้ ทำให้เกิดผลกระทบสำคัญที่เป็นอันตรายต่อสุขภาพ ฝุ่นละอองขนาดไม่เกิน 10 ไมโครเมตรถูกแบ่งออกได้เป็น 2 ช่วงขนาด คือ อนุภาคส่วนหยาบ (Coarse Fraction Particulate) และอนุภาคส่วนละเอียด (Fine Fraction Particulate) ซึ่งโดยทั่วไปอนุภาคแต่ละส่วนจะมีแหล่งกำเนิดขององค์ประกอบทางเคมี และพฤติกรรมในอากาศที่แตกต่างกัน (วนิศา จินศรี, 2551)

2.2.2 แหล่งกำเนิดของฝุ่นละออง

ฝุ่นละอองที่แพร่กระจายอยู่ในบรรยากาศทั่วไปนั้นอาจเกิดได้จากแหล่งกำเนิดโดยตรงแล้วหรือจากกระบวนการสูบบุหรี่จากแหล่งกำเนิดนั้น หรือเกิดจากปฏิกิริยาต่างๆ ในบรรยากาศ เช่น การรวมตัวของปฏิกิริยาทางฟิสิกส์ หรือปฏิกิริยาทางเคมี (Photochemical reaction) ทำให้เกิดฝุ่นละออง ซึ่งสามารถจำแนกแหล่งกำเนิดได้ 2 ประเภท ดังนี้

1) ฝุ่นละอองที่เกิดขึ้นตามธรรมชาติ (Natural sources)

ฝุ่นละอองที่เกิดขึ้นตามธรรมชาติ (Natural particle) อาจเกิดจากกระแสลมที่พัดผ่านตามธรรมชาติทำให้เกิดฝุ่นขึ้น เช่น คิณ ทราย ละอองน้ำ เนม่าควันจากไฟป่า ฝุ่นจากเกลือทะเล หรือภูเขาไฟ เป็นต้น หรืออาจเกิดจากปฏิกิริยาไฟฟ้าเคมีกอลของก๊าซ (Photochemical gas reactions) ซึ่งเกิดระหว่างก๊าซไฮโดรเจนในธรรมชาติ และสารไฮdrocarbons ที่มีผลทำให้เกิดอนุภาคที่มีขนาดเล็กมาก

2) ฝุ่นละอองที่เกิดขึ้นจากกิจกรรมของมนุษย์ (Man-made sources)

เป็นแหล่งกำเนิดที่มีมนุษย์เข้าไปเกี่ยวข้องหรือเป็นกิจกรรมที่มนุษย์กระทำ ซึ่งสามารถแบ่งออกได้ดังนี้ คือ แหล่งกำเนิดที่เคลื่อนที่ได้ (Mobile sources) ได้แก่ บ้านพำนะ ประเภทต่างๆ ทั้งทางบก ทางน้ำและทางอากาศ ด้วยย่างแหล่งกำเนิดที่เคลื่อนที่ได้ เช่น รถยนต์ คิเชล ระบบฝุ่นละอองออกสู่บรรยากาศในรูปของควันคำซึ่งเป็นอนุภาคของคาร์บอนจำนวนมากที่เกิดจากการเผาไหม้ไม่สมบูรณ์ของน้ำมันคิเชลในเครื่องยนต์ และรถจักรยานยนต์สองจังหวะ ซึ่งระบบฝุ่นละอองออกสู่บรรยากาศในรูปของควันขาวที่เป็นฝุ่นละอองของน้ำมันหล่อลื่น เป็นต้น อีกสาเหตุคือการบรรทุกและขนส่งวัสดุก่อสร้าง โดยเฉพาะการบรรทุกและขนส่งดิน砂砾ที่ไม่มีการปอกลุมส่วนที่บรรทุกให้มิดชิด หรือล้อรถที่มีดินทรากเกาะติดอยู่ต่อกันแล้วลังสูตรูปคลื่นทางที่วิ่งไป ทำให้ฝุ่นละอองเกิดการฟุ้งกระจายไปในบรรยากาศ ส่วนแหล่งกำเนิดที่อยู่กับที่ (Stationary sources) คือ แหล่งกำเนิดที่ไม่สามารถเคลื่อนที่ได้ ได้แก่ โรงงานอุตสาหกรรมประเภทต่างๆ เช่น โรงไฟฟ้า เตาหุงต้มตามบ้านเรือน และการเผาขยะมูลฝอย เป็นต้น

นอกจากนี้อาจแบ่งตามกระบวนการเกิด ได้เป็นอนุภาคปฐมภูมิ (Primary particle) และอนุภาคทุดิภูมิ (Secondary particle)

อนุภาคปฐมภูมิ (Primary particle) คือ อนุภาคที่ถูกปลดปล่อยโดยออกสู่บรรยากาศโดยตรง ประกอบด้วย อนุภาคที่ถูกปลดปล่อยในรูปของฝุ่นละออง และอนุภาคที่เกิดจากการควนแน่นของไอะโรเฟอเรจรวมเร็วหลังการปลดปล่อยที่อุณหภูมิสูง เช่น ในกระบวนการเผาไหม้ ความเข้มข้นของอนุภาคปฐมภูมิในบรรยากาศขึ้นกับ อัตราการปลดปล่อย การเคลื่อนที่ การกระจายตัว และอัตราการลดของอนุภาค ฝุ่นละอองปฐมภูมิอาจเกิดทั้งในธรรมชาติ เช่นอนุภาคคินที่ถูกพัดพาขึ้นสู่บรรยากาศโดยลม ละของเกลือทะเล ไฟป่า และจากแหล่งกำเนิดเชิงพาณิชย์ เช่น เกสรดอกไม้ สถาปัตย์ เชื้อร้า และชั้นส่วนของพืช ส่วนฝุ่นละอองที่เกิดจากกิจกรรมของมนุษย์ เช่น การเผาไหม้ เชื้อเพลิงฟอสซิล และฝุ่นจากถนน เป็นต้น

อนุภาคทุดิภูมิ (Secondary particle) คืออนุภาคที่เกิดจากปฏิกิริยาเคมีที่ทำให้ก๊าซเกิดการควนแน่น หรือปฏิกิริยาเคมีที่ทำให้เกิดกระบวนการอื่นๆ กับก๊าซอิสระ เช่นการดูดซับ (Adsorption) และการละลาย (Solutions) ทำให้เกิดเป็นอนุภาคใหม่ หรือเกิดเป็นสารประกอบที่ทำให้เกิดอนุภาคได้ต่อไป ปัจจัยที่มีผลต่อการเกิดอนุภาคทุดิภูมิ คือความเข้มข้นของก๊าซที่ไวต่อการเกิดปฏิกิริยา เช่น ไอโอดิน (O_3) หมู่ไฮดรอกซิล (OH^-) และไฮดروเจนเปอร์ออกไซด์ (H_2O_2) และสภาวะในบรรยากาศ เช่น ปริมาณรังสีความอาทิตย์ และความชื้นสัมพัทธ์ ฝุ่นละอองที่เกิดจากธรรมชาติ เช่น ก๊าซบางชนิดที่ปลดปล่อยจากพืช เช่น ทอร์พีน (Terpene) เกิดปฏิกิริยาเคมีด้วยแสง (Photochemical reaction) กับไอโอดิน หรือหมู่ไฮดรอกซิล ในบรรยากาศ เกิดเป็นอนุภาคอินทรีย์ ฝุ่น

ละของที่เกิดจากกิจกรรมของมนุษย์ เช่น การเกิดปฏิกิริยาด้วยแสงของซัลเฟอร์ไดออกไซด์ (SO_2) ออกไซด์ของไนโตรเจน (NO_x) และก๊าซอินทรีที่เกิดจากมนุษย์

องค์ประกอบของฝุ่นละของขึ้นอยู่กับแหล่งกำเนิด องค์ประกอบที่สำคัญของฝุ่นละของในอากาศคือ ซัลเฟต ในเศรษฐ สารประกอบคาร์บอน น้ำ ไอโโตรเจนไอกอน แอมโมเนียน ไอโอน และธาตุกลุ่มด่างๆ องค์ประกอบของอนุภาคโดยเฉลี่ยแตกต่างกันตามขนาดของอนุภาค สภาพภูมิศาสตร์ เช่นพื้นที่ใกล้ทะเล และถูกกาล (U.S. EPA., 1996)

2.2.3 ปัจจัยที่มีผลต่อความเข้มข้นและการแพร่กระจายของฝุ่นละของในบรรยากาศ

1) สภาพการคงตัวของบรรยากาศ (Atmospheric stability)

สภาพการคงตัวของอากาศ เป็นสิ่งที่ใช้อธิบายลักษณะหรือสภาพของบรรยากาศสำหรับ การเคลื่อนที่ของอากาศในแนวระดับ (Vertical direction) และแนวราบ (Horizontal direction) เมื่อเปรียบเทียบกับสภาพบรรยากาศอ้างอิงที่มีอัตราการลดลงของอุณหภูมิบรรยากาศเท่ากับ Adiabatic lapse rate ซึ่งสามารถแบ่งสภาพบรรยากาศออกได้เป็น 3 ลักษณะคือ

(1) สภาพอากาศที่มีสภาพเป็นกลาง (Neutral condition) หมายถึง สภาพบรรยากาศที่ อุณหภูมิและความสูงมีความสัมพันธ์ในลักษณะแบบเดียวกัน คือ อุณหภูมิลดลงตามความ สูงในอัตราประมาณ 1 องศาต่อ 100 เมตร

(2) สภาพอากาศที่มีสภาพไม่คงตัว (Unstable condition) หมายถึง สภาพบรรยากาศที่ อุณหภูมิลดลงตามความสูงในอัตราที่มากกว่า 1 องศาต่อ 100 เมตร ในสภาพดังกล่าวก่อให้เกิดการ เคลื่อนที่ของอากาศได้มากกว่าในสภาพเป็นกลาง เนื่องจากความแตกต่างระหว่างอุณหภูมิของมวล อากาศและบรรยากาศบนยอดภูเขาที่สูงกว่าเมื่อเทียบกับที่ระดับความสูงเดียวกันเมื่อเวลาอากาศอยู่ใน สภาพที่เป็นกลาง

(3) สภาพอากาศที่มีสภาพคงตัว (Stable condition) หมายถึง สภาพบรรยากาศที่ อุณหภูมิลดลงตามความสูงในอัตราที่น้อยกว่า 1 องศาต่อ 100 เมตร ในสภาพดังกล่าวก่อให้เกิดการ เคลื่อนที่ของอากาศได้ต่ำกว่าในสภาพเป็นกลาง เนื่องจากความแตกต่างระหว่างอุณหภูมิของมวล อากาศและบรรยากาศบนยอดภูเขาที่สูงกว่าเมื่อเทียบกับที่ระดับความสูงเดียวกันเมื่อเวลาอากาศอยู่ใน สภาพที่เป็นกลาง

2) ความปั่นป่วนของชั้นบรรยากาศ (Turbulence)

การเคลื่อนที่ของมวลอากาศอันเนื่องมาจากการแปรผันต่างระหัวงอุณหภูมิและความดัน ก่อให้เกิดการไหลของมวลอากาศที่มีการเคลื่อนที่แบบกระแสวน (Eddy) โดยเป็นการเคลื่อนที่แบบอิสระของมวลอากาศในลักษณะขึ้นลง โดยความปั่นป่วนมีความสำคัญในการก่อให้เกิดการเข้าทางของลมสาร (วงศ์พันธุ์ ลิมป์เสนีย์, นิตยา มหาผล และ ธีระ เกรอต, 2543)

ความปั่นป่วนของชั้นบรรยากาศหรือความrunnarengในการเคลื่อนที่ของลมในชั้นของ Atmospheric boundary layer จะเป็นการเคลื่อนที่แบบมีความปั่นป่วนเกิดขึ้น ในบริเวณที่ใกล้พื้นผิวความปั่นป่วนจะเห็นได้ชัดจากการสั่นไหวของกิ่งไม้และใบไม้ การเคลื่อนตัวของควันหรือฝุ่นและละอองคลื่นที่เกิดขึ้นบนพื้นผิวน้ำ (Arya, 1999) การปั่นป่วนของบรรยากาศส่งผลต่อการกระจายตัวของลมพิษในอากาศ โดยพบว่าเมื่อมีการปั่นป่วนของบรรยากาศลดลง ความเข้มข้นของสารมลพิษที่ถูกปลดปล่อยออกจากมาจากแหล่งกำเนิดในบริเวณใดบริเวณหนึ่งจะมีค่าความเข้มข้นสูงแต่หากบรรยากาศมีความปั่นป่วนเพิ่มมากขึ้น ความเข้มข้นของสารมลพิษในบริเวณหนึ่งจะมีค่าลดลงเนื่องจากเกิดการกระจายตัวมากขึ้น โดยลักษณะความปั่นป่วนของบรรยากาศเกิดจากสาเหตุหลักๆ ได้แก่ เกิดจากความปั่นป่วนเนื่องมาจากความร้อน (Thermal turbulence) โดยเกิดจาก การที่พื้นผิวโลกหรือวัสดุต่างๆ ที่อยู่บนพื้นผิวได้รับความร้อนและส่งผลต่อมวลอากาศ และอีกสาเหตุหนึ่งเกิดจากความปั่นป่วนทางกายภาพ (Mechanical turbulence) ซึ่งเกิดจากลักษณะทางกายภาพที่เกิดจากตัวแหน่งของสิ่งก่อสร้างและความเรียบหรือความขุ่นของพื้นผิว (วรรุษ เสือดี, 2542)

(1) ความปั่นป่วนเนื่องมาจากความร้อน (Thermal turbulence)

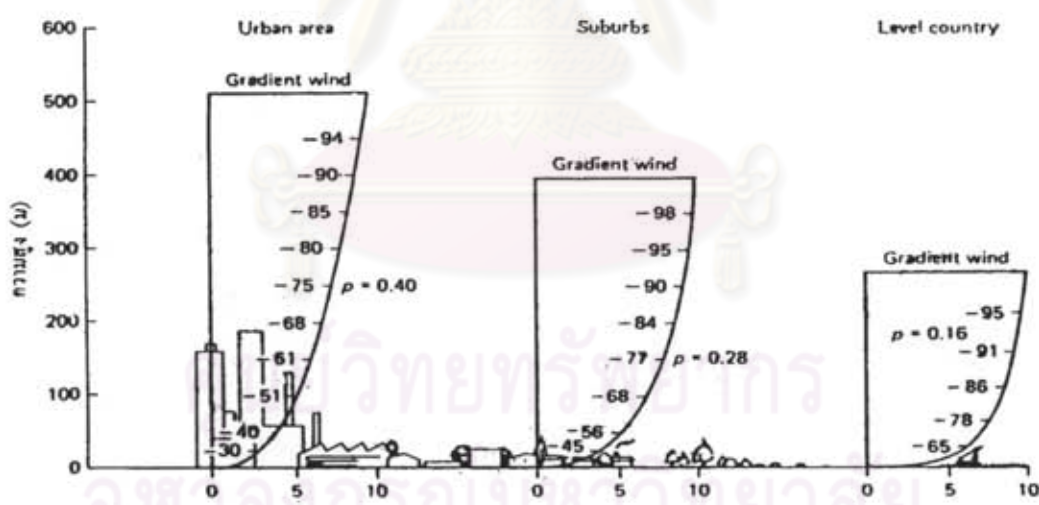
ปัจจัยทางด้านความร้อนเป็นปัจจัยที่เกี่ยวเนื่องมาจากการแผ่รังสีของดวงอาทิตย์ โดยรังสีที่ส่องมาจากดวงอาทิตย์สู่โลกมีทั้งรังสีคลื่นสั้น (Shortwave radiation) ซึ่งมีความยาวคลื่นน้อยกว่า 4 ไมครอน เช่น รังสีอุตตราไวโอเลต รังสีแกมมา เป็นต้น และรังสีคลื่นยาว (Long-wave radiation) ซึ่งมีความยาวคลื่นมากกว่า 4 ไมครอน เช่น คลื่นเรคาว์ คลื่นวิทยุ เป็นต้น โดยรังสีคลื่นสั้นสามารถสะท้อนกลับออกไปจากชั้นบรรยากาศของโลกได้ แต่รังสีคลื่นยาวจะไม่สามารถสะท้อนกลับออกไปได้แต่เป็นการแผ่รังสีกลับออกไปจากชั้นบรรยากาศของโลกในช่วงเวลากลางคืน ดังนั้นรังสีที่เหลืออยู่ของโลกหรือรังสีสุทธิที่โลกได้รับสามารถคำนวณได้จากรังสีที่ได้รับจากดวงอาทิตย์ทั้งรังสีคลื่นสั้นและรังสีคลื่นยาวและรังสีที่โลกสะท้อนหรือแผ่กลับออกไปจากโลก (วิชา นิยม, 2535)

ความร้อนที่ถูกนำไปใช้ขึ้นอยู่กับลักษณะของพื้นที่ เช่นหากพื้นที่เป็นพื้นที่ในป่า หรือเป็นพื้นที่ที่อยู่ใกล้แหล่งน้ำ ค่าของปริมาณรังสีสุทธิ จะถูกนำไปใช้ในการระเหยน้ำ

มากกว่าลงสู่ดินหรือเพาผลาญอากาศ แต่หากเป็นพื้นที่ในบริเวณเขตเมือง ปริมาณรังสีอุ่นที่เกิดขึ้นถูกนำไปใช้ในการเพาผลาญอากาศ หรือลงสู่ดินมากกว่าที่จะถูกนำไปใช้ในการเพาผลาญน้ำ ส่งผลให้อากาศในบริเวณเขตเมืองมีความร้อนสูง และส่งผลต่อเนื่องไปถึงการเคลื่อนที่ของมวลอากาศและลักษณะการคงตัวของบรรยากาศต่อไป (เกย์ม จันทร์แก้ว, 2522)

(2) ความปั่นป่วนเชิงกล (Mechanical turbulence)

ความปั่นป่วนเชิงกลเกิดขึ้นเนื่องมาจากการเคลื่อนที่ผ่านวัตถุที่อยู่บนพื้นผิวส่งผลให้การไหลของอากาศต้องเปลี่ยนทิศทางและความเร็ว ซึ่งการเปลี่ยนแปลงดังกล่าวส่งผลให้เกิดกระแส (Eddy) (Jacobson, 1999) โดยความเร็วลมที่ข้างล่างเนื่องจากความเสียดทานซึ่งมีผลมาจากลักษณะความเรียบหรือความขุ่นระของพื้นผิว หรือมีผลจากปัจจัยทางด้านกายภาพของภูมิประเทศที่มีอยู่ เช่น ชนิดของพื้นผิว ลักษณะพื้นที่ที่เป็นภูเขา พื้นน้ำ ป่าไม้ ต้นไม้ ฯลฯ และความหนาแน่นของพืช และเขตเมือง เป็นต้น (ภาพที่ 2.1) ลักษณะเหล่านี้ก่อให้เกิดความแตกต่างของการเคลื่อนที่ของลมที่ความสูงแตกต่างกัน ซึ่งมีผลมาจากความเสียดทานส่งผลให้การกระจายตัวของมวลสารแตกต่างกันออกไป ลักษณะของความแตกต่างของพื้นที่ รวมถึงวัสดุหรือสิ่งปลูกสร้างที่มีอยู่ในพื้นที่นี้เรียกว่าค่าความขุ่นระพื้นผิว (Surface roughness)

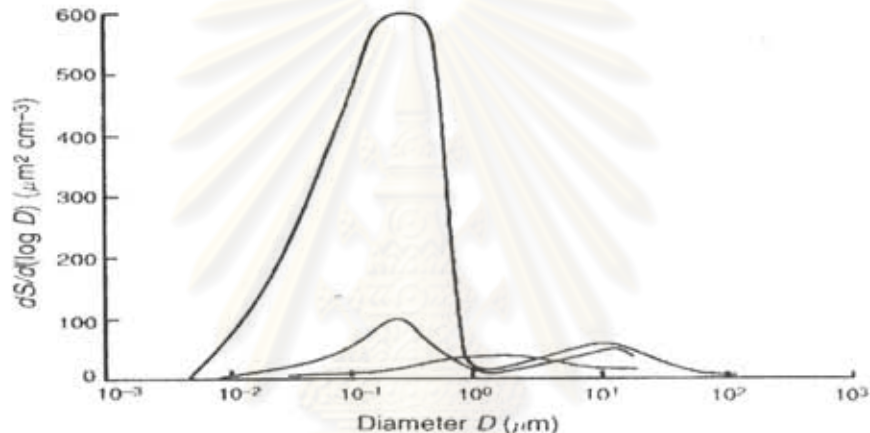


ภาพที่ 2.1 ความสัมพันธ์ระหว่างความเร็วลมและความสูง (Tunner, 1994)

3) ขนาดของอนุภาคและระยะเวลาการคงอยู่

ระยะเวลาการคงอยู่ของฝุ่นละอองในบรรยากาศขึ้นอยู่กับขนาดของฝุ่นละออง โดยฝุ่นละอองที่มีขนาดน้อยกว่า 0.01 ไมโครเมตร จะอยู่ในบรรยากาศได้นานกว่าหรือเท่ากับ 1 วัน โดยกลไกหลักที่นำฝุ่นละอองออกไปคือ การแพร่กระจายสู่อนุภาคและรวมตัวของก้อนเมฆ ทั่ว

ฝุ่นละอองขนาดมากกว่า 20 ไมโครเมตร จะอยู่ในบรรยากาศได้ น้อยกว่า 1 วัน ซึ่งจะถูกนำออกไปโดยการตกตัว อัดกัน และตกลงมาเป็นฝุ่น ในทางตรงกันข้าม ฝุ่นละอองขนาดเล็กกว่า 0.2-2 ไมโครเมตรเป็นแหล่งที่แข็งแรง ของการกลั่นตัวเป็นเมฆ แฉ้มการตกตัว เป็นเหตุให้ฝุ่นละอองมีระบบการคงตัวอยู่ได้นาน อาจนานถึงหลายวัน ในชั้นสูงของท้องฟ้าเพียงแต่การชะงอน้ำฝนและการกระบวนการจัดระเบียบเวลาคงอยู่ที่สิบถึงสามสิบวัน ในชั้นกลางและชั้นล่างของท้องฟ้า นั่นคือเหตุผลของการสะสมของขนาดแต่ละช่วงของฝุ่นละออง ดังภาพที่ 2.2 (Wallace และ Hobbs, 2006) ฝุ่นละอองที่มีขนาดใหญ่ (ขนาดเส้นผ่าศูนย์กลางใหญ่กว่า 100 ไมครอน) อาจแพร่กระจายอยู่ในบรรยากาศได้เพียง 2-3 นาที แต่ฝุ่นละอองที่มีขนาดเล็กกว่า 0.5 ไมครอน อาจแพร่กระจายอยู่ในอากาศ ได้นานเป็นปี (กรมควบคุมมลพิษ, 2552)



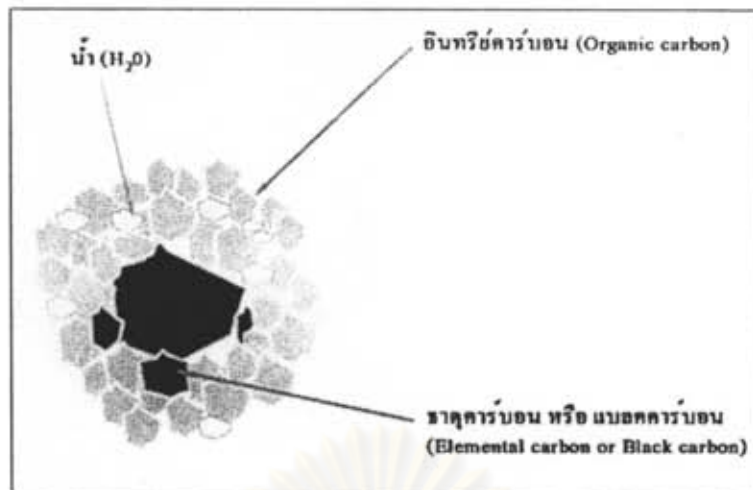
Designation	Aitken nuclei	Large particles	Giant particles
Sources	Combustion Gas-to-particle conversions	Fly ash, sea-salt, pollen Coagulation of Aitken nuclei Cloud droplet evaporation	Windblown dusts Giant particles from industries
Sinks	Coagulation Capture by cloud particles		Precipitation scavenging Dry fallout
Residence time	Less than an hour in polluted air or in clouds	Days to weeks	Hours to days Minutes to hours

ภาพที่ 2.2 ระยะเวลาการคงตัวของฝุ่นละออง (Slater, 1975)

2.3 องค์ประกอบทางเคมีของฝุ่นละออง (Chemical composition)

2.3.1 องค์ประกอบของการบนในฝุ่นละอองขนาดไม่เกิน 10 ไมโครเมตร

อนุภาคcarbenon เป็นส่วนประกอบหลักของอนุภาคที่พบในบรรยากาศ สามารถแบ่งออกได้เป็น 2 ชนิดคือ อินทรีย์carbenon และธาตุcarbenon ซึ่งอนุภาคcarbenonเป็นส่วนประกอบที่สำคัญในฝุ่นละอองขนาดเล็ก พบรากในพื้นที่เขตอุตสาหกรรม และในเขตเมือง



ภาพที่ 2.3 องค์ประกอบของอนุภาคคาร์บอน (ดัดแปลงจาก Huang, 2005)

1) อินทรีคาร์บอน (Organic carbon, OC) จะมีความแตกต่างกันหลายประเภท ส่วนใหญ่ที่พบในบรรยายกาศจะมาจากการเผาไหม้ที่ไม่สมบูรณ์ของสารประกอบอินทรีที่ความกดอากาศต่ำ อินทรีคาร์บอนเป็นตัวแทนที่สำคัญของสารประกอบอะริฟาติก อะโรมาติก โพลีไซคลิกอะโรมาติกไฮdrocarบอน (PAHs) โพลีคลอรีโนเตคไฮdrocarบอน (PCBs) และอื่นๆ ซึ่ง แหล่งกำเนิดขั้นต้นของอินทรีคาร์บอนเกิดจาก การเผาไหม้ด้านหิน การปลดปล่อยจากไอเสียรถชนิด และการเผาไหม้ชีวมวล อินทรีคาร์บอนมีคุณสมบัติในการกระเจิงแสง (light-scattering) ทำให้ลดความร้อนที่ส่องมาข้างพื้นโลก ส่วนอินทรีคาร์บอนขั้นที่สอง (Secondary organic carbon, SOC) เกิดจาก การเปลี่ยนแปลงทางเคมีของอินทรีในบรรยายกาศ จากการเปลี่ยนจากสารอินทรีระเหยจ่าจากสภาวะก้าชไปเป็นฝุ่นละออง หรือการควบแน่นของสารอินทรีระเหยจ่าที่มีความคัน ไอค่า หรือ การคุดซับของก้าชที่ผิวของอนุภาคฝุ่นละออง และขังเกิดได้ดีในสภาพที่มีความชื้นในอากาศสูง (Pandis และคณะ, 1992)

2) ธาตุคาร์บอน (Elemental carbon, EC) หรือ แบล็คคาร์บอน (Black carbon, BC) เกิดจาก การรวมตัวเป็นกลุ่มก้อนของอนุภาคคาร์บอนเด็กๆ ระหว่างที่มีการเผาไหม้ เช่น เตาเผาไฟ เตาหุงต้ม ประเภทใช้ฟืน และเครื่องบนติดเชลก (U.S. EPA., 1996) การปลดปล่อยของการเผาไหม้ที่ไม่สมบูรณ์เป็นหลัก และเป็นตัวการสำคัญในการคุดซับแสงในบรรยายกาศ ก่อให้เกิดผลที่ทำให้ร้อน (Heating effect) ในทางกลับกันธาตุคาร์บอนขังเป็นดับบลังแสงที่ส่องมาข้างพื้นโลก ก่อให้เกิดผลที่ทำให้เย็น (Cooling effect) ได้เช่นกัน

สารประกอบคาร์บอนสามารถแยกออกมาเป็น 7 ส่วนด้วยกันคือ OC1 OC2 OC3 OC4 EC1 EC2 EC3 โดยใช้วิธี Thermal optical reflectance (TOR) จำแนกตามพิธีสาร Interagency Monitoring of PROtected Visual Environments (IMPROVE) (Cao และคณะ, 2004)

2.3.2 สารไฮอ่อนิก ในฝุ่นละอองขนาดไม่เกิน 10 ไมโครเมตร

1) คลอไรด์ (Chloride, Cl⁻) และโซเดียม (Sodium, Na⁺) ส่วนใหญ่มีแหล่งกำเนิดมาจากหะเล ซึ่งเป็นฝุ่นละอองจากเกลือหะเล โดยถูกพัดพาโดยลม หรืออาจมาจากการเผาไหม้ของเสบจำพวกออร์แกนในเชลไอล์มอร์

2) ไนเตรต (Nitrate, NO₃⁻) ที่พบในบรรยากาศส่วนใหญ่จะอยู่ในรูปแอนโนนีบัมในเครา แต่บางครั้งอาจอยู่ในรูปของโซเดียมไนเตรต โดยอนุภาคของไนเตรตในบรรยากาศสามารถเปลี่ยนรูปได้จากปฏิกิริยาออกซิเดชันของก๊าซในไตรเจนไคออกไซด์ ซึ่งมีแหล่งกำเนิดมาจากการเผาไหม้ที่มีอุณหภูมิสูง ได้แก่ บานพานะประเภทต่างๆ โรงไฟฟ้าเป็นต้น

3) ซัลเฟต (Sulphate, SO₄²⁻) ที่พบในบรรยากาศส่วนใหญ่จะอยู่ในรูปแอนโนนีบัม ซัลเฟต โดยอนุภาคของซัลเฟตจะเปลี่ยนรูปมาจากการปฏิกิริยาออกซิเดชันของก๊าซซัลเฟอร์ไคออกไซด์ ซึ่งมาจากการเผาไหม้เชื้อเพลิงฟอสซิล เช่น โรงไฟฟ้าที่ใช้ถ่านหินเป็นเชื้อเพลิง การออกซิไดซ์ในบรรยากาศของซัลฟิริก เป็นต้น รวมทั้งอนุภาคของเกลือซัลเฟต ซึ่งจะมีผลต่อทัศนวิสัยของการมองเห็นอีกด้วย

4) แอมโมเนียม (Ammonium, NH₄⁺) ที่พบในบรรยากาศส่วนใหญ่จะอยู่ในรูปแอนโนนีบัมซัลเฟตและแอมโนนีบัมในเครา ซึ่งแอมโนนีบัมอาจปลดปล่อยออกมายาก แหล่งกำเนิดหลากหลายประเภท เช่น การเกษตรกรรม อุตสาหกรรมผลิตปุ๋ยเคมี และการย่อยสลายของสัตว์ เป็นต้น

5) องค์ประกอบของจำพวกแคลเซียม (Calcium, Ca²⁺) โพแทสเซียม (Potassium, K⁺) เป็นองค์ประกอบของเปลือกโลกที่มีอยู่ในหินและดิน โดยในบรรยากาศของเขตเมืองจะมามาจากการทึบกระเจิงขึ้นอีกครั้งของฝุ่นละอองที่พื้นผิว เช่นถนน และในเขตชนบทจะเกิดจากการไถพรวนหรือล้มพังผ่าแน่นหนื้นดิน บางครั้งอาจพบองค์ประกอบของโพแทสเซียมจากการเผาไหม้ชีวมวล

การปลดปล่อยจากเชื้อเพลิงคีเซลและเบนซินเป็นแหล่งกำเนิดฝุ่นละอองปฐมภูมิและทุติยภูมิ องค์ประกอบแรกที่ถูกปลดปล่อยออกมายากจากบ้านพานะที่ใช้เชื้อเพลิงทั้ง 2 ชนิด คือสารประกอบอินทรีย์คาร์บอน และธาตุคาร์บอน (Watson และคณะ, 1994) โดยเฉพาะธาตุคาร์บอนมากกว่าอินทรีย์คาร์บอนใน ไอเสียของเครื่องยนต์เบนซิน (Hildemann และคณะ, 1991) และพบว่าในเครื่องยนต์เบนซินมีแนวโน้มของปริมาณกำมะถันมากกว่าเครื่องยนต์เบนซิน อย่างไรก็ตามข้อพนวณว่ามีอนุภาคทุติยภูมิที่เกิดจากการเปลี่ยนรูปของก๊าซซัลเฟอร์ไคออกไซด์ที่ถูกปลดปล่อยจากไอเสียรถบันด์คีเซลเป็นส่วนใหญ่ และข้อพนวณว่าใน ไอเสียรถบันด์บังเป็นแหล่งกำเนิดใหญ่ที่ปลดปล่อยก๊าซออกไซด์ของไนโตรเจน ซึ่งอาจจะเกิดการเปลี่ยนรูปในบรรยากาศเป็นอนุภาคในเคราได้ (Wangkiat, 2002) (อ้างถึงในวิทยานิพนธ์ของ กัลยากร ตั้งอุไรวรรณ, 2549)

2.4 งานวิจัยที่เกี่ยวข้อง

ศิริวรรณ แก้วงาม (2543) ศึกษาลักษณะทางสัมฐานและองค์ประกอบทางเคมีของผุนละอองขนาดไม่เกิน 10 ไมโครเมตร ในกรุงเทพมหานคร โดยทำการตรวจวัดในบริเวณพื้นที่ริมถนนและบริเวณพื้นที่ทั่วไปในช่วงฤดูฝนและฤดูหนาว จากการศึกษาพบว่าความเข้มข้นของผุนละอองขนาดไม่เกิน 10 ไมโครเมตร ในฤดูหนาวมีค่าสูงกว่าฤดูฝน โดยบริเวณพื้นที่ริมถนนมีความเข้มข้นเฉลี่ยของผุนละอองขนาดไม่เกิน 10 ไมโครเมตร สูงกว่าพื้นที่ทั่วไป และพบว่าผุนละอองที่มาจากการเครื่องยนต์ดีเซลมีคาร์บอน ออกรชีเอน และกำมะถัน เป็นองค์ประกอบ เช่นเดียวกับผุนละอองที่มาจากการเครื่องยนต์เบนซินและโรงไฟฟ้า ส่วนผุนละอองที่มาจากการก่อสร้างมีแคลเซียม เป็นองค์ประกอบ ในขณะที่ผุนดินมีแคลเซียม อุลูมเนียม ชิลิกอน เป็นองค์ประกอบ นอกจากนี้ยังพบว่าแหล่งกำเนิดของผุนละอองขนาดไม่เกิน 10 ไมโครเมตร ในกรุงเทพมหานครส่วนใหญ่มาจาก การจราจร รองลงมาคือการก่อสร้าง

กัลยกร ตั้งอุไรวรรณ (2549) ศึกษาการเปลี่ยนแปลงความเข้มข้นและองค์ประกอบทางเคมีของผุนละอองขนาดไม่เกิน 10 ไมครอน ในจังหวัดสมุทรปราการ พนวันบริเวณที่มีการดำเนินกิจกรรมทางประมงจะมีความเข้มข้นของผุนละอองสูงกว่าบริเวณที่ทำเกษตรกรรม และพบว่า ความเข้มข้นเฉลี่ยของผุนละอองในฤดูแล้งมีค่าสูงกว่าในฤดูฝน และศึกษาองค์ประกอบทางเคมี พน Na Si Fe S Cl K Zn OC EC SO₄²⁻ NO₃⁻ Cl⁻ Na⁺ และ K⁺ คาดว่าจะมีแนวโน้มมาจากการแหล่งกำเนิด ประมงอุดสาหกรรม ยานพาหนะ การเผาขยะรวม การเผาไหม้ชีวนมวล ผุนดิน และผุนดิน รวมทั้งจากผุนละอองทะเล

Watson และคณะ (1994) ศึกษาความแตกต่างขององค์ประกอบบนcarbon ระหว่างแหล่งกำเนิดจากเครื่องยนต์ดีเซลและเครื่องยนต์ก๊าซโซลิน โดยใช้เครื่องยนต์หัวก๊าซดีเซลและเครื่องยนต์เบนโซก๊าซโซลิน และตัวอย่างที่มีการทดสอบของการปลดปล่อยมลพิษจากเครื่องยนต์บนถนน ตัวอย่างทั้งหมด ถูกวิเคราะห์น้ำหนัก ธาตุ ประจุ และการบันดาล ซึ่งการบันดาลทำให้เปลี่ยนแปลงที่อุณหภูมิ 120 250 450 และ 550 °C ในอีเดียมบริสุทธิ์ และที่อุณหภูมิ 550 700 และ 800 °C ในอุณหภูมิ 2 และ 98 °C โดยวัดด้วยเฟลม ไอโอดีนเซ็นส์ ส่วนของ carbon ที่อุณหภูมิ 700 °C พนวันมีค่า ไกส์เคิงกัน 10 ครั้ง ใน การปลดปล่อยของ เครื่องยนต์หัวก๊าซ ที่ใช้เชื้อเพลิงดีเซล ซึ่งสัมพันธ์กับเครื่องยนต์เบนโซลิน ที่ใช้เชื้อเพลิงก๊าซโซลิน ส่วนอินทรีย์carbon ที่อุณหภูมิ 120 °C ทั้งสองครั้งมีค่ามากจากการปลดปล่อยไออกไซด์ดีเซล ส่วนของ carbon ที่อุณหภูมิ 550 °C ซึ่งเป็นตัวอุณหภูมิที่ใช้ในการต้มอาหาร ทั้งสองครั้ง มีค่ามากจากการปลดปล่อยของ เครื่องยนต์ที่ใช้เชื้อเพลิงก๊าซโซลิน เท่ากับที่ปลดปล่อยจากเชื้อเพลิงดีเซล ความแตกต่างในองค์ประกอบ

ที่สัมพันธ์กัน อาจจะเพียงพอที่จะช่วยให้การปลดปล่อยจากเชื้อเพลิงดีเซล และก๊าซโซลิน ส่งผลให้เกิดอุบัติเหตุจากตัวอย่างในบรรยายกาศอื่นๆ โดยการใช้แบบจำลองผู้รับ

Turpin และ Huntzicker (1995) ศึกษาการเข้ามายังผลกระทบของอินทรีย์ขั้นที่ 2 และปริมาณความเสี่ยงขั้นของผลกระทบของอินทรีย์ขั้นที่ 1 และ 2 ระหว่าง SCAQS โดยใช้ค่าเฉลี่ย 2 ชั่วโมงของ OC และ EC จากการศึกษาคุณภาพอากาศที่แคลิฟอร์เนียตอนใต้ ในปี 1987 นำมาทำความเข้าใจในความเสี่ยงของการเกิดผลกระทบของอินทรีย์ และกำหนดปริมาณความเสี่ยงขั้นของผลกระทบของอินทรีย์ขั้นที่ 2 ซึ่งมันเกิดขึ้น 5 ครั้ง ระหว่างการศึกษาในฤดูร้อน และเกิดผลกระทบของอินทรีย์ขั้นที่ 2 สูงในช่วงเวลา 16.00-18.00 ซึ่งเป็นช่วงที่มีแสง และค่าสูงสุดจะเกิดขึ้นบ่อยๆ หลังจากไอโซนสูงขั้น 1-2 ชั่วโมง ในช่วงบ่ายร้อยละ 80 ของผลกระทบของอินทรีย์เป็น ขั้นที่ 2 ความเสี่ยงขั้นของผลกระทบของอินทรีย์ขั้นที่ 2 สูงถึง 14 ในโครงการต่อสูญเสียก่อสร้างในบางวัน และที่น่าสนใจคือพบว่ามีความเสี่ยงขั้นสูงสุดเกิดขึ้นในวันเสาร์

Castro และคณะ (1999) ศึกษาอนุภาคคาร์บอน เบตเมือง และชนบท ในบุรีรัมย์ โดยประเมินค่าความเสี่ยงขั้นของผลกระทบของอินทรีย์คาร์บอนขั้นที่ 2 พบว่า ส่วนของอนุภาคอินทรีย์คาร์บอนในแหล่งขั้นที่ 2 ในการเปลี่ยนจากก๊าซเป็นฝุ่นละอองของสารอินทรีย์ระเหยจ่ายถูกประมาณค่าโดยใช้สัดส่วนที่น้อยที่สุดของอนุภาคอินทรีย์และแบล็คคาร์บอน โดยเกิดขึ้นในช่วงที่มีการลดลงของปฏิกิริยาการใช้แสงทางเคมี ค่าการคำนวณจากวิธีนี้ได้ค่าต่ำสุดร้อยละ 17 ในฤดูหนาว เมืองเบอร์มิงแฮม อังกฤษ และได้ค่าสูงสุดร้อยละ 78 ในพื้นที่ชายฝั่งทะเลชนบท ในโปรตุเกส ซึ่งมีแนวอาณาเขตติดกันที่มาโดยตรงจากทะเล และบังพบรือกว่าค่าต่ำสุดของผลกระทบของอินทรีย์คาร์บอนขั้นที่ 2 เกิดขึ้นในฤดูหนาว

Ho และคณะ (2003) ศึกษาลักษณะของค่าประกอบทางเคมีของ $PM_{2.5}$ และ PM_{10} ในช่องทางที่ทำการตรวจวัดในบริเวณเขตเมืองที่เป็นตัวแทนของพื้นที่ที่มีการจราจรหนาแน่น พื้นที่ในย่านพาณิชยกรรมและโรงงานอุตสาหกรรม และเขตชนบทบริเวณชายฝั่งทะเลในช่วงฤดูหนาว จากการศึกษาพบว่าองค์ประกอบของฝุ่นละอองทั้ง 2 ขนาด ในเขตเมืองมีค่าสูงกว่าในเขตชนบท และพบว่าองค์ประกอบของฝุ่นละอองส่วนใหญ่เป็นองค์ประกอบพอกอนุภาคของเปลือกโลก เกลือทะเล และไวนีเนยน ชัลเฟต ในเดือน มกราคม ค่าประกอบอินทรีย์คาร์บอน และธาตุคาร์บอน ซึ่งมาจาก การจราจร และครุภัณฑ์อุตสาหกรรม ส่วนอุณหภูมิเนยน แคลเซียม เหล็ก แมกนีเซียม และไนโตรเจน จะเป็นองค์ประกอบหลักของฝุ่นดินที่เกิดจากการฟุ้งกระจายขึ้นอีกครั้งตามถนน ในขณะที่ฝุ่นละอองในเขตชนบทบริเวณชายฝั่งทะเลพบไนโตรเจน คลอไรด์ และชัลเฟต เป็นองค์ประกอบหลัก

Qin และ Oduyemi (2003) ศึกษาองค์ประกอบทางเคมีใน PM_{10} ในอังกฤษ พื้นที่ศึกษาตั้งอยู่ในเขตเมืองทางตะวันออกของชายฝั่งทะเลที่ไม่มีโรงงานอุตสาหกรรม พนวあげองค์ประกอบทางเคมี ส่วนใหญ่ประกอบด้วยชัลเฟต ในเดือน มกราคม และแอนโนนีเนยน โดยชัลเฟตและไนโตรเจน เป็น

องค์ประกอบของฝุ่นละอองที่มาจากการแหล่งกำเนิดที่มีกระบวนการเผาไหม้ ส่วนแอนโนนเนียมจากฝุ่นละอองที่มีกระบวนการทางชีวภาพ นอกจากนี้ขังพนภาคเลเซิร์น และโพแทสเซียม ไอออน ซึ่งเป็นองค์ประกอบทางเคมีของเปลือกโลก แต่บางครั้งก็พบว่าโพแทสเซียมมาจากกระบวนการเผาไหม้ชีวนะดอนุภาคจากหะเล จะพบโซเดียม ไอออน คลอไรด์ ไอออน และแมกนีเซียม และบังพนธาตุปรินามันน้อยในฝุ่นละอองได้ด้วย ได้แก่ ตะกั่ว นิกเกล สังกะสี และทองแดง ซึ่งมาจากกิจกรรมของมนุษย์ โดยนิกเกลเป็นองค์ประกอบฝุ่นละอองที่ปล่อยมาจากการเผาไหม้ม้าน้ำมันเชื้อเพลิง ส่วนตะกั่ว และทองแดงมาจากการแหล่งกำเนิดเฉพาะที่ เช่น เตาเผาชุมชน

Salma และคณะ (2003) ศึกษาอินทรีย์คาร์บอน และธาตุคาร์บอน ในเมืองและสิ่งแวดล้อมพื้นฐาน ในเมืองบุดาเปส ประเทศฮังการี เก็บตัวอย่างฝุ่นละอองในช่วงกลางวันและกลางคืน และวัดฝุ่นละอองแบบออนไลน์ในเมือง และพื้นที่พื้นฐานใกล้เมือง พบร่วมกันนมวลฝุ่นละอองเคลื่อน ประกอบด้วยอินทรีย์วัตถุ ใน $PM_{2.5}$ มากกว่าใน PM_{10} ที่พื้นที่พื้นฐานใกล้เมือง อินทรีย์วัตถุมีมวล $PM_{2.5}$ ร้อยละ 43 ± 13 ริมถนนมีค่าธาตุคาร์บอนเคลื่อนพนใน $PM_{2.5}$ มากที่สุด รองลงมาคือ PM_{10} และพนใน TSP ค่าที่สุด ขณะที่พื้นที่พื้นฐานใกล้เมืองมีค่า $PM_{2.5}$ ร้อยละ 2.1 ± 0.5 ความแปรผันของชีวิตประจำวันมีผลต่อนมวลฝุ่นละออง อินทรีย์คาร์บอน และธาตุคาร์บอน ได้แก่การจราจรบนท้องถนน อุตุนิยมวิทยาท้องถิ่น และการขนถ่ายมวลอากาศระหว่างประเทศ ไกล ซึ่งอุตุนิยมวิทยาท้องถิ่นและการขนถ่ายมวลอากาศระหว่างประเทศ ไกล ซึ่งอุตุนิยมวิทยาท้องถิ่นและการขนถ่ายมวลอากาศระหว่างประเทศ ไกล มีผลต่อคุณภาพอากาศมากกว่าด้านกำเนิดจากการจราจรบนท้องถนน ค่านิยมอัตราส่วนความเข้มข้นของ OC/EC และประมาณค่าปริมาณของอนุภาคคาร์บอนขั้นที่สอง โดยใช้ คาร์บอน เป็นตัววัดจากการปล่อยอินทรีย์คาร์บอน อนุภาคคาร์บอนขั้นที่สองที่มีค่า อินทรีย์วัตถุใน $PM_{2.5}$ ริมถนน ในช่วงกลางคืนมีค่ามากกว่ากลางวัน

Cao และคณะ (2004) ศึกษาการเปลี่ยนแปลงของอินทรีย์คาร์บอนและธาตุคาร์บอนในบรรยากาศที่เกี่ยวข้องแหล่งที่เกิดและถูกกำจัด บริเวณสามเหลี่ยมปากแม่น้ำเพริล ของจีน โดยศึกษาในช่วงฤดูหนาวและฤดูร้อน ในปี 2002 เก็บตัวอย่าง $PM_{2.5}$ และ PM_{10} ด้วย mini-volume วิเคราะห์ด้วยวิธี TOR ตามพิธีสาร IMPROVE ค่าเฉลี่ยรายวันของ OC EC $PM_{2.5}$ และ PM_{10} ที่ตรวจพบในฤดูหนาวมีค่าสูงกว่าฤดูร้อน ค่าเฉลี่ยของสัดส่วน OC/EC ใน $PM_{2.5}$ และ PM_{10} มีค่า 2.5 ± 0.2 ให้เห็นว่าจากแหล่งกำเนิดอินทรีย์คาร์บอนขั้นที่ 2 (SOC) ซึ่งค่านิยมค่า SOC ใน $PM_{2.5}$ และ PM_{10} ได้ 4.1 ± 0.6 ในไครกรัมต่อสูญเสียเมตรตามลำดับ ค่าความสัมพันธ์ (r) ของ OC และ EC ในฤดูหนาวและฤดูร้อนมีค่า 0.82 ± 0.64 ตามลำดับ บอกเป็นนัยได้ว่าแหล่งกำเนิดของอนุภาคคาร์บอนมาจากการเครื่องยนต์ การจำแนกส่วนของคาร์บอนออกเป็น 8 ส่วน เป็นด่วนออกได้ชัดเจนซึ่งขึ้นว่าแหล่งกำเนิดหลักของคาร์บอนมาจากการปลดปล่อยจากเครื่องยนต์

Dan และคณะ (2004) ศึกษาลักษณะเฉพาะตัวของคาร์บอนและเหล็กใน $PM_{2.5}$ ของเมืองปักกิ่ง โดยศึกษาความเข้มข้นของ OC และ EC ใน $PM_{2.5}$ ในเขตเมืองและชนบทของปักกิ่ง พบว่ามี OC ใน TCC ร้อยละ 70 และความเข้มข้นของ OC และ EC พบว่ามีค่าในถลูหนาวสูงกว่าในถลูร้อน เมื่อใช้สัดส่วนของ OC/EC ที่ต่ำสุดซึ่งมีค่า 0.9 มาหาค่า SOC พบว่า มีค่า SOC ใน OC ร้อยละ 50-95 ในถลูร้อน มีการเปรียบเทียบ OC และ EC กับ ธาตุ As Zn K และ Pb พบว่าการเผาใหม่ ถ่านหินเป็นแหล่งกำเนิดหลักของคาร์บอน ใน $PM_{2.5}$ ในเขตเมืองของปักกิ่ง ในช่วงถลูหนาว และ การเผาใหม่ชั่วโมง การจราจร หรือการปลดปล่อยจากโรงงานอุตสาหกรรม เป็นแหล่งกำเนิดหลัก ของ OC และ EC ในช่วงถลูร้อน

Cao และคณะ (2005) ศึกษาอินทรีคาร์บอน (OC) และชาตุคาร์บอน (EC) ต่อเมืองในช่วงที่มีมลพิษสูง ตั้งแต่กันยายน 2003 ถึงกุมภาพันธ์ 2004 ที่เมืองเชื่อาน โดยเก็บตัวอย่าง $PM_{2.5}$ และ PM_{10} ทุกวันที่ 3 เก็บตัวอย่างของแหล่งกำเนิด 3 ชนิดในช่วงเวลาการเก็บตัวอย่างบรรยายกาศ คือ การเผาใหม่ถ่านหิน การปลดปล่อยจากเครื่องยนต์ และการเผาใหม่ชั่วโมง พบร้า ค่าเฉลี่ยของ OC และ EC ใน $PM_{2.5}$ ในถลูหนาวนมีค่าสูงกว่าถลูใบไม้ร่วง ส่วนใหญ่ OC และ EC จะเก็บข้อมูลในอนุภาคขนาดเล็ก ($PM_{2.5}$) ระดับของ OC EC ที่เชื่อานจะสูงกว่าในเมืองหลวงของเอเชียเป็นส่วนใหญ่ และ พบร้า OC EC ในถลูใบไม้ร่วงมีความสัมพันธ์ต่ำกว่าในถลูหนาว องค์ประกอบของคาร์บอนใน $PM_{2.5}$ ตรวจพบว่ามี ในถลูใบไม้ร่วงมากกว่าในถลูหนาว ค่าเฉลี่ยของสัดส่วน OC/EC ในถลูหนาว สูงกว่าในถลูใบไม้ร่วง ค่าของ OC/EC พบร้าจะสูงขึ้นในช่วงการให้ความร้อนโดยการเพิ่มการเผาถ่านหิน ส่วนค่าอินทรีคาร์บอนขั้นที่สองไม่มีนัยสำคัญในช่วงถลูหนาว แบ่งการบันรวมออกเป็น 8 ส่วนคือ OC1 OC2 OC3 OC4 EC1 EC2 EC3 และ OP คาร์บอนรวม พบร้านไอเสียก๊าซไฮเดรนร้อยละ 73 ไอเสียคีเซอร์ร้อยละ 23 และการเผาใหม่ชั่วโมงร้อยละ 4 ในถลูใบไม้ร่วง และในถลูหนาว พบร้าการบันรวมมาจากไอเสียก๊าซไฮเดรน และการเผาถ่านหินร้อยละ 44 การเผาใหม่ชั่วโมงร้อยละ 9 และไอเสียคีเซอร์ร้อยละ 3

Chan และคณะ (2005) ศึกษาลักษณะเฉพาะของโครงสร้างในแนวคั่ง และแหล่งกำเนิดของ $PM_{2.5}$ PM_{10} และ กลุ่มคาร์บอน ในเมืองปักกิ่ง โดยเก็บตัวอย่าง $PM_{2.5}$ และ PM_{10} ที่ระดับความสูง 8, 100, 200 และ 325 เมตรที่จุดในเมืองและชานเมืองของปักกิ่ง ทำการวิเคราะห์อินทรีคาร์บอนและชาตุคาร์บอนในตัวอย่างผุ่น และพบว่าค่า $PM_{2.5}$ มีค่าสูงเกินมาตรฐานคุณภาพอากาศของสหรัฐอเมริกา ร้อยละ 86 และค่า PM_{10} ทุกค่าที่ทำการตรวจวัดทั้งสามระดับความสูง เกินมาตรฐานคุณภาพอากาศประเภทสองของจีน และพบว่า ระดับความสูงที่ไม่เกิน 50 เมตรเป็นสภาวะเสื่อม พบริมาณสารสูงกว่าระดับอื่น ที่ระดับ 50-160 เมตรเป็นสภาวะไม่เสื่อม มีการกระจายตัวของมลสารคือจึงพบปริมาณต่ำ เช่น ว่าระดับความสูง 100 เมตรเป็นจุดศูนย์กลางที่มีความไม่เสื่อม ทำให้มลสารในอากาศกระจายตัวออก จึงมีความเข้มข้นของมลสารต่ำมาก

Duan และคณะ (2005) ศึกษาลักษณะเฉพาะตัวของการบ่อนgnในเมืองปักกิ่ง โดยเก็บตัวอย่างการบ่อนgnใน PM_{10} ในเดือนกันยายน-พฤษจิกายน 2002 ที่มหาวิทยาลัยหัว ปักกิ่ง พบร่วมกับนีค่าเฉลี่ยของ OC EC OC/EC 21.2 7.3 $\mu g.m^{-3}$ และ 3.0 ตามลำดับ OC และ EC มีความสัมพันธ์กันสูงซึ่งชี้ให้เห็นว่าแหล่งกำเนิดของหั้งสองชนิดมาจากการแหล่งเดียวกัน และพบว่า ใน TC มี OC ร้อยละ 76 ซึ่ง OC และ EC จะมีอยู่ใน PM_{10} ร้อยละ 15 และ 5 ตามลำดับ การประมาณค่า SOC โดยใช้ค่าต่ำสุดของ OC/EC คือ 1.5 ทำให้พบร่วมกับนีค่า SOC ใน OC ร้อยละ 50 ในฤดูหนาว SOC ส่งผลให้ค่า CO อั่งมันนับสำหรับสูงถึงร้อยละ 40

Sasaki และ Sakamoto (2005) ศึกษาองค์ประกอบของ PM_{10} และ $PM_{2.5}$ ในความสูงที่ต่างกันในเมืองโอซาก้า ญี่ปุ่น โดยเก็บตัวอย่างบนคาดฟ้าของตึกที่ความสูง 200 เมตร จากพื้นดิน และที่พื้นระดับวันที่ 5-9 สิงหาคม และ 2-6 ธันวาคม ค.ศ. 2002 พบร่วมกับความเข้มข้นของฝุ่นละอองที่ความสูง 200 เมตร มีค่าน้อยกว่าที่พื้นดิน โดยความแตกต่างระหว่างฝุ่นละอองหั้งหมุดและฝุ่นละอองของจำนวนชนิดที่ตรวจวัด ถือว่าความเข้มข้นของปริมาณที่ความสูงต่างกันมีลักษณะเด่นในฤดูร้อน ขณะที่ชาติการบ่อนgn และอินทรีย์การบ่อนgn มีมากในฤดูหนาว ในช่วงฤดูร้อนความเข้มสัมพัทธ์ในแนวคิดที่พื้นนีค่ามากกว่าที่ความสูง 200 เมตร ดังนั้นมันค่อนข้างจะเป็นไปได้ที่ความเข้มข้นสูงที่ระดับพื้น อาจจะมาจากการที่น้ำถูกดูดซับด้วยองค์ประกอบที่กล้ายเป็นน้ำในฝุ่นละออง อุณหภูมิตามความสูงในช่วงฤดูหนาว มีสภาพคงตัวของอุณหภูมนิ่มนิ่วที่หาย เป็นผลให้การสะสมของฝุ่นละอองขั้นดัน ที่ถูกปล่อยข้ออกจากเครื่องยนต์ ทำให้ความเข้มข้นชาติการบ่อนgn และอินทรีย์การบ่อนgn ที่ระดับพื้นนีค่าสูง

Yuan และคณะ (2005) ศึกษาการประยุกต์ใช้การแยกตัวประกอบด้านแบบเชิงบวกในการประมาณค่าอินทรีย์การบ่อนgnขั้นที่ 2 ในช่องกร และกลไกการก่อตัวอย่างชั้น Jen ซึ่ง SOC เป็นส่วนหนึ่งใน OC อั่งมันนับสำหรับ ระดับและรูปแบบของ SOC ในช่องกร ได้มาจาก การสำรวจตัวอย่าง PM₁₀ มากกว่า 2000 ตัวอย่างในระยะเวลา ตั้งแต่ปี 1998-2002 และใช้แบบจำลองการแยกตัวประกอบด้านแบบเชิงบวก (PMF) ใน การวิเคราะห์ข้อมูลเพื่อจำแนกแหล่งกำเนิด SOC ได้ถูกประมาณค่าต่อมากจากผลรวมของ OC ที่อยู่ในแหล่งกำเนิดขั้นที่ 2 เช่น ชัลเฟดขั้นที่ 2 ในเตรทขั้นที่ 2 และ ละอองอินทรีย์ขั้นที่ 2 ค่าเฉลี่ยของ SOC ที่ได้จากการวิเคราะห์ PMF คือ 4.25 ในไครกรัมต่อ คิวบิกเมตร ในฤดูร้อน และฤดูหนาวมีค่าเฉลี่ย 1.66 และ 7.05 ในไครกรัมต่อ คิวบิกเมตร และพบร่วมกับ SOC และชัลเฟดขั้นที่ 2 ที่เกิดขึ้นพร้อมกันในฤดูหนาวที่แยกต่างกัน และความสัมพันธ์ในแต่ละฤดู เป็นปัจจัยที่ควบคุมการก่อตัว การพิจารณาที่เป็นที่ยอมรับในวิถีทางของชัลเฟด และการเกิดขึ้นพร้อมกันของ SOC และ ชัลเฟด ทั้งการออกซิไดซ์ในสถานะก๊าซ และกระบวนการการเกิดเมฆ

Cao และคณะ (2006) ศึกษาลักษณะเฉพาะตัวของคาร์บอนจากฝุ่นละอองขนาดเล็กบนถนนและ ส่วนของคาร์บอน 8 ส่วนในช่องกรง โดยเก็บตัวอย่าง OC และ EC และ 8 ส่วนของคาร์บอนบนถนนรอบๆเมืองช่องกรง ในเดือนพฤษภาคม-มิถุนายน 2002 โดยใช้ TOR Method ตาม IMPROVE protocol ค่าเฉลี่ยของ OC/EC คือ 1.0 บอกได้ว่า OC และ EC มาจากแหล่งกำเนิดขั้นต้น ในตอนกลางวันพบว่าความเข้มข้นมีค่าสูงกว่าในตอนกลางคืน เมื่อศึกษา 8 ส่วนของคาร์บอน คือ OC1 OC2 OC3 OC4 EC1 EC2 EC3 และ OP พบว่า EC2 และ OC2 มาจากการปลดปล่อยของการเผาไหม้เชื้อเพลิงคือเชลปีนหลัก และ OC3 และ OC2 ส่วนใหญ่มาจากการปลดปล่อยจากการเผาไหม้ LPG และ น้ำมันเบนซิน ดังนั้นวิธีหาส่วนของคาร์บอนนี้สามารถใช้จำแนกความแตกต่างของแหล่งกำเนิดของคาร์บอนได้

Guinot และคณะ (2006) ศึกษาโครงสร้างของบรรยากาศในแนวตั้งที่มีผลต่อการแพร่กระจายของฝุ่นละอองในเมืองปักกิ่ง โดยทำการทดลองวันที่ปลดปล่อยร่องรอยและวันที่มีมลพิษ ที่ตีกสูง 325 เมตร ขอบเขตของชั้นบรรยากาศในเมืองของปักกิ่ง เป็นไปตามรูปแบบที่คาดไว้ในเวลากลางคืน มีค่า 80 ± 50 เมตร และ ในเวลากลางวันมีค่าสูงขึ้น ได้ถึง 3,000 เมตร หลังช่วงเวลา 10.00 น. การขยายตัวในแนวตั้งของขอบเขตชั้นบรรยากาศเริ่มเห็นชัดเจนมากขึ้น ที่ระดับความสูงของตึกความเร็วลมเพิ่มขึ้นและทิศทางลมเปลี่ยนอย่างรวดเร็ว ข้อมูลจากสถานีพื้นดินแสดงผลพิษที่อาจจะสัมพันธ์กับการคมนาคมในแนวราบที่ช่วงเช้าถึงเย็น โดยใช้อัตราส่วนของความเข้มข้นของอนุภาคกับแนวลอกคาร์บอน เห็นได้ว่าชั้นสะสนที่ 60 และ 90 เมตร อาจจะสัมพันธ์กับโคนกรอบเมือง และสามารถสังเกตเห็นได้ในช่วงเมฆมาก ปฏิกิริยาเพิ่มขึ้นในแนวตั้งอาจจะเป็นจุดที่มีนัยสำคัญในการป้องกันรังสีความร้อนที่มาจากอนุภาค ในเวลาเช้าจะพบชั้นที่เด่นชัดมากที่ขอดคึก ในตอนกลางวันมีการผ่อนที่ชัดเจนระหว่างขอบเขตของชั้นบรรยากาศ กับการไหลของอากาศด้านบน

Zhang และคณะ (2007) ศึกษาอินทรีย์คาร์บอน และธาตุคาร์บอน ใน PM_{10} และนำเข้าอนุลักษณ์ SO₂, CO และ O₃ มาประเมินลักษณะเฉพาะของอนุภาคคาร์บอนในฤดูหนาว บริเวณในเมืองปักกิ่ง พบว่าค่าเฉลี่ย OC ในช่วงกลางคืนสูงกว่ากลางวันถึง 40% ค่าเฉลี่ยของ EC ช่วงกลางวัน มีค่าใกล้เคียงกับกลางคืน สัดส่วนของ OC/EC ในช่วงกลางคืนสูงกว่าเวลากลางวัน OC EC และ PM_{10} มีค่าต่ำเมื่อมีลมแรงและมีค่าสูงเมื่อมีลมอ่อน ค่าของ OC EC มีความสัมพันธ์กับค่า PM_{10} , CO และ SO₂ ซึ่งให้เห็นว่ามาจากแหล่งกำเนิดคล้ายกัน การปลดปล่อยจากไอเสียเครื่องยนต์จะมีค่า OC/EC ต่ำ แต่ถ้ามาจากการเผาไหม้ถ่านหินค่า OC/EC จะสูง ซึ่งถือเป็นแหล่งกำเนิดหลักของคาร์บอนในฤดูหนาวที่ปักกิ่ง

Chuersuwan และคณะ (2008) ศึกษาระดับและแหล่งกำเนิดหลักของ $PM_{2.5}$ และ PM_{10} ในกรุงเทพมหานคร โดยเก็บตัวอย่าง 4 จุด และวิเคราะห์องค์ประกอบของชาตุ 15 ชนิด ไอออนที่

คลาชในน้ำ 4 ชนิด และการบ่อนรุน ในระหว่างเดือนกุมภาพันธ์ 2002 ถึง มกราคม 2003 จากนั้นนำมาจำแนกเหล่ากำเนิดหลักโดยใช้ แบบจำลองผู้รับ และความรู้เกี่ยวกับสมดุลมวลทางเคมี พบว่า $PM_{2.5}$ และ PM_{10} มีความแตกต่างกันในทุกพื้นที่ศึกษาอย่างมีนัยสำคัญ ค่าเฉลี่ย 24 ชั่วโมง มีค่าสูงในตำแหน่งที่มีการจราจร เหล่ากำเนิดหลักของ PM_{10} ในพื้นที่ที่มีการจราจร มาจากการปลดปล่อยจากการรถชนต์ และการเผาไหม้ชีวมวล ซึ่งสัมพันธ์กับการส่งผลจากเหล่ากำเนิดประมาณร้อยละ 33 ในพื้นที่อุบลราชธานี 2 จุดที่ทำการศึกษา พบว่า PM_{10} มาจากการรถชนต์ ร้อยละ 39 และ 22 ตามลำดับ จากการเผาไหม้ชีวมวล ร้อยละ 36 และ 28 ตามลำดับ จากคืนที่邂วนล้อขยะและการทำอาหาร ร้อยละ 10 – 15

Schwarz และคณะ (2008) ศึกษาอินทรีย์การบ่อนใน PM_{10} เทศบาลเมือง และย่านธุรกิจ ในเมืองปราจีนบุรี อินทรีย์การบ่อนในชานเมืองพบว่ามีค่าเฉลี่ยสูงกว่าย่านธุรกิจ ส่วนชาตุการบ่อน และ PM_{10} ในย่านธุรกิจสูงกว่าชานเมือง สิ่งที่แตกต่างกันในทั้ง 2 จุดเกี่ยวกับระหว่างถูกกาลและสภาพอุตุนิยมวิทยา คือ พบว่าค่าอินทรีย์การบ่อน ในถูกหน้าสูงกว่าถูกร้อน ในชานเมืองพบสัดส่วนในถูกหน้า/ถูกร้อน มีค่าสูงกว่าย่านธุรกิจ ระดับความเข้มข้นของ PM_{10} และ OC ในอากาศ มีต้นกำเนิดหลักจากการหมุนเวียนของมวลอากาศเหนืออยู่ในปีต่อน้ำ รวมมาจากอยู่ในปีต่อวันออกเฉียงได้ ในถูกหน้า

ศูนย์วิทยทรัพยากร จุฬาลงกรณ์มหาวิทยาลัย

บทที่ 3

วิธีดำเนินการศึกษา

3.1 พื้นที่ศึกษาและสถานที่เก็บตัวอย่าง

3.1.1 อ่าเภอหาดใหญ่ จังหวัดสงขลา

3.1.1.1 ลักษณะโดยทั่วไปของเมือง

เทศบาลนครหาดใหญ่ จังหวัดสงขลา ตั้งอยู่ในอ่าเภอหาดใหญ่ จังหวัดสงขลา อุป
ราชวัง เส้นลองติจูด 100 องศา 01 ลิปดา ถึงเส้นลองติจูดที่ 6 องศา 17 ลิปดา ถึงเส้นละติจูดที่ 7
องศา 56 ลิปดาเหนือ มีพื้นที่ 21 ตารางกิโลเมตร หรือประมาณร้อยละ 3.18 ของพื้นที่อ่าเภอ
หาดใหญ่และอยู่ห่างจากกรุงเทพมหานคร ตามเส้นทางรถไฟ 945 กิโลเมตร ตามทางหลวงแผ่นดิน
ประมาณ 1,125 กิโลเมตร จำนวนประชากร เมื่อเดือนกันยายน 2551 มีทั้งสิ้น 157,682 คน มีบ้าน
จำนวน 50,052 หลังคาเรือน (www.hatyaicity.go.th, 2552) ประชากรส่วนใหญ่เป็นคนในท้องถิ่น
และอพยพมาจากจังหวัดใกล้เคียง อาชีพหลักของประชากร คือ พัฒกรรมและอุตสาหกรรม

อาณาเขตของอ่าเภอหาดใหญ่

ทิศเหนือ	ติดต่อกับ	ทະเลสารสังขลา เขตอ่าเภอเมืองสงขลาและอ่าเภอรัตนมิ
ทิศตะวันออก	ติดต่อกับ	เขตอ่าเภอเมืองสงขลา และอ่าเภอจะนะ
ทิศตะวันตก	ติดต่อกับ	เขตอ่าเภอรัตนมิ และเขตกันอ่าเภอกล่องหอยไข่
ทิศใต้	ติดต่อกับ	เขตอ่าเภอสะเดา และอ่าเภอนามาหมู่บ้าน จังหวัดสงขลา

ลักษณะภูมิอากาศ

ตั้งอยู่ในเขตอิทธิพลของลมมรสุมเมืองร้อน มีลมมรสุมพัดผ่านประจำทุกปี คือ ลมมรสุม
ตะวันออกเฉียงเหนือ เริ่มตั้งแต่เดือนตุลาคม ถึงกลางเดือนกรกฎาคม และลมมรสุมตะวันตกเฉียงใต้ เริ่ม
ตั้งแต่กลางเดือนพฤษภาคม ถึงกลางเดือนตุลาคม จากอิทธิพลของลมมรสุมดังกล่าว ส่งผลให้มีฤดูกาล
เพียง 2 ฤดู คือ

ฤดูร้อน เริ่มตั้งแต่เดือนธันวาคม ถึงเดือน พฤษภาคม ซึ่งจะเป็นช่วงที่ว่างของลมมรสุมจะ
เริ่มตั้งแต่หลังจากหน้าฝนสูญคลายลงแล้ว อากาศจะเริ่มร้อนและอากาศมีอุณหภูมิ
สูงสุดในเดือนเมษายน แต่อากาศจะไม่ร้อนมากนักเนื่องจากตั้งอยู่ใกล้ทะเล

อุคฟัน เริ่มตั้งแต่เดือนมิถุนายน ถึง พฤษภาคม จังหวัดสงขลาจะมีฝนตกทั้งในช่วงฝน
ฤดูน้ำที่มีปริมาณมากและฝนฤดูหนาวที่มีปริมาณน้อย แต่ในช่วงฝนฤดูหนาวน้ำฝนจะลดลง
และมีปริมาณน้อยกว่าเดือนก่อนหน้า ทำให้ฝนตกน้อยลง จังหวัดสงขลาในปี 2546 ฝนตกมากที่สุดในช่วงเดือน ตุลาคม
มีปริมาณฝนตกน้อยที่สุดในเดือนเมษายน (<http://demo.cityvariety.com>, 2552)

ผลการตรวจวัดคุณภาพอากาศจากกรมควบคุมมลพิษ โดยรายงานค่าความเข้มข้นของฝุ่น
ละอองขนาดไม่เกิน 10 ไมโครเมตร (PM_{10}) เฉลี่ย 24 ชั่วโมง ตั้งแต่ปี พ.ศ. 2547-2551 แสดงค่าต่อไปนี้
ดูดังนี้ ค่าเฉลี่ยรายเดือนและจำนวนครั้งที่ตรวจพบค่ากันมาตรฐาน พนบ.ว่า (120 ไมโครกรัมต่อ
คิวบิกเมตร) (ตารางที่ ก-1 ภาคผนวก ก)



ภาพที่ 3.1 แผนที่อำเภอหาดใหญ่ จังหวัดสงขลา

ที่มา: คัดแปลงจาก www.thai2travel.com

3.1.1.2 ช่วงเวลาที่ทำการเก็บตัวอย่างและ จุดเก็บตัวอย่าง

เก็บตัวอย่างตั้งแต่เวลา 21.00 น. วันที่ 17 ธันวาคม พ.ศ. 2550 ถึงเวลา 21.00 น.
วันที่ 20 ธันวาคม พ.ศ. 2550 เพื่อให้สอดคล้องกับการศึกษาข้อมูลทางอุตุนิยมวิทยาชั้นบน ในเวลา
01.00 น. จึงได้เริ่มทำการเก็บตัวอย่างในช่วงเวลา 21.00 น.

การเลือกจุดเก็บตัวอย่าง พิจารณาตามลักษณะของอิทธิพลของเมืองที่มีต่อ
ความเร็วลม และอุณหภูมิ ในแต่ละชั้นความสูงที่มีความแตกต่างกันตามระดับความสูง และขนาด

ของความเป็นเมืองในแต่ละพื้นที่ที่ส่งผลต่ออุตุนิยมวิทยา ซึ่งพื้นที่จะแบ่งเป็น 3 ระดับชั้นคือ (ภาพที่ 3.2)

1) ชั้นล่าง กีดacula พื้นที่ 10 ของโรงแรนโนโวเทลเซ็นทารา สุคนธา หาดใหญ่ สูงจากระดับน้ำทะเล 40 เมตร (สูงจากพื้นดิน 30 เมตร)

2) ชั้นกลาง กีดacula พื้นที่ 14 ของโรงแรนลีการ์เด้นท์ หาดใหญ่ สูงจากระดับน้ำทะเล 70 เมตร (สูงจากพื้นดิน 60 เมตร)

3) ชั้นบน กีดacula พื้นที่ 36 ของโรงแรนลีการ์เด้นท์ หาดใหญ่ สูงจากระดับน้ำทะเล 135 เมตร (สูงจากพื้นดิน 125 เมตร)



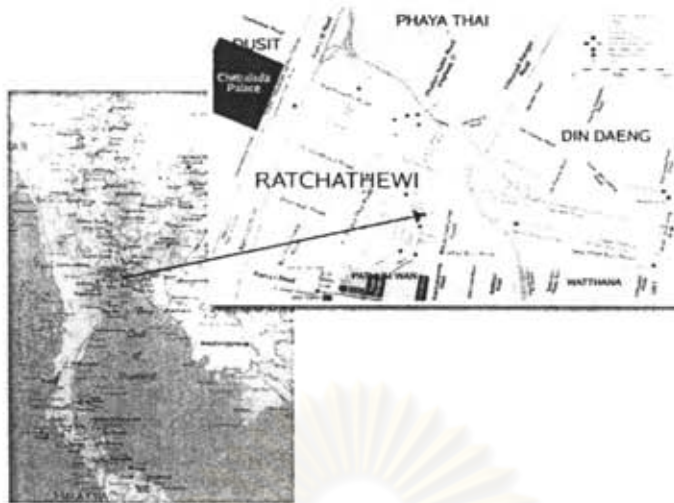
ภาพที่ 3.2 แผนที่ตั้งชุมกีดacula ตัวอย่างข้อมูลหาดใหญ่ จังหวัดสงขลา

ที่มา: www.googleearth.com

3.1.2 เขตราชเทวี กรุงเทพมหานคร

3.1.2.1 ลักษณะโดยทั่วไป

เขตราชเทวี เป็น 1 ใน 50 เขตการปกครองของกรุงเทพมหานคร อยู่ในกลุ่มเขตวิภาวดี ซึ่งถือเป็นแหล่งการค้า การบริการ และแหล่งท่องยุทธศาสตร์หนาแน่นมาก ส่วนเขตราชเทวี ตั้งอยู่บริเวณ latitude 13.45 องศาเหนือ longitude 100.32 องศาตะวันออก มีพื้นที่ 7.126 ตารางกิโลเมตร จำนวนประชากร 97,747 คน (พ.ศ. 2550) ความหนาแน่นของประชากร 13,717 คนต่อตารางกิโลเมตร ตั้งอยู่ทางทิศตะวันตกของฝั่งพระนคร



ภาพที่ 3.3 แผนที่เขตราชเทวี กรุงเทพมหานคร

ที่มา: ดัคแปลงจาก www.bma.go.th

อาณาเขต

ทิศเหนือ	ติดต่อกัน	เขตพญาไทและเขตดินแดง มีคลองสามเสนเป็นเส้นแบ่งเขต
ทิศตะวันออก	ติดต่อกัน	เขตห้วยขวาง มีถนนรัชดาภิเษก (อโศก-ดินแดง) เป็นเส้นแบ่งเขต
ทิศใต้	ติดต่อกัน	เขตวัฒนาและเขตปทุมวัน มีคลองแสงแสนและคลองมหานาค เป็นเส้นแบ่งเขต
ทิศตะวันตก	ติดต่อกัน	เขตคุสิต มีทางรถไฟสายเหนือเป็นเส้นแบ่งเขต

ภูมิอากาศ

กรุงเทพมหานครนั้นมีภูมิอากาศแบบร้อนชื้น โดยอยู่ภายใต้อิทธิพลของลมมรสุม 2 ชนิด ได้แก่ ลมมรสุมตะวันออกเฉียงเหนือ และลมมรสุมตะวันออกเฉียงใต้ อุณหภูมิทั้ง 3 ฤดูจะแตกต่าง กัน แต่ค่าเฉลี่ยจากการวัด ณ สถานีตรวจอากาศ กรุงเทพมหานคร ปี 2545 จะอยู่ที่ 29.2 องศา เชลเซียส โดยค่าเฉลี่ยสูงสุดคือ 38 องศาเชลเซียส และต่ำสุดเท่ากับ 19.2 องศาเชลเซียส ความชื้น สัมพันธ์ของกรุงเทพมหานครจะมีค่าสูงเกินค่าปกติ เนื่องจากกรุงเทพมหานครตั้งอยู่ใกล้กับมหาสมุทร ซึ่งมีไอน้ำพัดเข้าถึงสนับสนุน ซึ่งจากการวัด ณ ปี พ.ศ. 2545 เช่นกัน ความชื้นสัมพันธ์ของ กรุงเทพมหานครจะมีค่าเฉลี่ยร้อยละ 73 ทัศนวิสัยของกรุงเทพมหานครเมื่อเวลา 07.00 น. จะมี ค่าเฉลี่ยอยู่ระหว่าง 4.6-8.0 กิโลเมตรปริมาณผ่าน ค่าเฉลี่ยปริมาณน้ำฝน ณ สถานีตรวจอากาศ กรุงเทพมหานคร ณ ปี พ.ศ. 2545 คือ 1,878.3 มิลลิเมตร และมีค่าเฉลี่ยจำนวนวันที่ฝนตกปีละ 146 วัน

ผลการสำรวจการใช้ประโยชน์ที่ดินในปัจจุบัน (Existing Land Use)

กรุงเทพมหานครในปัจจุบันมีพื้นที่ทั้งหมด 1,568.7 ตารางกิโลเมตร ซึ่งจากการศึกษาภาพถ่ายทางอากาศเพื่อตรวจสอบพื้นที่ความเป็นเมือง (Urbanized Area) ของกรุงเทพมหานครพบว่าในปี พ.ศ. 2545 กรุงเทพมหานครมีพื้นที่ความเป็นเมืองประมาณเกือบครึ่งหนึ่งของพื้นที่ทั้งหมด กล่าวคือ ประมาณ 700 ตารางกิโลเมตร และเมื่อได้สำรวจการใช้ประโยชน์ที่ดิน (Existing Land use) ปรากฏว่ากรุงเทพมหานครมีการใช้ประโยชน์ที่ดิน 3 ประเภทในจำนวนพื้นที่ที่ได้สำรวจ คือปริมาณ 23% ของพื้นที่ทั้งหมด ได้แก่ เป็นการใช้ประโยชน์ที่ดินเพื่อการอยู่อาศัย จำนวน 366.385 ตารางกิโลเมตร (หรือร้อยละ 23.36) การใช้ที่ดินเพื่อการเกษตรกรรม 369.837 ตารางกิโลเมตร (ร้อยละ 23.58) และเป็นการใช้ประเภทที่ว่าง 378.974 ตารางกิโลเมตร (หรือร้อยละ 24) นอกจากนี้จะเป็นการใช้ประโยชน์ที่ดินประเภทต่างๆ เช่น เพื่อการพาณิชยกรรม อุตสาหกรรม สถานที่ราชการ ฯลฯ (www.bma.go.th, 2551)

ผลการตรวจคุณภาพอากาศจากกรมควบคุมมลพิษ โดยรายงานค่าความเข้มข้นของฝุ่นละอองขนาดไม่เกิน 10 ไมโครเมตร (PM_{10}) เฉลี่ย 24 ชั่วโมง ตั้งแต่ปี พ.ศ. 2547-2551 แสดงค่าต่ำสุด สูงสุด ค่าเฉลี่ยรายเดือนและจำนวนครั้งที่ตรวจพบค่าเกินมาตรฐาน (120 ไมโครกรัมต่อวินาที) (ตารางที่ ก-2 ภาคผนวก ก)

3.1.2.2 ช่วงเวลาที่ทำการเก็บตัวอย่าง และ จุดเก็บตัวอย่าง

เก็บตัวอย่างตั้งแต่เวลา 21.00 น. วันที่ 18 กุมภาพันธ์ พ.ศ. 2551 ถึงเวลา 21.00 น. วันที่ 21 กุมภาพันธ์ พ.ศ. 2551 เพื่อให้สอดคล้องกับการศึกษาข้อมูลทางอุตุนิยมวิทยาชั้นบน ในเวลา 01.00 น. จึงเริ่มทำการเก็บตัวอย่างในช่วงเวลา 21.00 น.

การเลือกจุดเก็บตัวอย่าง พิจารณาตามลักษณะของอิทธิพลของเมืองที่มีต่อความเร็วลม และอุณหภูมิ ในแต่ละชั้นความสูงที่มีความแตกต่างกันตามระดับความสูง และขนาดของความเป็นเมืองในแต่ละพื้นที่ที่ส่งผลต่ออุตุนิยมวิทยา ซึ่งพื้นที่นี้จะแบ่งเป็น 3 ระดับชั้นคือ (ภาพที่ 3.4)

- 1) ชั้นล่าง คือคาดฟ้าชั้นที่ 10 ของโรงเรนใบหยกสูท (ใบหยก 1) สูงจากระดับน้ำทะเล 40 เมตร (สูงจากพื้นดิน 38 เมตร)
- 2) ชั้นกลาง คือคาดฟ้าชั้นที่ 46 ของโรงเรนใบหยกสูท (ใบหยก 1) สูงจากระดับน้ำทะเล 160 เมตร (สูงจากพื้นดิน 158 เมตร)
- 3) ชั้นบน คือคาดฟ้าชั้นที่ 88 ของโรงเรนใบหยกสาก (ใบหยก 2) สูงจากระดับน้ำทะเล 330 เมตร (สูงจากพื้นดิน 328 เมตร)



ภาพที่ 3.4 แผนที่ตั้งจุดเก็บตัวอย่างกรุงเทพมหานคร
ที่มา: www.googleearth.com

3.1.3 อุบัติเมือง จังหวัดเชียงใหม่

3.1.3.1 ลักษณะ โภคทรัพยากรในเมือง

จังหวัดเชียงใหม่ตั้งอยู่ทางทิศเหนือของประเทศไทย เส้นรุ้งที่ 16 องศาเหนือ สูงจากระดับน้ำทะเลประมาณ 1,027 ฟุต (310 เมตร) ห่างจากกรุงเทพมหานคร 720 กิโลเมตร มีพื้นที่ประมาณ 20,107.057 ตารางกิโลเมตร หรือประมาณ 12,566,910 ไร่ จำแนกเป็น พื้นที่ป่าไม้ร้อยละ 69.92 (8,787,656 ไร่) พื้นที่ทำการเกษตรร้อยละ 12.82 (1,611,971 ไร่) พื้นที่อยู่อาศัย และอื่นๆ ร้อยละ 17.26 (2,167,971 ไร่) มีประชากรรวมทั้งสิ้น 1,686,209 คน ความหนาแน่นเฉลี่ย 84 คน/ตารางกิโลเมตร

อาณาเขต

ทิศเหนือ	ติดกับ	รัฐฉานของสาธารณรัฐพม่า
ทิศใต้	ติดกับ	อำเภอสามเงา จังหวัดตาก
ทิศตะวันออก	ติดกับ	จังหวัดเชียงราย จังหวัดลำพูน และจังหวัดลำปาง
ทิศตะวันตก	ติดกับ	อำเภอปาย อำเภอชุมขุนยวมและอำเภอแม่สะเริง จังหวัดแม่ฮ่องสอน



ภาพที่ 3.5 แผนที่ อำเภอเมือง จังหวัดเชียงใหม่
ที่มา: ดัดแปลงจาก [www.thaiwaysmagazine.com\](http://www.thaiwaysmagazine.com/)

ภูมิอากาศ

มีสภาพอากาศค่อนข้างเย็นเกือบทตลอดทั้งปี มีอุณหภูมิเฉลี่ยทั้งปี 25°C อุณหภูมิสูงสุดเฉลี่ย 31°C อุณหภูมิต่ำสุดเฉลี่ย 20°C และอยู่ภายใต้อิทธิพลรุ่น 2 ชนิด คือลมรุ่นตะวันตกเฉียงใต้ และลมรุ่นตะวันออกเฉียงเหนือ แบ่งภูมิอากาศออกได้เป็น 3 ฤดู ได้แก่

ฤดูฝน เริ่มตั้งแต่กลางเดือนพฤษภาคม จนถึงเดือนตุลาคม

ฤดูหนาว เริ่มตั้งแต่เดือนพฤษภาคม ไปจนถึงกลางเดือนกุมภาพันธ์

ฤดูร้อน เริ่มตั้งแต่เดือนกุมภาพันธ์ ถึงกลางเดือนพฤษภาคม

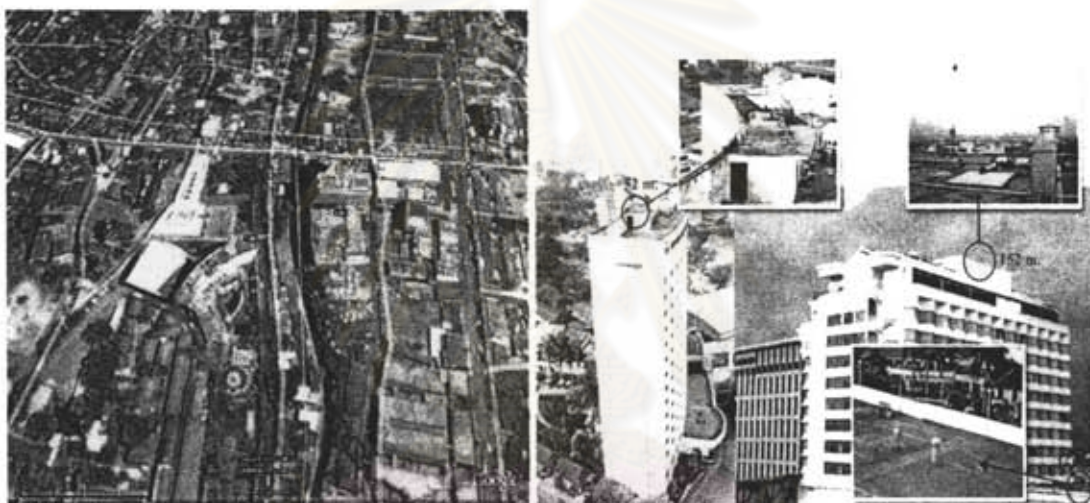
ผลการตรวจคุณภาพอากาศจากการควบคุมมลพิษ โดยรายงานค่าความเข้มข้นของฝุ่นละอองขนาดไม่เกิน 10 ไมโครเมตร (PM_{10}) เฉลี่ย 24 ชั่วโมง ตั้งแต่ปี พ.ศ. 2547-2551 แสดงค่าต่ำสุด สูงสุด ค่าเฉลี่ยรายเดือนและจำนวนครั้งที่ตรวจพบค่าเกินมาตรฐาน ($120 \text{ ไมโครกรัมต่อ}\text{ }\mu\text{g/m}^3$) (ตารางที่ ก-3 ภาคผนวก ก)

3.1.3.2 ช่วงเวลาที่ทำการเก็บตัวอย่าง และ จุดเก็บตัวอย่าง

เก็บตัวอย่างตั้งแต่เวลา 21.00 น. วันที่ 25 กุมภาพันธ์ พ.ศ. 2551 ถึงเวลา 21.00 น. วันที่ 28 กุมภาพันธ์ พ.ศ. 2551 เพื่อให้สอดคล้องกับการศึกษาข้อมูลทางอุตุนิยมวิทยาขั้นบน ในเวลา 01.00 น. ซึ่งเริ่มทำการเก็บตัวอย่างในช่วงเวลา 21.00 น.

การเลือกจุดเก็บตัวอย่าง พิจารณาตามลักษณะของอิทธิพลของเมืองที่มีต่อความเร็วลม และอุณหภูมิ ในแต่ละชั้นความสูงที่มีความแตกต่างกันตามระดับความสูง และขนาดของความเป็นเมืองในแต่ละพื้นที่ที่ส่งผลต่ออุตุนิยมวิทยา ซึ่งพื้นที่นี้จะแบ่งเป็น 3 ระดับชั้นคือ (ภาพที่ 3.6)

- 1) ชั้นล่าง คือภาคพื้น ชั้นที่ 5 ของโรงแร่มเข็นทารา ดวงตะวัน สูงจากระดับน้ำทะเล 325 เมตร (สูงจากพื้นดิน 12 เมตร)
- 2) ชั้นกลาง คือ ภาคพื้น ชั้นที่ 14 ของโรงแร่มอินพีเรียลแมมปีง สูงจากระดับน้ำทะเล 365 เมตร (สูงจากพื้นดิน 52 เมตร)
- 3) ชั้นบน คือภาคพื้น ชั้นที่ 26 ของโรงแร่มเข็นทารา ดวงตะวัน สูงจากระดับน้ำทะเล 435 เมตร (สูงจากพื้นดิน 152 เมตร)



ภาพที่ 3.6 แผนที่ตั้งจุดเก็บตัวอย่างสำหรับเมือง จังหวัดเชียงใหม่

ที่มา: www.googleearth.com

3.2 วิธีดำเนินการศึกษา

3.2.1 การเตรียมการศึกษา

รวบรวมข้อมูลที่เกี่ยวข้องกับการวิจัยทั้งในประเทศและต่างประเทศ เช่น ผู้นักวิจัย องค์ประกอบน้ำมัน องค์ประกอบทางเคมีของฝุ่นละออง ฝุ่นละอองตามระดับความสูง เป็นต้น

3.2.2 การดำเนินการเก็บตัวอย่าง

โดยจะดำเนินการเก็บตัวอย่าง ใน 2 ส่วนคือ การเก็บตัวอย่างข้อมูลทางอุตุนิยมวิทยา และ การเก็บตัวอย่างฝุ่นละอองรวม และฝุ่นละอองขนาดไม่เกิน 10 ไมโครเมตร มีรายละเอียดดังนี้

3.2.2.1 การศึกษาข้อมูลทางอุตุนิยมวิทยา

1) การศึกษาข้อมูลทางอุตุนิยมวิทยาเพื่อพิเคราะห์

ทำการติดตั้งเครื่องมือวัดสภาพอุตุนิยมวิทยา คือ Weather station ยี่ห้อ Davis รุ่น Vantage Pro2 ที่จุดตรวจวัดที่ 3 ระดับความสูง ซึ่งเป็นบริเวณเดียวกับจุดติดตั้งเครื่องมือตรวจวัดฝุ่นละออง ในแต่ละพื้นที่ที่ศึกษา โดยจะตรวจวัดอุณหภูมิ ความชื้นสัมพัทธ์ ความดันบรรยากาศ ความเร็วลม ทิศทางลม และความเข้มของรังสีดวงอาทิตย์

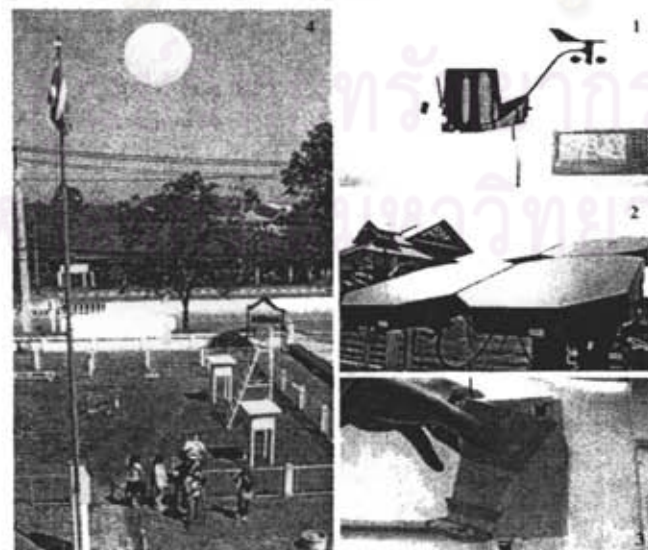
2) การศึกษาข้อมูลทางอุตุนิยมวิทยาชั้นบน

ทำการปล่อยขลุนจากกรมอุตุนิยมวิทยา แบบ Radiosonde วิธีนี้ใช้ถูกไปที่ มีขนาด 1,000 กรัม ผูกติดกับเครื่องส่งวิทยุขนาดเล็ก ปล่อยขึ้นไป วิทยุจะสามารถรายงาน ส่วนประกอบทางอุตุนิยมวิทยาต่าง ๆ มาซึ่งเครื่องรับวิทยุซึ่งติดตั้งอยู่บนพื้นดิน ผลที่ได้รับรายงาน จะแสดงค่าของอุณหภูมิ ความชื้นสัมพัทธ์ ความกดอากาศในแต่ละชั้นของอากาศ และสามารถ คำนวณหาทิศทางและความเร็วลมในระดับชั้นบนได้ โดยทำการตรวจวัดในพื้นที่ศึกษาดังนี้

(1) พื้นที่ศึกษาอำเภอหาดใหญ่ จังหวัดสงขลา ทำการปล่อยขลุน ณ สถานี อุตุนิยมวิทยาประจำอำเภอหาดใหญ่ ทุก 6 ชั่วโมง เป็นเวลา 3 วัน ตั้งแต่วันที่ 17-20 ธันวาคม พ.ศ. 2550

(2) พื้นที่ศึกษาจังหวัดกรุงเทพมหานคร ทำการปล่อยขลุน ณ กรม อุตุนิยมวิทยา บางนา ทุก 4 ชั่วโมง เป็นเวลา 3 วัน ตั้งแต่วันที่ 18-21 กุมภาพันธ์ พ.ศ. 2551

(3) พื้นที่ศึกษาอำเภอเมือง จังหวัดเชียงใหม่ ทำการปล่อยขลุน ณ สถานี อุตุนิยมวิทยาประจำจังหวัดเชียงใหม่ ทุก 6 ชั่วโมง เป็นเวลา 3 วัน ตั้งแต่วันที่ 25-28 กุมภาพันธ์ พ.ศ. 2551



ภาพที่ 3.7 อุปกรณ์ตรวจวัดอุตุนิยมวิทยา 1: Weather station และ 2-4: อุปกรณ์ตรวจวัดอุตุนิยมวิทยาชั้นบน

3) การศึกษาระดับความสูงผ่อน (Mixing height)

โดยการนำข้อมูลที่ได้จากการปล่อยบันลอกอุณหภูมิมาคำนวณค่าระดับความสูงผ่อน โดยวิธี Dry adiabatic ซึ่งเป็นวิธีการที่ใช้ในการคำนวณค่าระดับความสูงผ่อน โดยอาศัยข้อมูลที่ได้จากการทำการตรวจวัดด้วยการใช้วิทยุสูญญากาศไปกับบันลอกอุณหภูมิ (Radiosonde) เพื่อทำการตรวจวัดหาค่าพารามิเตอร์ต่างๆ เช่น อุณหภูมิ ความชื้นสัมพัทธ์ หรือ ความเร็วและทิศทางลม ตามระดับความสูงที่แตกต่างกัน และอาศัยหลักการที่ว่าค่าของข้อมูลต่างๆ เหล่านี้จะแปรผกผันกันค่าของความสูงที่เพิ่มขึ้น มาคำนวณหาเส้น dry adiabatic lapse rate เพื่อนำเส้นดังกล่าวไปพลีอเดาจากตัดกับเส้นของข้อมูลที่ได้จากการตรวจวัดจริงจากบันลอกอุณหภูมิ โดยจะถือว่าบริเวณที่เส้นทั้งสองตัดกันคือค่าระดับความสูงผ่อนวิธีการที่นำมาใช้เพื่อทำการคำนวณหาเส้น dry adiabatic lapse rate ส่วนใหญ่แล้วจะขึ้นตามหลักการของ Holzworth ซึ่งจะมีการนำเอาข้อมูลอุดมในวิทยาพื้นผิว ของพื้นที่ที่ทำการศึกษาเข้ามาคิดคำนวณด้วย ดังนั้นวิธีการนี้ข้อมูลในส่วนของอุดมในวิทยาพื้นผิว จึงค่อนข้างมีผลต่อค่าระดับความสูงผ่อนในพื้นที่นั้นๆ เป็นอย่างมาก สำหรับการศึกษาวิจัยในครั้งนี้การคำนวณหาค่าระดับความสูงผ่อนโดยวิธี Dry adiabatic จำเป็นที่จะต้องใช้ข้อมูลอุดมในวิทยาชั้นบน และข้อมูลอุดมในวิทยาพื้นผิว ของพื้นที่ศึกษามาใช้ในการคำนวณหาค่าระดับความสูงผ่อน ประกอบด้วย อุณหภูมิ และความสูง เท่านั้นที่จะนำมาใช้ โดยที่จะใช้ข้อมูลอุณหภูมิ และความสูง จากข้อมูลอุดมในวิทยาชั้นบนใช้เป็นตัวแทนของเส้นที่ตรวจวัดได้จริง ส่วนข้อมูลอุดมในวิทยาพื้นผิวจะใช้เพียงค่าอุณหภูมิต่ำสุดในการคำนวณหาเส้น dry adiabatic lapse rate เพื่อนำไปพลีอเดาจากตัดต่อไป

โดยการนำค่าอุณหภูมิต่ำสุดในช่วงเวลา (00, 03 GMT) หรือ 7.00 น. และ 10.00 น. ของเวลาท้องถิ่น มาบวก 5 องศาเซลเซียส ทั้งนี้เพื่อชดเชยเรื่องของภาวะความร้อน แล้วนำมาคำนวณหาค่าระดับความสูงผ่อน ดังสมการที่ 3.1 ส่วนค่าอุณหภูมิต่ำสุดในช่วงเวลาอื่น จะใช้การคำนวณดังสมการที่ 3.2

$$\text{Temp} = (T_{min} + 5) - (0.0098 * (H_2 - H_1)) \quad (3.1)$$

$$\text{Temp} = T_{min} - (0.0098 * (H_2 - H_1)) \quad (3.2)$$

โดย	Temp	=	ค่าอุณหภูมิ มีหน่วยเป็นองศาเซลเซียส
5	=	ค่าอุณหภูมิที่ใช้ชดเชยภาวะความร้อน มีหน่วยเป็นองศาเซลเซียส	
Tmin	=	ค่าอุณหภูมิต่ำสุดมีหน่วยเป็นองศาเซลเซียส	
H1	=	ความสูงที่ระดับที่ 1 มีหน่วยเป็นเมตร	
H2	=	ความสูงที่ระดับที่ 2 มีหน่วยเป็นเมตร	

$0.0098 = \frac{\text{ค่าอุณหภูมิที่เปลี่ยนแปลงของ dry adiabatic lapse rate ต่อ } 1 \text{ เมตร}}{\text{เมตรที่หันไปเป็นองศาเซลเซียสต่อมتر}}$

3.2.2.2 ฝุ่นละอองรวม และฝุ่นละอองขนาดไม่เกิน 10 ไมโครเมตร

3.2.2.2.1 การเตรียมเครื่องมือและอุปกรณ์

1) เครื่องเก็บตัวอย่างฝุ่นละออง ชนิดไส้ไวโอลุน (High-volume air sampler) ทั้งฝุ่นละอองรวมและฝุ่นละอองขนาดไม่เกิน 10 ไมโครเมตร โดยกำหนดช่วงของอัตราการไหลของการเก็บตัวอย่างฝุ่นละอองรวม 50 ลูกบาศก์ฟุตต่อนาที และช่วงอัตราการไหลของการเก็บตัวอย่างฝุ่นละอองขนาดไม่เกิน 10 ไมโครเมตรอยู่ที่ 40 ลูกบาศก์ฟุตต่อนาที

2) กระดาษกรองควอทซ์ (Quartz fiber filter) ขนาด 8×10 นิ้ว โดยเพากระดาษกรองควอทซ์ที่อุณหภูมิ 700 องศาเซลเซียส อย่างน้อย 1 ชั่วโมง ก่อนนำไปป้อนในตู้ควบความชื้น 24 ชั่วโมง จากนั้นขึ้นหนังสือด้วยเครื่องซึ่งความละเอียด ทหนิบม 4 ตัวหนังสือรักษากระดาษกรองโดยการห่อตัวกระดาษอุ่นให้แน่น บรรจุในถุงพลาสติกซิป ที่ดีดคลำกระบุหน้ายเหล็กกระดาษกรองและน้ำหนักกระดาษกรองเริ่มต้น

3) คิมคีบปากแบน เคลือบด้าบทეปลอน (Forceps)

4) ถุงมือไวนิล ชนิดไม่มีแป้ง (Vinyl non powdered gloves)

5) แผ่นบันทึกอัตราการไหล (Flow recorder chart)

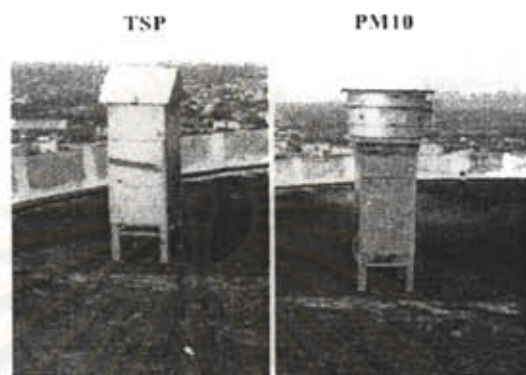
6) การเลือกชุดติดตั้งเครื่องเก็บตัวอย่าง ในรัศมี 270 องศา รอบซ่องทางเข้าอากาศต้องไม่มีอะไรกีดขวางการไหลของอากาศ ซ่องทางเข้าของอากาศของเครื่องเก็บตัวอย่างควรอยู่ห่างจากสิ่งกีดขวาง เช่นอาคาร อย่างน้อย 2 เท่าของความสูงของสิ่งกีดขวางที่ໄผลลั่นหรือซ่องทางเข้าอากาศนั้น ติดตั้งเครื่องเก็บตัวอย่างฝุ่นละอองให้อยู่ในแนวระนาบ และยึดขาตั้งเครื่องให้แน่น เพื่อป้องกันไม่ให้เครื่องล้ม

7) การปรับเทียบเครื่องเก็บตัวอย่าง เป็นการตรวจสอบความถูกต้องของตารางแสดงอัตราการไหลของอากาศริงของ VFC (Look up table) ที่ผ่านการรับรองจากผู้ผลิต กับสถานภาพของ Critical venture ที่ใช้ในการควบคุมอัตราการไหลของอากาศในเครื่องเก็บตัวอย่าง อุปกรณ์ที่ใช้ในการปรับเทียบ คือชุดปรับเทียบ Orifice โดย ติดตั้งระบบการปรับเทียบด้วยชุดปรับเทียบ Orifice โดยไม่ใส่กระดาษกรอง จากนั้นวางแผนด้านท่านการไหลของอากาศแน่น แรก ลงตรงกลางระหว่าง Orifice กับที่จับกระดาษกรอง และทำการปรับเทียบอย่างน้อย 4 ชุด เปิดมอเตอร์ทิ้งไว้ประมาณ 3-5 นาที ตรวจเช็คการรั่วไหลของอากาศทั้งระบบ โดยใช้ฝ้ามือปิดช่องทางเข้าอากาศของOrifice และใช้นิ้วไปปิดปลายท่อสำหรับต่อ กับมาร์นอมิเตอร์แล้วเปิดมอเตอร์อ่านและบันทึกข้อมูล ค่าความกดอากาศที่ผ่าน Orifice (Pressure drop; ΔH) อ่านจากมาร์นอมิเตอร์

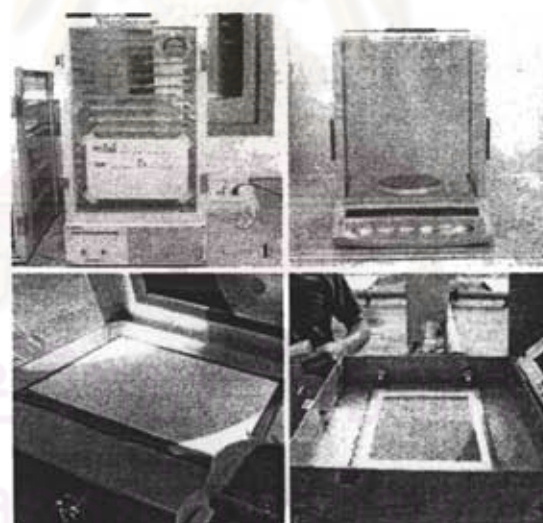
ที่ต่อกับ Orifice และบันทึกค่าความกดอากาศที่ผ่านชั้นวางกระดาษกรอง (PF) อ่านจากมาร์นอ มิเตอร์ ที่ต่อกับ Pressure tap ได้ชั้นวางกระดาษกรอง ปิดมอเตอร์ แล้ววางแผ่นด้านท่านการให้ลงของอากาศแผ่นอื่นลงไป แล้วคำนวณการตามขั้นตอนข้างต้น จนครบถ้วนแผ่น

1

2



ภาพที่ 3.8 เครื่องเก็บตัวอย่างฝุ่นละออง High volume air sampler
1: เครื่องเก็บตัวอย่างฝุ่นละอองรวม 2: เครื่องเก็บตัวอย่างฝุ่นละอองขนาดไม่เกิน 10 ไมโครเมตร



ภาพที่ 3.9 เครื่องมือและอุปกรณ์
1: ตู้ควบคุมความชื้น 2: เครื่องซับ 4 ค่าหน่วย 3: กระดาษกรองก่อนเก็บตัวอย่าง 4: กระดาษกรองทางลังเก็บตัวอย่าง

3.2.2.2 การเก็บตัวอย่าง

- 1) ใส่กระดาษกรองบนตะแกรงสำหรับกระดาษกรอง โดยให้ทางด้านที่ใช้เก็บตัวอย่างขึ้น จัดวางกระดาษกรองให้สมดุลกับตะแกรง และที่จับกระดาษกรอง ตรวจเช็คจุดเชื่อมต่อระหว่างมอเตอร์กับเครื่องบันทึกอัตราการไหลของอากาศ
- 2) ใส่กระดาษกราฟวงกลมสำหรับบันทึกอัตราการไหลของอากาศในเครื่องบันทึกอัตราการไหลของอากาศ และปรับขีดของกระดาษกราฟวงกลมให้ตรงกับเวลาที่เริ่มดันเก็บตัวอย่าง และทำการเปลี่ยนกระดาษกราฟวงกลมทุก 24 ชั่วโมง
- 3) เปิดเครื่องเก็บตัวอย่าง บันทึกเวลาเริ่มดัน อุณหภูมิ ความกดของอากาศ และสภาพแวดล้อมบริเวณโดยรอบ
- 4) เมื่อครบกำหนดเวลา ให้บันทึกเวลาเครื่องหยุดทำงาน คือผู้นับละອองขนาดไม่เกิน 10 ในโครเมต จะเก็บตัวอย่างทุก 3 ชั่วโมง และผู้นับละອองรวมเก็บตัวอย่างทุก 6 ชั่วโมง
- 5) นำกระดาษกรองออกจากตัวเครื่อง พับกระดาษกรองครึ่งหนึ่งตามแนวขวาง ให้ด้านที่มีผู้นับละອองเข้าหากัน
- 6) ห่อกระดาษกรองด้วยกระดาษอุบมิเนียมที่ติดคลากระบูรหัสตัวอย่าง เรียบร้อยแล้ว และใส่ลงในถุงพลาสติกซิป ที่ติดคลากระบูรหัสตัวอย่าง รองนำไปไว้ในกระเป๋า

3.2.3 การวิเคราะห์ตัวอย่าง

3.2.3.1 การวิเคราะห์ความเข้มข้นของผู้นับละอองรวม และผู้นับละอองขนาดไม่เกิน 10 ในโครเมต

- 1) ชั่งน้ำหนักกระดาษกรองหลังการเก็บตัวอย่าง โดยนำกระดาษกรองอนในถุงคุณภาพขึ้น 24 ชั่วโมง ชั่งน้ำหนักกระดาษกรองด้วยเครื่องชั่ง ความละเอียด ทศนิยม 4 ตำแหน่ง บันทึกน้ำหนักกระดาษกรองหลังการเก็บตัวอย่าง
- 2) คำนวณหาปริมาตรอากาศ หาได้จากสูตร

$$V_s = 0.02832 * Q * T$$

โดย V_s = ปริมาตรอากาศ มีหน่วยเป็นลูกบาศก์เมตร

Q = อัตราการไหลของอากาศ จากการน้ำค่าที่อ่านได้จากกราฟวงกลม มีหน่วยเป็นลูกบาศก์ฟุตต่อนาที

0.02832 = ค่าคงที่ของการเปลี่ยนหน่วยจากลูกบาศก์ฟุตต่อนาทีเป็นลูกบาศก์เมตรต่อนาที

T = เวลาในการเก็บตัวอย่าง มีหน่วยเป็นนาที

เมื่อคำนวณปริมาตรอากาศได้แล้ว จากนั้นนำมาปรับแก้ค่าปริมาตรอากาศที่ใช้ในการเก็บตัวอย่างให้เป็นปริมาตรอากาศที่สภาวะมาตรฐาน โดยสมการ

$$V_{std} = (V_a * P_a * T_{std}) / (T_a * P_{std})$$

โดย V_{std} = ปริมาตรอากาศที่สภาวะมาตรฐาน มีหน่วยเป็นลูกบาศก์เมตร

V_a = ปริมาตรอากาศ มีหน่วยเป็นลูกบาศก์เมตร

P_{std} = ความดันบรรยากาศที่สภาวะมาตรฐาน (760 มิลลิเมตรปีรอก)

P_a = ความดันบรรยากาศในบรรยากาศ มีหน่วยเป็นมิลลิเมตรปีรอก

T_{std} = อุณหภูมิที่สภาวะมาตรฐาน (298 องศาเคลวิน)

T_a = อุณหภูมิในบรรยากาศ มีหน่วยเป็นองศาเคลวิน

3) การคำนวณหาความเข้มข้นของฝุ่นละอองรวมและฝุ่นละอองขนาดไม่เกิน 10 ไมโครเมตร

$$\text{ความเข้มข้นของฝุ่นละออง (ไมโครกรัมต่อลูกบาศก์เมตร)} = \frac{(W_a - W_b) * 10^6}{V_{std}}$$

โดย W_a = น้ำหนักกระดาษรองหลังการเก็บตัวอย่าง มีหน่วยเป็นกรัม

W_b = น้ำหนักกระดาษรองก่อนการเก็บตัวอย่าง มีหน่วยเป็นกรัม

V_{std} = ปริมาตรอากาศมาตรฐาน มีหน่วยเป็นลูกบาศก์เมตร

10^6 = การแปลงหน่วยจากกรัมเป็นไมโครกรัม

4) การควบคุมคุณภาพ

โดยการทำซ้ำ ทำการซั่งตัวอย่างกระดาษรอง 3 ครั้งแล้วหาค่าเฉลี่ยของน้ำหนักกระดาษรอง

3.2.3.2 การวิเคราะห์ความเข้มข้นของสารไฮอนิก ในฝุ่นละอองขนาดไม่เกิน 10 ไมโครเมตร

โดยการตัดกระดาษรองตัวอย่าง ใส่ในขวดพลาสติกขนาด 50 มิลลิลิตร เติมน้ำกลั่นประปาจากไอก้อน 30 มิลลิลิตร นำไปเขย่าด้วยเครื่องเขย่า 30 นาที จากนั้นนำกระดาษรองผ่านกระดาษกรองขนาดเส้นผ่านศูนย์กลาง 0.45 ไมโครเมตร ใส่สารละลายตัวอย่างที่ผ่านกระดาษกรอง

แล้วในขวบพลาสติก นำไปหาไอออนลบ (Anion) ได้แก่ คลอไรค์ ในเดรท และซัลเฟต ส่วน ไอออนบวก (Cation) ได้แก่ แอมโมเนียม โซเดียม โปรแทตเซียม และแคลเซียม โดยวิเคราะห์ด้วย เครื่อง Ion Chromatography ยี่ห้อ Methrom รุ่น Modular IC วิเคราะห์โดยนำสารเข้าสู่เครื่อง ที่พกม นิสิตปริญญาโท สาขาวิชาภาษาศาสตร์สิ่งแวดล้อม จุฬาลงกรณ์มหาวิทยาลัย



ภาพที่ 3.10 Ion Chromatography Methrom รุ่น Modular IC

3.2.3.3 การวิเคราะห์ความเข้มข้นขององค์ประกอบทางเคมีในฝุ่นละอองขนาดไม่เกิน 10 ไมโครเมตร

โดยองค์ประกอบทางเคมีในฝุ่นละอองขนาดไม่เกิน 10 ไมโครเมตร จะจำแนกออกเป็น อินทรีบาร์บอน (OC) ธาตุคาร์บอน (EC) โซเดียม (Na^+) แอมโมเนียม (NH_4^+) โปรแทตเซียม (K^+) และแคลเซียม (Ca^{2+}) คลอไรค์ (Cl^-) ในเดรท (NO_3^-) และ ซัลเฟต (SO_4^{2-}) และสารประกอบอื่นๆ (Others species) โดยได้จากส่วนต่างของ PM_{10} กับผลรวมขององค์ประกอบรวมที่ทำการศึกษาดังนี้

$$\text{Others species} = \text{PM}_{10} - \text{sum masses of measured species}$$

ซึ่งสารประกอบอื่นๆ นี้ อาจจะประกอบไปด้วย สิ่งที่เป็นองค์ประกอบของเปลือกนอก เช่น เหล็ก (Fe) แมกนีเซียม (Mg) ซิลิโคน (Si) แมงกานีส (Mn) ไฮโดรเจน ไออกอน ที่ได้รับจาก กรดซัลฟูริก (H_2SO_4) และพันธะของน้ำ (Kansuke และ Kanzuhiko, 2005)

จากนั้นนำความเข้มข้นขององค์ประกอบทางเคมี มาหาค่าร้อยละของความเข้มข้นขององค์ประกอบทางเคมีในฝุ่นละอองขนาดไม่เกิน 10 ไมโครเมตร

3.2.3.4 การวิเคราะห์ความเข้มข้นขององค์ประกอบการบ่อนอน ในฝุ่นละอองขนาดไม่เกิน 10 ไมโครเมตร

โดยการตัดกระดาษกรองตัวอย่างห่อด้วยกระดาษอลูมิเนียม ส่งวิเคราะห์หาความเข้มข้นของอินทรีบาร์บอนและชาตุคาร์บอนที่ Research Center for Urban Environmental Technology & Management, Department of Civil & Structural Engineering, The Hong Kong Polytechnic University, Hong Kong, China โดยใช้ เครื่อง Thermal/Optical Carbon Analyzer DRI Model 2001 และวิเคราะห์คาร์บอน 7 ส่วน โดยวิธี Thermal optical reflectance (TOR) ตามพิธีสาร Interagency Monitoring of PROtected Visual Environments (IMPROVE) ทำการควบคุมคุณภาพโดยการวิเคราะห์ตัวอย่างช้าๆ ทุกตัวอย่างที่ 10 โดยสามารถจำแนกออกได้ดังนี้ (Cao และคณะ, 2004)

1) อินทรีบาร์บอน 4 ส่วน โดยใช้อุณหภูมิในการเผาใหม่ดังนี้ OC1 (120°C) OC2 ($120\text{-}250^{\circ}\text{C}$) OC3 ($250\text{-}450^{\circ}\text{C}$) และ OC4 ($450\text{-}550^{\circ}\text{C}$) ในสภาวะที่มีก๊าซไฮเดรบีฟทั้งหมด

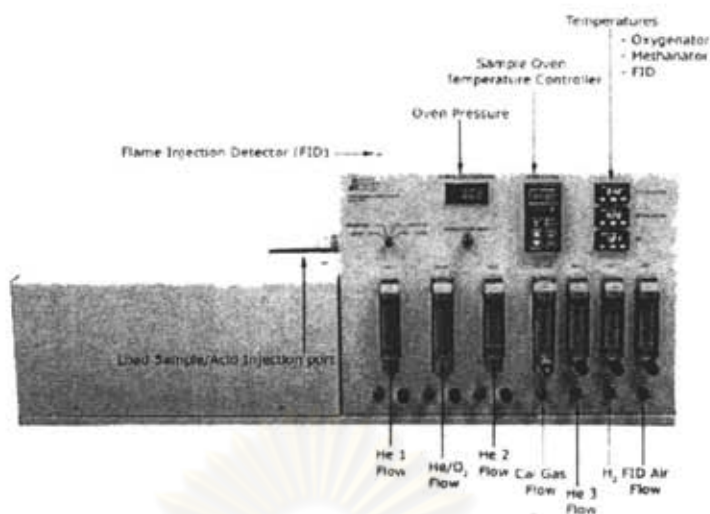
2) ชาตุคาร์บอน 3 ส่วน โดยใช้อุณหภูมิในการเผาใหม่ดังนี้ EC1 (550°C) EC2 (700°C) และ EC3 (800°C) ในสภาวะที่มีก๊าซออกซิเจนร้อยละ 2 และ ก๊าซไฮเดรบีฟร้อยละ 98

โดยวิธีนี้สารระเหยจ่ายและการบ่อนอนที่ถูกออกซิไดซ์บางส่วนจะถูกออกซิไดซ์เป็นคาร์บอนไดออกไซด์ ในอุณหภูมิเริ่มต้นคือ 350°C ซึ่งสารอินทรีบาร์บีฟจะถูกออกมานอกจาก 350°C ออกร่องรอยของสารอินทรีบาร์บอนที่เหลืออยู่ (Residual organic carbon) ที่เป็นส่วนประกอบของคาร์บอนจะถูกคงอยู่ในช่วงอุณหภูมิระหว่าง $350\text{-}600^{\circ}\text{C}$ ในสภาวะที่มีก๊าซไฮเดรบีฟทั้งหมด คาร์บอนเนตการบ่อนอนจะถูกปล่อยออกมานหมดที่อุณหภูมิ 600°C (Gelencser, 2005)

$$\text{โดย IMPROVE OC} = \text{OC1+OC2+OC3+OC4}$$

$$\text{EC} = \text{EC1+EC2+EC3}$$

$$\text{TC} = \text{OC+EC}$$



ภาพที่ 3.11 Thermal/Optical Carbon Analyzer DRI Model 2001

ที่มา: Desert Research Institute, 2005

3.2.3.4.1 การคำนวณความเข้มข้นขององค์ประกอบของคาร์บอน

จากสูตร

$$C_b = \frac{C_s \times A}{V}$$

เมื่อ C_b = ความเข้มข้นขององค์ประกอบของคาร์บอน มีหน่วยเป็นไมโครกรัมต่อลูกบาศก์เมตร

C_s = ความเข้มข้นขององค์ประกอบของคาร์บอน มีหน่วยเป็นไมโครกรัมต่อลิตร

A = พื้นที่ของกระดาษกรองส่วนที่รองรับฝุ่นละอองทั้งหมด (407.6 ตารางเซนติเมตร)

V = ปริมาตรอากาศที่ใช้ในการเก็บตัวอย่างที่สภาพมาตรฐาน มีหน่วยเป็นลูกบาศก์เมตร

3.2.3.4.2 การคำนวณทรีบาร์บอนขั้นที่ 2 (Secondary organic carbon, SOC)

การคำนวณ SOC (Castro และคณะ, 1999)

$$OC_{sec} = OC_{tot} - EC \times (OC/EC)_{min}$$

โดย OC_{sec} = SOC มีหน่วยเป็นไมโครกรัมต่อลูกบาศก์เมตร

OC_{tot} = ความเข้มข้นของ OC มีหน่วยเป็นไมโครกรัมต่อลูกบาศก์เมตร

EC = ความเข้มข้นของ EC มีหน่วยเป็นไมโครกรัมต่อลูกบาศก์เมตร

$(OC/EC)_{min}$ = ค่าต่ำสุดของสัดส่วนของ OC/EC ในจุดตรวจวัดนั้น

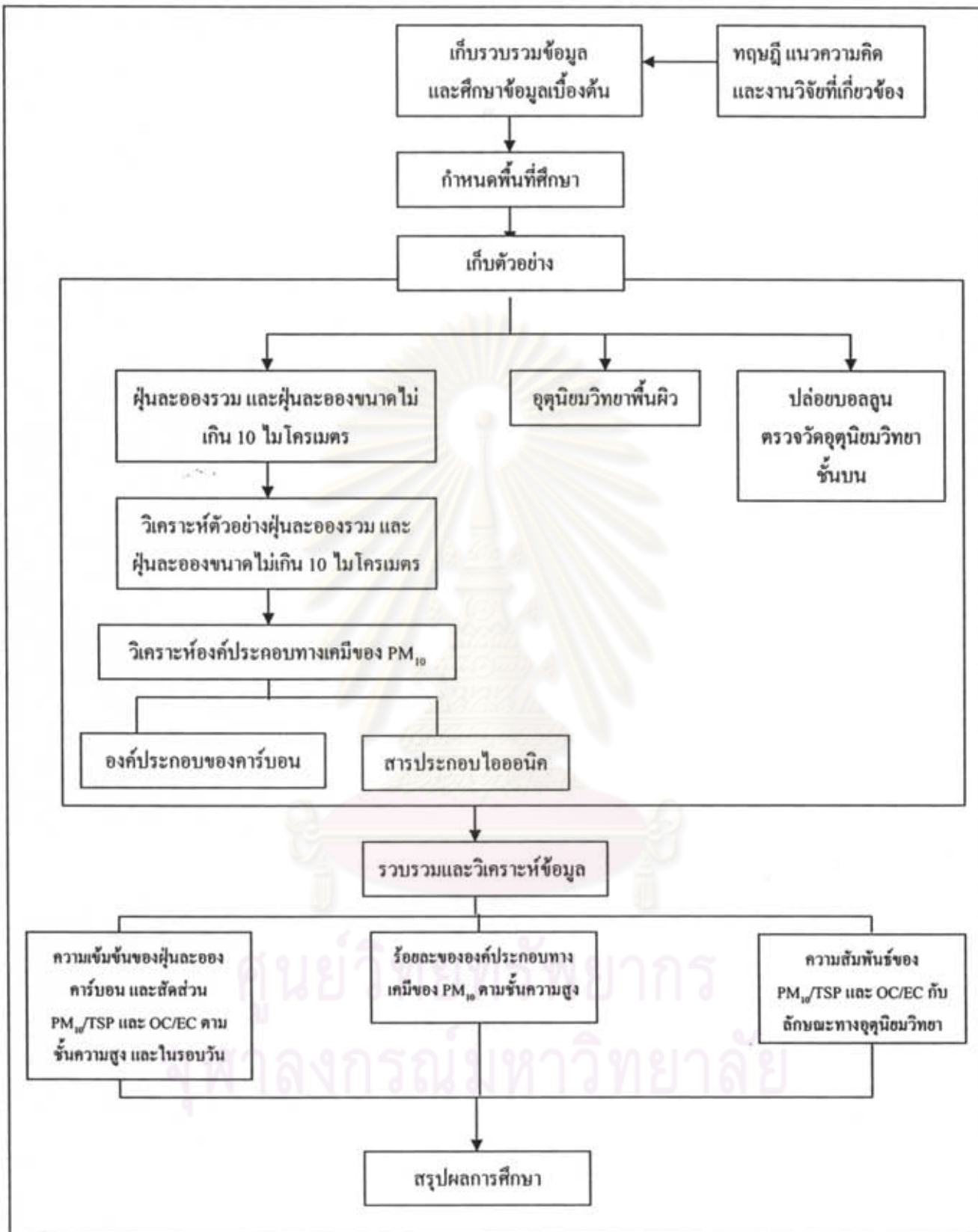
3.2.4 การรวมรวมและวิเคราะห์ข้อมูล

3.2.4.1 การรวมรวมข้อมูล

- 1) ข้อมูลทางอุดุนิยมวิทยาพื้นผิว และอุดุนิยมวิทยาชั้นบน ที่ทำการศึกษา
- 2) รวมรวมข้อมูลฝุ่นละอองรวม ฝุ่นละอองขนาดไม่เกิน 10 ไมโครเมตร องค์ประกอบทางเคมีในฝุ่นละอองขนาดไม่เกิน 10 ไมโครเมตร และองค์ประกอบของคาร์บอนใน ฝุ่นละอองขนาดไม่เกิน 10 ไมโครเมตร

3.2.4.2 การวิเคราะห์ข้อมูล

- 1) เปรียบเทียบความเข้มข้นของ PM_{10} TSP และสัดส่วน PM_{10}/TSP ตามระดับความสูง ด้วยวิธีวิเคราะห์ความแปรปรวน (Analysis of Variance; ANOVA)
- 2) เปรียบเทียบร้อยละขององค์ประกอบทางเคมีในฝุ่นละอองขนาดไม่เกิน 10 ไมโครเมตร ตามระดับความสูง ของพื้นที่ศึกษา เขตราชเทวี กรุงเทพมหานคร ด้วยวิธีวิเคราะห์ความแปรปรวน (Analysis of Variance; ANOVA)
- 3) เปรียบเทียบความเข้มข้นขององค์ประกอบการบ่อน ร้อยละของความเข้มข้นของคาร์บอน ได้แก่ การบ่อนรวม อินทรีย์การบ่อน และ ธาตุการบ่อน และสัดส่วน OC/EC ในฝุ่นละอองขนาดไม่เกิน 10 ไมโครเมตร ตามระดับความสูง ด้วยวิธีวิเคราะห์ความแปรปรวน (Analysis of Variance; ANOVA)
- 4) หากความสัมพันธ์ของสัดส่วนฝุ่นละอองขนาดไม่เกิน 10 ไมโครเมตรและ ฝุ่นละอองรวม (PM_{10}/TSP) สัดส่วนของอินทรีย์การบ่อน และธาตุการบ่อน (OC/EC) กับข้อมูลทางอุดุนิยมวิทยา และระดับความสูงผสาน ตามระดับความสูง ของพื้นที่ที่ทำการศึกษา โดยใช้สถิติ pearson correlation



ภาพที่ 3.12 แผนผังแสดงขั้นตอนการดำเนินงาน

บทที่ 4

ผลและวิจารณ์ผลการศึกษา

4.1 การเปลี่ยนแปลงความเข้มข้น และสัดส่วนของฝุ่นละออง ในรอบวัน ตามชั้นความสูง

4.1.1 ความเข้มข้นของฝุ่นละอองรวม (TSP) และฝุ่นละอองขนาดไม่เกิน 10 ไมโครเมตร (PM_{10})

ผลการตรวจวัดความเข้มข้นของ TSP และ PM_{10} แบบต่อเนื่องเป็นเวลา 3 วัน และความเข้มข้นในรอบวันเฉลี่ย ตามชั้นความสูง 3 ระดับคือ ชั้นล่าง ชั้นกลาง และชั้นบน ใน 3 พื้นที่ศึกษา คือ อ่าเภอหาดใหญ่ จังหวัดสงขลา เขตราชเทวี กรุงเทพมหานคร และ อ่าเภอเมือง จังหวัดเชียงใหม่ รายละเอียดมีดังต่อไปนี้

4.1.1.1 พื้นที่ศึกษาอ่าเภอหาดใหญ่ จังหวัดสงขลา

ผลการตรวจวัด ฝุ่นละออง ระหว่างวันที่ 17-20 ธันวาคม พ.ศ. 2550 ในแต่ละชั้น ความสูงของพื้นที่ศึกษา อ่าเภอหาดใหญ่ จังหวัดสงขลา พบว่า ความเข้มข้นของ TSP เฉลี่ย ชั้นบนนี้ ค่าสูงสุด คือ 48.5 ± 9.8 ในไตรกรัมต่ออุกบาทกิโลเมตร และชั้นกลาง มีค่าต่ำสุด คือ 35.9 ± 5.2 ในไตรกรัมต่ออุกบาทกิโลเมตร ความเข้มข้นของ PM_{10} เฉลี่ย พบว่า ชั้นบน มีค่าสูงสุด คือ 46.6 ± 14.1 ในไตรกรัมต่ออุกบาทกิโลเมตร และชั้นกลาง มีค่าต่ำสุด คือ 41.3 ± 6.0 ในไตรกรัมต่ออุกบาทกิโลเมตร เมื่อพิจารณาความเข้มข้นของ TSP ในรอบวันเฉลี่ย พบว่า ชั้นบน มีค่าสูงสุด คือ 53.8 ± 8.8 ในไตรกรัมต่ออุกบาทกิโลเมตร ในช่วงเวลา 15.00-21.00 น. และ ชั้นกลาง มีค่าต่ำสุด คือ 34.5 ± 0.9 ในไตรกรัมต่ออุกบาทกิโลเมตร ในช่วงเวลา 03.00-09.00 น. ความเข้มข้นของ PM_{10} ในรอบวันเฉลี่ย พบว่า ชั้นบน มีค่าสูงสุด คือ 58.7 ± 9.7 ในไตรกรัมต่ออุกบาทกิโลเมตร ในช่วงเวลา 12.00-15.00 น. ชั้นล่าง มีค่าต่ำสุด คือ 34.5 ± 11.2 ในไตรกรัมต่ออุกบาทกิโลเมตร ในช่วงเวลา 21.00-00.00 น. รายละเอียด มีดังต่อไปนี้

1) ชั้นล่าง

ผลการตรวจวัด ฝุ่นละออง ระหว่างวันที่ 17-20 ธันวาคม พ.ศ. 2550 บริเวณภาคพื้อชั้น 8 โรงเรนในโวเทล เชื่นทางราหาดใหญ่ พบว่า ความเข้มข้นของ TSP มีค่า $33.4-54.5$ ในไตรกรัมต่อ อุกบาทกิโลเมตร มีค่าเฉลี่ย 44.1 ± 5.9 ในไตรกรัมต่ออุกบาทกิโลเมตร และความเข้มข้นของ PM_{10} มีค่า $24.2-64.5$ ในไตรกรัมต่ออุกบาทกิโลเมตร และมีค่าเฉลี่ย 42.5 ± 11.0 ในไตรกรัมต่ออุกบาทกิโลเมตร ดัง ตารางที่ 4.1

ผลการตรวจ วัดฝุ่นละอองในรอบวันเฉลี่ย พนว่า TSP ขั้นล่าง มีค่าสูงสุด 47.8 ± 5.8 ในโครงการต่อสูกบานาสก์เมตร ในช่วงเวลา 03.00-09.00 น. และมีค่าต่ำสุด 40.8 ± 7.0 ในโครงการต่อสูกบานาสก์เมตร ในช่วงเวลา 15.00-21.00 น. (ตารางที่ 4.1, ภาพที่ 4.1) ส่วน PM_{10} มีค่าสูงสุด 48.8 ± 13.8 ในโครงการต่อสูกบานาสก์เมตร ในช่วงเวลา 18.00-21.00 น. และมีค่าต่ำสุด 34.5 ± 11.2 ในโครงการต่อสูกบานาสก์เมตร ในช่วงเวลา 21.00-00.00 น. (ตารางที่ 4.2, ภาพที่ 4.2)

2) ขั้นกลาง

ผลการตรวจวัด ฝุ่นละออง ระหว่างวันที่ 17-20 ธันวาคม พ.ศ. 2550 บริเวณคาดฟ้าชั้น 13 โรงแรมลีการ์เด้นท์ พลาซ่า พนว่า ความเข้มข้นของ TSP มีค่า $28.2-48.5$ ในโครงการต่อสูกบานาสก์ เมตร มีค่าเฉลี่ย 35.9 ± 5.2 ในโครงการต่อสูกบานาสก์เมตร และความเข้มข้นของ PM_{10} มีค่า $32.8-58.1$ ในโครงการต่อสูกบานาสก์เมตร และมีค่าเฉลี่ย 41.3 ± 6.0 ในโครงการต่อสูกบานาสก์เมตร ดังตารางที่ 4.1

ผลการตรวจวัด ฝุ่นละอองในรอบวันเฉลี่ย พนว่า TSP มีค่าสูงสุด 38.2 ± 10.2 ในโครงการต่อสูกบานาสก์เมตร ในช่วงเวลา 15.00-21.00 น. และมีค่าต่ำสุด 34.5 ± 0.9 ในโครงการต่อสูกบานาสก์เมตร ในช่วงเวลา 03.00-09.00 น. (ตารางที่ 4.1, ภาพที่ 4.1) ส่วน PM_{10} มีค่าสูงสุด 46.1 ± 3.2 ในโครงการต่อสูกบานาสก์เมตร ในช่วงเวลา 06.00-09.00 น. และมีค่าต่ำสุด 38.6 ± 7.6 ในโครงการต่อสูกบานาสก์เมตร ในช่วงเวลา 00.00-03.00 น. (ตารางที่ 4.2, ภาพที่ 4.2)

3) ขั้นบน

ผลการตรวจวัด ฝุ่นละออง ระหว่างวันที่ 17-20 ธันวาคม พ.ศ. 2550 บริเวณคาดฟ้าชั้น 34 โรงแรมลีการ์เด้นท์ พลาซ่า พนว่า ความเข้มข้นของ TSP มีค่า $34.0-61.5$ ในโครงการต่อสูกบานาสก์ เมตร มีค่าเฉลี่ย 48.5 ± 9.8 ในโครงการต่อสูกบานาสก์เมตร และความเข้มข้นของ PM_{10} มีค่า $15.7-68.4$ ในโครงการต่อสูกบานาสก์เมตร และมีค่าเฉลี่ย 46.6 ± 14.1 ในโครงการต่อสูกบานาสก์เมตร ดังตารางที่ 4.1

ผลการตรวจวัด ฝุ่นละอองในรอบวันเฉลี่ย พนว่า TSP มีค่าสูงสุด 53.8 ± 8.8 ในโครงการต่อสูกบานาสก์เมตร ในช่วงเวลา 15.00-21.00 น. และมีค่าต่ำสุด 41.8 ± 3.0 ในโครงการต่อสูกบานาสก์เมตร ในช่วงเวลา 03.00-09.00 น. (ตารางที่ 4.1, ภาพที่ 4.1) ส่วน PM_{10} มีค่าสูงสุด 58.7 ± 9.7 ในโครงการต่อสูกบานาสก์เมตร ในช่วงเวลา 12.00-15.00 น. และมีค่าต่ำสุด 36.2 ± 20.5 ในโครงการต่อสูกบานาสก์เมตร ในช่วงเวลา 09.00-12.00 น. (ตารางที่ 4.2, ภาพที่ 4.2)

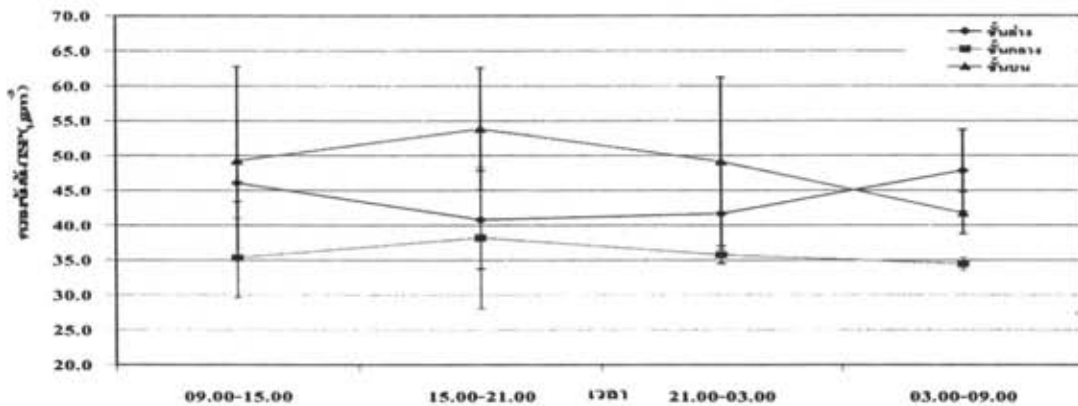
ตารางที่ 4.1 ค่าต่ำสุด-สูงสุด และค่าเฉลี่ยของความเข้มข้นของ TSP และ PM_{10} (ไมโครกรัมต่อลูกบาศก์เมตร) ระหว่างวันที่ 17-20 ธันวาคม พ.ศ. 2550 พื้นที่ศึกษาอำเภอหาดใหญ่ จังหวัดสงขลา

พื้นที่ศึกษา	TSP (ไมโครกรัมต่อลูกบาศก์เมตร)		PM_{10} (ไมโครกรัมต่อลูกบาศก์เมตร)	
	ค่าต่ำสุด-สูงสุด	ค่าเฉลี่ย $\pm SD$	ค่าต่ำสุด-สูงสุด	ค่าเฉลี่ย $\pm SD$
ชั้นล่าง	33.4-54.5	44.1 \pm 5.9 ^a	24.2-64.5	42.5 \pm 11.0 ^a
ชั้นกลาง	28.2-48.5	35.9 \pm 5.2 ^b	32.8-58.1	41.3 \pm 6.0 ^a
ชั้นบน	34.0-61.5	48.5 \pm 9.8 ^a	15.7-68.4	46.6 \pm 14.1 ^a

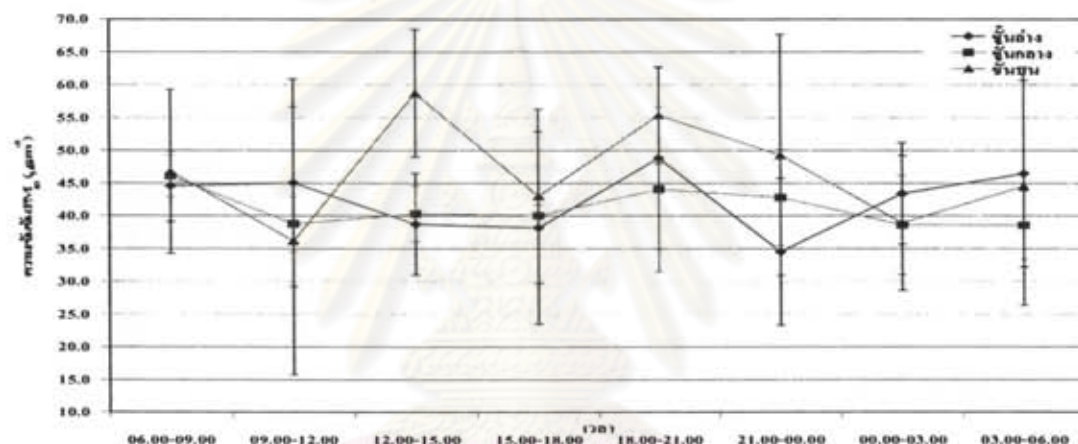
หมายเหตุ: ^{a,b} คือความเข้มข้นเฉลี่ยของ TSP และ PM_{10} ระหว่างชั้นความสูงที่มีค่าแตกต่างกันอย่างมีนัยสำคัญทางสถิติที่ระดับความเชื่อมั่น 95%

ตารางที่ 4.2 ความเข้มข้นของ TSP และ PM_{10} ในรอบวันเฉลี่ย (ไมโครกรัมต่อลูกบาศก์เมตร) ระหว่างวันที่ 17-20 ธันวาคม พ.ศ. 2550 พื้นที่ศึกษาอำเภอหาดใหญ่ จังหวัดสงขลา

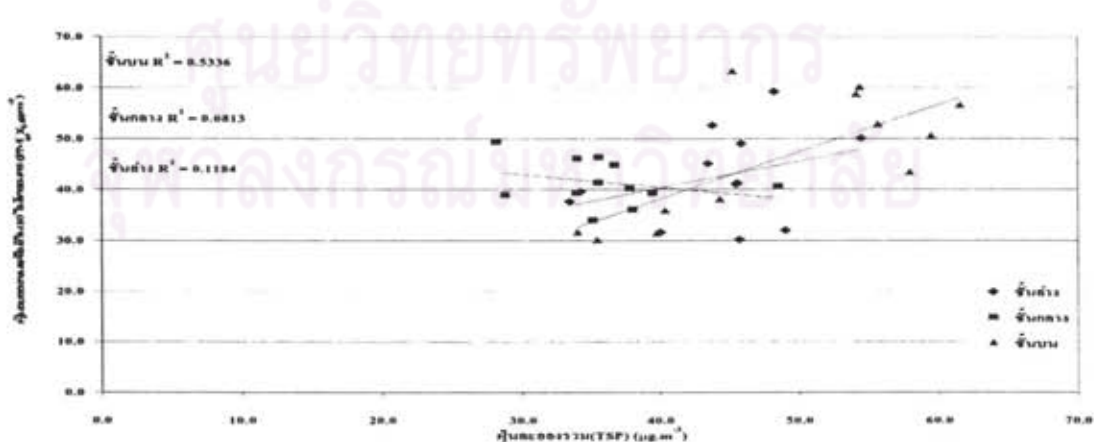
ความเข้มข้นของ TSP ในรอบวันเฉลี่ย (ไมโครกรัมต่อลูกบาศก์เมตร)			
เวลา	ชั้นล่าง	ชั้นกลาง	ชั้นบน
09.00-15.00 น.	46.1 \pm 2.7	35.3 \pm 5.7	49.3 \pm 13.5
15.00-21.00 น.	40.8 \pm 7.0	38.2 \pm 10.2	53.8 \pm 8.8
21.00-03.00 น.	41.6 \pm 7.1	35.8 \pm 0.8	49.1 \pm 12.1
03.00-09.00 น.	47.8 \pm 5.8	34.5 \pm 0.9	41.8 \pm 3.0
ความเข้มข้นของ PM_{10} ในรอบวันเฉลี่ย (ไมโครกรัมต่อลูกบาศก์เมตร)			
เวลา	ชั้นล่าง	ชั้นกลาง	ชั้นบน
06.00-09.00 น.	44.6 \pm 5.4	46.1 \pm 3.2	46.8 \pm 12.5
09.00-12.00 น.	45.1 \pm 15.8	38.8 \pm 4.2	36.2 \pm 20.5
12.00-15.00 น.	38.7 \pm 7.8	40.3 \pm 4.2	58.7 \pm 9.7
15.00-18.00 น.	38.2 \pm 14.7	40.1 \pm 1.6	43.0 \pm 13.3
18.00-21.00 น.	48.8 \pm 13.8	44.1 \pm 12.6	55.4 \pm 7.4
21.00-00.00 น.	34.5 \pm 11.2	42.8 \pm 7.3	49.3 \pm 18.3
00.00-03.00 น.	43.4 \pm 7.8	38.6 \pm 7.6	38.9 \pm 10.3
03.00-06.00 น.	46.5 \pm 14.2	38.6 \pm 5.2	44.5 \pm 18.2



ภาพที่ 4.1 ความเข้มข้นของ TSP ในรอบวันเฉลี่ย (ไมโครกรัมต่อลูกบาศก์เมตร) ระหว่างวันที่ 17-20 ธันวาคม พ.ศ. 2550 บริเวณพื้นที่ศึกษา อําเภอหาดใหญ่ จังหวัดสงขลา



ภาพที่ 4.2 ความเข้มข้นของ PM_{10} ในรอบวันเฉลี่ย (ไมโครกรัมต่อลูกบาศก์เมตร) ระหว่างวันที่ 17-20 ธันวาคม พ.ศ. 2550 บริเวณพื้นที่ศึกษา อําเภอหาดใหญ่ จังหวัดสงขลา



ภาพที่ 4.3 ค่าสัมประสิทธิ์สหสัมพันธ์ (R^2) ระหว่าง TSP กับ PM_{10} บริเวณพื้นที่ศึกษา อําเภอหาดใหญ่ จังหวัดสงขลา

จากการพิจารณาทางสถิติ ความเข้มข้นของ TSP ตามระดับความสูงที่ศึกษา พบว่า ชั้นกลาง พบรค่าเฉลี่ยต่ำสุด ซึ่งมีค่าแตกต่างกับชั้นล่างและชั้นบนอย่างมีนัยสำคัญทางสถิติที่ระดับความเชื่อมั่น 95% เนื่องจาก ชั้นกลางมีความปั่นป่วนทางกายภาพ (Mechanical turbulence) ซึ่งเกิดจากลักษณะทางกายภาพที่เกิดจากตำแหน่งของสิ่งก่อสร้างคือจุดตรวจวัดอยู่หัวลังอาคารสูง (วรรณ เสือดี, 2542) จึงเกิดกระแสลมแรงมากกว่าชั้นอื่น เป็นเหตุให้เกิดการเจือจางมลสาร (วงศ์พันธุ์ ลินปะเสนีย์, นิตยา มหาพฤฒ์ และ ธีระ เกรอต, 2543) ส่งผลให้ TSP ซึ่งมีความสามารถในการแพร่กระจายอยู่ในบรรยากาศได้ไม่เกิน 2-3 นาที มีความเข้มข้นต่ำกว่า PM_{10} ส่วนความเข้มข้นของ PM_{10} ตามระดับความสูงที่ศึกษา พบว่า ไม่มีความแตกต่างกับชั้นกลาง โดยภาพรวมการตรวจวัดความเข้มข้นของฝุ่นละอองตามระดับความสูง ในช่วงเวลาที่ทำการศึกษา ที่สูงที่สุดอยู่อีกห้องใหญ่ มีค่าไม่สูง เนื่องจาก ในช่วงเวลาที่ทำการเก็บตัวอย่างมีความชื้นสูงและมีฝนตกในบางช่วงเวลา จึงไม่สามารถบอกความแตกต่างระหว่างความเข้มข้นของฝุ่นละอองในแต่ละชั้นที่ทำการศึกษาได้อย่างชัดเจน

ค่าสัมประสิทธิ์สหสัมพันธ์ (R^2) ระหว่าง TSP กับ PM_{10} ทั้ง 3 ระดับชั้นความสูง ในอีกห้องใหญ่ จังหวัดสงขลา พบว่า ชั้นบนมีค่า R^2 สูงสุด คือ 0.534 อย่างมีนัยสำคัญที่ระดับความเชื่อมั่น 95% และชั้นกลาง มีค่า R^2 ต่ำสุด คือ 0.080 ชั้นล่างก็มีค่าต่ำเท่านั้น ดังภาพที่ 4.3 แสดงให้เห็นว่าความเข้มข้นของ TSP และ PM_{10} ที่ชั้นบนมีความสัมพันธ์กัน ส่วนชั้นล่าง และ ชั้นกลาง ไม่มีความสัมพันธ์กัน ล้วนเนื่องมาจากการอิทธิพลทางกายภาพของจุดตรวจวัด คือในชั้นกลางมีอาคารขวางทำให้เกิดกระแสลมวน ไหลและชั้นล่าง เป็นช่องอาคาร เกิดจากจุดตัวของฝุ่นละออง เป็นเหตุให้ TSP และ PM_{10} ในชั้นล่างและชั้นกลาง ไม่มีความสัมพันธ์กันอย่างมีนัยสำคัญ

พิจารณาความเข้มข้นในรอบวันเฉลี่ยจะเห็นได้ว่า TSP ในชั้นกลางและชั้นบน จะมีค่าสูงในช่วงเวลา 15.00-21.00 น. ชั้นล่าง มีค่าสูงสุดในช่วงเวลา 03.00-09.00 น. และ PM_{10} มีแนวโน้มค่าสูงสุด ในชั้นกลางในทุกความสูง คือค่าสูงสุดจะเกิดขึ้นในช่วงเวลาที่แตกต่างกันตามระดับความสูง ซึ่งจากการพิจารณาลักษณะทางอุตุนิยมวิทยา พบว่าปัจจัยทางอุตุนิยมวิทยาไม่มีความสัมพันธ์กับความเข้มข้นของ TSP และ PM_{10} อย่างมีนัยสำคัญทางสถิติ อาจนอกได้ว่าความเข้มข้นของฝุ่นละอองที่ตรวจวัดในพื้นที่ อีกห้องใหญ่ จังหวัดสงขลา ระหว่างวันที่ 17-20 ธันวาคม พ.ศ. 2550 เกิดการเปลี่ยนแปลงในรอบวัน โดยมาจากการปัจจัยอื่น เช่น จากแหล่งกำเนิด หรือ ลักษณะทางกายภาพของจุดตรวจวัด ซึ่งช่วงเวลาที่พนความเข้มข้นของฝุ่นละอองสูงสุดเป็นช่วงเวลาที่มีการจราจรหนาแน่นกว่าช่วงเวลาอื่น

เมื่อพิจารณาการเปลี่ยนแปลงความเข้มข้นของ TSP และ PM_{10} ต่อความสูง 1 เมตร คือ การหาค่าเกรดรีบินท์ของฝุ่นละออง คืออัตราส่วนระหว่างฝุ่นละอองที่เปลี่ยนแปลงต่อระยะทางที่เปลี่ยนแปลงไป โดยเกรดรีบินท์ที่มีค่าเป็นบวก แสดงว่ามีปริมาณเพิ่มขึ้นเมื่อระยะทางเพิ่มขึ้น เกรดีบินท์ที่มีค่าเป็นลบ แสดงว่ามีปริมาณลดลงเมื่อระยะทางเพิ่มขึ้น (เอกสารประกอบการสอน

มหาวิทยาลัยเกษตรศาสตร์, 2542 จากนั้นนำมาหาค่าในรอบวันเฉลี่ย ของพื้นที่ศึกษานี้ พบว่า ความเข้มข้นของ TSP ต่อมetr ที่ชั้นล่าง-ชั้นกลางมีค่าลดลงตามความสูงมากกว่า PM_{10} ในทุก ช่วงเวลา แต่ในช่วงความสูงชั้นกลาง-ชั้นบน ความเข้มข้นของ TSP ต่อมetr กลับมีค่าเพิ่มขึ้นตาม ความสูงมากกว่า PM_{10} ในทุกช่วงเวลา และค่าเฉลี่ยรวมของ TSP และ PM_{10} เพิ่มขึ้นตามระดับความ สูงจากชั้นล่าง-ชั้นบน ด้วยอัตรา 0.05 และ 0.04 ในโครงการต่ออุกบาก์เมตร ต่อความสูง 1 เมตร ดัง ตารางที่ 4.3 จะเห็นได้ว่าความเข้มข้นของ TSP และ PM_{10} ต่อมetr ที่ความสูงชั้นล่าง-ชั้นบนมีค่า เพิ่มขึ้นตามระดับความสูงและมีค่าเฉลี่ยใกล้เคียงกัน เนื่องจากความเข้มข้นของ TSP และ PM_{10} ที่ ตรวจวัดได้ในพื้นที่นี้มีค่าไม่สูง เป็นผลมาจากการอิทธิพลจากฟุน และปัจจัยทางกายภาพของพื้นที่ ตรวจวัดที่ทำให้เกิดความปั่นป่วนทางกายภาพ ทำให้ผู้นับละอองที่ตรวจวัดในชั้นกลางมีค่าต่ำสุด

ตารางที่ 4.3 การเปลี่ยนแปลงความเข้มข้นของ TSP และ PM_{10} ($\mu g/m^3$) ต่อความสูง 1 เมตร ในรอบวัน เฉลี่ย ระหว่างวันที่ 17-20 ธันวาคม พ.ศ. 2550 พื้นที่ศึกษา อำเภอหาดใหญ่ จังหวัดสงขลา

เวลา	ชั้นล่าง-ชั้นกลาง		ชั้นกลาง-ชั้นบน		ชั้นล่าง-ชั้นบน	
	TSP	PM_{10}	TSP	PM_{10}	TSP	PM_{10}
09.00-15.00 น.	-0.36	-0.08	0.21	0.12	0.03	0.06
15.00-21.00 น.	-0.09	-0.05	0.24	0.11	0.14	0.06
21.00-03.00 น.	-0.20	0.09	0.21	0.04	0.08	0.05
03.00-09.00 น.	-0.45	-0.11	0.11	0.02	-0.06	-0.02
ค่าเฉลี่ย	-0.27	-0.03	0.19	0.07	0.05	0.04

4.1.1.2 พื้นที่ศึกษา เขตราชเทวี กรุงเทพมหานคร

ผลการตรวจวัด ฝุ่นละออง ระหว่างวันที่ 18-21 กุมภาพันธ์ พ.ศ. 2551 ในแต่ละ ชั้นความสูงของพื้นที่ศึกษา เขตราชเทวี กรุงเทพมหานคร พบว่า ความเข้มข้นของ TSP เฉลี่ย ชั้น ล่าง มีค่าสูงสุด คือ 140.0 ± 22.9 ในโครงการต่ออุกบาก์เมตร และชั้นบน มีความเข้มข้นต่ำสุด คือ 112.0 ± 12.5 ในโครงการต่ออุกบาก์เมตร ความเข้มข้นของ PM_{10} เฉลี่ย ชั้นล่าง มีค่าสูงสุด คือ 118.7 ± 21.1 ในโครงการต่ออุกบาก์เมตร และชั้นบน มีความเข้มข้นต่ำสุด คือ 111.9 ± 17.3 ในโครงการต่ออุกบาก์เมตร เมื่อพิจารณาความเข้มข้นของ TSP ในรอบวันเฉลี่ย ทั้ง 3 ระดับความ สูง พบว่า ชั้นล่าง มีค่าสูงสุด คือ 160.5 ± 20.9 ในโครงการต่ออุกบาก์เมตร ในช่วงเวลา 15.00-21.00 น. ส่วนชั้นบน มีค่าต่ำสุด 100.9 ± 9.1 ในโครงการต่ออุกบาก์เมตร ในช่วงเวลา 03.00-09.00 น. ความเข้มข้นของ PM_{10} ในรอบวันเฉลี่ย พบว่า ชั้นล่าง มีค่าสูงสุด 148.8 ± 22.8 ในโครงการต่อ อุกบาก์เมตร ในช่วงเวลา 21.00-00.00 น. ส่วนชั้นบน มีค่าต่ำสุด 91.1 ± 3.0 ในโครงการต่ออุกบาก์

เมตร ในช่วงเวลา 03.00-06.00 น. รายละเอียดของผลการตรวจวัดในแต่ละชั้นความสูง ดังนี้ รายละเอียดต่อไปนี้

1) ชั้นล่าง

ผลการตรวจวัด ฝุ่นละออง ระหว่างวันที่ 18-21 กุมภาพันธ์ พ.ศ. 2551 บริเวณภาคพื้นาคารขอครรชั้น 10 โรงเรนในหอกสูห (ใบหอก 1) พบว่า ความเข้มข้นของ TSP มีค่า 106.4 ± 180.2 ในไครกรัมต่อสูบากก์เมตร มีค่าเฉลี่ย 140.0 ± 22.9 ในไครกรัมต่อสูบากก์เมตร และความเข้มข้นของ PM_{10} มีค่า 88.4 ± 164.6 ในไครกรัมต่อสูบากก์เมตร และมีค่าเฉลี่ย 118.7 ± 21.1 ในไครกรัมต่อสูบากก์เมตร ดังตารางที่ 4.4

ผลการตรวจวัด ฝุ่นละอองในรอบวันเฉลี่ย พบว่า TSP เฉลี่ย มีค่าสูงสุด 160.5 ± 20.9 ในไครกรัมต่อสูบากก์เมตร ในช่วงเวลา 15.00-21.00 น. และมีค่าต่ำสุด 120.5 ± 12.3 ในไครกรัมต่อสูบากก์เมตร ในช่วงเวลา 03.00-09.00 น. (ตารางที่ 4.5, ภาพที่ 4.4) ส่วน PM_{10} เฉลี่ย มีค่าสูงสุด 148.8 ± 22.8 ในไครกรัมต่อสูบากก์เมตร ในช่วงเวลา 21.00-00.00 น. และมีค่าต่ำสุด 102.9 ± 14.3 ในไครกรัมต่อสูบากก์เมตร ในช่วงเวลา 06.00-09.00 น. (ตารางที่ 4.5, ภาพที่ 4.5)

2) ชั้นกลาง

ผลการตรวจวัด ฝุ่นละออง ระหว่างวันที่ 18-21 กุมภาพันธ์ พ.ศ. 2551 บริเวณภาคพื้นโรงเรนในหอกสูห (ใบหอก 1) พบว่า ความเข้มข้นของ TSP มีค่า 94.6 ± 160.8 ในไครกรัมต่อสูบากก์เมตร มีค่าเฉลี่ย 127.5 ± 21.6 ในไครกรัมต่อสูบากก์เมตร และความเข้มข้นของ PM_{10} มีค่า 78.1 ± 156.6 ในไครกรัมต่อสูบากก์เมตร และมีค่าเฉลี่ย 113.0 ± 18.6 ในไครกรัมต่อสูบากก์เมตร ดังตารางที่ 4.4

ผลการตรวจวัด ฝุ่นละอองในรอบวันเฉลี่ย พบว่า TSP เฉลี่ย มีค่าสูงสุด 145.4 ± 18.1 ในไครกรัมต่อสูบากก์เมตร ในช่วงเวลา 15.00-21.00 น. และมีค่าต่ำสุด 108.1 ± 7.0 ในไครกรัมต่อสูบากก์เมตร ในช่วงเวลา 03.00-09.00 น. (ตารางที่ 4.5, ภาพที่ 4.4) ส่วน PM_{10} เฉลี่ย มีค่าสูงสุด 135.6 ± 19.8 ในไครกรัมต่อสูบากก์เมตร ในช่วงเวลา 09.00-12.00 น. และมีค่าต่ำสุด 95.2 ± 3.4 ในไครกรัมต่อสูบากก์เมตร ในช่วงเวลา 21.00-00.00 น. (ตารางที่ 4.5, ภาพที่ 4.5)

3) ชั้นบน

ผลการตรวจวัด ฝุ่นละออง ระหว่างวันที่ 18-21 กุมภาพันธ์ พ.ศ. 2551 บริเวณภาคพื้นโรงเรนในหอกสาก (ใบหอก 2) พบว่า ความเข้มข้นของ TSP มีค่า 92.3 ± 127.7 ในไครกรัมต่อสูบากก์เมตร มีค่าเฉลี่ย 112.0 ± 12.5 ในไครกรัมต่อสูบากก์เมตร และความเข้มข้นของ PM_{10} มีค่า 81.0 ± 175.7 ในไครกรัมต่อสูบากก์เมตร และมีค่าเฉลี่ย 111.9 ± 17.3 ในไครกรัมต่อสูบากก์เมตร ดังตารางที่ 4.4

ผลการตรวจวัด ฝุ่นละอองในรอบวันเฉลี่ย พบร้า TSP เฉลี่ย มีค่าสูงสุด 121.8 ± 12.9 ในโครงการต่ออุกนาศก์เมตร ในช่วงเวลา 15.00-21.00 น. และมีค่าต่ำสุด 100.9 ± 9.1 ในโครงการต่ออุกนาศก์เมตร ในช่วงเวลา 03.00-09.00 น. (ตารางที่ 4.5, ภาพที่ 4.4) ส่วน PM_{10} เฉลี่ย มีค่าสูงสุด 140.3 ± 28.4 ในโครงการต่ออุกนาศก์เมตร ในช่วงเวลา 21.00-00.00 น. และมีค่าต่ำสุด 91.1 ± 3.0 ในโครงการต่ออุกนาศก์เมตร ในช่วงเวลา 03.00-06.00 น. (ตารางที่ 4.5, ภาพที่ 4.5)

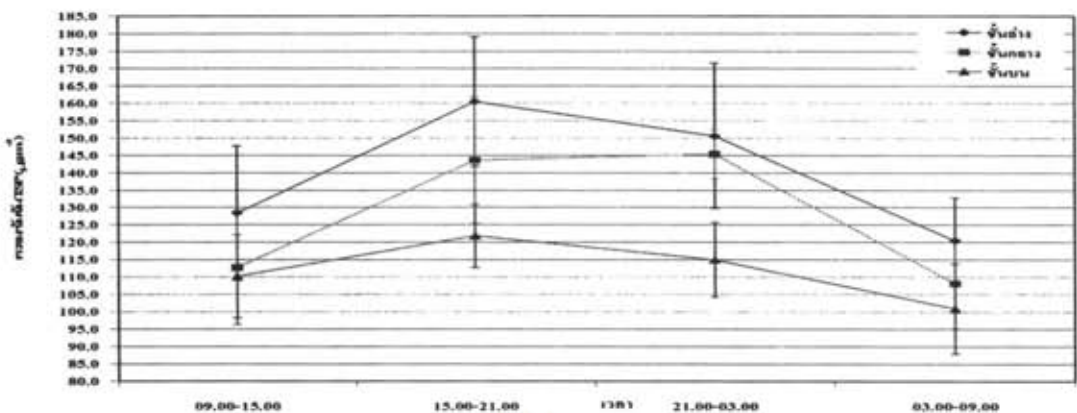
ตารางที่ 4.4 ค่าต่ำสุด-สูงสุด และค่าเฉลี่ยความเข้มข้นของ TSP และ PM_{10} (ในโครงการต่ออุกนาศก์เมตร)
ระหว่างวันที่ 18-21 กุมภาพันธ์ พ.ศ. 2551 บริเวณพื้นที่ศึกษา เขตราชเทวี กรุงเทพมหานคร

พื้นที่ศึกษา	TSP (ในโครงการต่ออุกนาศก์เมตร)		PM_{10} (ในโครงการต่ออุกนาศก์เมตร)	
	ค่าต่ำสุด-สูงสุด	ค่าเฉลี่ย $\pm SD$	ค่าต่ำสุด-สูงสุด	ค่าเฉลี่ย $\pm SD$
ชั้นล่าง	106.4-180.2	140.0 ± 22.9^a	88.4-164.6	118.7 ± 21.1^a
ชั้นกลาง	94.6-160.8	127.5 ± 21.6^b	78.1-156.6	113.0 ± 18.6^a
ชั้นบน	92.3-127.7	112.0 ± 12.5^c	81.0-175.7	111.9 ± 17.3^a

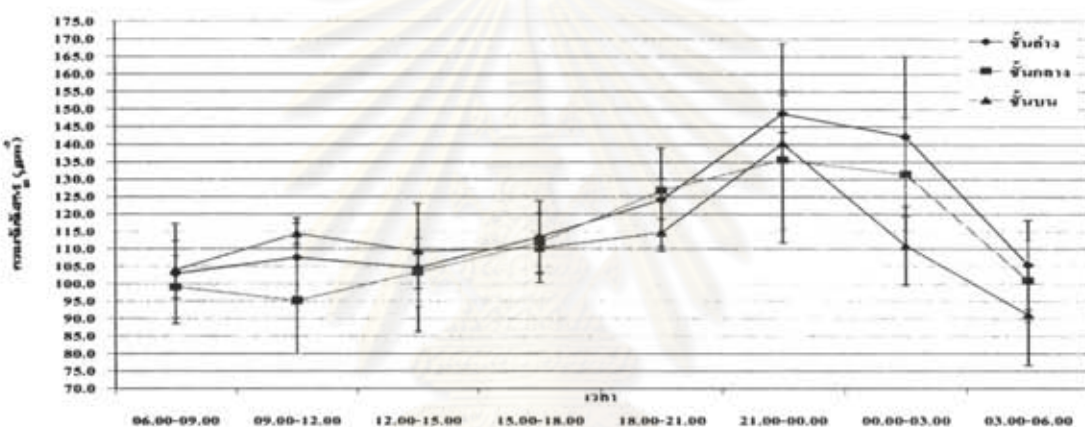
หมายเหตุ: ^{a,b,c} คือความเข้มข้นเฉลี่ยของ TSP และ PM_{10} ระหว่างชั้นความสูงที่มีค่าแตกต่างกันอย่างน้อยสี่ตัวบัญชาสถิติที่ระดับความเชื่อมั่น 95%

ตารางที่ 4.5 ความเข้มข้นของ TSP และ PM_{10} ในรอบวันเฉลี่ย ระหว่างวันที่ 18-21 กุมภาพันธ์ พ.ศ. 2551 บริเวณพื้นที่ศึกษา เขตราชเทวี กรุงเทพมหานคร

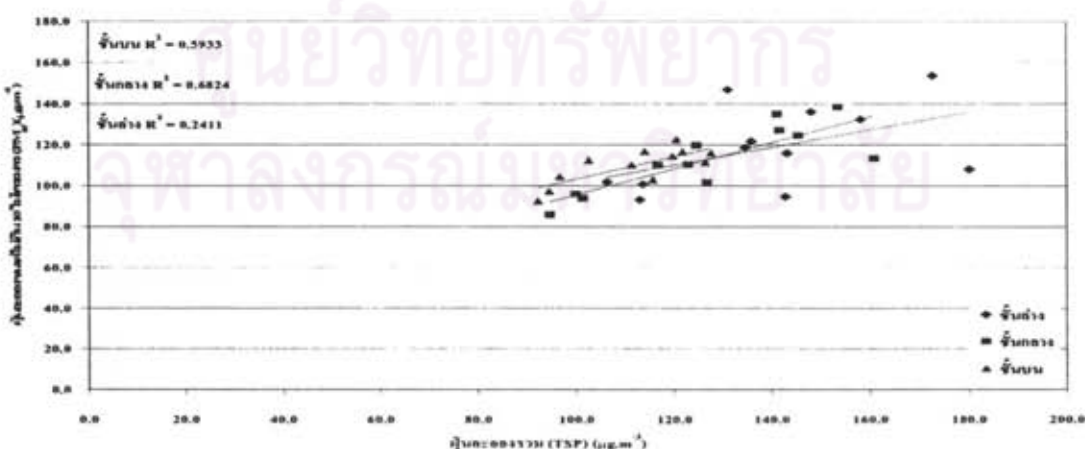
ความเข้มข้นของ TSP ในรอบวันเฉลี่ย (ในโครงการต่ออุกนาศก์เมตร)			
เวลา	ชั้นล่าง	ชั้นกลาง	ชั้นบน
09.00-15.00 น.	128.4 ± 19.4	112.7 ± 16.4	110.2 ± 12.0
15.00-21.00 น.	160.5 ± 18.6	143.6 ± 18.1	121.8 ± 9.1
21.00-03.00 น.	150.6 ± 20.9	145.4 ± 7.0	115.0 ± 10.8
03.00-09.00 น.	120.5 ± 12.3	108.1 ± 12.9	100.9 ± 12.9
ความเข้มข้นของ PM_{10} ในรอบวันเฉลี่ย (ในโครงการต่ออุกนาศก์เมตร)			
เวลา	ชั้นล่าง	ชั้นกลาง	ชั้นบน
06.00-09.00 น.	102.9 ± 14.3	99.1 ± 8.9	104.0 ± 8.3
09.00-12.00 น.	107.5 ± 11.3	95.2 ± 15.2	114.4 ± 3.0
12.00-15.00 น.	104.6 ± 18.5	103.3 ± 9.8	109.4 ± 10.7
15.00-18.00 น.	113.4 ± 10.4	111.8 ± 8.3	110.2 ± 9.9
18.00-21.00 น.	124.2 ± 14.8	126.8 ± 3.4	114.7 ± 3.9
21.00-00.00 น.	148.8 ± 5.4	135.6 ± 19.8	140.3 ± 28.4
00.00-03.00 น.	142.3 ± 22.8	131.5 ± 16.1	110.9 ± 11.3
03.00-06.00 น.	105.5 ± 12.8	101.0 ± 11.7	91.1 ± 14.4



ภาพที่ 4.4 ความเข้มข้นของ TSP ในรอบวันเฉลี่ย (ไมโครกรัมต่อลูกบาศก์เมตร) ระหว่างวันที่ 18-21 กุมภาพันธ์ พ.ศ. 2551 บริเวณพื้นที่ศึกษา เขตราชเทวี กรุงเทพมหานคร



ภาพที่ 4.5 ความเข้มข้นของ PM_{10} ในรอบวันเฉลี่ย (ไมโครกรัมต่อลูกบาศก์เมตร) ระหว่างวันที่ 18-21 กุมภาพันธ์ พ.ศ. 2551 บริเวณพื้นที่ศึกษา เขตราชเทวี กรุงเทพมหานคร



ภาพที่ 4.6 ค่าสัมประสิทธิ์สหสัมพันธ์ (R^2) ระหว่าง TSP กับ PM_{10} บริเวณพื้นที่ศึกษา เขตราชเทวี กรุงเทพมหานคร

จากการพิจารณาทางสถิติ พบว่า ความเข้มข้นของ TSP ตามระดับความสูงที่ศึกษา มีค่า แಡกต่างกันอย่างมีนัยสำคัญทางสถิติที่ระดับความเชื่อมั่น 95% ส่วนความเข้มข้นของ PM_{10} ตามระดับความสูงที่ศึกษา พบว่า ไม่มีความแಡกต่างกันทางสถิติ เมื่อหาค่าสัมประสิทธิ์สหสัมพันธ์ (R^2) ระหว่าง TSP กับ PM_{10} ทั้ง 3 ระดับชั้นความสูง ในเขตราชเทวี กรุงเทพมหานคร พบว่า ชั้นกลางมีค่า R^2 สูงสุด คือ 0.682 รองลงมาคือชั้นบน มีค่า 0.594 ซึ่งมีความสัมพันธ์กันอย่างมีนัยสำคัญที่ระดับความเชื่อมั่น 95% ส่วนชั้นล่าง มีค่า R^2 ต่ำสุด คือ 0.241 ดังภาพที่ 4.6 ความสัมพันธ์ระหว่าง TSP และ PM_{10} แสดงให้เห็นว่ามีจากแหล่งเดียวกันในกรณีที่มีค่า R^2 สูง กรณีที่ค่า R^2 ต่ำ แสดงว่า มีแหล่งกำเนิดของ TSP และ PM_{10} แตกต่างกัน ในกรณีชั้นล่าง น่าจะมีแหล่งกำเนิดของ TSP มาก เช่นมาจากการเผาผลาญ การก่อสร้าง ส่งผลให้ ความสัมพันธ์ระหว่าง TSP และ PM_{10} มีค่า R^2 ต่ำ

ความเข้มข้นของ TSP และ PM_{10} ในรอบวันเฉลี่ย เป็นไปในทิศทางเดียวกันคือ แปรผกผันตามความสูง คือจะพบว่าความเข้มข้นของ TSP และ PM_{10} มีค่าลดลงเมื่อระดับความสูง เพิ่มขึ้น และพบว่า TSP มีค่าสูงสุดในช่วงเวลา 15.00-21.00 น. ส่วน PM_{10} มีค่าสูงสุดในช่วงเวลา 21.00-00.00 น. เนื่องมาจาก ในช่วงเวลาดังกล่าว มีความเร็วลมเฉลี่ยในช่วงเวลานั้นต่ำกว่าช่วงเวลา อื่น จากการพิจารณาจะพบว่าความเข้มข้นของฝุ่นละอองที่ตรวจพบทุกรายระดับความสูง แปรผกผัน กับความเร็วลม คือเมื่อความเร็วลมมีค่าสูง จะพบความเข้มข้นของ TSP และ PM_{10} มีค่าต่ำ

เมื่อพิจารณาการเปลี่ยนแปลงความเข้มข้นของ TSP และ PM_{10} ต่อความสูง 1 เมตร และ ความเข้มข้นของฝุ่นละอองต่อเมตรในรอบวันเฉลี่ย ของพื้นที่ศึกษานี้ พบว่า ความเข้มข้นของ TSP ต่อเมตรที่ชั้นล่าง-ชั้นกลาง และชั้นกลาง-ชั้นบนลดลงตามความสูงมากกว่า PM_{10} ในทุกช่วงเวลา และค่าเฉลี่ยรวมของ TSP และ PM_{10} ลดลงตามระดับความสูง จากชั้นล่าง-ชั้นบน ด้วยอัตรา 0.10 และ 0.03 ในโครงการต่ออุกุนาก์เมตร ต่อความสูง 1 เมตร จะเห็นได้ว่าอัตราการลดลงของ TSP มีค่ามากกว่า PM_{10} ดังตารางที่ 4.6 ซึ่งมีผลเหมือนกับการศึกษาการกระจายตัวของฝุ่นละอองตามระดับความสูงในเขตเมืองของช่อง (Chan และ Kwok, 2000) เป็นไปตามทฤษฎี ฝุ่นขนาดเล็กจะแนวลักษณะในอากาศได้นานกว่าฝุ่นขนาดใหญ่เนื่องจากมีความเร็วในการตกตัวดี (กรมควบคุมมลพิษ, 2552) ทำให้ PM_{10} มีอัตราการลดลงตามความสูงมากกว่า TSP

ตารางที่ 4.6 การเปลี่ยนแปลงความเข้มข้นของ TSP และ PM_{10} ($\mu g/m^3$) ต่อความสูง 1 เมตร ใน
รอบวันเฉลี่ย ระหว่างวันที่ 18-21 กุมภาพันธ์ พ.ศ. 2551 บริเวณพื้นที่ศึกษา เขตราชเทวี
กรุงเทพมหานคร

เวลา	ชั้นล่าง-ชั้นกลาง		ชั้นกลาง-ชั้นบน		ชั้นล่าง-ชั้นบน	
	TSP	PM_{10}	TSP	PM_{10}	TSP	PM_{10}
09.00-15.00 น.	-0.13	-0.06	-0.01	0.07	-0.06	0.02
15.00-21.00 น.	-0.14	0.00	-0.13	-0.04	-0.13	-0.02
21.00-03.00 น.	-0.11	-0.10	-0.18	-0.10	-0.12	-0.10
03.00-09.00 น.	-0.10	-0.03	-0.04	-0.01	-0.07	-0.02
ค่าเฉลี่ย	-0.10	-0.05	-0.09	-0.02	-0.10	-0.03

4.1.1.3 พื้นที่ศึกษาอ้าเมือง จังหวัดเชียงใหม่

ผลการตรวจวัด ฝุ่นละออง ระหว่างวันที่ 25-28 กุมภาพันธ์ พ.ศ. 2551 ในแต่ละ
ชั้นความสูงของพื้นที่ศึกษา อ้าเมือง จังหวัดเชียงใหม่ พบว่า ความเข้มข้นของ TSP เฉลี่ยชั้น
กลาง มีค่าสูงสุด คือ 108.4 ± 19.0 ในโครงการต่ออุกบากก์เมตร และ ชั้นบน มีค่าต่ำสุด คือ 92.6 ± 27.6
ในโครงการต่ออุกบากก์เมตร ความเข้มข้นของ PM_{10} เฉลี่ย พบว่า ชั้นกลาง มีค่าเฉลี่ยสูงสุด คือ
 110.3 ± 33.1 ในโครงการต่ออุกบากก์เมตร เช่นเดียวกับ TSP ส่วนชั้นล่างและ ชั้นบน มีค่าเฉลี่ย
ใกล้เคียงกัน คือ 92.0 ± 29.4 และ 91.9 ± 30.1 ในโครงการต่ออุกบากก์เมตร ตามลำดับ เมื่อพิจารณา
ความเข้มข้นของ TSP ในรอบวันเฉลี่ย พบว่า ชั้นกลาง มีค่าสูงสุด คือ 118.2 ± 31.4 ในโครงการต่อ
อุกบากก์เมตร ในช่วงเวลา 09.00-15.00 น. และ ชั้นบน มีค่าต่ำสุด คือ 76.5 ± 9.2 ในโครงการต่อ
อุกบากก์เมตร ในช่วงเวลา 15.00-22.00 น. ความเข้มข้นของ PM_{10} ในรอบวันเฉลี่ย พบว่า ชั้นกลาง
มีค่าสูงสุด คือ 120.7 ± 38.0 ในโครงการต่ออุกบากก์เมตร ในช่วงเวลา 09.00-12.00 น. และ ชั้นล่าง มี
ค่าต่ำสุด คือ 62.9 ± 0.8 ในโครงการต่ออุกบากก์เมตร ในช่วงเวลา 15.00-18.00 น. รายละเอียดมี
ดังต่อไปนี้

1) ชั้นล่าง

ผลการตรวจวัด ฝุ่นละออง ระหว่างวันที่ 25-28 กุมภาพันธ์ พ.ศ. 2551 บริเวณภาคพื้
อาครรขอครด โรงแรมเช็นทารา ดวงตะวัน พบว่า ความเข้มข้นของ TSP มีค่า $65.4-136.8$
ในโครงการต่ออุกบากก์เมตร มีค่าเฉลี่ย 101.1 ± 21.6 ในโครงการต่ออุกบากก์เมตร และความเข้มข้น
ของ PM_{10} มีค่า $52.4-149.8$ ในโครงการต่ออุกบากก์เมตร มีค่าเฉลี่ย 92.0 ± 29.4 ในโครงการต่อ
อุกบากก์เมตร ดังตารางที่ 4.7

ผลการตรวจวัด ฝุ่นละอองในรอบวันเฉลี่ย พบร้า TSP เฉลี่ย มีค่าสูงสุด 109.4 ± 35.7 ในโครงการต่ออุกนาศก์เมตร ในช่วงเวลา 09.00-15.00 น. และมีค่าต่ำสุด 91.2 ± 8.1 ในโครงการต่ออุกนาศก์เมตร ในช่วงเวลา 15.00-21.00 น. (ตารางที่ 4.8, ภาพที่ 4.7) ส่วน PM_{10} เฉลี่ย มีค่าสูงสุด 113.0 ± 40.1 ในโครงการต่ออุกนาศก์เมตร ในช่วงเวลา 21.00-00.00 น. และมีค่าต่ำสุด 62.9 ± 0.8 ในโครงการต่ออุกนาศก์เมตร ในช่วงเวลา 15.00-18.00 น. (ตารางที่ 4.8, ภาพที่ 4.8)

2) ขั้นกลาง

ผลการตรวจวัด ฝุ่นละออง ระหว่างวันที่ 25-28 กุมภาพันธ์ พ.ศ. 2551 บริเวณภาคพื้า โรงเรนอินพีเรียลแมปปิ้ง พบร้า ความเข้มข้นของ TSP มีค่า $85.7-152.3$ ในโครงการต่ออุกนาศก์เมตร มีค่าเฉลี่ย 108.4 ± 19.0 ในโครงการต่ออุกนาศก์เมตร และความเข้มข้นของ PM_{10} มีค่า $64.8-160.9$ ในโครงการต่ออุกนาศก์เมตร มีค่าเฉลี่ย 106.3 ± 27.1 ในโครงการต่ออุกนาศก์เมตร ดังตารางที่ 4.7

ผลการตรวจวัด ฝุ่นละอองในรอบวันเฉลี่ย พบร้า TSP มีค่าสูงสุด 118.2 ± 31.4 ในโครงการต่ออุกนาศก์เมตร ในช่วงเวลา 09.00-15.00 น. และมีค่าต่ำสุด 97.4 ± 11.3 ในโครงการต่ออุกนาศก์เมตร ในช่วงเวลา 03.00-09.00 น. (ตารางที่ 4.8, ภาพที่ 4.7) ส่วน PM_{10} มีค่าสูงสุด 120.7 ± 38.0 ในโครงการต่ออุกนาศก์เมตร ในช่วงเวลา 09.00-12.00 น. และมีค่าต่ำสุด 87.8 ± 32.6 ในโครงการต่ออุกนาศก์เมตร ในช่วงเวลา 15.00-18.00 น. (ตารางที่ 4.8, ภาพที่ 4.8)

3) ขั้นบน

ผลการตรวจวัด ฝุ่นละออง ระหว่างวันที่ 25-28 กุมภาพันธ์ พ.ศ. 2551 บริเวณภาคพื้า โรงเรนเช่นทารา ดวงตะวัน พบร้า ความเข้มข้นของ TSP มีค่า $61.9-133.8$ ในโครงการต่ออุกนาศก์ เมตร มีค่าเฉลี่ย 86.8 ± 19.8 ในโครงการต่ออุกนาศก์เมตร และความเข้มข้นของ PM_{10} มีค่า $49.4-154.4$ ในโครงการต่ออุกนาศก์เมตร มีค่าเฉลี่ย 89.8 ± 28.8 ในโครงการต่ออุกนาศก์เมตร ดังตารางที่ 4.7

ผลการตรวจวัด ฝุ่นละอองในรอบวันเฉลี่ย พบร้า TSP เฉลี่ย มีค่าสูงสุด 102.4 ± 32.4 ในโครงการต่ออุกนาศก์เมตร ในช่วงเวลา 09.00-15.00 น. และมีค่าต่ำสุด 76.5 ± 9.2 ในโครงการต่ออุกนาศก์เมตร ในช่วงเวลา 15.00-21.00 น. (ตารางที่ 4.8, ภาพที่ 4.7) ส่วน PM_{10} เฉลี่ย มีค่าสูงสุด 116.1 ± 46.4 ในโครงการต่ออุกนาศก์เมตร ในช่วงเวลา 09.00-12.00 น. และมีค่าต่ำสุด 69.0 ± 12.4 ในโครงการต่ออุกนาศก์เมตร ในช่วงเวลา 18.00-21.00 น. (ตารางที่ 4.8, ภาพที่ 4.8)

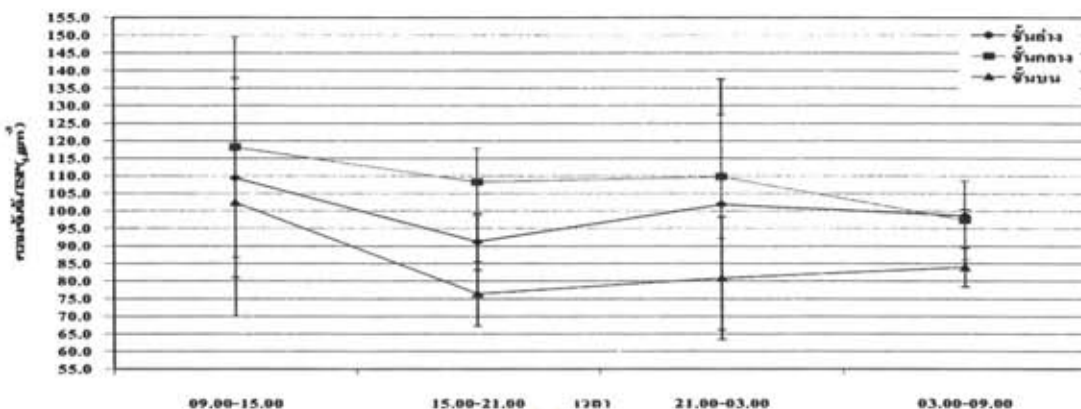
ตารางที่ 4.7 ค่าต่ำสุด-สูงสุด และค่าเฉลี่ยความเข้มข้นของ TSP และ PM_{10} (ในโครงการนัมต่ออุกบานาศก์เมตร) ระหว่างวันที่ 25-28 กุมภาพันธ์ พ.ศ. 2551 บริเวณพื้นที่ศึกษา อำเภอเมือง จังหวัดเชียงใหม่

พื้นที่ศึกษา	TSP (ในโครงการนัมต่ออุกบานาศก์เมตร)		PM_{10} (ในโครงการนัมต่ออุกบานาศก์เมตร)	
	ค่าต่ำสุด-สูงสุด	ค่าเฉลี่ย $\pm SD$	ค่าต่ำสุด-สูงสุด	ค่าเฉลี่ย $\pm SD$
ชั้นล่าง	65.4-136.8	101.1 \pm 21.6 ^a	52.4-149.8	92.0 \pm 29.4 ^a
ชั้นกลาง	85.7-152.3	108.4 \pm 19.0 ^a	64.8-160.9	106.3 \pm 27.1 ^a
ชั้นบน	61.9-133.8	86.8 \pm 19.8 ^b	49.4-154.4	89.8 \pm 28.8 ^b

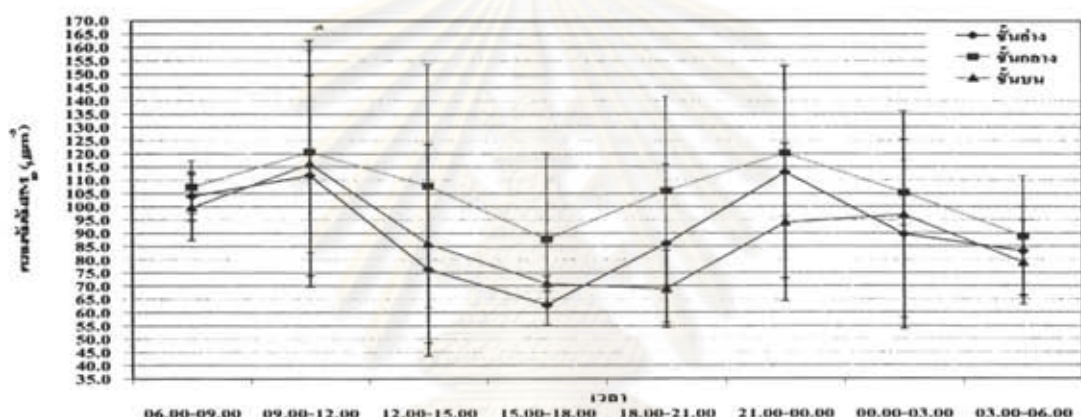
หมายเหตุ: ^{a,b} คือความเข้มข้นเฉลี่ยของ TSP และ PM_{10} ระหว่างชั้นความสูงที่มีค่าแตกต่างกันอย่างมีนัยสำคัญทางสถิติที่ระดับความเชื่อมั่น 95%

ตารางที่ 4.8 ความเข้มข้นของ TSP และ PM_{10} ในรอบวันเฉลี่ย (ในโครงการนัมต่ออุกบานาศก์เมตร) ระหว่างวันที่ 25-28 กุมภาพันธ์ พ.ศ. 2551 บริเวณพื้นที่ศึกษา อำเภอเมือง จังหวัดเชียงใหม่

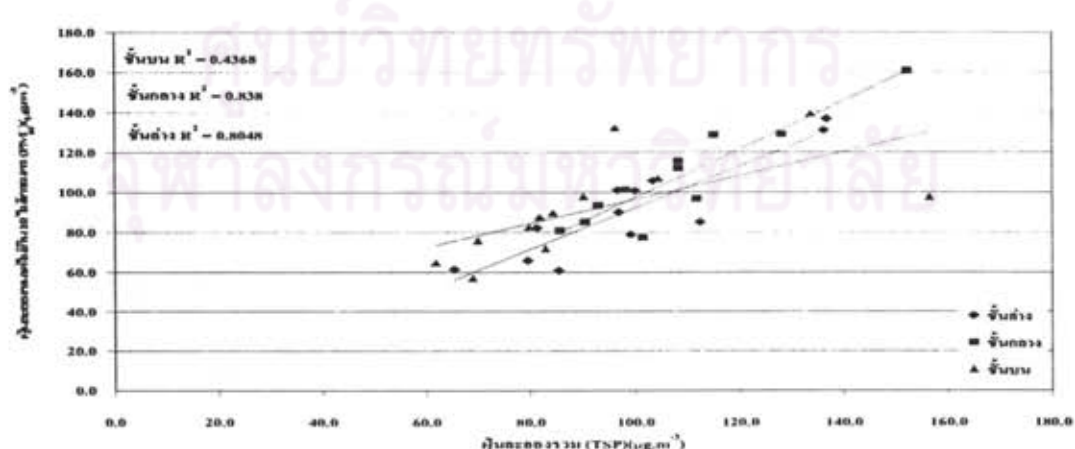
ความเข้มข้นของ TSP ในรอบวันเฉลี่ย (ในโครงการนัมต่ออุกบานาศก์เมตร)			
เวลา	ชั้นล่าง	ชั้นกลาง	ชั้นบน
09.00-15.00 น.	109.4 \pm 28.4	118.2 \pm 31.4	102.4 \pm 32.4
15.00-21.00 น.	91.2 \pm 8.1	108.3 \pm 9.6	76.5 \pm 9.2
21.00-03.00 น.	101.9 \pm 35.7	109.8 \pm 17.6	80.8 \pm 17.5
03.00-09.00 น.	98.7 \pm 1.8	97.4 \pm 11.3	84.0 \pm 5.5
ความเข้มข้นของ PM_{10} ในรอบวันเฉลี่ย (ในโครงการนัมต่ออุกบานาศก์เมตร)			
เวลา	ชั้นล่าง	ชั้นกลาง	ชั้นบน
06.00-09.00 น.	103.9 \pm 9.2	107.3 \pm 10.0	99.7 \pm 12.4
09.00-12.00 น.	111.7 \pm 37.8	120.7 \pm 38.0	116.1 \pm 46.4
12.00-15.00 น.	76.3 \pm 32.7	107.8 \pm 45.8	86.0 \pm 37.5
15.00-18.00 น.	62.9 \pm 0.8	87.8 \pm 32.6	70.8 \pm 2.9
18.00-21.00 น.	86.1 \pm 30.0	106.0 \pm 35.6	69.0 \pm 14.6
21.00-00.00 น.	113.0 \pm 40.1	120.2 \pm 23.9	94.1 \pm 29.8
00.00-03.00 น.	89.6 \pm 35.7	105.3 \pm 12.3	97.0 \pm 39.0
03.00-06.00 น.	83.2 \pm 16.8	88.9 \pm 22.8	79.0 \pm 16.0



ภาพที่ 4.7 ความเข้มข้นของ TSP ในรอบวันเฉลี่ย (ในโครงการรัฐต่ออุกบากเมือง) ระหว่างวันที่ 25-28 กุมภาพันธ์ พ.ศ. 2551 บริเวณพื้นที่ศึกษา อําเภอเมือง จังหวัดเชียงใหม่



ภาพที่ 4.8 ความเข้มข้นของ PM₁₀ ในรอบวันเฉลี่ย (ในโครงการรัฐต่ออุกบากเมือง) ระหว่างวันที่ 25-28 กุมภาพันธ์ พ.ศ. 2551 บริเวณพื้นที่ศึกษา อําเภอเมือง จังหวัดเชียงใหม่



ภาพที่ 4.9 ค่าสัมประสิทธิ์สหสัมพันธ์ (R^2) ระหว่าง TSP กับ PM₁₀ บริเวณพื้นที่ศึกษา อําเภอเมือง จังหวัดเชียงใหม่

เมื่อพิจารณาแนวโน้มของค่าความเข้มข้นของ TSP ชั้นล่างและชั้นบน มีลักษณะแปรผันกับความสูง คือมีความเข้มข้นลดลงตามระดับความสูง แต่ PM_{10} แปรผันตามความสูง คือ มีความเข้มข้นสูงขึ้นตามระดับความสูง เหตุผลในการไม่นำแนวโน้มของฝุ่นละอองทั้งสองชนิดในชั้นกลางมาพิจารณา เนื่องมาจากบริเวณจุดเก็บตัวอย่างชั้นกลาง ตั้งอยู่ใกล้ปล่องระบบที่ทำการพนความเข้มข้นของฝุ่นละอองสูงกว่าชั้นอื่นๆ จึงไม่เหมาะสมในการนำมารวเคราะห์แนวโน้มระหว่างความเข้มข้นของฝุ่นละอองตามระดับความสูง

จากการพิจารณาทางสถิติ พบว่า ความเข้มข้นของ TSP ตามระดับความสูงที่ศึกษา ชั้นบน มีค่าแตกต่างกับชั้nl่าง และชั้นกลางอย่างมีนัยสำคัญทางสถิติที่ระดับความเชื่อมั่น 95% ส่วนความเข้มข้นของ PM_{10} ตามระดับความสูงที่ศึกษา พบว่า ไม่มีความแตกต่างกันทางสถิติ แสดงให้เห็นว่า ความเข้มข้นของ PM_{10} ลดลงตามระดับความสูงไม่นัก ส่วน TSP ลดลงตามระดับความสูงมากจนแสดงความแตกต่างทางสถิติ เมื่อหาค่าสัมประสิทธิ์สหสัมพันธ์ (R^2) ระหว่าง TSP กับ PM_{10} ตามระดับความสูง ในอำเภอเมือง จังหวัดเชียงใหม่ พบว่า ชั้นกลางมีค่า R^2 สูงสุด คือ 0.839 และชั้นบน มีค่า R^2 ต่ำสุด คือ 0.795 ดังภาพที่ 4.9 เมื่อพิจารณาค่าความสัมพันธ์ จะเห็นได้ว่า ทั้งสามระดับชั้นมีความสัมพันธ์ระหว่าง TSP และ PM_{10} สูง อย่างมีนัยสำคัญที่ระดับความเชื่อมั่น 95% ($R^2 > 0.8$) แสดงว่า TSP และ PM_{10} ในแต่ละชั้นความสูงจากแหล่งกำเนิดเดียวกัน (Duan และคณะ, 2005)

เมื่อพิจารณาการเปลี่ยนแปลงความเข้มข้นของ TSP และ PM_{10} ต่อความสูง 1 เมตร และความเข้มข้นของฝุ่นละอองต่อเมตรในรอบวันเฉลี่ย ของพื้นที่ศึกษานี้ พบว่า ความเข้มข้นของ PM_{10} ต่อเมตรที่ชั้nl่าง-ชั้นกลางมีค่าเพิ่มขึ้นตามความสูงมากกว่า TSP ในทุกช่วงเวลา และในช่วงความสูงชั้นกลาง-ชั้นบน ความเข้มข้นของ TSP ต่อเมตร มีค่าลดลงตามความสูงมากกว่า PM_{10} ในทุกช่วงเวลา และค่าเฉลี่บรวมของ TSP และ PM_{10} ลดลงตามระดับความสูงจากชั้nl่าง-ชั้นบน ด้วยอัตรา 0.13 และ 0.01 ในโครงการต่ออุกบาลศึกษา ต่อความสูง 1 เมตร ดังตารางที่ 4.9 แสดงให้เห็นว่า ความเข้มข้นของ PM_{10} มีอัตราการลดลงตามระดับความสูง ต่ำกว่า TSP ซึ่งมีผลเหมือนกับการศึกษาการกระจายตัวของฝุ่นละอองตามระดับความสูงในเขตเมืองของฮ่องกง (Chan และ Kwok, 2000) เนื่องจากคุณสมบัติการแขวนลอยของ PM_{10} มีสูงกว่า TSP (กรมควบคุมมลพิษ, 2552)

ตารางที่ 4.9 การเปลี่ยนแปลงความเข้มข้นของ TSP และ PM_{10} ($\mu\text{g}/\text{m}^3$) ต่อความสูง 1 เมตร ใน
รอบวันเฉลี่ย ระหว่างวันที่ 25-28 กุมภาพันธ์ พ.ศ. 2551 บริเวณพื้นที่ศึกษา อำเภอเมือง
จังหวัดเชียงใหม่

เวลา	ชั้นล่าง-ชั้นกลาง		ชั้นกลาง-ชั้นบน		ชั้นล่าง-ชั้นบน	
	TSP	PM_{10}	TSP	PM_{10}	TSP	PM_{10}
09.00-15.00 น.	0.22	0.51	-0.23	-0.19	-0.06	0.06
15.00-21.00 น.	0.43	0.69	-0.46	-0.42	-0.13	-0.02
21.00-03.00 น.	0.20	0.29	-0.41	-0.25	-0.19	-0.05
03.00-09.00 น.	-0.03	0.11	-0.19	-0.13	-0.13	-0.04
ค่าเฉลี่ย	0.18	0.37	-0.31	-0.23	-0.13	-0.01

จากการพิจารณาทางสถิติระหว่าง ความเข้มข้นของ TSP และ PM_{10} ตามระดับความสูง เพื่อศึกษาระยะชาติว่า ผู้คนจะออกอากาศในพื้นที่ศึกษา เบต้าเรซิโน่ กรุงเทพมหานคร ค่า TSP แสดงความสัมพันธ์กับความสูงแบบแปรผกผัน อย่างมีนัยสำคัญที่ระดับความเชื่อมั่น 99% ส่วน PM_{10} มีความสัมพันธ์กับความสูงอย่างไม่มีนัยสำคัญ คือ ทั้ง TSP และ PM_{10} จะลดลงตามความสูง เช่นเดียวกับการศึกษาความเข้มข้นของผู้คนจะออกอากาศที่เมืองปักกิ่ง (Chan และ กะ, 2005) และที่เมืองโอซาก้า ญี่ปุ่น (Sasaki และ Sakamoto, 2005) พื้นที่ศึกษา อำเภอเมือง จังหวัดเชียงใหม่ ทั้ง TSP และ PM_{10} มีความสัมพันธ์กับความสูงแบบแปรผกผัน กัน อย่างไม่มีนัยสำคัญ คือ เมื่อมีความสูงเพิ่มขึ้น จะพบผู้คนลดลง และพบว่าพื้นที่ศึกษาจังหวัดเชียงใหม่ จะมีความสัมพันธ์ระหว่าง TSP กับความสูง สูงกว่า PM_{10} เช่นเดียวกับกรุงเทพฯ ซึ่งแหล่งกำเนิดหลักของ TSP เป็นแหล่งกำเนิดที่อยู่ในพื้นที่ ทำให้พบความเข้มข้นของ TSP ลดลงตามระดับความสูง ส่วน PM_{10} สามารถมาจากแหล่งกำเนิดในพื้นที่และแหล่งกำเนิดจากระยะไกลได้ ประกอบกับความสามารถในการแขวนลดของญี่ปุ่นบรรยายได้นานกว่า TSP ส่งผลให้ค่าความเข้มข้นของ PM_{10} ที่พบลดลงตามความสูงน้อยกว่า TSP ส่วนพื้นที่ศึกษาอำเภอหาดใหญ่ จังหวัดสงขลา ได้รับอิทธิพลจากฝน และความชื้นสัมพันธ์สูง ส่งผลให้ TSP มีค่าไม่แตกต่างกับ PM_{10} ดังนั้นจึงไม่แสดงความสัมพันธ์อย่างมีนัยสำคัญกับความสูง

จากการพิจารณาทางสถิติ ทุกพื้นที่ตรวจวัด ตามระดับความสูง พบว่า ความเข้มข้นของ TSP ส่วนใหญ่ ในแต่ละระดับความสูงมีค่าแตกต่างกันอย่างมีนัยสำคัญทางสถิติที่ระดับความเชื่อมั่น 95% ส่วนความเข้มข้นของ PM_{10} ตามระดับความสูง พบว่า ไม่มีความแตกต่างกันทางสถิติ เมื่อ Jongman ศึกษาสมบัติในการแขวนลดของญี่ปุ่นบรรยายของ PM_{10} มีค่ามากกว่า TSP ทำให้ในระดับความสูงขึ้นไปบังคับแขวนลดของญี่ปุ่น จึงพบความเข้มข้นของ PM_{10} ในชั้นกลางและชั้นบนไม่แตกต่างจากชั้นล่าง

เมื่อพิจารณาการเปลี่ยนแปลงความเข้มข้นของ TSP และ PM_{10} ต่อความสูง 1 เมตร ทั้ง 3 พื้นที่ศึกษา พบว่า พื้นที่ศึกษากรุงเทพมหานคร และ เชียงใหม่ มีค่าเฉลี่ยของการเปลี่ยนแปลงความเข้มข้นต่อเมตรของ PM_{10} ลดลงตามความสูงด้วยอัตรา 0.03 และ 0.01 ในโครงการนั้นต่ออุก娜斯ก์ เมตร ต่อเมตร ตามลำดับ ส่วน TSP ลดลงตามความสูงด้วยอัตรา 0.10 และ 0.13 ในโครงการนั้นต่อ อุก娜斯ก์ เมตร ต่อเมตร ตามลำดับ ซึ่งจะเห็นได้ว่า อัตราการลดลงของ PM_{10} มีค่าน้อยกว่า TSP ซึ่งมี ผลเหมือนกันการศึกษาการกระจายตัวของฝุ่นละอองตามระดับความสูงในเขตเมืองของช่องกง (Chan และ Kwok, 2000) เนื่องมาจากคุณสมบัติการแพร่กระจายของฝุ่นละอองตามระดับความสูงในเขตเมืองของช่องกง (Chan และ Kwok, 2000) เนื่องมาจากคุณสมบัติการแพร่กระจายของฝุ่นละอองตามระดับความสูงในอากาศของฝุ่นละอองขนาดเล็ก จะแพร่กระจายอย่างกว้างขวางกว่าฝุ่นขนาดใหญ่ (กรมควบคุมมลพิษ, 2552) และทั้ง 2 พื้นที่ศึกษาบังหนึบอีกว่า มีอัตราการลดลงของ TSP และ PM_{10} ต่อความสูง 1 เมตร ใกล้เคียงกัน ซึ่งอาจจะนำไปสู่การศึกษาเพิ่มเพื่อให้ได้ข้อมูลที่ซัดเจนยิ่งขึ้น และขยายผลไปยังการศึกษาในพื้นที่ศึกษาอื่นๆต่อไป

4.1.2 สัดส่วนระหว่างฝุ่นละอองขนาดไม่เกิน 10 ไมโครเมตร และ ฝุ่นละอองรวม (PM_{10} /TSP) ในรอบวันเฉลี่ย

จากผลการตรวจวัดความเข้มข้นของ TSP และ PM_{10} ตามระดับความสูง 3 ระดับคือ ชั้น ล่าง ชั้นกลาง และชั้นบน ใน 3 พื้นที่ศึกษาคือ อำเภอหาดใหญ่ จังหวัดสงขลา เขตราชเทวี กรุงเทพมหานคร และ อำเภอเมือง จังหวัดเชียงใหม่ นำมาหาค่าสัดส่วนของ PM_{10} /TSP โดยนำค่า ความเข้มข้นของ PM_{10} เฉลี่ยราย 6 ชั่วโมง หารกับความเข้มข้นของ TSP ราย 6 ชั่วโมงในช่วงเวลา เดียวกัน และหาค่าเฉลี่ยในรอบวัน ซึ่งสัดส่วนของ PM_{10} /TSP จะเป็นตัวบ่งชี้อัตราส่วนของ PM_{10} ที่ พบใน TSP รายละเอียดมีดังต่อไปนี้

4.1.2.1 พื้นที่ศึกษาอำเภอหาดใหญ่ จังหวัดสงขลา

ผลการคำนวณสัดส่วนของ PM_{10} /TSP ระหว่างวันที่ 17-20 ธันวาคม พ.ศ. 2550 ในแต่ละชั้นความสูงของพื้นที่ศึกษา อำเภอหาดใหญ่ จังหวัดสงขลา พบว่า สัดส่วนของ PM_{10} /TSP เฉลี่ย ชั้นกลาง มีค่าเฉลี่ยสูงสุด คือ 1.18 ± 0.25 และชั้นบน มีค่าเฉลี่ยต่ำสุด คือ 0.95 ± 0.18 สัดส่วน ของ PM_{10} /TSP ในรอบวันเฉลี่ย พบว่า ชั้นกลาง มีค่าเฉลี่ยสูงสุด 1.23 ± 0.11 ในช่วงเวลา 03.00-09.00 น. และ ชั้นบน มีค่าเฉลี่ยต่ำสุด 0.90 ± 0.17 ในช่วงเวลา 21.00-03.00 น. รายละเอียดมีดังต่อไปนี้

1) ชั้นล่าง

ผลการคำนวณสัดส่วนของ PM_{10} /TSP ระหว่างวันที่ 17-20 ธันวาคม พ.ศ. 2550 บริเวณ คาดฟ้าชั้น 8 โรงแรมในไวนิล เซ็นทรัล หาดใหญ่ พบว่า สัดส่วนของ PM_{10} /TSP มีค่า $0.65-1.23$ มี ค่าเฉลี่ย 0.97 ± 0.20 คั่งตารางที่ 4.10 สัดส่วนของ PM_{10} /TSP ในรอบวันเฉลี่ย มีค่าสูงสุด 1.06 ± 0.24

ในช่วงเวลา 15.00-21.00 น. และมีค่าต่ำสุด 0.92 ± 0.28 ในช่วงเวลา 09.00-15.00 น. (ตารางที่ 4.11, ภาพที่ 4.10)

2) ขั้นกลาง

ผลการคำนวณสัดส่วนของ PM_{10}/TSP ระหว่างวันที่ 17-20 ธันวาคม พ.ศ. 2550 บริเวณภาคที่ 13 โรงเรนลีกการเดินที่ พลาซ่า พบว่า สัดส่วนของ PM_{10}/TSP มีค่า 0.84-1.76 มีค่าเฉลี่ย 1.18 ± 0.25 สัดส่วนของ PM_{10}/TSP ในรอบวันเฉลี่ย มีค่าสูงสุด 1.23 ± 0.11 ในช่วงเวลา 03.00-09.00 น. และมีค่าต่ำสุด 1.14 ± 0.19 ในช่วงเวลา 09.00-15.00 น. (ตารางที่ 4.11, ภาพที่ 4.10)

3) ขั้นบน

ผลการคำนวณสัดส่วนของ PM_{10}/TSP ระหว่างวันที่ 17-20 ธันวาคม พ.ศ. 2550 บริเวณภาคที่ 34 โรงเรนลีกการเดินที่ พลาซ่า พบว่า สัดส่วนของ PM_{10}/TSP มีค่า 0.75-1.40 มีค่าเฉลี่ย 0.95 ± 0.18 ดังตารางที่ 4.10 สัดส่วนของ PM_{10}/TSP ในรอบวันเฉลี่ย มีค่าสูงสุด 1.03 ± 0.33 ในช่วงเวลา 03.00-09.00 น. และมีค่าต่ำสุด 0.90 ± 0.17 ในช่วงเวลา 21.00-03.00 น. (ตารางที่ 4.11, ภาพที่ 4.10)

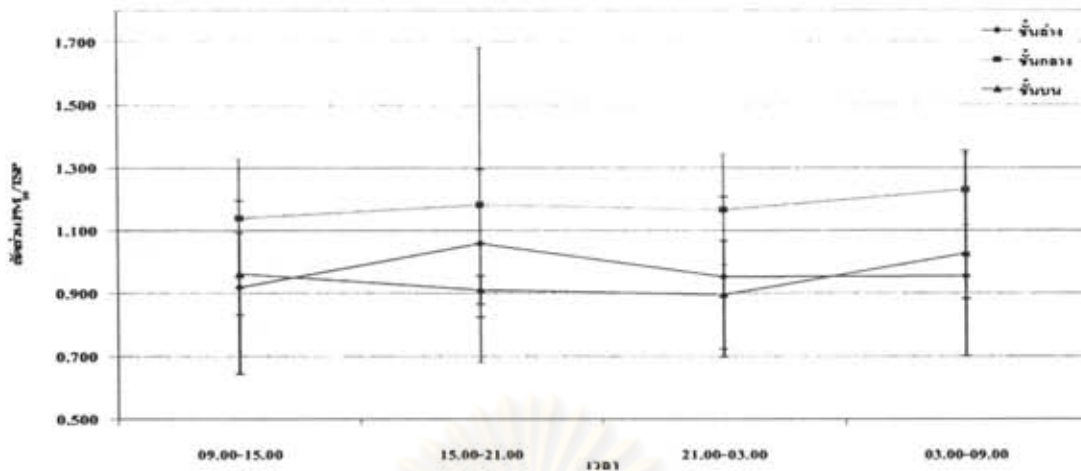
ตารางที่ 4.10 ค่าต่ำสุด-สูงสุด และค่าเฉลี่ยของ PM_{10}/TSP ระหว่างวันที่ 17-20 ธันวาคม พ.ศ. 2550 บริเวณพื้นที่ศึกษา อ้าເກອຫາດໃໝ່ ຈັງຫວັດສົງຂລາ

พื้นที่ศึกษา	สัดส่วนของ PM_{10}/TSP	
	ค่าต่ำสุด-สูงสุด	ค่าเฉลี่ย $\pm SD$
ขั้นล่าง	0.65-1.23	0.97 ± 0.20^a
ขั้นกลาง	0.84-1.76	1.18 ± 0.25^b
ขั้นบน	0.75-1.40	0.95 ± 0.18^a

หมายเหตุ: ^{a,b} คือสัดส่วนระหว่าง PM_{10}/TSP เมื่อช่วงเวลาที่มีความถี่ที่มีค่าเฉลี่ยต่างกันอย่างมีนัยสำคัญทางสถิติที่ระดับความเชื่อมั่น 95%

ตารางที่ 4.11 สัดส่วนของ PM_{10}/TSP ในรอบวันเฉลี่ย ระหว่างวันที่ 17-20 ธันวาคม พ.ศ. 2550 บริเวณพื้นที่ศึกษา อ้าເກອຫາດໃໝ່ ຈັງຫວັດສົງຂລາ

เวลา	สัดส่วนของ PM_{10}/TSP ในรอบวันเฉลี่ย		
	ขั้นล่าง	ขั้นกลาง	ขั้นบน
09.00-15.00 น.	0.92 ± 0.28	1.14 ± 0.19	0.96 ± 0.13
15.00-21.00 น.	1.06 ± 0.24	1.18 ± 0.50	0.91 ± 0.05
21.00-03.00 น.	0.95 ± 0.25	1.17 ± 0.18	0.90 ± 0.17
03.00-09.00 น.	0.96 ± 0.07	1.23 ± 0.11	1.03 ± 0.33



ภาพที่ 4.10 สัดส่วนของ PM_{10}/TSP ในรอบวันเฉลี่ย ระหว่างวันที่ 17-20 ธันวาคม พ.ศ. 2550
บริเวณพื้นที่ศึกษา อุบลราชธานี จังหวัดสระบุรี

สัดส่วนของ PM_{10}/TSP เป็นตัวบ่งชี้ว่า TSP จะมี PM_{10} ในสัดส่วนเท่าไหร่ ซึ่งด้วยว่ามีค่าสัดส่วน PM_{10}/TSP มากกว่า 0.50 แสดงให้เห็นว่า PM_{10} มีความสำคัญต่อความเป็นขั้นของ TSP มาก (Chuersuwan และคณะ, 2008) ในพื้นที่ศึกษานี้ พบว่า ชั้นกลาง มีค่าสัดส่วนสูงกว่า ชั้นอื่น ซึ่งมีค่ามากกว่า 1.0 เนื่องจากชั้นกลางเป็นชั้นที่มีความปั่นป่วนมากกว่าชั้นอื่น ทำให้ TSP ซึ่งมีความสามารถในการแขวนลด้อยลงในบรรยากาศได้ไม่ดีเท่า PM_{10} จึงมีค่าที่ตรวจวัดได้ในชั้นกลาง น้อยกว่า PM_{10} และบังพันว่าสัดส่วนของ PM_{10}/TSP มีค่าสูง และพบว่ามีค่า > 1.0 ในหลายช่วงเวลา ซึ่งหมายความว่า อัตราส่วนของฝุ่นละอองที่ตรวจพบในพื้นที่ศึกษานี้ มี PM_{10} ลดตัวอยู่ในอากาศมากกว่า TSP เนื่องจากในช่วงเวลาที่ทำการเก็บตัวอย่างมีความชื้นสูง ฝนตกในบางช่วงเวลา และมีความปั่นป่วน จึงทำให้ค่าสัดส่วน ที่ตรวจพบไม่เป็นไปตามหลักการที่ว่า PM_{10} ต้องมีค่าน้อยกว่า TSP และเมื่อพิจารณาความสัมพันธ์ระหว่างสัดส่วนของ PM_{10}/TSP กับความสูง ทางสถิติ พบว่าไม่มีความสัมพันธ์กันอย่างมีนัยสำคัญ

4.2.2.2 พื้นที่ศึกษา เขตราชเทวี กรุงเทพมหานคร

ผลการคำนวณสัดส่วนของ PM_{10}/TSP ระหว่างวันที่ 18-21 กุมภาพันธ์ พ.ศ. 2551 ในแต่ละชั้นความสูงของพื้นที่ศึกษา เขตราชเทวี กรุงเทพมหานคร พบว่า สัดส่วนของ PM_{10}/TSP เฉลี่ย ชั้นบน มีค่าสูงสุด คือ 1.00 ± 0.10 และ ชั้นล่าง มีค่าต่ำสุดคือ 0.86 ± 0.13 สัดส่วนของ PM_{10}/TSP ในรอบวันเฉลี่ย พบว่า ชั้นบน มีค่าสูงสุด 1.09 ± 0.13 ในช่วงเวลา 21.00-03.00 น. และ ชั้นล่าง มีค่าต่ำสุด 0.75 ± 0.13 ในช่วงเวลา 15.00-21.00 น. รายละเอียดมีดังดังนี้

1) ขั้นล่าง

ผลการคำนวณสัดส่วนของ PM_{10}/TSP ระหว่างวันที่ 18-21 กุมภาพันธ์ พ.ศ. 2551 บริเวณค่าฟ้าอากาศขอครอตชั้น 10 โรงเรียนในเขตกรุงเทพ (ใบหยก 1) พบว่า สัดส่วนของ PM_{10}/TSP มีค่า 0.60-1.12 มีค่าเฉลี่ย ดังตารางที่ 4.12 สัดส่วนของ PM_{10}/TSP มีค่าสูงสุด 0.98 ± 0.13 ในช่วงเวลา 21.00-03.00 น. และมีค่าต่ำสุด 0.75 ± 0.13 ในช่วงเวลา 15.00-21.00 น. (ตารางที่ 4.13, ภาพที่ 4.11)

2) ขั้นกลาง

ผลการคำนวณสัดส่วนของ PM_{10}/TSP ระหว่างวันที่ 18-21 กุมภาพันธ์ พ.ศ. 2551 บริเวณค่าฟ้าโรงเรียนในเขตกรุงเทพ (ใบหยก 1) พบว่า สัดส่วนของ PM_{10}/TSP มีค่า 0.71-1.03 มีค่าเฉลี่ย 0.89 ± 0.07 ดังตารางที่ 4.12 สัดส่วนของ PM_{10}/TSP มีค่าสูงสุด 0.93 ± 0.13 ในช่วงเวลา 03.00-09.00 น. และมีค่าต่ำสุด 0.84 ± 0.03 ในช่วงเวลา 15.00-21.00 น. (ตารางที่ 4.13, ภาพที่ 4.11)

3) ขั้นบน

ผลการคำนวณสัดส่วนของ PM_{10}/TSP ระหว่างวันที่ 18-21 กุมภาพันธ์ พ.ศ. 2551 บริเวณค่าฟ้า โรงเรียนในเขตกรุงเทพ (ใบหยก 2) พบว่า สัดส่วนของ PM_{10}/TSP มีค่า 0.88-1.23 มีค่าเฉลี่ย 1.00 ± 0.10 ดังตารางที่ 4.12 สัดส่วนของ PM_{10}/TSP มีค่าสูงสุด 1.09 ± 0.13 ในช่วงเวลา 21.00-03.00 น. และมีค่าต่ำสุด 0.93 ± 0.06 ในช่วงเวลา 15.00-21.00 น. (ตารางที่ 4.13, ภาพที่ 4.11)

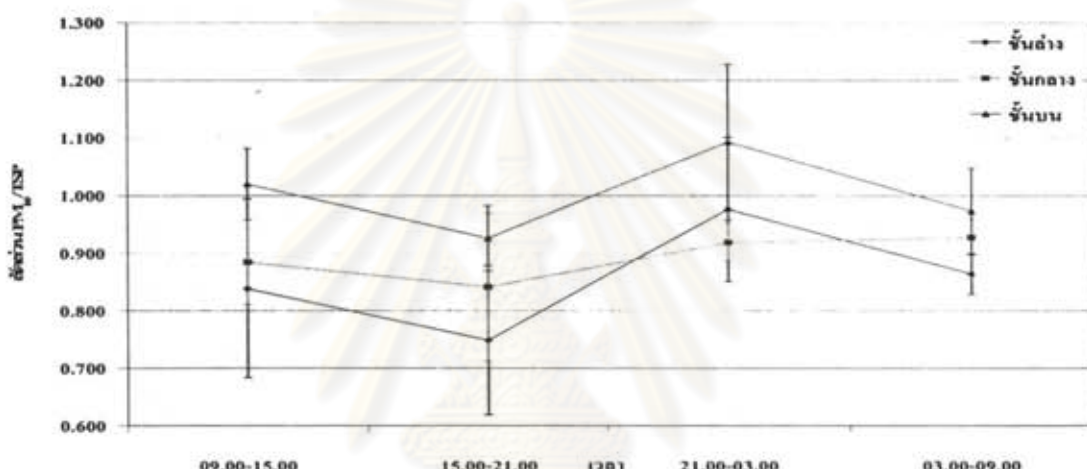
ตารางที่ 4.12 ค่าต่ำสุด-สูงสุด และค่าเฉลี่ยของสัดส่วนของ PM_{10}/TSP ระหว่างวันที่ 18-21 กุมภาพันธ์ พ.ศ. 2551 บริเวณพื้นที่ศึกษา เขตราชเทวี กรุงเทพมหานคร

พื้นที่ศึกษา	PM_{10}/TSP	
	ค่าต่ำสุด-สูงสุด	ค่าเฉลี่ย $\pm SD$
ขั้นล่าง	0.60-1.12	0.86 ± 0.13^a
ขั้นกลาง	0.71-0.96	0.89 ± 0.07^a
ขั้นบน	0.88-1.23	1.00 ± 0.10^b

หมายเหตุ: ^{a,b} คือสัดส่วนของ PM_{10}/TSP เฉลี่ย ระหว่างขั้นความสูงที่มีค่าแตกต่างกันอย่างมีนัยสำคัญทางสถิติที่ระดับความเชื่อมั่น 95%

ตารางที่ 4.13 สัดส่วนของ PM_{10}/TSP ในรอบวันเฉลี่ย ระหว่างวันที่ 18-21 กุมภาพันธ์ พ.ศ. 2551
บริเวณพื้นที่ศึกษา เขตราชเทวี กรุงเทพมหานคร

สัดส่วนของ PM_{10}/TSP ในรอบวันเฉลี่ย			
เวลา	ชั้นล่าง	ชั้นกลาง	ชั้นบน
09.00-15.00 น.	0.84±0.16	0.88±0.07	1.02±0.06
15.00-21.00 น.	0.75±0.13	0.84±0.13	0.93±0.06
21.00-03.00 น.	0.98±0.13	0.92±0.03	1.09±0.13
03.00-09.00 น.	0.86±0.03	0.93±0.03	0.97±0.07



ภาพที่ 4.11 สัดส่วนของ PM_{10}/TSP ในรอบวันเฉลี่ย ระหว่างวันที่ 18-21 กุมภาพันธ์ พ.ศ. 2551 บริเวณพื้นที่ศึกษา เขตราชเทวี กรุงเทพมหานคร

เมื่อพิจารณาจากค่าสัดส่วนของ PM_{10}/TSP ในรอบวันเฉลี่ย ตามระดับความสูง พบว่า สัดส่วนของ PM_{10}/TSP ในบริเวณพื้นที่ศึกษา เขตราชเทวี กรุงเทพมหานคร มีลักษณะแปรผันกับความสูง อย่างมีนัยสำคัญที่ระดับความเชื่อมั่น 99% คือ เมื่อระดับความสูงเพิ่มสูงขึ้น พบว่าสัดส่วนของ PM_{10}/TSP สูงขึ้นด้วย และช่วงเวลาที่มีค่าสัดส่วนสูงที่สุดคือช่วงเวลา 21.00-03.00 น. เมื่อจากนิภัยหมายห้ามรถบรรทุกตั้งแต่ 10 ถ้อยขึ้นไป รถบรรทุกที่มีเพลาตั้งแต่ 3 เพลาขึ้นไป และรถพ่วงเดินรถในถนนหรือทางทุกสายในเขตพื้นที่ภายในของถนนวงรอบพื้นที่ชั้นในกรุงเทพมหานคร 113 ตารางกิโลเมตร ตั้งแต่เวลา 06.00 น. - 21.00 น. เว้นวันหยุดราชการ (กองบังคับการตำรวจนครบาล 2546) ทำให้รถเครื่องยนต์ดีเซลมีปริมาณมาก จึงส่งผลให้ PM_{10} ซึ่งมาจากการเผาไหม้เครื่องยนต์ดีเซล (วนิดา จันคำสตร์, 2551) นิ่งความเข้มข้นสูง เป็นเหตุให้ สัดส่วนของ PM_{10}/TSP ในช่วงเวลาดังกล่าวมีค่าสูง

4.1.2.3 พื้นที่ศึกษาอ่าเภอเมือง จังหวัดเชียงใหม่

ผลการคำนวณสัดส่วนของ PM_{10}/TSP ระหว่างวันที่ 25-28 กุมภาพันธ์ พ.ศ. 2551 ในแต่ละชั้นความสูงของพื้นที่ศึกษา อ่าเภอเมือง จังหวัดเชียงใหม่ พบว่า ชั้นบน มีค่าเฉลี่ยสูงสุด 1.05 ± 0.14 และ ชั้นล่าง มีค่าเฉลี่ยต่ำสุด 0.91 ± 0.12 สัดส่วนของ PM_{10}/TSP ในรอบวันเฉลี่ย พบว่า ชั้นบน มีค่าสูงสุด คือ 1.16 ± 0.18 ในช่วงเวลา 21.00-03.00 น. และ ชั้นล่าง มีค่าต่ำสุด คือ 0.82 ± 0.15 ในช่วงเวลา 15.00-21.00 น. รายละเอียดมีดังต่อไปนี้

1) ชั้นล่าง

ผลการคำนวณสัดส่วนของ PM_{10}/TSP ระหว่างวันที่ 25-28 กุมภาพันธ์ พ.ศ. 2551 บริเวณคาดฟ้าอาคารจอดรถ โรงพยาบาลเชียงใหม่ ดวงตะวัน พบว่า สัดส่วนของ PM_{10}/TSP มีค่า 0.71-1.04 มีค่าเฉลี่ย 0.91 ± 0.12 ดังตารางที่ 4.14 สัดส่วนของ PM_{10}/TSP มีค่าสูงสุด 0.99 ± 0.04 ในช่วงเวลา 21.00-03.00 น. และมีค่าต่ำสุด 0.82 ± 0.15 ในช่วงเวลา 15.00-21.00 น. (ตารางที่ 4.15, ภาพที่ 4.12)

2) ชั้นกลาง

ผลการคำนวณสัดส่วนของ PM_{10}/TSP ระหว่างวันที่ 25-28 กุมภาพันธ์ พ.ศ. 2551 บริเวณคาดฟ้า โรงพยาบาลเชียงใหม่พิเรย์ลดแม่ปีง พบว่า สัดส่วนของ PM_{10}/TSP มีค่า 0.76-1.12 มีค่าเฉลี่ย 0.99 ± 0.10 ดังตารางที่ 4.14 สัดส่วนของ PM_{10}/TSP มีค่าสูงสุด 1.03 ± 0.04 ในช่วงเวลา 21.00-03.00 น. และมีค่าต่ำสุด 0.94 ± 0.25 ในช่วงเวลา 15.00-21.00 น. (ตารางที่ 4.15, ภาพที่ 4.12)

3) ชั้นบน

ผลการคำนวณสัดส่วนของ PM_{10}/TSP ระหว่างวันที่ 25-28 กุมภาพันธ์ พ.ศ. 2551 บริเวณคาดฟ้า โรงพยาบาลเชียงใหม่ ดวงตะวัน พบว่า สัดส่วนของ PM_{10}/TSP มีค่า 0.62-1.37 มีค่าเฉลี่ย 1.05 ± 0.14 ดังตารางที่ 4.14 สัดส่วนของ PM_{10}/TSP มีค่าสูงสุด 1.16 ± 0.18 ในช่วงเวลา 21.00-03.00 น. และมีค่าต่ำสุด 0.96 ± 0.12 ในช่วงเวลา 09.00-15.00 น. (ตารางที่ 4.15, ภาพที่ 4.12)

สัดส่วนของ PM_{10}/TSP ระหว่างวันที่ 25-28 กุมภาพันธ์ พ.ศ. 2551 ในแต่ละชั้นความสูง ของพื้นที่ศึกษา อ่าเภอเมือง จังหวัดเชียงใหม่ พบว่า สัดส่วนของ PM_{10}/TSP มีความสัมพันธ์กับ ระดับความสูง แบบแปรผันตามกัน อย่างมีนัยสำคัญที่ระดับความเชื่อมั่น 99% แสดงให้เห็นว่า เมื่อ ระดับความสูงเพิ่มขึ้น จะพบสัดส่วนของ PM_{10}/TSP สูงขึ้นด้วย และบังหน่าว่า สัดส่วนของ PM_{10}/TSP ในรอบวันเฉลี่ย มีค่าสูงสุด ในช่วงเวลา 21.00-03.00 น. ทั้ง 3 ระดับชั้น เนื่องจากฝุ่น ละอองในจังหวัดเชียงใหม่เกิดจากการเผาไหม้ในที่โล่ง เช่น การเผาขยะ การเผาเศษไม้-กิ่งไม้

และการเพาป่า ในปี พ.ศ. 2547 ได้มีการรณรงค์ให้เปลี่ยนพฤติกรรม เช่น เปลี่ยนเวลาการเผาจากกลางวัน เป็นเวลาเย็นและกลางคืน ข้ายที่เผาให้ไปอยู่ในที่ลับตามากขึ้น และ เปลี่ยนจากการเผาของไหง่าย เป็นการแยกเผาของเล็กๆ เพื่อให้เกิดการเผาใหม้อข่างรวดเร็ว ซึ่งทำให้จำนวนการเผาใหม่รายปีอย่างเพิ่มขึ้น (<http://www.trf.or.th/News> , 2552) ซึ่งจะเป็นผลให้สัดส่วนของ ผุ่นละอองเพิ่มสูงขึ้นในช่วงเวลาดังกล่าว และจากการรายงานคุณภาพอากาศ ของกรมควบคุมมลพิษ ตารางที่ ก-3 ภาคผนวก ก พบว่าความเข้มข้นของ PM_{10} เฉลี่ยที่ตรวจวัดได้ในช่วงเดือนมีนาคม พ.ศ. 2551 มีค่าสูงเกินมาตรฐาน ซึ่งในช่วงเวลาที่ทำการเก็บตัวอย่างเป็นช่วงปลายเดือนกุมภาพันธ์ เริ่มพบว่ามีความเข้มข้นของ PM_{10} เพิ่มขึ้น

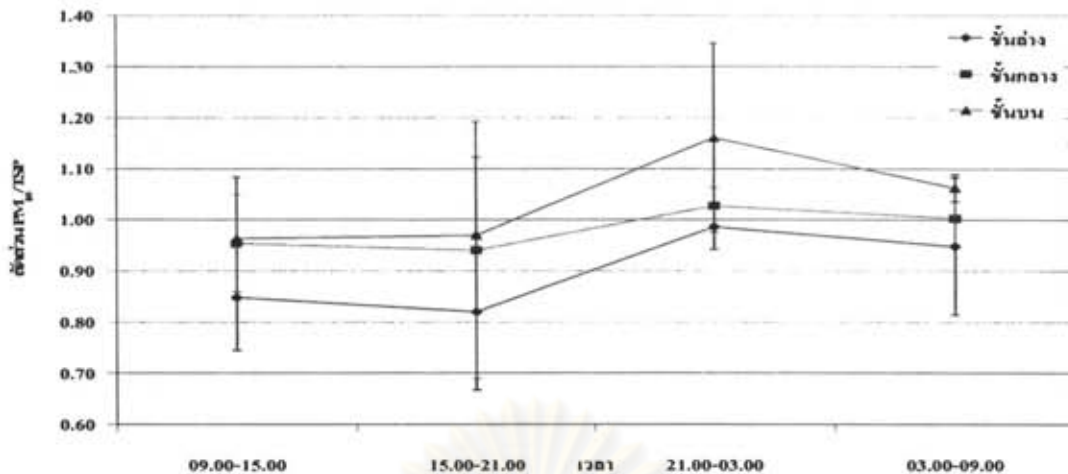
ตารางที่ 4.14 ค่าต่ำสุด-สูงสุด และค่าเฉลี่ยสัดส่วนของ PM_{10}/TSP ระหว่างวันที่ 25-28 กุมภาพันธ์ พ.ศ. 2551 บริเวณพื้นที่ศึกษา อําเภอเมือง จังหวัดเชียงใหม่

พื้นที่ศึกษา	PM_{10}/TSP	
	ค่าต่ำสุด-สูงสุด	ค่าเฉลี่ย $\pm SD$
ชั้นล่าง	0.71-1.04	0.91 ± 0.12^a
ชั้นกลาง	0.76-1.12	0.99 ± 0.10^a
ชั้นบน	0.83-1.37	1.05 ± 0.14^b

หมายเหตุ: ^{a,b} คือสัดส่วนของ PM_{10}/TSP เฉลี่ย ระหว่างชั้นความสูงที่มีค่าແผลกต่างกันอย่างมีนัยสำคัญทางสถิติที่ระดับความเชื่อมั่น 95%

ตารางที่ 4.15 สัดส่วนของ PM_{10}/TSP ในรอบวันเฉลี่ย ระหว่างวันที่ 25-28 กุมภาพันธ์ พ.ศ. 2551 บริเวณพื้นที่ศึกษา อําเภอเมือง จังหวัดเชียงใหม่

สัดส่วนของ PM_{10}/TSP ในรอบวันเฉลี่ย			
เวลา	ชั้นล่าง	ชั้นกลาง	ชั้นบน
09.00-15.00 น.	0.85 ± 0.10	0.95 ± 0.10	0.96 ± 0.12
15.00-21.00 น.	0.82 ± 0.15	0.94 ± 0.25	0.97 ± 0.15
21.00-03.00 น.	0.99 ± 0.04	1.03 ± 0.04	1.16 ± 0.18
03.00-09.00 น.	0.95 ± 0.13	1.00 ± 0.05	1.06 ± 0.03



ภาพที่ 4.12 สัดส่วนของ $\text{PM}_{10}/\text{TSP}$ ในรอบวันเฉลี่บ ระหว่างวันที่ 25-28 กุมภาพันธ์ พ.ศ. 2551
บริเวณพื้นที่ศึกษา อำเภอเมือง จังหวัดเชียงใหม่

จากการพิจารณาสัดส่วนของ $\text{PM}_{10}/\text{TSP}$ ตามระดับความสูง โดยใช้สถิติ พนว่า มีแนวโน้ม
แปรผันตามความสูง ทั้ง 3 พื้นที่ศึกษา พนว่ามีค่าสัดส่วนของ $\text{PM}_{10}/\text{TSP}$ สูงและมีค่าเกิน 1.0 ในบาง
ชั้นความสูง สืบเนื่องมาจากการเก็บตัวอย่าง PM_{10} และ TSP ที่มีระยะเวลาในการเก็บตัวอย่าง
ต่างกัน คือ PM_{10} จะเก็บตัวอย่างทุก 3 ชั่วโมง และนำมายาค่าเฉลี่ยเป็นทุก 6 ชั่วโมง เพื่อเปรียบเทียบ
กับ TSP ในช่วงเวลาเดียวกัน ซึ่งจะทำให้เกิดความผิดพลาดของข้อมูลที่จะนำมาคำนวณสัดส่วนของ
 $\text{PM}_{10}/\text{TSP}$ ได้ค่าที่แสดงในรายงานนี้จึงไม่สามารถนำมาใช้เป็นหลักฐานอ้างอิงได้ แต่สามารถใช้
เป็นแนวทางในการบ่งบอกแนวโน้มสัดส่วนของฝุ่นละอองที่กระจายตัวตามระดับความสูงของ
พื้นที่ที่ทำการศึกษา โดยการจากศึกษานี้ พนว่า สัดส่วนของ $\text{PM}_{10}/\text{TSP}$ ในพื้นที่ศึกษา
กรุงเทพมหานคร และจังหวัดเชียงใหม่ มีความสัมพันธ์กับความสูงอย่างมีนัยสำคัญที่ระดับความ
เชื่อมั่น 99% คือเมื่อระดับความสูงเพิ่มขึ้น สัดส่วนของ $\text{PM}_{10}/\text{TSP}$ จะมีค่าสูงขึ้นด้วย เนื่องมาจากการ
TSP มีแหล่งกำเนิดหลักจากในพื้นที่ และมีระยะเวลาการแพร่ลงบนลักษณะอากาศได้ไม่นานเท่า PM_{10}
ทำให้พน PM_{10} ได้มากกว่า TSP ในระดับความสูงที่เพิ่มขึ้น ส่งผลให้ค่าสัดส่วนของ $\text{PM}_{10}/\text{TSP}$ มีค่า
แปรผันตามความสูง แต่พื้นที่ศึกษาอ้าเกอหาดใหญ่ สัดส่วนของ $\text{PM}_{10}/\text{TSP}$ ในมีความสัมพันธ์กับ
ระดับความสูง เนื่องจากปัจจัยทางภysisก่อการปั่นป่วนทางภysisของพื้นที่ศึกษา ทำให้พบ
สัดส่วนของ $\text{PM}_{10}/\text{TSP}$ ที่ขั้นกลางคือระดับความสูง 60 เมตร มีค่าสูงกว่าระดับความสูงอื่นๆ ซึ่ง
การศึกษาร้อยละของสัดส่วน $\text{PM}_{2.5}/\text{PM}_{10}$ ตามระดับความสูง ในเมืองปักกิ่ง (Chan และคณะ, 2005)
พนว่า สัดส่วนของฝุ่นละอองไม่เป็นไปตามรูปแบบเพิ่มขึ้นตามระดับความสูง ส่วนช่วงเวลาที่พบ
สัดส่วนของ $\text{PM}_{10}/\text{TSP}$ ในกรุงเทพมหานคร มีค่าสูงที่สุดคือ 21.00-03.00 น. ซึ่ง PM_{10} มาจากการ
ปลดปล่อยจากหอไอเสียของเครื่องยนต์ดีเซลเป็นหลัก (วนิดา จันศาตร์, 2551) ซึ่งมีการใช้
เครื่องยนต์ดีเซลมากในช่วงเวลากลางคืน ส่งผลให้พบสัดส่วนของ $\text{PM}_{10}/\text{TSP}$ สูง ส่วนเชียงใหม่มา

จากการเพาในที่โล่งเป็นหลัก ซึ่ง PM_{10} มาจากการเพาใหม้ชีวนวลด (วนิชา จินศานตร์, 2551) ในช่วงเวลากลางคืน ทำให้พบสัดส่วนของ PM_{10}/TSP สูงในช่วงเวลาดังกล่าว เช่นกัน

4.2 องค์ประกอบทางเคมีในฝุ่นละอองขนาดไม่เกิน 10 ไมโครเมตร บริเวณพื้นที่ศึกษา เขตราชเทวี กรุงเทพมหานคร

ผลการวิเคราะห์องค์ประกอบทางเคมีใน PM_{10} ระหว่างวันที่ 18-21 กุมภาพันธ์ พ.ศ. 2551 บริเวณพื้นที่ศึกษา เขตราชเทวี กรุงเทพมหานคร ได้แก่ สารคาร์บอน 2 ชนิด คืออินทรีย์คาร์บอน (OC) ธาตุคาร์บอน (EC) สารไอออนิก 7 ชนิด คือโซเดียม (Na^+) และไนโตรเจน (NH_4^+) โปแทสเซียม (K^+) และแคลเซียม (Ca^{2+}) คลอไรด์ (Cl^-) ในเตรท (NO_3^-) ซัลเฟต (SO_4^{2-}) และสารประกอบอื่นๆ (Other species) โดยรายงานสัดส่วนองค์ประกอบทางเคมีโดยน้ำหนัก รายละเอียดมีดังต่อไปนี้

สัดส่วนองค์ประกอบทางเคมีของโดยน้ำหนัก หมายถึง น้ำหนักขององค์ประกอบชนิดต่างๆ ต่อน้ำหนักฝุ่นละอองขนาดไม่เกิน 10 ไมโครเมตร

1) ขั้นล่าง

ผลการวิเคราะห์องค์ประกอบทางเคมีใน PM_{10} ระหว่างวันที่ 18-21 กุมภาพันธ์ พ.ศ. 2551 บริเวณคาดพื้นที่อาคารจอดรถชั้น 10 โรงเรนในเขตสุข (ในเขต 1) พบว่า สัดส่วนขององค์ประกอบทางเคมีโดยน้ำหนัก มีค่าของสารประกอบอื่นๆ สูงสุด คือร้อยละ 36.9-67.1 มีค่าเฉลี่ยร้อยละ 53.4 ± 6.2 และโซเดียม มีค่าต่ำสุดคือ ร้อยละ 0.0-1.1 มีค่าเฉลี่ยร้อยละ 0.4 ± 0.3 ส่วนองค์ประกอบต่างๆ มีรายละเอียด ดังตารางที่ 4.16, ภาพที่ 4.13

2) ขั้นกลาง

ผลการวิเคราะห์องค์ประกอบทางเคมีใน PM_{10} ระหว่างวันที่ 18-21 กุมภาพันธ์ พ.ศ. 2551 บริเวณคาดพื้นที่ โรงเรนในเขตสุข (ในเขต 1) พบว่า สัดส่วนขององค์ประกอบทางเคมีโดยน้ำหนัก มีค่าของสารประกอบอื่นๆ สูงสุด คือร้อยละ 26.9-61.3 มีค่าเฉลี่ยร้อยละ 47.1 ± 8.8 และโซเดียม มีค่าต่ำสุดคือ ร้อยละ 0.2-0.6 มีค่าเฉลี่ยร้อยละ 0.4 ± 0.1 ส่วนองค์ประกอบต่างๆ มีรายละเอียด ดังตารางที่ 4.16, ภาพที่ 4.13

3) ขั้นบน

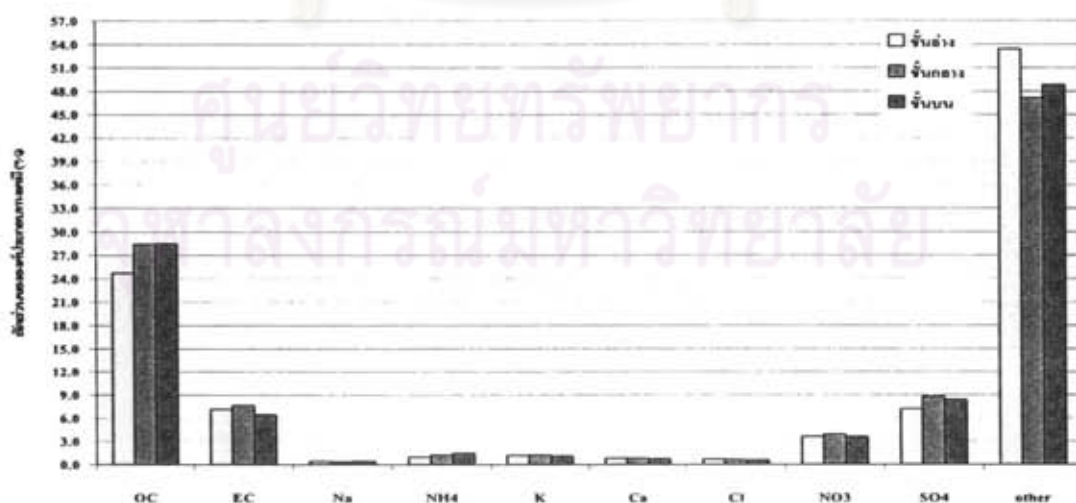
ผลการวิเคราะห์องค์ประกอบทางเคมีใน PM_{10} ระหว่างวันที่ 18-21 กุมภาพันธ์ พ.ศ. 2551 บริเวณคาดพื้นที่ โรงเรนในเขตสุข (ในเขต 2) พบว่า สัดส่วนขององค์ประกอบทางเคมีโดยน้ำหนัก มีค่าของสารประกอบอื่นๆ สูงสุด คือร้อยละ 37.9-59.9 มีค่าเฉลี่ยร้อยละ 48.8 ± 5.9 และ

โซเดียม มีค่าค่าสูตรคือ ร้อยละ 0.1-1.2 มีค่าเฉลี่ยร้อยละ 0.4 ± 0.1 ส่วนของค่าประกอบต่างๆ มีรายละเอียด ดังตารางที่ 4.16, ภาพที่ 4.13

ตารางที่ 4.16 ค่าค่าสูตร-สูงสุด และค่าเฉลี่ยของสัดส่วนขององค์ประกอบทางเคมีโดยน้ำหนัก (%) ระหว่างวันที่ 18-21 กุมภาพันธ์ พ.ศ. 2551 บริเวณพื้นที่ศึกษา เขตราชเทวี กรุงเทพมหานคร

องค์ประกอบ	ชั้นอ่าง		ชั้นกลาง		ชั้นบน	
	ค่าค่าสูตร-สูงสุด	ค่าเฉลี่ย \pm SD	ค่าค่าสูตร-สูงสุด	ค่าเฉลี่ย \pm SD	ค่าค่าสูตร-สูงสุด	ค่าเฉลี่ย \pm SD
OC	16.3-34.6	24.7 ± 4.3^a	19.3-41.0	28.4 ± 5.2^b	20.4-36.7	28.5 ± 4.5^b
EC	5.1-9.8	7.1 ± 1.3^a	4.6-11.1	7.6 ± 1.9^b	5.2-9.5	6.5 ± 1.0^c
Na	0.0-1.1	0.4 ± 0.3^a	0.2-0.6	0.4 ± 0.1^a	0.1-1.2	0.4 ± 0.2^a
NH ₄	0.1-1.8	1.0 ± 0.4^a	0.7-2.0	1.2 ± 0.4^a	0.7-2.8	1.5 ± 0.7^b
K	0.7-1.9	1.3 ± 0.8^a	0.7-2.4	1.3 ± 0.4^a	0.6-1.8	1.1 ± 0.3^a
Ca	0.1-1.4	0.8 ± 0.4^a	0.4-1.4	1.0 ± 1.3^a	0.3-1.2	0.7 ± 0.2^a
Cl	0.5-1.1	0.7 ± 0.2^a	0.4-1.6	0.6 ± 0.3^a	0.4-1.4	0.6 ± 0.2^a
NO ₃	1.7-7.9	3.6 ± 1.5^a	2.1-9.8	3.9 ± 1.8^a	1.7-10.3	3.6 ± 1.8^a
SO ₄	4.6-12.3	7.2 ± 2.0^a	5.1-12.8	8.8 ± 2.5^b	5.5-12.0	8.4 ± 2.0^b
Other species	36.9-67.1	53.4 ± 6.2^a	26.9-61.3	47.1 ± 8.8^b	37.9-59.9	48.8 ± 5.9^b

หมายเหตุ: ^{a,b,c} คือสัดส่วนขององค์ประกอบทางเคมีโดยน้ำหนัก (%) ระหว่างชั้นความสูงที่มีค่าแตกต่างกันอย่างมีนัยสำคัญทางสถิติ ที่ระดับความเชื่อมั่น 95%



ภาพที่ 4.13 ค่าเฉลี่ยของสัดส่วนขององค์ประกอบทางเคมีโดยน้ำหนัก (%) ระหว่างวันที่ 18-21 กุมภาพันธ์ พ.ศ. 2551 บริเวณพื้นที่ศึกษา เขตราชเทวี กรุงเทพมหานคร

ผลการคำนวณสัดส่วนขององค์ประกอบทางเคมีโดยน้ำหนัก ที่ทำการตรวจวัด ระหว่าง วันที่ 18-21 กุมภาพันธ์ พ.ศ. 2551 บริเวณพื้นที่ศึกษา เขตราชเทวี กรุงเทพมหานคร พบว่า ทั้ง 3 ระดับความสูง มีค่าร้อยละของ other species สูงสุด รองลงมาคือ $OC SO_4^{2-}$, EC และ NO_3^- ตามลำดับ ซึ่ง other species นี้ อาจจะประกอบไปด้วยสิ่งที่เป็นองค์ประกอบของเปลือกนก เช่น เหล็ก แมกนีเซียม ชิลิกอน แมงกานีส ไออกเรนไอออน ที่ได้รับจาก กรดซัลฟูริก (H_2SO_4) และพันธะ ของน้ำ (Kansuke และ Kanzuhiko, 2005) เมื่อพิจารณาสัดส่วนขององค์ประกอบทางเคมี แต่ละชนิด ยกเว้น other species พบว่า สัดส่วนของ $OC SO_4^{2-}$, EC และ ใน PM_{10} มีค่าสูงกว่าร้อยละ 5 ในทุก ระดับความสูง ซึ่งส่วนใหญ่มากจากการปลดปล่อยจากยานพาหนะ (Watson และคณะ, 1994) ส่วน Na^+ , K^+ , Ca^{2+} , Cl^- และ NO_3^- ใน PM_{10} ตามระดับความสูง พบว่า ค่าความเข้มข้นที่ตรวจวัด ได้มีค่าต่ำ กว่าร้อยละ 5 แสดงให้เห็นว่าแหล่งกำเนิดขององค์ประกอบทางเคมีใน PM_{10} ในพื้นที่ศึกษานี้มาจากการปลดปล่อยจากยานพาหนะ (Chuersuwan และคณะ, 2008)

จากการวิเคราะห์ความแตกต่างของค่าเฉลี่ยของสัดส่วนขององค์ประกอบทางเคมีโดย น้ำหนัก เปรียบเทียบตามระดับความสูง โดยใช้สถิติ ใจเห็นได้ว่า ร้อยละของ $OC SO_4^{2-}$, และ Other species ที่มีอยู่ในชั้นล่างจะมีค่าแตกต่างจากชั้นกลางและชั้นบน อย่างมีนัยสำคัญที่ระดับความ เชื่อมั่น 95% คือ OC และ SO_4^{2-} , จะพบต่ำสุดในชั้นล่าง แต่ Other species จะพบในชั้นล่างสูงที่สุด สาเหตุที่ OC และ SO_4^{2-} มีค่ามากในชั้นกลางและชั้นบน เนื่องมาจาก SOC เป็นส่วนหนึ่งใน OC อย่างมีนัยสำคัญ (Yuan และคณะ, 2005) ซึ่ง SOC เกิดจากปฏิกิริยาเชิงช้อนระหว่าง ตัวที่เด่นที่สุดที่ ปลดปล่อยมาจากการดับพื้นดิน และแหล่งกำเนิดที่เคลื่อนที่ ซึ่งเป็นเหตุให้ร้อยละของ SOC มีแนวโน้ม สูงขึ้นตามระดับความสูงไปด้วย (Chan และคณะ, 2005) ส่งผลให้มีค่า OC และ SO_4^{2-} , สูงขึ้นตาม ระดับความสูง ซึ่ง SOC เป็นตัวประมวลค่า OC จากแหล่งกำเนิดชั้นที่ 2 เช่น ชั้นเพดานชั้นที่ 2 ในเด รทชั้นที่ 2 และละอองอินทรีย์ชั้นที่ 2 (Yuan และคณะ, 2005) ส่วน Na^+ , K^+ , Ca^{2+} , Cl^- และ NO_3^- ใน PM_{10} ทั้ง 3 ระดับความสูงมีค่าไม่แตกต่างกันทางสถิติ

4.3 องค์ประกอบคาร์บอนและสัดส่วนของอินทรีย์คาร์บอนกับชาติคาร์บอน ในฝุ่นละอองขนาดไม่ เกิน 10 ไมโครเมตร ตามระดับความสูง พื้นที่ศึกษา เขตราชเทวี กรุงเทพมหานคร

ผลการวิเคราะห์ความเข้มข้นขององค์ประกอบคาร์บอน ใน PM_{10} ได้แก่ คาร์บอนรวม (TC) อินทรีย์คาร์บอน (OC) ชาติคาร์บอน (EC) และแยกเป็นส่วนต่างๆ คือ OC1, OC2, OC3, OC4, EC1, EC2 และ EC3 จากนั้นนำมาคำนวณหาสัดส่วนของอินทรีย์คาร์บอนกับชาติคาร์บอน (OC/EC) ตาม ระดับความสูง คือ ชั้นล่าง ชั้นกลาง และชั้นบน ในพื้นที่ศึกษา เขตราชเทวี กรุงเทพมหานคร และหา ค่าในรอบวันเฉลี่ย มีรายละเอียดดังนี้

4.3.1 องค์ประกอบของคาร์บอนในฝุ่นละอองขนาดไม่เกิน 10 ไมโครเมตร และความเข้มข้นในรอบวันเฉลี่ย ตามระดับความสูง

ผลการวิเคราะห์ความเข้มข้นขององค์ประกอบคาร์บอนใน PM_{10} ระหว่างวันที่ 18-21 กุมภาพันธ์ พ.ศ. 2551 ตามระดับความสูง พบว่า TC และ OC ในชั้นกลาง มีค่าเฉลี่ยสูงสุด คือ 40.6 ± 10.0 และ 32.0 ± 7.9 ในโครงการนัดต่ออุกนาศก์เมตร ตามลำดับ และชั้นล่าง มีค่าเฉลี่ยต่ำสุด คือ 37.8 ± 9.1 และ $17.0-41.2$ ในโครงการนัดต่ออุกนาศก์เมตร ตามลำดับ ส่วน EC พบว่า ชั้นล่าง และชั้นกลาง มีค่าเฉลี่ยสูงสุด คือ 8.6 ± 2.5 และ 8.6 ± 2.6 ในโครงการนัดต่ออุกนาศก์เมตร ตามลำดับ และชั้นบน มีค่าเฉลี่ยต่ำสุด คือ 7.3 ± 1.6 ในโครงการนัดต่ออุกนาศก์เมตร รายละเอียดของส่วนต่างๆ ในองค์ประกอบคาร์บอน ในแต่ละระดับชั้นความสูง มีรายละเอียดดังต่อไปนี้

1) ชั้นล่าง

ผลการตรวจความเข้มข้นขององค์ประกอบคาร์บอนใน PM_{10} ระหว่างวันที่ 18-21 กุมภาพันธ์ พ.ศ. 2551 บริเวณภาคพื้ออาคารจอดรถชั้น 10 โรงแรมใบหยกสุข (ใบหยก 1) เมื่อพิจารณาส่วนต่างๆ ขององค์ประกอบคาร์บอน คือ OC1 OC2 OC3 OC4 EC1 EC2 และ EC3 พบว่า ค่าความเข้มข้นของ OC3 มีค่าสูงสุด คือ $7.1-17.2$ ในโครงการนัดต่ออุกนาศก์เมตร และมีค่าเฉลี่ย 11.7 ± 2.8 ในโครงการนัดต่ออุกนาศก์เมตร ความเข้มข้นของ EC3 มีค่าต่ำสุดคือ $0.0-0.6$ ในโครงการนัดต่ออุกนาศก์เมตร และมีค่าเฉลี่ย 0.3 ± 0.2 ในโครงการนัดต่ออุกนาศก์เมตร ดังตารางที่ 4.17

เมื่อพิจารณาความเข้มข้นขององค์ประกอบคาร์บอนในรอบวันเฉลี่ย พบว่า OC2 OC3 EC1 มีค่าสูงสุด 9.3 ± 2.5 14.9 ± 2.1 และ 12.4 ± 2.1 ในโครงการนัดต่ออุกนาศก์เมตร ตามลำดับ ในช่วงเวลา 21.00-00.00 น. OC1 OC4 มีค่าสูงสุด 3.7 ± 0.4 และ 8.5 ± 0.5 ในโครงการนัดต่ออุกนาศก์เมตร ตามลำดับ ในช่วงเวลา 18.00-21.00 น. EC2 มีค่าสูงสุด 1.5 ± 0.4 ในโครงการนัดต่ออุกนาศก์เมตร ในช่วงเวลา 06.00-09.00 น. และ EC3 มีค่าสูงสุด 0.5 ± 0.1 ในโครงการนัดต่ออุกนาศก์เมตร ในช่วงเวลา 15.00-18.00 น. และพบว่า OC2 OC3 OC4 และ EC3 มีค่าต่ำสุด 5.3 ± 1.6 8.7 ± 1.9 4.8 ± 0.9 และ 0.1 ± 0.1 ในโครงการนัดต่ออุกนาศก์เมตร ตามลำดับ ในช่วงเวลา 06.00-09.00 น. OC1 มีค่าต่ำสุด 1.0 ± 0.2 ในโครงการนัดต่ออุกนาศก์เมตร ในช่วงเวลา 09.00-12.00 น. EC1 และ EC2 มีค่าต่ำสุด 6.6 ± 0.9 และ 0.9 ± 0.1 ในโครงการนัดต่ออุกนาศก์เมตร ตามลำดับ ในช่วงเวลา 12.00-15.00 น. (ตารางที่ 4.18, ภาพที่ 4.14)

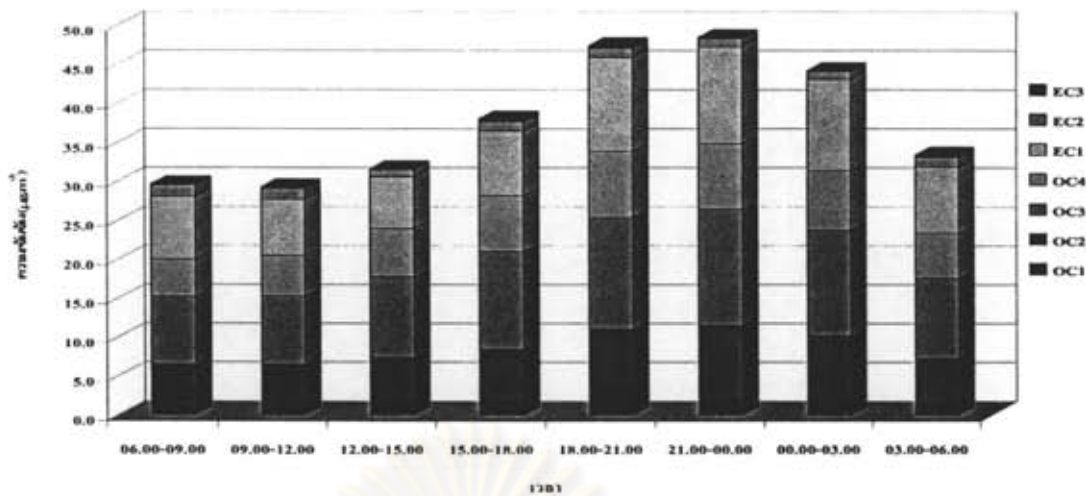
ตารางที่ 4.17 ค่าต่ำสุด-สูงสุด และค่าเฉลี่ยขององค์ประกอบคาร์บอนใน PM_{10} (ในโครงการนัดต่ออุกนาศก์เมตร) ระหว่างวันที่ 18-21 กุมภาพันธ์ พ.ศ. 2551 บริเวณพื้นที่ศึกษา เขตราชเทวี กรุงเทพมหานคร

องค์ประกอบ การบ่อน	องค์ประกอบการบ่อนใน PM_{10} (ไมโครกรัมต่ำลูกบาศก์เมตร)					
	ชั้นล่าง		ชั้นกลาง		ชั้นบน	
	ค่าต่ำสุด-สูงสุด	ค่าเฉลี่ย $\pm SD$	ค่าต่ำสุด-สูงสุด	ค่าเฉลี่ย $\pm SD$	ค่าต่ำสุด-สูงสุด	ค่าเฉลี่ย $\pm SD$
TC	23.6-55.1	37.8 \pm 9.1 ^a	28.6-63.8	40.6 \pm 10.0 ^a	25.4-51.1	39.1 \pm 7.4 ^a
OC	17.0-41.2	29.2 \pm 7.0 ^a	22.7-50.3	32.0 \pm 7.9 ^a	20.3-43.1	31.8 \pm 6.2 ^a
EC	4.8-13.9	8.6 \pm 2.5 ^a	5.0-14.7	8.6 \pm 2.6 ^a	5.1-11.3	7.3 \pm 1.6 ^b
OC1	0.8-4.3	2.0 \pm 1.2 ^a	0.9-3.9	1.8 \pm 1.0 ^a	0.7-3.6	1.5 \pm 0.9 ^a
OC2	4.2-12.2	6.7 \pm 1.7 ^a	5.7-11.8	7.4 \pm 1.7 ^a	4.7-9.3	7.0 \pm 1.2 ^a
OC3	7.1-17.2	11.7 \pm 2.8 ^a	8.9-20.2	12.9 \pm 3.1 ^a	8.0-18.5	13.4 \pm 2.8 ^a
OC4	4.2-10.5	6.7 \pm 1.7 ^a	5.2-11.6	7.0 \pm 1.9 ^a	2.9-8.7	6.6 \pm 1.6 ^a
EC1	5.2-15.4	9.3 \pm 2.7 ^a	6.1-16.4	9.7 \pm 3.0 ^a	5.3-12.9	8.8 \pm 2.0 ^a
EC2	0.5-1.8	1.1 \pm 0.3 ^a	0.6-1.9	1.2 \pm 0.4 ^a	0.6-1.9	1.2 \pm 0.3 ^a
EC3	0.0-0.6	0.3 \pm 0.2 ^a	0.0-1.2	0.6 \pm 0.4 ^b	0.3-1.1	0.5 \pm 0.2 ^c

หมายเหตุ: ^{a,b,c} คือความเข้มข้นขององค์ประกอบการบ่อนใน PM_{10} ระหว่างชั้นความสูงที่มีค่าเฉลี่ยต่างกันอย่างมีนัยสำคัญทางสถิติที่ระดับความเชื่อมั่น 95%

ตารางที่ 4.18 ความเข้มข้นขององค์ประกอบการบ่อนใน PM_{10} ในรอบวันเฉลี่ย (ไมโครกรัมต่ำลูกบาศก์เมตร) ระหว่างวันที่ 18-21 กุมภาพันธ์ พ.ศ. 2551 บริเวณพื้นที่ศึกษา เขตราชเทวี กรุงเทพมหานคร (ชั้นล่าง)

ความเข้มข้นขององค์ประกอบการบ่อนใน PM_{10} ในรอบวันเฉลี่ย ($\mu\text{g}/\text{m}^3$) บริเวณพื้นที่ศึกษา เขตราชเทวี กรุงเทพมหานคร (ชั้นล่าง)											
เวลา	TC	OC	EC	OC1	OC2	OC3	OC4	EC1	EC2	EC3	ค่าเฉลี่ย
06.00-09.00 น.	29.7 \pm 6.3	21.8 \pm 4.7	7.9 \pm 1.6	1.3 \pm 0.3	5.3 \pm 1.6	8.7 \pm 1.9	4.8 \pm 0.9	8.0 \pm 1.6	1.5 \pm 0.4	0.1 \pm 0.1	37.8 \pm 2.1
09.00-12.00 น.	29.3 \pm 5.2	22.2 \pm 3.8	7.1 \pm 1.6	1.0 \pm 0.2	5.5 \pm 0.9	8.8 \pm 1.5	5.2 \pm 0.9	7.2 \pm 1.9	1.4 \pm 0.1	0.2 \pm 0.1	29.2 \pm 1.7
12.00-15.00 น.	31.6 \pm 3.0	25.9 \pm 2.3	5.7 \pm 0.8	1.6 \pm 1.1	5.8 \pm 1.1	10.4 \pm 1.2	6.2 \pm 0.5	6.6 \pm 0.9	0.9 \pm 0.1	0.1 \pm 0.1	8.6 \pm 0.6
15.00-18.00 น.	38.1 \pm 3.7	30.9 \pm 3.1	7.2 \pm 0.6	2.0 \pm 1.2	6.5 \pm 0.5	12.6 \pm 1.1	7.1 \pm 1.1	8.2 \pm 0.8	1.1 \pm 0.1	0.5 \pm 0.1	26.1 \pm 7.0
18.00-21.00 น.	47.4 \pm 3.6	37.0 \pm 2.4	10.5 \pm 1.4	3.7 \pm 0.4	7.4 \pm 0.7	14.3 \pm 1.7	8.5 \pm 0.5	12.0 \pm 0.9	1.1 \pm 0.1	0.4 \pm 0.1	20.5 \pm 2.5
21.00-00.00 น.	48.5 \pm 7.7	36.3 \pm 6.3	12.2 \pm 1.6	2.3 \pm 1.7	9.3 \pm 2.5	14.9 \pm 2.1	8.4 \pm 2.1	12.4 \pm 2.1	1.0 \pm 0.4	0.2 \pm 0.2	29.2 \pm 1.7
00.00-03.00 น.	44.2 \pm 7.4	33.8 \pm 5.2	10.5 \pm 2.5	2.3 \pm 1.5	8.0 \pm 0.4	13.5 \pm 1.4	7.6 \pm 1.2	11.7 \pm 3.3	0.9 \pm 0.3	0.2 \pm 0.3	26.1 \pm 7.0
03.00-06.00 น.	33.4 \pm 8.4	26.1 \pm 7.0	7.3 \pm 1.5	1.8 \pm 1.1	5.6 \pm 0.7	10.3 \pm 2.9	5.8 \pm 1.8	8.4 \pm 2.3	1.2 \pm 0.3	0.4 \pm 0.2	8.6 \pm 0.6
ค่าเฉลี่ย	37.8 \pm 2.1	29.2 \pm 1.7	8.6 \pm 0.6	2.0 \pm 0.6	6.7 \pm 0.7	11.7 \pm 0.6	6.7 \pm 0.6	9.3 \pm 0.8	1.1 \pm 0.1	0.3 \pm 0.1	20.5 \pm 2.5



ภาพที่ 4.14 ความเข้มข้นขององค์ประกอบคาร์บอนใน PM_{10} ในรอบวันเฉลี่ย (ไมโครกรัมต่อลูกบาศก์เมตร) ระหว่างวันที่ 18-21 กุมภาพันธ์ พ.ศ. 2551 บริเวณพื้นที่ศึกษา เขตราชเทวี กรุงเทพมหานคร (ขั้นล่าง)

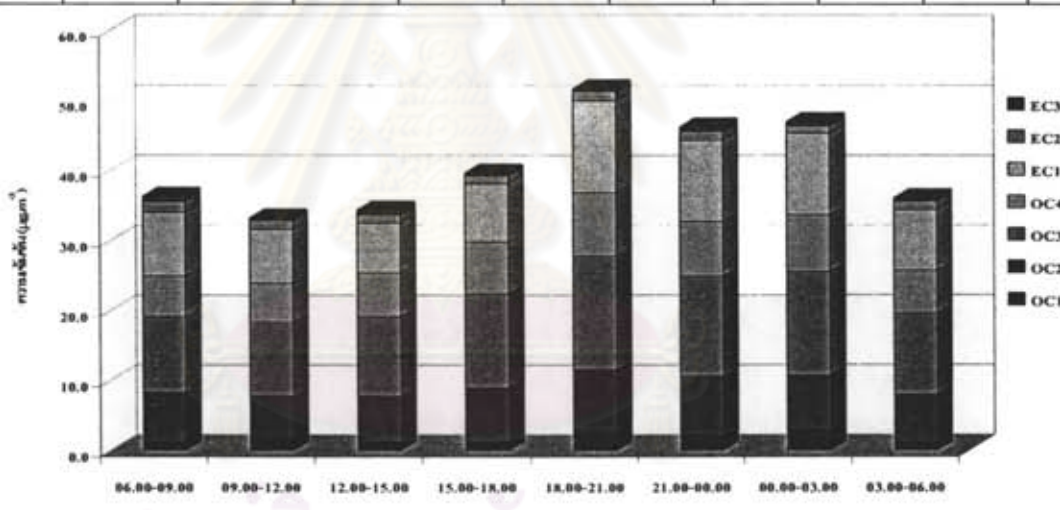
2) ขั้นกลาง

ผลการวิเคราะห์ความเข้มข้นขององค์ประกอบคาร์บอนใน PM_{10} ระหว่างวันที่ 18-21 กุมภาพันธ์ พ.ศ. 2551 บริเวณคาดฟ้า โรงแรมใบหยกสูท (ใบหยก 1) เมื่อพิจารณาแต่ละส่วนต่างๆ ขององค์ประกอบคาร์บอน คือ OC1 OC2 OC3 OC4 EC1 EC2 และ EC3 พบว่า ความเข้มข้นของ OC3 มีค่าสูงสุด คือ 8.9 ± 20.2 ไมโครกรัมต่อลูกบาศก์เมตร และมีค่าเฉลี่ย 12.9 ± 3.1 ไมโครกรัมต่อลูกบาศก์เมตร ความเข้มข้นของ EC3 มีค่าต่ำสุดคือ 0.0 ± 1.2 ไมโครกรัมต่อลูกบาศก์เมตร และมีค่าเฉลี่ย 0.6 ± 0.4 ไมโครกรัมต่อลูกบาศก์เมตร ดังตารางที่ 4.17

เมื่อพิจารณาความเข้มข้นขององค์ประกอบคาร์บอนใน PM_{10} ในรอบวันเฉลี่ย พบว่า OC2 OC3 OC4 EC1 มีค่าสูงสุด 8.9 ± 2.8 16.2 ± 2.3 9.1 ± 2.7 และ 13.1 ± 2.4 ไมโครกรัมต่อลูกบาศก์เมตร ตามลำดับ ในช่วงเวลา 18.00-21.00 OC1 มีค่าสูงสุด 2.9 ± 1.1 ไมโครกรัมต่อลูกบาศก์เมตร ในช่วงเวลา 00.00-03.00 น. EC2 มีค่าสูงสุด 1.5 ± 0.2 ไมโครกรัมต่อลูกบาศก์เมตร ในช่วงเวลา 06.00-09.00 น. และ EC3 มีค่าสูงสุด 0.8 ± 0.3 ไมโครกรัมต่อลูกบาศก์เมตร ในช่วงเวลา 12.00-15.00 น. ส่วน OC2 OC3 OC4 EC3 มีค่าต่ำสุด 5.9 ± 0.1 10.5 ± 1.3 5.6 ± 0.5 0.4 ± 0.6 ไมโครกรัมต่อลูกบาศก์เมตร ตามลำดับ ในช่วงเวลา 09.00-12.00 น. OC1 มีค่าต่ำสุด 1.2 ± 0.2 ไมโครกรัมต่อลูกบาศก์เมตร ในช่วงเวลา 06.00-09.00 น. และ EC2 มีค่าต่ำสุด 1.0 ± 0.3 ไมโครกรัมต่อลูกบาศก์เมตร ในช่วงเวลา 00.00-03.00 น. (ตารางที่ 4.19, ภาพที่ 4.15)

ตารางที่ 4.19 ความเข้มข้นขององค์ประกอบคาร์บอนใน PM_{10} ในรอบวันเฉลี่ย (ไมโครกรัมต่อ ลูกบาศก์เมตร) ระหว่างวันที่ 18-21 กุมภาพันธ์ พ.ศ. 2551 บริเวณพื้นที่ศึกษา เขตราชเทวี กรุงเทพมหานคร (ชั้นกลาง)

เวลา	ความเข้มข้นขององค์ประกอบคาร์บอนใน PM_{10} ในรอบวันเฉลี่ย ($\mu\text{g}/\text{m}^3$) บริเวณพื้นที่ศึกษา เขตราชเทวี กรุงเทพมหานคร (ชั้นกลาง)									
	TC	OC	EC	OC1	OC2	OC3	OC4	EC1	EC2	EC3
06.00-09.00 น.	36.3±5.3	27.2±3.5	9.1±1.8	1.2±0.2	7.1±0.9	10.8±1.0	5.8±0.9	9.1±2.1	1.5±0.2	0.8±0.4
09.00-12.00 น.	33.2±5.6	26.2±4.1	7.1±1.9	1.9±1.5	5.9±0.1	10.5±1.3	5.6±0.5	7.7±2.1	1.3±0.4	0.4±0.6
12.00-15.00 น.	34.4±2.7	27.8±1.9	6.6±1.0	1.2±0.3	6.5±1.0	11.4±0.5	6.3±0.3	7.1±0.6	1.1±0.3	0.8±0.3
15.00-18.00 น.	39.7±6.7	33.1±5.7	6.7±1.5	1.3±0.2	7.7±0.7	13.5±2.9	7.4±1.5	8.3±1.2	1.1±0.5	0.5±0.5
18.00-21.00 น.	51.8±11.6	41.1±8.7	10.7±3.0	2.7±1.1	8.9±2.8	16.2±2.3	9.1±2.7	13.1±2.4	1.3±0.6	0.5±0.4
21.00-00.00 น.	46.3±15.8	35.2±12.9	11.1±3.1	2.2±1.1	8.4±2.9	14.2±5.6	7.8±2.4	11.6±4.6	1.2±0.3	0.7±0.6
00.00-03.00 น.	47.1±12.6	36.7±9.8	10.4±3.1	2.9±1.1	7.8±1.6	14.8±3.7	8.1±2.6	11.7±3.8	1.0±0.3	0.7±0.3
03.00-06.00 น.	36.1±2.8	28.9±2.8	7.3±0.1	1.2±0.2	6.7±0.4	11.6±1.4	6.0±0.7	8.7±1.4	1.2±0.4	0.5±0.6
ค่าเฉลี่ย	40.6±4.9	32.0±3.9	8.6±1.1	1.8±0.5	7.4±1.1	12.9±1.7	7.0±1.0	9.7±1.3	1.2±0.1	0.6±0.1



ภาพที่ 4.15 ความเข้มข้นขององค์ประกอบคาร์บอนใน PM_{10} ในรอบวันเฉลี่ย (ไมโครกรัมต่อ ลูกบาศก์เมตร) ระหว่างวันที่ 18-21 กุมภาพันธ์ พ.ศ. 2551 บริเวณพื้นที่ศึกษา เขตราชเทวี กรุงเทพมหานคร (ชั้นกลาง)

3) ชั้นบน

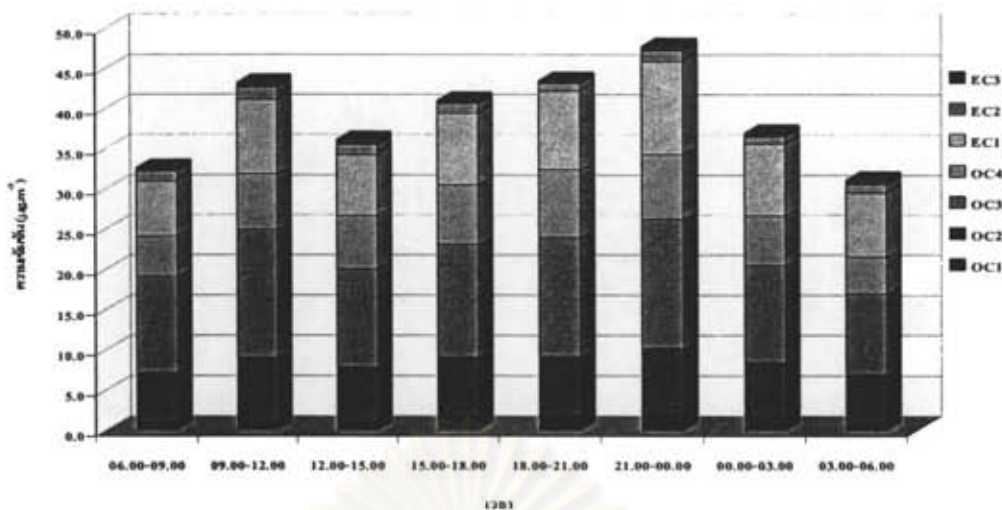
ผลการตรวจวัดความเข้มข้นขององค์ประกอบคาร์บอนใน PM_{10} ระหว่างวันที่ 18-21 กุมภาพันธ์ พ.ศ. 2551 บริเวณacula โรงเรนไนหอกสาก (ใบหยก 2) เมื่อพิจารณาแต่ละส่วนของ คาร์บอน คือ OC1 OC2 OC3 OC4 EC1 EC2 และ EC3 พบว่า ค่าความเข้มข้นต่ำสุด-สูงสุด ของ

OC3 มีค่าสูงสุด คือ 8.0 ± 18.5 ในโครงการต่ออุกบาทก์เมตร และมีค่าเฉลี่ย 13.4 ± 2.8 ในโครงการต่อ อุกบาทก์เมตร ความเข้มข้นต่ำสุด-สูงสุดของ EC3 มีค่าต่ำสุดคือ 0.3 ± 1.1 ในโครงการต่ออุกบาทก์ เมตร และมีค่าเฉลี่ย 0.5 ± 0.2 ในโครงการต่ออุกบาทก์เมตร ดังตารางที่ 4.7

เมื่อพิจารณาความเข้มข้นขององค์ประกอบการบ่อนใน PM_{10} ในรอบวันเฉลี่ย พบว่า OC1 OC2 OC3 EC1 มีค่าสูงสุด 2.1 ± 1.3 8.1 ± 0.7 16.0 ± 0.6 และ 11.5 ± 1.2 ในโครงการต่ออุกบาทก์ เมตร ตามลำดับในช่วงเวลา 21.00-00.00 นาฬิกา OC4 มีค่าสูงสุด 8.4 ± 0.4 ในโครงการต่ออุกบาทก์ เมตร ในช่วงเวลา 18.00-21.00 น. ค่า EC2 มีค่าสูงสุด 1.6 ± 0.3 ในโครงการต่ออุกบาทก์เมตร ในช่วง เวลา 09.00-12.00 น. และ EC3 มีค่าสูงสุดเท่ากัน 0.7 ± 0.3 ในโครงการต่ออุกบาทก์เมตร ในช่วงเวลา 12.00-15.00 น. และ OC1 OC2 OC3 OC4 มีค่าต่ำสุด 1.0 ± 0.4 6.0 ± 1.6 10.0 ± 3.0 และ 4.5 ± 1.9 ในโครงการต่ออุกบาทก์เมตร ตามลำดับ ในช่วงเวลา 03.00-06.00 น. EC1 มีค่าต่ำสุด 6.8 ± 1.4 ในโครงการต่ออุกบาทก์เมตร ในช่วงเวลา 06.00-09.00 น. และ EC2 มีค่าต่ำสุด 0.9 ± 0.3 ในโครงการ ต่ออุกบาทก์เมตร ในช่วงเวลา 00.00-03.00 น. (ตารางที่ 4.20, ภาพที่ 4.16)

ตารางที่ 4.20 ความเข้มข้นขององค์ประกอบการบ่อนใน PM_{10} (ในโครงการต่ออุกบาทก์เมตร) ใน รอบวันเฉลี่ย ระหว่างวันที่ 18-21 กุมภาพันธ์ พ.ศ. 2551 บริเวณพื้นที่ศึกษาเขตราช เทวี กรุงเทพมหานคร (ขั้นบน)

เวลา	ความเข้มข้นขององค์ประกอบการบ่อนใน PM_{10} ในรอบวันเฉลี่ย ($\mu g/m^3$) บริเวณพื้นที่ศึกษาเขตราชเทวี กรุงเทพมหานคร (ขั้นบน)										
	TC	OC	EC	OC1	OC2	OC3	OC4	EC1	EC2	EC3	
06.00-09.00 น.	32.7 ± 5.9	26.7 ± 5.3	6.0 ± 0.8	1.0 ± 0.1	6.2 ± 0.9	11.9 ± 2.8	5.0 ± 0.9	6.8 ± 1.4	1.3 ± 0.2	0.5 ± 0.1	
09.00-12.00 น.	43.3 ± 7.0	34.9 ± 5.6	8.3 ± 2.5	1.0 ± 0.3	8.1 ± 1.4	15.9 ± 2.7	6.9 ± 1.1	9.2 ± 2.8	1.6 ± 0.3	0.6 ± 0.1	
12.00-15.00 น.	36.2 ± 3.3	29.4 ± 3.2	6.8 ± 0.4	1.2 ± 0.1	6.7 ± 0.6	12.2 ± 1.3	6.6 ± 0.9	7.5 ± 0.9	1.3 ± 0.3	0.7 ± 0.3	
15.00-18.00 น.	41.1 ± 4.1	34.4 ± 3.5	6.7 ± 0.9	1.9 ± 1.2	7.2 ± 1.3	14.0 ± 1.4	7.4 ± 0.9	8.9 ± 1.2	1.2 ± 0.2	0.5 ± 0.2	
18.00-21.00 น.	43.5 ± 7.8	36.6 ± 6.7	6.9 ± 1.1	1.9 ± 1.4	7.3 ± 0.9	14.8 ± 3.5	8.4 ± 0.4	9.7 ± 2.1	1.0 ± 0.1	0.4 ± 0.0	
21.00-00.00 น.	47.8 ± 2.9	37.9 ± 2.1	9.9 ± 1.4	2.1 ± 1.3	8.1 ± 0.7	16.0 ± 0.6	8.0 ± 0.7	11.5 ± 1.2	1.4 ± 0.1	0.6 ± 0.1	
00.00-03.00 น.	37.0 ± 3.9	29.6 ± 3.2	7.4 ± 1.0	1.8 ± 1.3	6.7 ± 0.9	12.1 ± 0.9	6.2 ± 0.8	9.0 ± 1.2	0.9 ± 0.3	0.5 ± 0.2	
03.00-06.00 น.	31.2 ± 8.9	25.2 ± 7.7	6.1 ± 1.2	1.0 ± 0.4	6.0 ± 1.6	10.0 ± 3.0	4.5 ± 1.9	7.9 ± 2.2	1.1 ± 0.2	0.7 ± 0.1	
ค่าเฉลี่ย	39.1 ± 2.2	31.8 ± 2.0	7.3 ± 0.6	1.5 ± 0.6	7.0 ± 0.4	13.4 ± 1.1	6.6 ± 0.4	8.8 ± 0.7	1.2 ± 0.1	0.5 ± 0.1	



ภาพที่ 4.16 ความเข้มข้นขององค์ประกอบคาร์บอนใน PM_{10} (ในโครงการนรต่ออุกุนาศก์เมตร) ในรอบวันเฉลี่ย ระหว่างวันที่ 18-21 กุมภาพันธ์ พ.ศ. 2551 บริเวณพื้นที่ศึกษา เขตราชเทวี กรุงเทพมหานคร (ชั้นบน)

ความเข้มข้นขององค์ประกอบคาร์บอนใน PM_{10} ทั้ง 3 ระดับในกรุงเทพมหานคร พบว่า ชั้นล่าง มีค่า OC1 และ OC2 เฉลี่ยสูงสุด คือ 3.7 ± 0.4 9.3 ± 2.5 ในโครงการนรต่ออุกุนาศก์เมตร ตามลำดับ ชั้นกลาง มีค่า OC3 OC4 EC1 และ EC3 เฉลี่ยสูงสุด เท่ากับ 16.2 ± 2.3 9.1 ± 2.7 13.1 ± 2.4 และ 0.6 ± 0.4 ในโครงการนรต่ออุกุนาศก์เมตร ตามลำดับ และชั้นบนมีค่า EC2 เฉลี่ยสูงสุด เท่ากับ 1.6 ± 0.3

เมื่อเปรียบเทียบความเข้มข้นขององค์ประกอบคาร์บอน ในแต่ละระดับความสูง โดยใช้สถิติ พบว่า EC ชั้นบนมีค่าแตกต่างกับชั้nl่างและชั้นกลาง อย่างมีนัยสำคัญที่ระดับความเชื่อมั่น 95% คือมีค่าในชั้นบนต่ำสุด EC3 จะมีค่าแตกต่างกันในทุกระดับความสูง อย่างมีนัยสำคัญที่ระดับความเชื่อมั่น 95% ส่วนองค์ประกอบอื่นๆในคาร์บอน ตามระดับความสูงจะไม่แตกต่างกัน

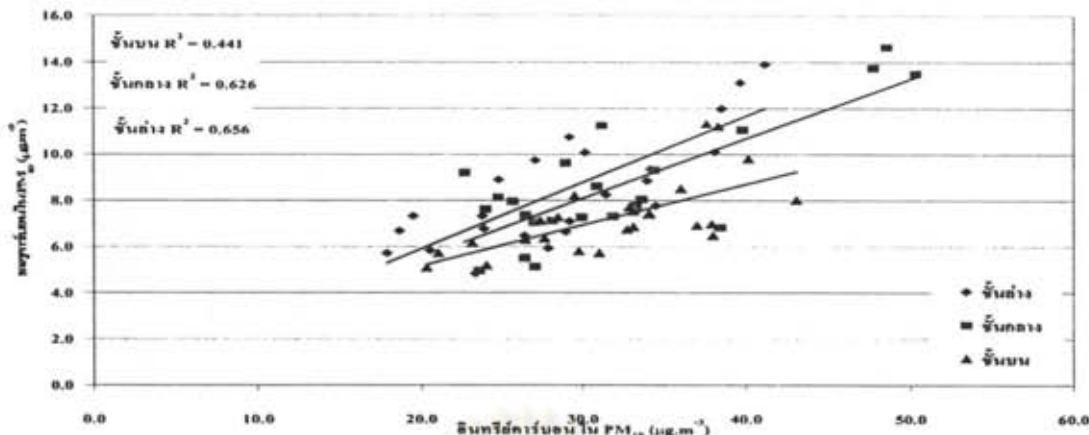
เมื่อพิจารณาความสัมพันธ์ระหว่าง OC และ EC กับ PM_{10} โดยใช้สถิติหาค่าสัมประสิทธิ์สหสัมพันธ์ (r) พบว่า ชั้nl่างและชั้นบน OC และ EC มีความสัมพันธ์ทางบวกกับ PM_{10} อย่างมีนัยสำคัญที่ระดับความเชื่อมั่น 99% ส่วนในชั้nl่าง OC มีความสัมพันธ์ทางบวกกับ PM_{10} อย่างมีนัยสำคัญที่ระดับความเชื่อมั่น 99% EC มีความสัมพันธ์ทางบวกกับ PM_{10} อย่างมีนัยสำคัญที่ระดับความเชื่อมั่น 95% ซึ่งจากการหาค่าความสัมพันธ์นี้จะเห็นได้ว่าความเข้มข้นของ OC และ EC ประพันธ์ตรงกับความเข้มข้นของ PM_{10} ในทุกระดับความสูงที่ทำการศึกษา

ความเข้มข้นขององค์ประกอบคาร์บอนใน PM_{10} ในรอบวันเฉลี่ย ทั้ง 3 ระดับในกรุงเทพมหานคร พบว่า ชั้nl่าง EC OC1 และ OC2 มีค่าสูงสุด คือ 12.2 ± 1.6 3.7 ± 0.4 9.3 ± 2.5 ในโครงการนรต่ออุกุนาศก์เมตร ตามลำดับ ชั้นกลาง TC OC OC3 OC4 EC1 และ EC3 มีค่าสูงสุด

51.8 ± 11.6 41.1 ± 8.7 16.2 ± 2.3 9.1 ± 2.7 13.1 ± 2.4 และ 0.8 ± 0.3 ในโครงการต่ออุกบากเมตร ตามลำดับ และชั้นบน EC2 มีค่าสูงสุด คือ 1.6 ± 0.3 ในโครงการต่ออุกบากเมตร แสดงให้เห็นว่า ในชั้นกลางและชั้นบน พบองค์ประกอบของคาร์บอนในชนิดที่มีความเสถียรมากกว่าในชั้nl่าง ส่วนค่าเฉลี่ยต่ำสุด ชั้nl่าง TC OC EC OC2 OC3 EC1 EC2 และ EC3 มีค่า 29.3 ± 5.2 21.8 ± 4.7 5.7 ± 0.8 5.3 ± 1.6 8.7 ± 1.9 6.6 ± 0.9 0.9 ± 0.1 และ 0.1 ± 0.1 ในโครงการต่ออุกบากเมตร ตามลำดับ ชั้นบน OC1 OC4 และ EC2 มีค่าต่ำสุด 1.0 ± 0.4 4.5 ± 1.9 และ 0.9 ± 0.3 ในโครงการต่ออุกบากเมตร ตามลำดับ โดยช่วงเวลาที่มีค่าเฉลี่ยสูงสุดในแต่ละค่า ส่วนใหญ่ได้แก่ ช่วงเวลา 18.00-21.00 น. และ 21.00-00.00 น. ส่วนช่วงเวลาที่มีค่าเฉลี่ยต่ำสุดในแต่ละค่า ส่วนใหญ่ ในชั้nl่างและชั้nกลาง ได้แก่ ช่วงเวลา 06.00-09.00 น. และ 09.00-12.00 น. แต่ในชั้nบนช่วงเวลาที่มีค่าเฉลี่ยต่ำสุด ส่วนใหญ่ได้แก่ ช่วงเวลา 03.00-06.00 น.

จะเห็นได้ว่าองค์ประกอบการ์บอนส่วนใหญ่มีค่าสูงในช่วงเวลากลางคืน เนื่องจากองค์ประกอบการ์บอนมีความสัมพันธ์แบบแปรผูกผันแปรกับความเข้มข้นของ PM_{10} อย่างมีนัยสำคัญที่ระดับความเชื่อมั่น 99% ในทุกระดับความสูง เมื่อพิจารณาความเข้มข้นของ PM_{10} ของพื้นที่ศึกษากรุงเทพมหานคร (ตารางที่ 4.5, ภาพที่ 4.5) จะเห็นว่า PM_{10} ในทุกระดับความสูงมีค่าสูงขึ้นในช่วงเวลากลางคืนเท่านเดียว กัน เมื่อพิจารณาองค์ประกอบการ์บอน ในทุกระดับความสูงของพื้นที่ศึกษา พบว่า มีความเข้มข้นของ OC3 สูงที่สุด รองลงมาคือ EC1 และแสดงให้เห็นว่า แหล่งกำเนิดการ์บอนทั้งสามระดับชั้นของพื้นที่ศึกษา มาจากการปลดปล่อยของเชื้อเพลิง เช่น แกนจิน และ ก๊าซปีโตรเลียมเหลว (LPG) เป็นหลัก ส่วน OC2 ที่พบมากเป็นอันดับที่สาม บอกได้ว่า การ์บอนมาจาก การปลดปล่อยของเชื้อเพลิง เช่น ไนโตรเจนดีไซเดอร์ (Cao และคณะ, 2006) และจากการศึกษาหาความเข้มข้นของ PAHs ตามระดับความสูงของพื้นที่ศึกษานี้ พบว่า แหล่งกำเนิดของ PAHs ซึ่งเป็นส่วนประกอบในการ์บอน มาจากการปลดปล่อยของเชื้อเพลิง เช่น ก๊าซธรรมชาติ (Gelencser, 2005) เนื่องจาก OC2 OC3 ซึ่งใช้อุณหภูมิในการวิเคราะห์อยู่ในช่วง 350°C และแสดงให้เห็นว่า องค์ประกอบการ์บอนส่วนใหญ่ที่ตรวจวัดได้เป็น VOC (Gelencser, 2005)

เมื่อพิจารณาความสัมพันธ์ค่าสัมประสิทธิ์สหสัมพันธ์ (R^2) ระหว่าง OC และ EC โดยทางสถิติ พบว่า ชั้nl่างมีความสัมพันธ์ สูงที่สุด ซึ่งได้เก็บกับชั้nกลาง และชั้nบนมีความสัมพันธ์ต่ำสุด คือ 0.441 ดังภาพที่ 4.17 และบังพนอิกว่า OC และ EC ในแต่ละระดับความสูงมีความสัมพันธ์ กันอย่างมีนัยสำคัญที่ระดับความเชื่อมั่น 95% ความสัมพันธ์ของ OC และ EC ที่ชั้nl่างและชั้nกลาง มีค่าใกล้เคียงกัน ซึ่งถ้า OC และ EC มีค่าความสัมพันธ์สูง และแสดงให้เห็นว่า แหล่งกำเนิดของทั้งสองชนิดมาจากการปลดปล่อยของเชื้อเพลิง เช่น ก๊าซธรรมชาติ (Duan และคณะ, 2005)



ภาพที่ 4.17 สัมประสิทธิ์สหสัมพันธ์ของ OC และ EC ใน PM_{10} ระหว่างวันที่ 18-21 กุมภาพันธ์ พ.ศ. 2551 ตามระดับความสูง บริเวณพื้นที่ศึกษา เขตราชเทวี กรุงเทพมหานคร

4.3.2.1 ร้อยละขององค์ประกอบการบ่อนในฝุ่นละอองขนาดไม่เกิน 10 ไมโครเมตร

การศึกษาร้อยละขององค์ประกอบการบ่อนใน PM_{10} โดยจะเลือกศึกษา ร้อยละของ TC OC และ EC ใน PM_{10} เพื่อขบถความแตกต่างกัน ความเข้มข้นของ TC OC และ EC ใน PM_{10} พบว่า ค่าเฉลี่ยร้อยละของ TC ใน PM_{10} ชั้นกลาง มีค่าสูงสุด คือร้อยละ 36.0 ± 6.9 ค่าเฉลี่ยร้อยละของ OC ใน PM_{10} มีค่าสูงสุดใกล้เคียงกันในชั้นกลางและชั้นบน คือร้อยละ 28.4 ± 5.2 28.5 ± 4.5 ตามลำดับ และ EC ใน PM_{10} มีค่าเฉลี่ยร้อยละสูงสุดในชั้นกลาง คือร้อยละ 7.6 ± 1.9 ดังตารางที่ 4.21

ตารางที่ 4.21 ร้อยละขององค์ประกอบการบ่อนใน PM_{10} ในรอบวันเฉลี่ย ตามระดับความสูง บริเวณพื้นที่ศึกษา เขตราชเทวี กรุงเทพมหานคร

เวลา	TC ใน PM_{10} (%)			OC ใน PM_{10} (%)			EC ใน PM_{10} (%)		
	ชั้นล่าง	ชั้นกลาง	ชั้นบน	ชั้นล่าง	ชั้นกลาง	ชั้นบน	ชั้นล่าง	ชั้นกลาง	ชั้นบน
06.00-09.00 น.	28.8 ± 3.7	36.8 ± 5.2	31.7 ± 7.5	21.1 ± 2.7	27.5 ± 3.4	25.9 ± 6.7	7.7 ± 1.1	9.2 ± 1.8	5.8 ± 0.9
09.00-12.00 น.	27.5 ± 5.4	35.5 ± 7.7	37.7 ± 5.2	20.8 ± 4.4	27.9 ± 5.1	30.5 ± 4.4	6.6 ± 1.3	7.7 ± 2.7	7.2 ± 2.0
12.00-15.00 น.	30.7 ± 5.0	33.6 ± 4.6	33.2 ± 3.4	25.2 ± 4.3	27.1 ± 3.2	27.0 ± 2.7	5.5 ± 0.7	6.5 ± 1.4	6.3 ± 1.0
15.00-18.00 น.	33.6 ± 0.2	35.6 ± 5.8	37.4 ± 4.3	27.2 ± 0.4	29.6 ± 4.4	31.3 ± 3.9	6.3 ± 0.2	6.0 ± 1.6	6.1 ± 0.5
18.00-21.00 น.	38.7 ± 6.6	41.0 ± 10.3	37.9 ± 5.6	30.2 ± 5.2	32.5 ± 7.7	31.8 ± 4.8	8.6 ± 1.6	8.5 ± 2.6	6.0 ± 0.8
21.00-00.00 น.	32.6 ± 5.3	34.2 ± 11.6	34.7 ± 6.4	24.4 ± 4.3	26.0 ± 9.3	27.7 ± 5.7	8.2 ± 1.0	8.3 ± 2.6	7.1 ± 0.8
00.00-03.00 น.	31.2 ± 2.7	35.7 ± 7.2	32.8 ± 4.0	23.9 ± 2.7	27.9 ± 6.1	26.3 ± 3.6	7.3 ± 0.6	7.8 ± 1.5	6.5 ± 0.4
03.00-06.00 น.	31.4 ± 4.4	35.9 ± 2.6	33.8 ± 4.0	24.5 ± 3.6	28.7 ± 2.1	27.2 ± 3.8	6.9 ± 0.9	7.2 ± 0.7	6.6 ± 0.3
ค่าเฉลี่ย $\pm SD$	31.8 ± 4.2^a	36.0 ± 6.9^b	34.9 ± 5.1^b	24.7 ± 3.5^a	28.4 ± 5.2^b	28.5 ± 4.5^b	7.1 ± 0.9^a	7.6 ± 1.9^b	6.5 ± 0.8^c

หมายเหตุ: ^{a,b,c} คือร้อยละของ TC OC และ EC ใน PM_{10} ระหว่างชั้นความสูงที่มีค่าแตกต่างกันอย่างมีนัยสำคัญทางสถิติที่ระดับความเชื่อมั่น 95%

จะเห็นได้ว่าร้อยละของ TC ใน PM_{10} และ EC ใน PM_{10} จะพบค่าสูงสุดในชั้นกลาง และต่ำสุดในชั้นล่าง ส่วนร้อยละของ OC ใน PM_{10} จะพบค่าเฉลี่ยสูงสุดในชั้นกลางและชั้นบน ส่วนค่าต่ำสุดจะพบในชั้นล่าง เช่นเดียวกับ TC และ EC เมื่อเปรียบเทียบค่าร้อยละใน PM_{10} ระหว่างชั้นความสูง โดยใช้สถิติ จะเห็นได้ว่า ร้อยละของ TC และ OC ใน PM_{10} มีค่าในชั้นล่างแตกต่างจากชั้นกลางและชั้นบน อ่างน้ำมันข้าวกลูต้าโนนิคที่ระดับความเชื่อมั่น 95% ส่วน EC ใน PM_{10} จะมีค่าแตกต่างกันในทุกระดับชั้นที่ทำการศึกษา

จากการเปรียบเทียบค่าทางสถิติของ TC OC EC ใน PM_{10} ในแต่ละระดับความสูง ระหว่างร้อยละขององค์ประกอบคาร์บอนใน PM_{10} และความเข้มข้นขององค์ประกอบคาร์บอนใน PM_{10} จะเห็นได้ว่า เราสามารถแยกความแตกต่างระหว่างร้อยละใน PM_{10} ตามระดับความสูงได้ชัดเจนขึ้น เมื่อเทียบกับการใช้ความเข้มข้นขององค์ประกอบคาร์บอนจากการตรวจวัด ซึ่งไม่สามารถออกความแตกต่างทางสถิติในแต่ละระดับความสูงได้ ดังตารางที่ 4.22

ตารางที่ 4.22 ร้อยละขององค์ประกอบคาร์บอนและความเข้มข้นขององค์ประกอบคาร์บอนเฉลี่ยตามระดับความสูง บริเวณพื้นที่ศึกษา เขตราชเทวี กรุงเทพมหานคร

	TC ใน PM_{10}			OC ใน PM_{10}			EC ใน PM_{10}		
	ชั้นล่าง	ชั้นกลาง	ชั้นบน	ชั้นล่าง	ชั้นกลาง	ชั้นบน	ชั้นล่าง	ชั้นกลาง	ชั้นบน
(%)ค่าเฉลี่ย±SD	31.8±4.2 ^a	36.0±6.9 ^b	34.9±5.1 ^b	24.7±3.5 ^a	28.4±5.2 ^b	28.5±4.5 ^b	7.1±0.9 ^a	7.6±1.9 ^b	6.5±0.8 ^c
(C)ค่าเฉลี่ย±SD	37.8±9.1 ^a	40.6±10.0 ^a	39.1±7.4 ^a	29.2±7.0 ^a	32.0±7.9 ^a	31.8±6.2 ^a	8.6±2.5 ^a	8.6±2.6 ^a	7.3±1.6 ^b

หมายเหตุ: ^{a,b,c} คือ TC OC และ EC ใน PM_{10} ระหว่างชั้นความสูงที่มีค่าแตกต่างกันอย่างมีนัยสำคัญทางสถิติที่ระดับความเชื่อมั่น 95%

: (%) คือร้อยละของ TC OC และ EC ใน PM_{10}

: (C) คือความเข้มข้นของ TC OC และ EC ใน PM_{10}

ตารางที่ 4.23 ร้อยละของ OC และ EC ใน TC ตามระดับความสูง บริเวณพื้นที่ศึกษา เขตราชเทวี กรุงเทพมหานคร

องค์ประกอบ คาร์บอน	ร้อยละของ OC และ EC ใน TC					
	ชั้นล่าง		ชั้นกลาง		ชั้นบน	
	ค่าต่ำสุด-สูงสุด	ค่าเฉลี่ย±SD	ค่าต่ำสุด-สูงสุด	ค่าเฉลี่ย±SD	ค่าต่ำสุด-สูงสุด	ค่าเฉลี่ย±SD
OC	72.7-82.9	77.4±3.1 ^a	71.2-84.9	78.9±3.3 ^a	76.9-85.4	81.4±2.4 ^b
EC	17.1-27.3	22.6±3.1 ^a	15.1-28.8	21.1±3.3 ^a	14.6-23.1	18.6±2.4 ^b

หมายเหตุ: ^{a,b} คือ OC และ EC ใน TC ระหว่างชั้นความสูงที่มีค่าแตกต่างกันอย่างมีนัยสำคัญทางสถิติที่ระดับความเชื่อมั่น 95%

จากการศึกษาหาร้อยละของ OC และ EC ใน TC ทั้งสามระดับความสูง ดังตารางที่ 4.23 พบว่า OC ใน TC มีค่าร้อยละเฉลี่ย 77.4±3.1-81.4±2.4 ซึ่งมีแนวโน้มของค่าเฉลี่ยจะ

เพิ่มขึ้นตามระดับความสูง และมีค่าไกล์เคียงกับ OC ใน TC ของ PM_{10} ในเมืองปักกิ่งที่มีค่า 76% (Duan และคณะ, 2004) และมีค่าสูงกว่า OC ใน TC ของ $PM_{2.5}$ ที่พบค่า 70% ในเมืองปักกิ่ง (Duan และคณะ, 2004) ส่วน EC ใน TC มีค่าร้อยละเฉลี่ย 18.6 ± 2.4 - 22.6 ± 3.1 แนวโน้มของค่าเฉลี่ยร้อยละจะลดลงตามระดับความสูง เนื่องจาก EC จะมาจากแหล่งกำเนิดในพื้นที่ และแหล่งกำเนิดขึ้นต้นทำให้พบว่ามีค่าลดลงตามความสูง

จากการวิเคราะห์ทางสถิติ พบว่าร้อยละของ OC และ EC ใน TC ในชั้นบนมีค่าแตกต่างกับชั้นล่างและชั้นกลาง อย่างมีนัยสำคัญที่ระดับความเชื่อมั่น 95% และทำการหาความสัมพันธ์ของ ร้อยละของ OC และ EC ใน TC กับระดับความสูง โดยใช้สถิติทางค่า r พบว่า ร้อยละของ OC ใน TC มีค่าแปรผันตามระดับความสูง อย่างมีนัยสำคัญที่ระดับความเชื่อมั่น 99% ส่วน EC ใน TC จะแปรผกผันกับระดับความสูง อย่างมีนัยสำคัญที่ระดับความเชื่อมั่น 99%

4.3.2 สัดส่วนของอินทรีย์คาร์บอนกับธาตุอินทรีย์ และอินทรีย์คาร์บอนขั้นที่สอง ในฝุ่นละอองขนาดไม่เกิน 10 ไมโครเมตร พื้นที่ศึกษา เขตราชเทวี กรุงเทพมหานคร

ผลการตรวจองค์ประกอบของสารในฝุ่นละอองขนาดไม่เกิน 10 ไมโครเมตร ระหว่างวันที่ 18-21 กุมภาพันธ์ พ.ศ. 2551 ตามระดับความสูง พื้นที่ศึกษา เขตราชเทวี กรุงเทพมหานคร และนำมาหาค่าสัดส่วนของ OC/EC และหาค่าในรอบวันเฉลี่ย เพื่อศึกษาเปลี่ยนแปลงของ สัดส่วน OC/EC ในรอบวัน ซึ่งสัดส่วนของ OC/EC สามารถใช้เป็นดัชนีชี้วัดแหล่งกำเนิดของคาร์บอนได้ จากนั้นนำค่าสัดส่วนของ OC/EC มาหาค่าอินทรีย์คาร์บอนขั้นที่สอง (SOC) เพื่อพิจารณาแหล่งกำเนิดของ OC ที่ตรวจวัดได้ ตามระดับความสูง มีรายละเอียดดังต่อไปนี้

4.3.2.1 สัดส่วนของ OC/EC ในฝุ่นละอองขนาดไม่เกิน 10 ไมโครเมตร

ผลการตรวจวัด เมื่อนำมาหาค่าสัดส่วนของ OC/EC ใน PM_{10} ระหว่างวันที่ 18-21 กุมภาพันธ์ พ.ศ. 2551 ตามระดับความสูง พบว่า ชั้นบน มีค่าสูงสุดคือ 3.32 - 5.87 และมีค่าเฉลี่ย 4.45 ± 0.71 ชั้นล่างมีค่าต่ำสุด คือ 2.66 - 4.84 และมีค่าเฉลี่ย 3.51 ± 0.65 ดังตารางที่ 4.24 รายละเอียดของผลการตรวจวัดในแต่ละระดับความสูงสามารถสรุปได้ดังต่อไปนี้

1) ชั้นล่าง

ผลการตรวจวัด เมื่อนำมาหาค่าสัดส่วนของ OC/EC ใน PM_{10} บริเวณคาดฟ้าอาคารจอดรถชั้น 10 โรงเรนในหยกสูท (ในหยก 1) พบว่า ค่าสัดส่วนในรอบวันเฉลี่ย มีค่าสูงสุด 4.54 ± 0.40 ในช่วงเวลา 12.00-15.00 น. และมีค่าต่ำสุด 2.75 ± 0.07 ในช่วงเวลา 06.00-09.00 น. ดังตารางที่ 4.25 และภาพที่ 4.18

2) ขั้นกลาง

ผลการตรวจวัด เมื่อนำมาหาค่าสัดส่วนของ OC/EC ใน PM_{10} บริเวณคาดฟ้า โรงแรมในหงส์สุก (ใบหงส์ 1) พบว่า ค่าสัดส่วนในรอบวันเฉลี่ย มีค่าสูงสุด 5.29 ± 0.13 ในช่วงเวลา 18.00-21.00 น. และมีค่าต่ำสุด 3.02 ± 0.23 ในช่วงเวลา 06.00-09.00 น. ดังตารางที่ 4.25 และภาพที่ 4.18

3) ขั้นบน

ผลการตรวจวัด เมื่อนำมาหาค่าสัดส่วนของ OC/EC ใน PM_{10} บริเวณคาดฟ้า โรงแรมในหงส์สุก (ใบหงส์ 2) พบว่า ค่าสัดส่วนในรอบวันเฉลี่ย มีค่าสูงสุด 5.03 ± 0.76 ในช่วงเวลา 15.00-18.00 น. และมีค่าต่ำสุด 3.89 ± 0.49 ในช่วงเวลา 21.00-00.00 น. ดังตารางที่ 4.25 และภาพที่ 4.18

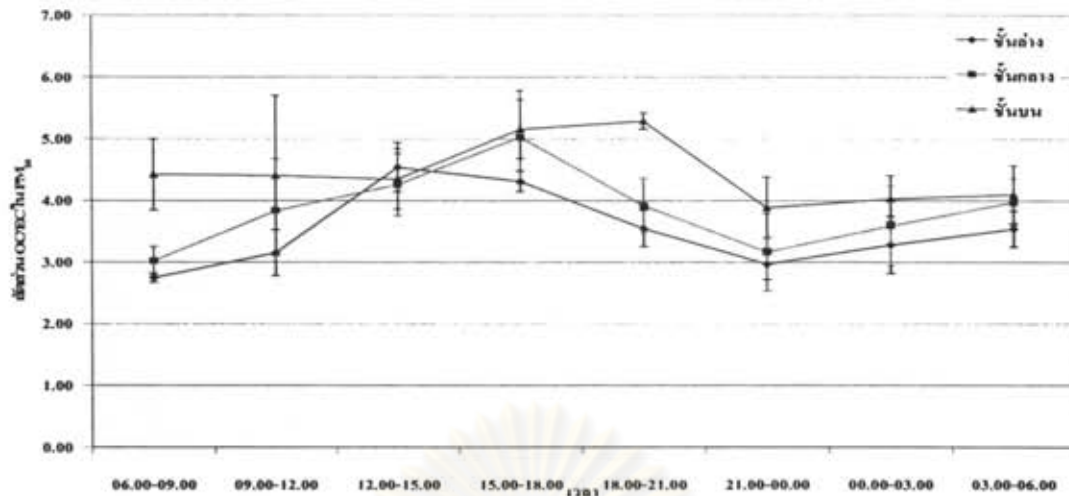
ตารางที่ 4.24 สัดส่วนของ OC/EC ใน PM_{10} ระหว่างวันที่ 18-21 กุมภาพันธ์ พ.ศ. 2551 ตามระดับความสูง บริเวณพื้นที่ศึกษา เขตราชเทวี กรุงเทพมหานคร

พื้นที่ศึกษา	สัดส่วนของ OC/EC	
	ค่าต่ำสุด-สูงสุด	ค่าเฉลี่ย $\pm SD$
ขั้นล่าง	2.66-4.84	3.51 ± 0.65^a
ขั้นกลาง	2.47-5.62	3.85 ± 0.78^b
ขั้นบน	3.32-5.87	4.45 ± 0.71^c

หมายเหตุ: ^{a,b,c} คือสัดส่วนของ OC/EC ใน PM_{10} ระหว่างขั้นความสูงที่มีค่าแตกต่างกันอย่างมีนัยสำคัญทางสถิติที่ระดับความเชื่อมั่น 95%

ตารางที่ 4.25 สัดส่วนของ OC/EC ใน PM_{10} ในรอบวันเฉลี่ย ระหว่างวันที่ 18-21 กุมภาพันธ์ พ.ศ. 2551 ตามระดับความสูง บริเวณพื้นที่ศึกษา เขตราชเทวี กรุงเทพมหานคร

สัดส่วนของ OC/EC ใน PM_{10} ในรอบวันเฉลี่ย ตามระดับความสูง			
เวลา	ขั้นล่าง	ขั้นกลาง	ขั้นบน
06.00-09.00 น.	2.75 ± 0.07	3.02 ± 0.23	4.42 ± 0.58
09.00-12.00 น.	3.15 ± 0.37	3.83 ± 0.84	4.40 ± 1.30
12.00-15.00 น.	4.54 ± 0.40	4.26 ± 0.50	4.35 ± 0.49
15.00-18.00 น.	4.31 ± 0.17	5.03 ± 0.76	5.16 ± 0.48
18.00-21.00 น.	3.55 ± 0.29	3.92 ± 0.44	5.29 ± 0.13
21.00-00.00 น.	2.97 ± 0.25	3.16 ± 0.63	3.89 ± 0.49
00.00-03.00 น.	3.28 ± 0.46	3.59 ± 0.64	4.02 ± 0.37
03.00-06.00 น.	3.54 ± 0.29	3.97 ± 0.38	4.10 ± 0.47



ภาพที่ 4.18 สัดส่วนของ OC/EC ใน PM₁₀ ในรอบวันเฉลี่ย ระหว่างวันที่ 18-21 กุมภาพันธ์ พ.ศ. 2551 ตามระดับความสูง บริเวณพื้นที่ศึกษา เขตราชเทวี กรุงเทพมหานคร

จากการหาค่าสัดส่วนของ OC/EC ใน PM₁₀ ทั้ง 3 ระดับความสูงในพื้นที่ศึกษา เขตราชเทวี กรุงเทพมหานคร พบว่า ชั้นบนมีค่าเฉลี่ยสูงที่สุด รองลงมาคือชั้นกลาง และชั้นล่าง ตามลำดับ สัดส่วนของ OC/EC ที่พบมีค่าแปรผันตามความสูง คือความสูงมากขึ้นจะพบ EC ลดลง เนื่องจาก EC มาจากแหล่งกำเนิดขั้นต้น เช่นจากการเผาไหม้เชื้อเพลิงของเครื่องยนต์ จากเปลือกผิวโลก ส่วน OC จะมาจากแหล่งกำเนิดทั้งขั้นต้น และแหล่งกำเนิดขั้นที่สอง ซึ่งเป็น Secondary Organic carbon (SOC) ทำให้พบ OC ที่ชั้นกลางและชั้นบนสูงกว่าชั้นล่าง เมื่อพิจารณาค่าเฉลี่ยของ OC/EC ในทุกระดับความสูงและทุกช่วงเวลา มีค่ามากกว่า 2.0 แสดงให้เห็นว่าการบอนที่เกิดขึ้นมาจากอนุภาคของ SOC ซึ่งเกิดจากปฏิกิริยาไฟฟ์โตเคมีคอล (Turpin และคณะ, 1990a, Chow และคณะ, 1996) และจากการหาค่าสัดส่วนในรอบวันเฉลี่ย พบว่า ทั้ง 3 ระดับความสูงมีค่าสัดส่วนของ OC/EC สูงสุด ในช่วงบ่ายถึงค่ำ สาเหตุมาจากการเกิด SOC ในช่วงเวลาดังกล่าว ดังรายละเอียดในหัวข้อต่อไป และปัจจัยของแหล่งกำเนิด EC ที่มาจากการปลดปล่อยของเครื่องยนต์คือเซลซึ่งมีค่าสูงในช่วงกลางคืน (Hildemann และคณะ, 1991, Cao และคณะ, 2006) และการเกิด OC ที่ลดลงในช่วงเวลากลางคืน ที่ส่งผลให้สัดส่วนของ OC/EC มีค่าต่ำลงในช่วงเวลากลางคืนเช่นกัน

เมื่อเปรียบเทียบสัดส่วนของ OC/EC ในแต่ละระดับความสูง โดยใช้สถิติ พนว่า ค่าสัดส่วนมีความแตกต่างกันอย่างมีนัยสำคัญที่ระดับความเชื่อมั่น 95% ทุกระดับความสูง เนื่องจากความเข้มข้นของ OC ที่พบมีแนวโน้มแปรผันตามระดับความสูง แต่ EC จะเป็นไปในทางตรงกัน ข้ามคือ แปรผูกผันตามระดับความสูง ทำให้สัดส่วน OC/EC ที่ทำการวิเคราะห์มีค่าแตกต่างกันตามระดับความสูง จากการเปรียบเทียบททางสถิติ ของ OC และ EC พนว่าที่ชั้นบน EC มีค่าแตกต่างจากชั้นอื่นๆ ส่วน OC ไม่มีความแตกต่างกันในแต่ละระดับความสูง

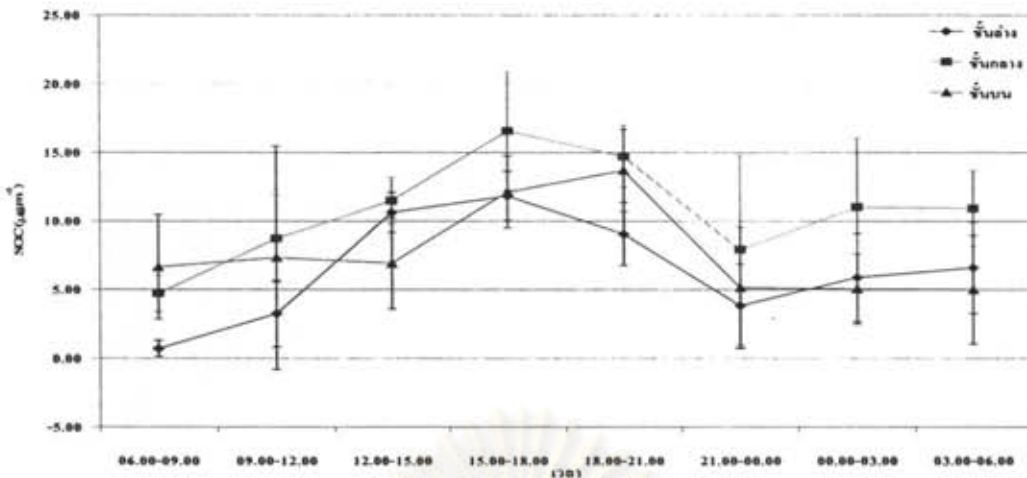
4.3.2.2 อินทรีย์คาร์บอนขั้นที่สอง (Secondary organic carbon, SOC) ในฝุ่นละอองขนาดไม่เกิน 10 ไมโครเมตร

การศึกษาอินทรีย์คาร์บอนขั้นที่สอง (SOC) ใน PM_{10} โดยใช้ค่าสัดส่วนของ OC/EC และความเข้มข้นของ OC และ EC มาหาค่า SOC ซึ่ง SOC จะมีผลกระบวนการต่อการมองเห็นและการโคนแสงของมุขย์ในช่วงบ่ายยามนีนับสำคัญ (Turpin และคณะ, 1994) จากนั้นคำนวณหาค่าร้อยละของ SOC ใน OC และหาค่าเฉลี่ยในรอบวัน ดังรายละเอียดดังต่อไปนี้

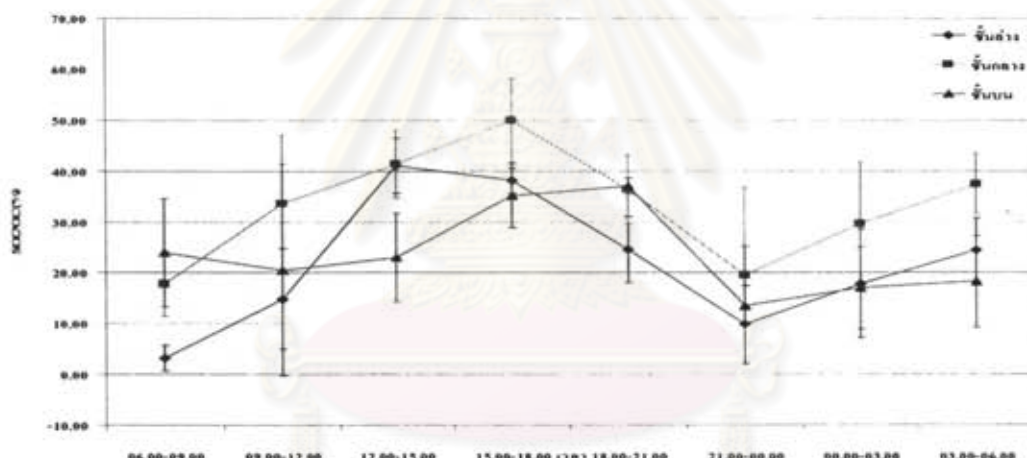
จากการศึกษาพบว่า SOC และร้อยละของ SOC/OC มีค่าเฉลี่ยรวมสูงสุดในชั้นกลาง คือ 10.76 ± 3.75 ในไครกรรมต่อสูกบากาศก์เมตร และร้อยละ 33.26 ± 10.80 ตามลำดับ ซึ่งสอดคล้องกับความเข้มข้นของ OC ที่พบว่า มีค่าเฉลี่ยสูงสุดในชั้นกลางเข่นกัน และเมื่อพิจารณาค่าเฉลี่ยในรอบวันจะพบว่า SOC และร้อยละของ SOC/OC มีค่าสูงในช่วงเวลา 12.00-21.00 น. ดังตารางที่ 4.26, ภาพที่ 4.19 และภาพที่ 4.20 ซึ่งสอดคล้องกับงานวิจัยของ Turpin และ Huntzicker, 1994 ที่พบว่า SOC จะมีค่าสูงในช่วงเวลา 16.00-18.00 น. ซึ่งเป็นช่วงกลางวัน และร้อยละของ SOC/OC ที่ตรวจพบใน PM_{10} ในเมือง Coimbra ของ Castro และคณะ, 1999 พบว่า ในฤดูหนาว ร้อยละของ SOC/OC มีค่าร้อยละ 37 และใกล้เคียงกับค่าที่ตรวจวัดในเมืองปักกิ่ง (Chan และคณะ, 2005)

ตารางที่ 4.26 ความเข้มข้นของ SOC (ในไครกรรมต่อสูกบากาศก์เมตร) และร้อยละของ SOC/OC ในรอบวันเฉลี่ย ระหว่างวันที่ 18-21 กุมภาพันธ์ พ.ศ. 2551 ตามระดับความสูง บริเวณพื้นที่ศึกษา เขตราชเทวี กรุงเทพมหานคร

เวลา	ชั้นล่าง		ชั้นกลาง		ชั้นบน	
	SOC	SOC/OC (%)	SOC	SOC/OC (%)	SOC	SOC/OC (%)
06.00-09.00 น.	0.71 ± 0.61	3.13 ± 2.57	4.73 ± 1.32	17.83 ± 6.38	6.65 ± 3.81	23.99 ± 10.65
09.00-12.00 น.	3.25 ± 2.41	14.82 ± 9.97	8.73 ± 3.19	33.64 ± 13.45	7.33 ± 8.13	20.55 ± 20.82
12.00-15.00 น.	10.62 ± 1.46	41.12 ± 5.46	11.50 ± 1.69	41.44 ± 6.66	6.92 ± 3.30	22.98 ± 8.77
15.00-18.00 น.	11.84 ± 1.80	38.19 ± 2.46	16.57 ± 4.33	50.05 ± 8.10	12.12 ± 2.62	35.24 ± 6.32
18.00-21.00 น.	9.06 ± 2.31	24.63 ± 6.52	14.71 ± 2.25	36.44 ± 6.74	13.69 ± 2.99	37.19 ± 1.58
21.00-00.00 น.	3.83 ± 3.05	9.89 ± 7.61	7.92 ± 6.88	19.53 ± 17.35	5.15 ± 4.42	13.57 ± 11.72
00.00-03.00 น.	5.89 ± 3.21	17.83 ± 10.74	11.02 ± 5.04	29.69 ± 12.18	5.05 ± 2.56	17.00 ± 8.10
03.00-06.00 น.	6.60 ± 3.33	24.48 ± 6.26	10.92 ± 2.76	37.48 ± 5.94	5.02 ± 3.94	18.28 ± 9.08
ค่าเฉลี่ย $\pm SD$	6.48 ± 3.85	21.76 ± 13.16	10.76 ± 3.75	33.26 ± 10.80	7.74 ± 3.34	23.60 ± 8.47



ภาพที่ 4.19 ความเข้มข้นของ SOC (ในไมโครกรัมต่อลูกบาศก์เมตร) ในรอบวันเฉลี่ย ระหว่างวันที่ 18-21 กุมภาพันธ์ พ.ศ. 2551 ตามระดับความสูง บริเวณพื้นที่ศึกษา เขตราชเทวี กรุงเทพมหานคร



ภาพที่ 4.20 ร้อยละของ SOC/OC (%) ในรอบวันเฉลี่ย ระหว่างวันที่ 18-21 กุมภาพันธ์ พ.ศ. 2551 ตามระดับความสูง บริเวณพื้นที่ศึกษา เขตราชเทวี กรุงเทพมหานคร

4.4 ความสัมพันธ์ระหว่างสัดส่วนของฝุ่นละอองขนาดไม่เกิน 10 ไมโครเมตร และฝุ่นละอองรวม ($\text{PM}_{10}/\text{TSP}$) สัดส่วนของอินทรีย์คาร์บอน และธาตุคาร์บอน (OC/EC) กับลักษณะทางอุตุนิยมวิทยา ตามระดับความสูง

การหาความสัมพันธ์ระหว่างสัดส่วนของ $\text{PM}_{10}/\text{TSP}$ และสัดส่วนของ OC/EC กับลักษณะทางอุตุนิยมวิทยา คือ อุณหภูมิ ความชื้นบรรยายกาศ รังสีคงออาทิตย์ ความชื้นสัมพัทธ์ และความเร็วลม โดยเลือกใช้ผลการตรวจวัดของอุตุนิยมวิทยาพื้นผิวที่ทำการตรวจวัด ณ เวลาและสถานที่เดียวกับจุดตรวจวัด และความสูงผ่านจากการตรวจวัดอุตุนิยมวิทยาชั้นบน นาหาคำสัมประสิทธิ์

สหสัมพันธ์ (r) โดยใช้สถิติ pearson correlation เพื่อศึกษาปัจจัยทางอุตุนิยมวิทยาที่ส่งผลต่อสัดส่วนของ PM_{10}/TSP และ OC/EC ในช่วงเวลาที่ทำการศึกษา ดังมีรายละเอียดดังต่อไปนี้

4.4.1 ความสัมพันธ์ระหว่างสัดส่วนของฝุ่นละอองขนาดไม่เกิน 10 ไมโครเมตร และฝุ่นละอองรวม (PM_{10}/TSP) กับลักษณะทางอุตุนิยมวิทยา ตามระดับความสูง

การหาความสัมพันธ์ระหว่างสัดส่วนของ PM_{10}/TSP กับลักษณะทางอุตุนิยมวิทยา นาหา ค่าสัมประสิทธิ์สหสัมพันธ์ (r) เพื่อศึกษาปัจจัยทางอุตุนิยมวิทยาที่ส่งผลต่อสัดส่วนของ PM_{10}/TSP ในช่วงเวลาที่ทำการศึกษา ดังมีรายละเอียดดังต่อไปนี้

4.4.1.1 อ่าเภอหาดใหญ่ จังหวัดสงขลา

ความสัมพันธ์ระหว่างสัดส่วนของ PM_{10}/TSP กับลักษณะทางอุตุนิยมวิทยา ตามระดับความสูงของพื้นที่ศึกษา อ่าเภอหาดใหญ่ จังหวัดสงขลา พิจารณาความสัมพันธ์ โดยใช้สถิติ pearson correlation พบว่า ทุกระดับความสูงที่ทำการศึกษา ระหว่างวันที่ 17-20 ธันวาคม พ.ศ. 2550 ไม่มีความสัมพันธ์กับลักษณะทางอุตุนิยมวิทยาอย่างมีนัยสำคัญ

เมื่อพิจารณาจากทิศทางลมที่ทำการตรวจพบว่า ชั้นล่าง ทิศทางลมเฉลี่ยในช่วงเวลาตรวจวัดมาจากทิศตะวันตกและตะวันตกเฉียงใต้ ชั้นกลาง ทิศทางลมมาจากทิศตะวันออกและตะวันออกเฉียงใต้ ส่วนชั้นบน ลมมาจากทุกทิศทาง แต่มีความเร็วลมต่ำสุด ดังภาพที่ 4.21 จะเห็นได้ว่า ชั้นล่างและชั้นกลางมีทิศทางลมในทิศทางตรงกันข้ามกัน เนื่องจากเป็นทิศทางลมจากช่องของอาคารในชั้นล่าง และชั้นกลางเป็นลมที่มาจากการด้านข้างของอาคารส่งผลให้ ชั้นกลางมีความเร็วลมสูงที่สุด อันเนื่องมาจากการปั่นป่วนทางภายในของจุดเก็บตัวอย่างอย่างส่งผลให้สัดส่วนของ PM_{10}/TSP ที่ตรวจวัดได้ในชั้นกลางมีค่าสูงกว่าชั้นอื่น เมื่อมาพิจารณาความสัมพันธ์โดยทางสถิติ พบว่า สัดส่วนของ PM_{10}/TSP ไม่มีความสัมพันธ์กับอุตุนิยมวิทยาอย่างมีนัยสำคัญ

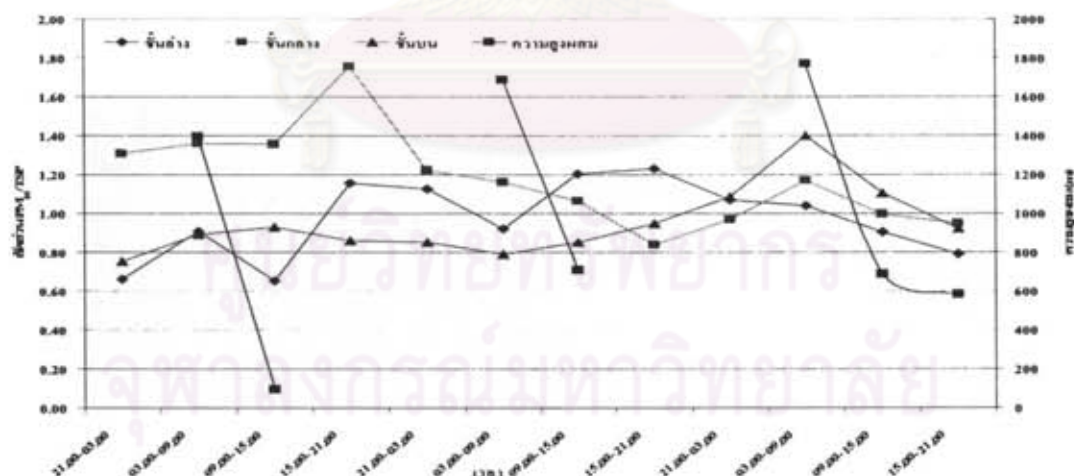


ภาพที่ 4.21 ทิศทางและความเร็วลม ระหว่างวันที่ 17-20 ธันวาคม พ.ศ. 2550 บริเวณชั้นล่าง ชั้นกลางและชั้นบน ตามลำดับจากซ้ายไปขวา พื้นที่ศึกษา อ่าเภอหาดใหญ่ จังหวัดสงขลา

จากการตรวจอุปกรณ์วิทยาชั้นบน โดยใช้ radiosond พื้นที่ศึกษา อําเภอหาดใหญ่ จังหวัดสงขลา ระหว่างวันที่ 18-20 ธันวาคม พ.ศ. 2550 ในช่วงเวลา 00.00 06.00 12.00 และ 18.00 ชั่วโมงกับเวลาทั้งคืน 07.00 น. 13.00 น. 19.00 น. และ 01.00 น. น้ำมานาค่าระดับความสูงพสม โคลบริช Holzworth คั่งตารางที่ 4.27 เนื่องจากช่วงเวลาที่เก็บตัวอย่างมีความชื้นสูงและฝนตกทำให้อุณหภูมิที่ตรวจวัดได้ไม่ตัดกับเด็น dry adiabatic lapse rate ในหลายช่วงเวลา ความสูงพสมที่คำนวณได้จะเกิดขึ้นน้อย และเมื่อน้าค่าความสูงพสมมาหากความสัมพันธ์กับสัดส่วนของ PM_{10}/TSP โดยใช้สถิติ pearson correlation พบว่า สัดส่วนของ PM_{10}/TSP มีความสัมพันธ์กับความสูงพสมแบบแปรผันตามกันอย่างไม่มีนัยสำคัญ ดังภาพที่ 4.22

ตารางที่ 4.27 ความสูงพสม (เมตร) ระหว่างวันที่ ระหว่างวันที่ 18-20 ธันวาคม พ.ศ. 2550 บริเวณพื้นที่ศึกษา อําเภอหาดใหญ่ จังหวัดสงขลา

วันที่/เวลา	ความสูงพสม (เมตร)		
	18 ธันวาคม พ.ศ. 2550	19 ธันวาคม พ.ศ. 2550	20 ธันวาคม พ.ศ. 2550
01.00 น.	ND	ND	ND
07.00 น.	1349	1,688	1,770
13.00 น.	437	709	685
19.00 น.	ND	ND	582



ภาพที่ 4.22 สัดส่วนของ PM_{10}/TSP กับความสูงพสม (m) ตามระดับความสูง ระหว่างวันที่ 18-20 ธันวาคม พ.ศ. 2550 บริเวณพื้นที่ศึกษา อําเภอหาดใหญ่ จังหวัดสงขลา

4.4.1.2 เขตราชเทวี กรุงเทพมหานคร

ความสัมพันธ์ระหว่างสัดส่วนของ PM_{10}/TSP กับลักษณะทางอุตุนิยมวิทยา ตามระดับความสูงของพื้นที่ศึกษา เขตราชเทวี กรุงเทพมหานคร ระหว่างวันที่ 18-21 กุมภาพันธ์ พ.ศ. 2551 พิจารณาความสัมพันธ์โดยสถิติ pearson correlation พบว่า ขั้นล่าง สัดส่วนของ PM_{10}/TSP มีความสัมพันธ์กับความชื้นสัมพัทธ์ อุ่นน้ำมันข้าวสาคัญที่ระดับความเชื่อมั่น 95% แบบแปรผันตามกัน ขั้นกลาง มีความสัมพันธ์กับความดันบรรยากาศ อุ่นน้ำมันข้าวสาคัญที่ระดับความเชื่อมั่น 95% แบบแปรผันตามกัน ส่วนขั้นบน ไม่มีความสัมพันธ์กับลักษณะทางอุตุนิยมวิทยาอย่างมีนัยสำคัญ



ภาพที่ 4.23 ทิศทางและความเร็วลม ระหว่างวันที่ 18-21 กุมภาพันธ์ พ.ศ. 2551 บริเวณขั้นล่าง ขั้นกลาง และขั้นบน ตามลำดับจากซ้ายไปขวา พื้นที่ศึกษา เขตราชเทวี กรุงเทพมหานคร

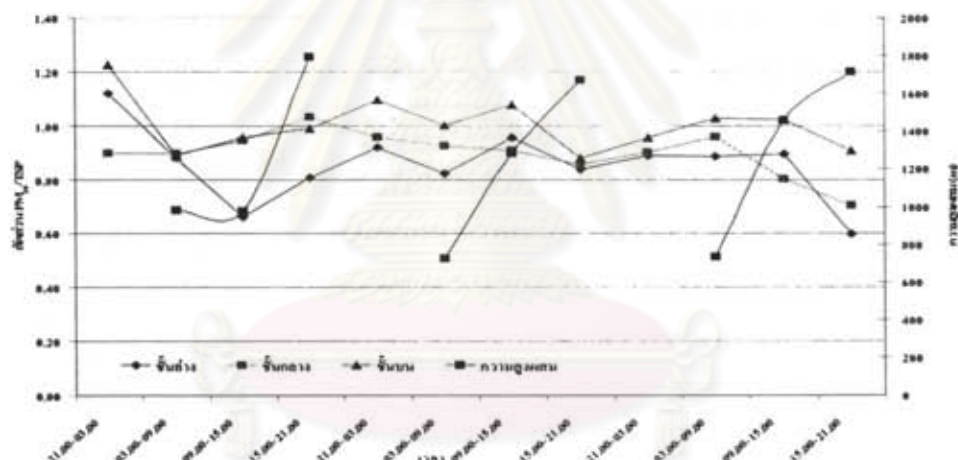
เมื่อพิจารณาจากทิศทางลมที่ทำการตรวจวัด พบว่า ทั้งสามระดับความสูง ทิศทางลมเฉลี่ยในช่วงเวลาตรวจวัดส่วนใหญ่ มาจากทิศตะวันออกเฉียงเหนือ ซึ่งช่วงวันและเวลาที่ทำการเก็บตัวอย่างเป็นช่วงฤดูหนาว จะมีลมพัดมาจากทิศตะวันออกเฉียงเหนือ จะได้รับอิทธิพล จากแหล่งกำเนิดของฝุ่นละอองจากเบตตินแดงที่มีผลการตรวจวัดค่าฝุ่นละอองในบรรยากาศสูง (ภาคผนวก ก) และความเร็วลมในชั้นกลางมีค่าสูงสุด เมื่อจากขั้นบน มีการติดตั้งงานรับส่งสัญญาณบริเวณคาดฟ้าหาดหยุดส่งผลให้กระแสลมขั้นบนไม่แรงมาก ดังภาพที่ 4.23 ซึ่งจากการพิจารณาทางสถิติ พบว่า สัดส่วนของ PM_{10}/TSP ไม่มีความสัมพันธ์กับลักษณะทางอุตุนิยมวิทยา พื้นคิว อย่างมีนัยสำคัญ

จากการตรวจวัดอุตุนิยมวิทยาขั้นบน โดยใช้ radiosond ในพื้นที่ศึกษา กรุงเทพมหานคร ระหว่างวันที่ 19-21 กุมภาพันธ์ พ.ศ. 2551 ในช่วงเวลา 00.00 03.00 06.00 09.00 12.00 และ 18.00 ซึ่งตรงกับเวลาทั้งถ้วน 07.00 น. 10.00 น. 13.00 น. 16.00 น. 19.00 น. และ 01.00 น. นำมาคำนวณความสูงพสม โดยวิธี Holzworth ดังตารางที่ 4.28 และเมื่อนำค่าความสูงมาหา

ความสัมพันธ์กับสัดส่วนของ PM_{10}/TSP โดยใช้สถิติ pearson correlation พบว่า สัดส่วนของ PM_{10}/TSP มีความสัมพันธ์กับความสูงผสานแบบแปรผกผันกัน อย่างไม่มีนัยสำคัญ ดังภาพที่ 4.24

ตารางที่ 4.28 ความสูงผสาน (เมตร) ระหว่างวันที่ 19-21 กุมภาพันธ์ พ.ศ. 2551 บริเวณพื้นที่ศึกษา เขต บางนา กรุงเทพมหานคร

วันที่/เวลา	ความสูงผสาน (เมตร)		
	19 กุมภาพันธ์ พ.ศ. 2551	20 กุมภาพันธ์ พ.ศ. 2551	21 กุมภาพันธ์ พ.ศ. 2551
01.00 น.	-	ND	ND
07.00 น.	979	724	733
10.00 น.	974	501	389
13.00 น.	1,049	1,282	1,459
16.00 น.	1,790	1,672	1,725
19.00 น.	16	1,639	1,783



ภาพที่ 4.24 สัดส่วนของ PM_{10}/TSP กับความสูงผสาน (m) ตามระดับความสูง ระหว่างวันที่ 19-21 กุมภาพันธ์ พ.ศ. 2551 บริเวณพื้นที่ศึกษา กรุงเทพมหานคร

4.4.1.3 อุบลราชธานี จังหวัดเชียงใหม่

ความสัมพันธ์ระหว่างสัดส่วนของ PM_{10}/TSP กับลักษณะทางอุตุนิยมวิทยา ตามระดับความสูงของพื้นที่ศึกษา อุบลราชธานี จังหวัดเชียงใหม่ พิจารณาความสัมพันธ์โดยใช้สถิติ pearson correlation พบว่า ทุกระดับความสูงที่ทำการศึกษา ระหว่างวันที่ 25-28 กุมภาพันธ์ พ.ศ. 2551 ไม่มีความสัมพันธ์กับลักษณะทางอุตุนิยมวิทยาอย่างมีนัยสำคัญ

เมื่อพิจารณาจากทิศทางลมที่ทำการตรวจวัด พบว่า ขั้นล่าง ทิศทางลมเคลื่อนที่ในช่วงเวลาตรวจวัดมาจากทิศตะวันออกเฉียงเหนือ ซึ่งฝุ่นละอองมากจากจุดที่เป็นแหล่งของทิ่รรเล็ก

ของเชียงใหม่คือในที่บรรทาร์เป็นส่วนใหญ่ ขั้นกลาง ทิศทางลมมาจากทิศตะวันออกเฉียงใต้และตะวันตกเฉียงเหนือ ส่วนขั้นบน มาจากทิศใต้และตะวันตกเฉียงเหนือ ดังภาพที่ 4.25 จะเห็นได้ว่า ขั้นบนมีความเร็วลมสูงสุด แต่จากการพิจารณาทางสถิติ พบว่า ความสัมพันธ์ระหว่างสัดส่วนของ PM_{10}/TSP ไม่มีความสัมพันธ์กับอุตุนิยมวิทยาอย่างมีนัยสำคัญ

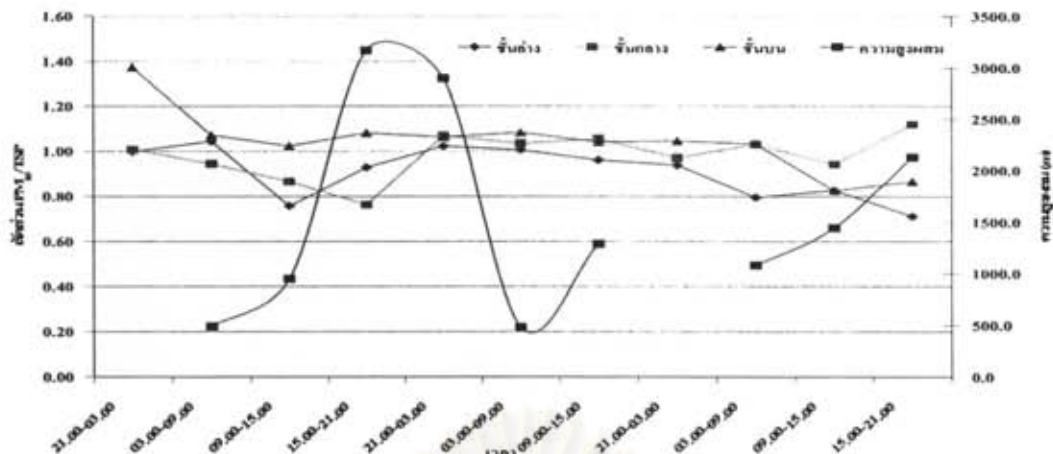


ภาพที่ 4.25 ทิศทางและความเร็วลม ระหว่างวันที่ 25-28 กุมภาพันธ์ พ.ศ. 2551 บริเวณชั้นล่าง ชั้นกลาง และชั้นบน ตามลำดับจากซ้ายไปขวา พื้นที่ศึกษา อำเภอเมือง จังหวัดเชียงใหม่

จากการตรวจอุตุนิยมวิทยาชั้นบน โดยใช้ radiosond ในพื้นที่ศึกษาอำเภอเมือง จังหวัดเชียงใหม่ ระหว่างวันที่ 26-28 กุมภาพันธ์ พ.ศ. 2551 ในช่วงเวลา 00.00 06.00 12.00 และ 18.00 ซึ่งตรงกับเวลาทั้งถ้วน 07.00 น. 13.00 น. 19.00 น. และ 01.00 น. นำมาหาค่าระดับความสูง ผสานโดยวิธี Holzworth ดังตารางที่ 4.29 และเมื่อนำค่าความสูงผสานมาหาความสัมพันธ์กับสัดส่วนของ PM_{10}/TSP โดยใช้สถิติ pearson correlation พบว่า สัดส่วนของ PM_{10}/TSP มีความสัมพันธ์กับความสูงผสานแบบแปรผกผันกัน อย่างไม่มีนัยสำคัญ ดังภาพที่ 4.26

ตารางที่ 4.29 ความสูงผสาน (เมตร) ระหว่างวันที่ 26-28 กุมภาพันธ์ พ.ศ. 2551 บริเวณพื้นที่ศึกษา อำเภอเมือง จังหวัดเชียงใหม่

วันที่/เวลา	ความสูงผสาน (เมตร)		
	26 กุมภาพันธ์ พ.ศ. 2551	27 กุมภาพันธ์ พ.ศ. 2551	28 กุมภาพันธ์ พ.ศ. 2551
01.00 น.	ND	2,899	ND
07.00 น.	490	481	1,079
13.00 น.	949	1,288	1,443
19.00 น.	3,168	742	2,130



ภาพที่ 4.26 สัดส่วนของ PM_{10}/TSP กับความสูงผืน (m) ตามระดับความสูง ระหว่างวันที่ 26-28 กุมภาพันธ์ พ.ศ. 2551 พื้นที่ศึกษา อําเภอเมือง จังหวัดเชียงใหม่

จากการศึกษาความสัมพันธ์ระหว่างสัดส่วนของ PM_{10}/TSP กับลักษณะทางอุตุนิยมวิทยาพื้นผิว คือ อุณหภูมิ ความดันบรรยากาศ รังสีคิววิงอาทิตย์ ความชื้นสัมพัทธ์ ความเร็วลม และความสูงผืน จากการตรวจวัดอุตุนิยมวิทยาขั้นบน นาหาคำสัมประสิทธิ์สหสัมพันธ์ โดยใช้สถิติ พบร่วมว่า สัดส่วนของ PM_{10}/TSP กับลักษณะทางอุตุนิยมวิทยาพื้นผิว และความสูงผืน แทนจะไม่มีความสัมพันธ์กันอย่างมีนัยสำคัญทางสถิติ ทั้ง 3 พื้นที่ศึกษา แสดงให้เห็นว่าการเปลี่ยนแปลงสัดส่วนของ PM_{10}/TSP ในแต่ละชั้นความสูงน่าจะมาจากการปัจจัยอื่น เช่น จากแหล่งกำเนิดโดยตรง

4.4.2 ความสัมพันธ์ระหว่างสัดส่วนของอินทรีย์สารรับอน และธาตุคาร์บอน (OC/EC) กับลักษณะทางอุตุนิยมวิทยา ตามระดับความสูง พื้นที่ศึกษา เบทราชเทวี กรุงเทพมหานคร

พิจารณาความสัมพันธ์ของ OC/EC กับลักษณะทางอุตุนิยมวิทยาพื้นผิว คือ อุณหภูมิ ความดันบรรยากาศ รังสีคิววิงอาทิตย์ ความชื้นสัมพัทธ์ และความเร็วลม ตามระดับความสูง ของกรุงเทพมหานคร และความสูงผืนจากการตรวจวัดอุตุนิยมวิทยาขั้นบน ในระหว่างวันที่ 18-21 กุมภาพันธ์ พ.ศ. 2551 โดยใช้สถิติ มีรายละเอียดดังนี้

1) ชั้นล่าง

จากการศึกษา สัดส่วนของ OC/EC บริเวณคาดฟ้าอากาศจอดรถชั้น 10 โรงเรียนในหอกสูง (ในหอก 1) พบร่วมว่า สัดส่วนของ OC/EC แปรผันกับความชื้นสัมพัทธ์และความดันบรรยากาศ อย่างมีนัยสำคัญที่ระดับความเชื่อมั่น 99% แปรผันตามกับรังสีคิววิงอาทิตย์ อย่างมีนัยสำคัญที่ระดับความเชื่อมั่น 95% และแปรผันตามอุณหภูมิ อย่างมีนัยสำคัญที่ระดับความเชื่อมั่น 99%

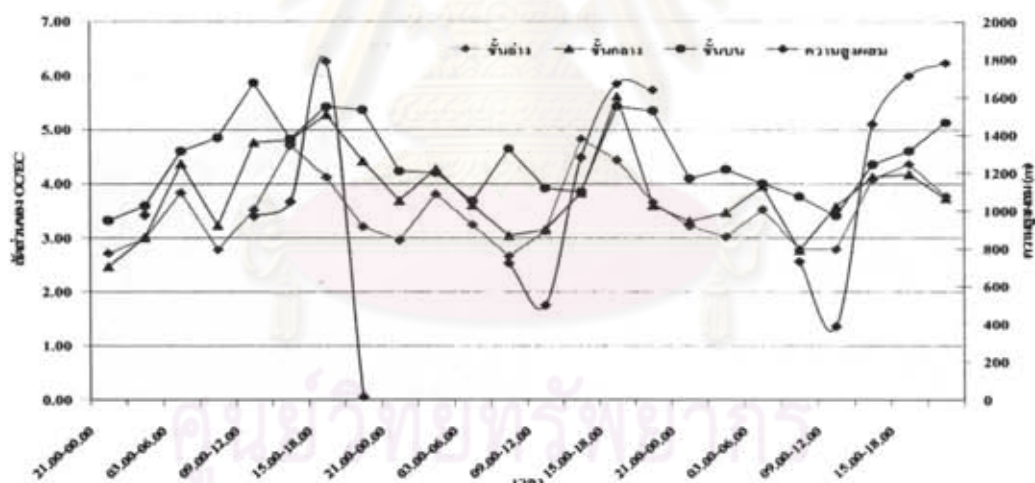
2) ขั้นก่อตัว

จากการศึกษา สัดส่วนของ OC/EC บริเวณค่าพื้น โรงเรมในเขตกรุงเทพ (ใบหยก 1) พบว่า สัดส่วนของ OC/EC แปรผันกับความชื้นสัมพัทธ์ อย่างมีนัยสำคัญที่ระดับความเชื่อมั่น 99% แต่ แปรผันตามอุณหภูมิ อย่างมีนัยสำคัญที่ระดับความเชื่อมั่น 99%

3) ขั้นบน

จากการศึกษา สัดส่วนของ OC/EC บริเวณค่าพื้น โรงเรมในเขตกรุงเทพ (ใบหยก 2) พบว่า สัดส่วนของ OC/EC แปรผันกับความชื้นสัมพัทธ์ อย่างมีนัยสำคัญที่ระดับความเชื่อมั่น 95% แต่ แปรผันตามอุณหภูมิ อย่างมีนัยสำคัญที่ระดับความเชื่อมั่น 95%

การหาความสัมพันธ์ระหว่างสัดส่วนของ OC/EC กับความสูงผิวน้ำ (ตารางที่ 4.28) โดยใช้สถิติ pearson correlation พบว่า ขั้นล่าง สัดส่วนของ OC/EC มีความสัมพันธ์กับความสูงผิวน้ำ แบบแปรผันตามกันอย่างมีนัยสำคัญที่ระดับความเชื่อมั่น 99% ส่วนขั้นกลางและขั้นบนมี ความสัมพันธ์แบบแปรผันตามกันเช่นเดียวกันอย่างไม่มีนัยสำคัญ ดังแสดงในภาพที่ 4.27



ภาพที่ 4.27 สัดส่วนของ OC/EC กับความสูงผิวน้ำ (m) ตามระดับความสูง ระหว่างวันที่ 18-21 กุมภาพันธ์ พ.ศ. 2551 ที่น้ำที่ศึกษา เขตราชเทวี กรุงเทพมหานคร

จากการศึกษาความสัมพันธ์ระหว่างสัดส่วนของ OC/EC กับลักษณะทางอุตุนิยมวิทยา ตามระดับความสูง ที่น้ำที่ศึกษา เขตราชเทวี กรุงเทพมหานคร ในระหว่างวันที่ 18-21 กุมภาพันธ์ พ.ศ. 2551 พบว่า สัดส่วนของ OC/EC แปรผันกับความชื้นสัมพัทธ์ แต่จะแปรผันตามอุณหภูมิ อย่างมี นัยสำคัญ เนื่องมาจากการเกิด OC จะเกิดได้ในช่วงที่มีแสงของวันซึ่งเป็นช่วงเวลาที่มีอุณหภูมิสูง ทำให้พันค่า OC/EC มีค่าสูงในช่วงเวลาที่มีอุณหภูมิสูงด้วย และสัดส่วนของ OC/EC บังแปรผันตาม

ความสูงผสม ทั้งสามระดับความสูง เนื่องจากระดับความสูงผสมมีค่าเพิ่มขึ้นในช่วงเวลากลางวัน ซึ่งเป็นช่วงเวลาที่มีแสงที่เหมาะสมกับการเกิดปฏิกิริยาทางไฟฟ้าเคมีกอล ของ SOC เมื่อ OC มีค่าสูง ส่งผลให้สัดส่วนของ OC/EC ในช่วงเวลากลางวันมีค่าสูงด้วย และคงให้เห็นว่าปัจจัยทางอุตุนิยมวิทยา ที่มีความสัมพันธ์กับสัดส่วนของ OC/EC ตามระดับความสูงของพื้นที่ศึกษานี้ คือความชื้นสัมพัทธ์ อุณหภูมิ และความสูงผสม



บทที่ 5

สรุปผลการศึกษาและข้อเสนอแนะ

5.1 สรุปผลการศึกษา

5.1.1 การเปลี่ยนแปลงความเข้มข้น และสัดส่วนของฝุ่นละออง ในรอบวัน ตามชั้นความสูง

การตรวจวัดความเข้มข้นและความเข้มข้นในรอบวันเฉลี่ยของฝุ่นละอองรวม และฝุ่นละอองขนาดไม่เกิน 10 ไมโครเมตร ตามชั้นความสูง 3 ระดับคือ ชั้นล่าง ชั้นกลาง และชั้นบน ใน 3 พื้นที่ศึกษาคือ อำเภอหาดใหญ่ จังหวัดสงขลา เขตราชเทวี กรุงเทพมหานคร และ อำเภอเมือง จังหวัดเชียงใหม่ สามารถสรุปได้ดังต่อไปนี้

5.1.1.1 ความเข้มข้นของฝุ่นละอองรวม และฝุ่นละอองขนาดไม่เกิน 10 ไมโครเมตร ตามชั้นความสูง

ความเข้มข้นของ TSP และ PM_{10} ตามระดับความสูง พิจารณาโดยทางสถิติ พบว่า พื้นที่ศึกษา เขตราชเทวี กรุงเทพมหานคร ค่า TSP และความสัมพันธ์กับความสูงแบบแปรผกผันกับความสูงอย่างมีนัยสำคัญสูง ส่วน PM_{10} มีความสัมพันธ์กับความสูงแบบแปรผกผันกับความสูงอย่างไม่มีนัยสำคัญ คือทั้ง TSP และ PM_{10} จะลดลงตามความสูง แต่ในพื้นที่นี้ TSP จะเห็นได้ชัดเจนกว่า PM_{10} และ อำเภอเมือง จังหวัดเชียงใหม่ ทั้ง TSP และ PM_{10} มีความสัมพันธ์กับความสูงแบบแปรผกผันกับความสูง อย่างไม่มีนัยสำคัญ ซึ่ง TSP จะมีค่าความสัมพันธ์สูงกว่า PM_{10} เนื่องจากความสูงของพื้นที่ที่ตั้งอยู่ในพื้นที่ ทั้งในพื้นที่ศึกษา อำเภอหาดใหญ่ จังหวัดสงขลา ได้รับอิทธิพลจากฝน และความชื้นที่สูง ส่งผลให้ TSP มีค่าไม่แตกต่างกับ PM_{10} และปัจจัยทางกายภาพที่ก่อให้เกิดการปั่นป่วนทางกายภาพในบางจุดเก็บตัวอย่าง ส่งผลให้ ความเข้มข้นของฝุ่นละอองที่อำเภอหาดใหญ่ไม่แสดงความสัมพันธ์อย่างมีนัยสำคัญกับระดับความสูง

จากการพิจารณาทางสถิติ ทุกพื้นที่ที่ตรวจวัด พบว่า ความเข้มข้นของ TSP ส่วนใหญ่ มีค่าแตกต่างกันตามระดับความสูงอย่างมีนัยสำคัญ ส่วนความเข้มข้นของ PM_{10} พบว่า ไม่มีความแตกต่างกันตามระดับความสูง เนื่องมาจากคุณสมบัติในการแขวนล้อของฝุ่นในบรรยากาศของ PM_{10} นานกว่า TSP ทำให้ในระดับความสูงขึ้นไปข้างบนสามารถแขวนล้อของฝุ่นได้ จึงพบความเข้มข้นของ PM_{10} ในแต่ละระดับชั้นความสูงมีค่าไม่แตกต่างทางสถิติ เมื่อพิจารณาการเปลี่ยนแปลงความ

เข้มข้นของ TSP และ PM_{10} ต่อความสูง 1 เมตร ทั้ง 3 พื้นที่ศึกษา พบว่า พื้นที่ศึกษา กรุงเทพมหานคร และ เชียงใหม่ มีค่าเฉลี่ยของการเปลี่ยนแปลงความเข้มข้นต่อ 1 เมตรของ PM_{10} ลดลงตามระดับความสูงด้วยอัตรา 0.03 และ 0.01 ในกรุงรัตน์ต่ออุกุนาศก์เมตรต่อ 1 เมตร ตามลำดับ ส่วน TSP ลดลงตามระดับความสูงด้วยอัตรา 0.10 และ 0.13 ในกรุงรัตน์ต่ออุกุนาศก์เมตรต่อ 1 เมตร ตามลำดับ ซึ่งจะเห็นได้ว่าในทั้ง 2 พื้นที่ศึกษามีอัตราการลดลงของความเข้มข้นของฝุ่นละอองทั้งสองชนิดต่อมetr ใกล้เคียงกัน ทั้งๆที่แหล่งกำเนิดของฝุ่นละอองแตกต่างกัน ซึ่งอาจจะนำไปสู่ การศึกษาเพิ่มเติมเพื่อให้ได้ข้อมูลที่ชัดเจนยิ่งขึ้น ส่วนของพื้นที่ศึกษาอ้าเกอหาดใหญ่ จังหวัดสงขลา จะแตกต่างจากผลดังที่กล่าวมาแล้ว เนื่องจากปัจจัยดังที่กล่าวมาข้างต้น

5.1.1.2 สัดส่วนระหว่างฝุ่นละอองขนาดไม่เกิน 10 ไมโครเมตร และ ฝุ่นละอองรวม (PM_{10}/TSP) ในรอบวันเฉลี่ย

ผลการพิจารณาสัดส่วนของ PM_{10}/TSP ตามระดับความสูง โดยใช้สถิติ สรุปได้ว่า มีแนวโน้มแปรผันตามความสูง ในพื้นที่ศึกษากrüngเทพมหานครและจังหวัดเชียงใหม่ มี ความสัมพันธ์กับความสูงอย่างมีนัยสำคัญยิ่ง คือเมื่อระดับความสูงเพิ่มขึ้นสัดส่วนของ PM_{10}/TSP จะมีค่าสูงขึ้นด้วย เนื่องมาจาก TSP มีแหล่งกำเนิดหลักจากในพื้นที่ และมีระยะเวลาการแพร่ลง ในอากาศได้ไม่นานเท่า PM_{10} ทำให้ในระดับความสูงที่เพิ่มขึ้นพบ PM_{10} ได้นากกว่า TSP ส่งผลให้ ค่าสัดส่วนของ PM_{10}/TSP มีค่าแปรผันตามความสูง ยกเว้นพื้นที่ศึกษาอ้าเกอหาดใหญ่ ที่สัดส่วน ของ PM_{10}/TSP ไม่มีความสัมพันธ์กับระดับความสูง เนื่องจากปัจจัยทางการปั่นป่วนทางภัยภุม ประกอบกับช่วงเวลาที่การเก็บตัวอย่างมีฝนตกในหลายช่วงเวลา ซึ่งน้ำฝนจะฉะล้างฝุ่นละอองทำให้ ความเข้มข้นของฝุ่นละอองในอ้าเกอหาดใหญ่มีค่าไม่สูง และจากการหาค่าเฉลี่ยในรอบวันเฉลี่ย พบว่า ช่วงเวลาที่สัดส่วนของ PM_{10}/TSP มีค่าสูงที่สุดของพื้นที่ศึกษา เขตราชเทวี กรุงเทพมหานคร คือ 21.00-03.00 น. มีปัจจัยมาจากการปิดคลื่นจากท่อไอเสียของเครื่องยนต์คีเซลเป็นหลัก ส่วน เชียงใหม่ พบว่ามีค่าสูงในช่วงเวลานี้ เช่นกัน ซึ่งมาจากการเผาใบไม้ ไถ่เป็นหลัก ส่งผลให้พื้น สัดส่วนของ PM_{10}/TSP สูงในช่วงเวลาดังกล่าว

5.1.2 องค์ประกอบทางเคมีในฝุ่นละอองขนาดไม่เกิน 10 ไมโครเมตร บริเวณพื้นที่ศึกษา เขต ราชเทวี กรุงเทพมหานคร

การวิเคราะห์องค์ประกอบทางเคมีใน PM_{10} ได้แก่ สารอินทรีย์ ธาตุคาร์บอน โซเดียม แอมโมเนียม โปแทสเซียม และแคลเซียม คลอไรด์ ในเครื่อง ชัลเฟต และสารประกอบอื่นๆ โดย การหาสัดส่วนขององค์ประกอบทางเคมีโดยน้ำหนัก พบว่า ทั้ง 3 ระดับความสูง มีค่าสัดส่วนของ other species สูงสุด รองลงมาคือ อินทรีย์คาร์บอน ชัลเฟต ธาตุคาร์บอน และในเครื่อง ตามลำดับ

แสดงให้เห็นว่าแหล่งกำเนิดขององค์ประกอบทางเคมีของฝุ่นละอองขนาดไม่เกิน 10 ไมโครเมตร ในพื้นที่ศึกษา เขตราชเทวี กรุงเทพมหานคร มาจากการปลดปล่อยจากขนาดน้ำที่เป็นส่วนใหญ่ และเมื่อพิจารณาทางสถิติ พบว่า ร้อยละของอินทรีชาร์บอน ชาลไฟด์ และ other species ที่มีอยู่ในชั้นล่างจะมีค่าต่ำสุด ซึ่งแตกต่างจากชั้นกลางและชั้นบน อย่างมีนัยสำคัญ ส่วนโซเดียม โปรดักเซียน แคลเซียม คลอไรด์ และ ไนเตรท ทั้ง 3 ระดับความสูงจะพบความเข้มข้นต่ำและไม่มีความแตกต่างกันอย่างมีนัยสำคัญ ซึ่งโซเดียม และคลอไรด์ แหล่งกำเนิดส่วนใหญ่มาจากการทะเล ทำให้พบว่าฝุ่นละอองที่ตรวจพบไม่ได้มาจากทะเลเป็นหลัก

5.1.3 องค์ประกอบการ์บอนและสัดส่วนขององค์ประกอบการ์บอน ในฝุ่นละอองขนาดไม่เกิน 10 ไมโครเมตร ตามระดับความสูง พื้นที่ศึกษา เขตราชเทวี กรุงเทพมหานคร

ทำการวิเคราะห์ความเข้มข้นขององค์ประกอบการ์บอนและสัดส่วนขององค์ประกอบการ์บอน (OC/EC) ใน PM_{10} ตามระดับความสูง คือ ชั้nl่าง ชั้นกลาง และชั้นบน ในพื้นที่ศึกษา เขตราชเทวี กรุงเทพมหานคร และหาค่าเฉลี่ยเป็นรายชั่วโมง เพื่อคุณภาพเปลี่ยนแปลงในรอบวัน สามารถสรุปได้ดังนี้

5.1.3.1 องค์ประกอบของการ์บอนในฝุ่นละอองขนาดไม่เกิน 10 ไมโครเมตร และความเข้มข้นในรอบวันเฉลี่ย ตามระดับความสูง

ความเข้มข้นขององค์ประกอบการ์บอนใน PM_{10} ทั้ง 3 ระดับในกรุงเทพมหานคร พบว่า ชั้nl่าง มีค่า OC1 และ OC2 เฉลี่ยสูงสุด คือ 3.7 ± 0.4 9.3 ± 2.5 ไมโครกรัมต่อลูกบาศก์เมตร ตามลำดับ ชั้นกลาง มีค่า OC3 OC4 EC1 และ EC3 เฉลี่ยสูงสุด เท่ากับ 16.2 ± 2.3 9.1 ± 2.7 13.1 ± 2.4 และ 0.6 ± 0.4 ไมโครกรัมต่อลูกบาศก์เมตร ตามลำดับ และชั้นบนมีค่า EC2 เฉลี่ยสูงสุด เท่ากับ 1.6 ± 0.3 ไมโครกรัมต่อลูกบาศก์เมตร

เมื่อเปรียบเทียบความเข้มข้นขององค์ประกอบการ์บอน ในแต่ละระดับความสูง โดยใช้สถิติ พบว่า EC ชั้นบนมีค่าต่ำสุด ซึ่งแตกต่างกับชั้nl่างและชั้นกลาง อย่างมีนัยสำคัญ EC3 จะมีค่าแตกต่างกันในทุกระดับความสูง อย่างมีนัยสำคัญ องค์ประกอบอื่นๆในการ์บอน ตามระดับความสูงจะไม่แตกต่างกัน ส่วนความสัมพันธ์ระหว่าง OC และ EC กับ PM_{10} พบว่า ชั้nl่างและชั้นบน OC และ EC มีความสัมพันธ์ทางบวกกับ PM_{10} อย่างมีนัยสำคัญสูง ส่วนในชั้nl่าง OC มีความสัมพันธ์ทางบวกกับ PM_{10} อย่างมีนัยสำคัญสูง EC มีความสัมพันธ์ทางบวกกับ PM_{10} อย่างมีนัยสำคัญ ซึ่งจากการหาค่าความสัมพันธ์นี้จะเห็นได้ว่าความเข้มข้นของ OC และ EC แปรผันตรงกับความเข้มข้นของ PM_{10} ในทุกระดับความสูงที่ทำการศึกษา ส่งผลให้ พนความเข้มข้นขององค์ประกอบการ์บอนส่วนใหญ่มีค่าสูงในช่วงเวลากลางคืน ซึ่งเมื่อพิจารณาความเข้มข้นของ PM_{10}

ของพื้นที่ศึกษากรุ่งเทพมหานคร จะเห็นว่า PM_{10} ในทุกระดับความสูงมีค่าสูงขึ้นในช่วงเวลา
กลางคืนเช่นเดียวกัน เนื่องมาจากแหล่งกำเนิดของ PM_{10} มาจากการปลดปล่อยจากเครื่องยนต์ดีเซล
ซึ่งมีปริมาณมากในช่วงเวลากลางคืน

เมื่อพิจารณาองค์ประกอบการบ่อนอน ในทุกระดับความสูงของพื้นที่ศึกษา พบว่า
มีความเข้มข้นของ OC3 สูงที่สุด รองลงมาคือ EC1 และให้เห็นว่าแหล่งกำเนิดการบ่อนอนทั้งสาม
ระดับขั้นของพื้นที่ศึกษา มาจากการปลดปล่อยไออกซีเจนจากเครื่องยนต์เบนซิน และ ก๊าซปีโตรเลียม^{เหลว} (LPG) เป็นหลัก ส่วน OC2 ที่พบมากเป็นอันดับที่สาม เป็นตัวบอกได้ว่า การบ่อนอนมาจากการ
ปลดปล่อยไออกซีเจนดีเซล และ OC2 OC3 ซึ่งใช้อุณหภูมิในการวิเคราะห์อยู่ในช่วง 350
°C บ่งบอกว่าองค์ประกอบการบ่อนอนส่วนใหญ่ที่ตรวจวัดได้เป็น VOC

5.1.3.1.1 ร้อยละขององค์ประกอบการบ่อนอน ในฝุ่นละอองขนาดไม่เกิน 10 ไมโครเมตร

การศึกษาร้อยละขององค์ประกอบการบ่อนอน ใน PM_{10} โดยจะเลือก
ศึกษา ร้อยละของ TC OC และ EC ใน PM_{10} เพื่อเปรียบเทียบความแตกต่างกัน ความเข้มข้นของ TC OC
และ EC ใน PM_{10} พบว่า ร้อยละของ TC ใน PM_{10} และ EC ใน PM_{10} จะพบค่าสูงสุดในชั้นกลาง
และต่ำสุดในชั้นล่าง ส่วนร้อยละของ OC ใน PM_{10} จะพบค่าเฉลี่ยสูงสุดในชั้นกลางและชั้นบน ส่วน
ค่าต่ำสุดจะพบในชั้นล่าง เช่นเดียวกับ TC และ EC เมื่อเปรียบเทียบค่าร้อยละใน PM_{10} ระหว่างชั้น
ความสูง โดยใช้สถิติ จะเห็นได้ว่า ร้อยละของ TC และ OC ใน PM_{10} มีค่าในชั้นล่าง แตกต่างจากชั้น
กลางและชั้นบน อ่างมีน้ำสำคัญ ส่วน EC ใน PM_{10} จะมีค่าแตกต่างกันในทุกระดับชั้นที่
ทำการศึกษา เมื่อเปรียบเทียบทางสอดคล้องของ TC OC EC ใน PM_{10} ในแต่ละระดับความสูง ระหว่าง
ร้อยละขององค์ประกอบการบ่อนอนใน PM_{10} และความเข้มข้นขององค์ประกอบการบ่อนอนใน PM_{10} จะ
เห็นได้ว่า เราสามารถแยกความแตกต่างระหว่างร้อยละใน PM_{10} ตามระดับความสูงได้ชัดเจนยิ่งขึ้น
เมื่อเทียบกับการใช้ความเข้มข้นขององค์ประกอบการบ่อนอนจากการตรวจวัด ซึ่งไม่สามารถบอก
ความแตกต่างทางสถิติในแต่ละระดับความสูง และข้อพนว่า ร้อยละของ OC และ EC ใน TC ทั้งสาม
ระดับความสูง พบว่า OC ใน TC มีแนวโน้มของค่าเฉลี่ยจะเพิ่มขึ้นตามระดับความสูง ส่วน EC ใน TC
มีแนวโน้มของค่าเฉลี่ยร้อยละจะลดลงตามระดับความสูง และจากการวิเคราะห์ทางสถิติ พบว่า ใน
ชั้นบนมีค่าแตกต่างกับชั้นล่างและชั้นกลาง อ่างมีน้ำสำคัญ และ ร้อยละของ OC ใน TC มีค่าแปรผัน
ตามระดับความสูง อ่างมีน้ำสำคัญยิ่ง ส่วน EC ใน TC จะแปรผันกับระดับความสูง อ่างมี
น้ำสำคัญยิ่ง

5.1.3.2 สัดส่วนขององค์ประกอบการบันบน อินทรีย์การบันบนขั้นที่สอง ในฝุ่นละอองขนาดไม่เกิน 10 ไมโครเมตร พื้นที่ศึกษา เขตราชเทวี กรุงเทพมหานคร

ผลการตรวจวัดองค์ประกอบการบันบนใน PM_{10} นำมาหาค่าสัดส่วนของ OC/EC และหาค่าในรอบวันเฉลี่ย เพื่อถูกการเปลี่ยนแปลง ในรอบวัน จากนั้นนำค่าสัดส่วนของ OC/EC มาหาค่าอินทรีย์การบันบนขั้นที่ 2 (SOC) เพื่อพิจารณาแหล่งกำเนิดของ OC ที่ตรวจวัดได้ ตามระดับความสูง สามารถสรุปได้ดังต่อไปนี้

5.1.3.3.1 สัดส่วนของ OC/EC ในฝุ่นละอองขนาดไม่เกิน 10 ไมโครเมตร

จากการหาค่าสัดส่วนของ OC/EC ใน PM_{10} ทั้งสามระดับความสูงในพื้นที่ศึกษา เขตราชเทวี กรุงเทพมหานคร พบว่า ขั้นบนมีค่าเฉลี่ยสูงที่สุด รองลงมาคือชั้นกลาง และชั้นล่าง ตามลำดับ สัดส่วนของ OC/EC ที่พบมีค่าแปรผันตามความสูง และจากการหาค่าสัดส่วนในรอบวันเฉลี่ย พบว่า ทั้ง 3 ระดับความสูงมีค่าสัดส่วนของ OC/EC สูงสุดในช่วงบ่ายถึงค่ำ เมื่อเปรียบเทียบสัดส่วนของ OC/EC ในแต่ละระดับความสูง โดยใช้สถิติ พบว่า ค่าสัดส่วนมีความแตกต่างกันอย่างมีนัยสำคัญ ทุกระดับความสูง เมื่อพิจารณาความสัมพันธ์ ระหว่าง OC และ EC โดยทางสถิติ พบว่า ชั้นล่างมีความสัมพันธ์ สูงที่สุด ซึ่งใกล้เคียงกับชั้นกลาง และชั้นบนมีความสัมพันธ์ค่อนข้างต่ำ OC และ EC ในแต่ละระดับความสูงมีความสัมพันธ์กันอย่างมีนัยสำคัญ ความสัมพันธ์ของ OC และ EC ที่ชั้นล่างและชั้นกลาง มีค่าใกล้เคียงกัน

5.1.3.3.2 อินทรีย์การบันบนขั้นที่สอง (Secondary organic carbon) ในฝุ่นละอองขนาดไม่เกิน 10 ไมโครเมตร

การศึกษา SOC ใน PM_{10} โดยใช้ค่าสัดส่วนของ OC/EC และความเข้มข้นของ OC และ EC มาหาค่า SOC จากนั้นคำนวณหาค่า ร้อยละของ SOC ใน OC และหาค่าเฉลี่ยในรอบวัน พบว่า SOC และร้อยละของ SOC/OC มีค่าเฉลี่ยรวมสูงสุดในชั้นกลาง คือ 10.76 ± 3.75 ในไกรกรั่นต่ออุกباتก์เมตร และร้อยละ 33.26 ± 10.80 ตามลำดับ ซึ่งสอดคล้องกับความเข้มข้นของ OC ที่พบว่า มีค่าเฉลี่ยสูงสุดในชั้นกลางเช่นกัน และเมื่อพิจารณาค่าเฉลี่ยในรอบวันจะพบว่า SOC และร้อยละของ SOC/OC มีค่าสูงในช่วงเวลา 12.00-21.00 น.

5.1.4 ความสัมพันธ์ระหว่างสัดส่วนของฝุ่นละอองขนาดไม่เกิน 10 ไมโครเมตร และฝุ่นละอองรวม (PM_{10}/TSP) สัดส่วนของอินทรีย์การบันบน และธาตุการบันบน (OC/EC) กับลักษณะทางดุรนิยมวิทยา ตามระดับความสูง

5.1.4.1 ความสัมพันธ์ระหว่างสัดส่วนของฝุ่นละอองขนาดไม่เกิน 10 ไมโครเมตร และฝุ่นละอองรวม (PM_{10}/TSP) กับลักษณะทางอุตุนิยมวิทยา ตามระดับความสูง

การหาความสัมพันธ์ระหว่างสัดส่วนของ PM_{10}/TSP กับลักษณะทางอุตุนิยมวิทยา คือ อุณหภูมิ ความดันบรรยากาศ รังสีคิวบิกทีด์ ความชื้นสัมพัทธ์ ความเร็วลม และความสูงผสม พนวณว่า สัดส่วนของ PM_{10}/TSP กับลักษณะทางอุตุนิยมวิทยาพื้นผิว และความสูงผสม ไม่มีความสัมพันธ์กันอย่างมีนัยสำคัญทางสถิติ ทั้ง 3 พื้นที่ศึกษา แสดงให้เห็นว่าการเปลี่ยนแปลงสัดส่วนของ PM_{10}/TSP ในแต่ละชั้นความสูงน่าจะมาจากปัจจัยอื่น เช่น แหล่งกำเนิดโดยตรง

5.1.4.2 ความสัมพันธ์ระหว่างสัดส่วนของ OC/EC กับลักษณะทางอุตุนิยมวิทยา ตามระดับความสูง พื้นที่ศึกษา เขตราชเทวี กรุงเทพมหานคร

พิจารณาความสัมพันธ์ของ OC/EC กับลักษณะทางอุตุนิยมวิทยา คือ อุณหภูมิ ความดันบรรยากาศ รังสีคิวบิกทีด์ ความชื้นสัมพัทธ์ ความเร็วลม และความสูงผสม พนวณว่า สัดส่วนของ OC/EC แปรผกผันกับความชื้นสัมพัทธ์ แต่จะแปรผันตามอุณหภูมิ อย่างมีนัยสำคัญ และแปรผันตามความสูงผสม ทั้งสามระดับความสูง แสดงให้เห็นว่าปัจจัยทางอุตุนิยมวิทยาที่มีความสัมพันธ์กับสัดส่วนของ OC/EC ตามระดับความสูงของพื้นที่ศึกษานี้ คือความชื้นสัมพัทธ์ อุณหภูมิ และความสูงผสม

สิ่งที่ได้จากการวิจัยนี้ คือฝุ่นละอองขนาดไม่เกิน 10 ไมโครเมตร ซึ่งเป็นฝุ่นละอองขนาดเล็กที่เป็นอันตรายต่อสุขภาพของมนุษย์ พนวณว่ามีค่าไม่แตกต่างกันในแต่ละระดับความสูง อาจสะสูมรวมตัวเป็นฝุ่นละอองขนาดใหญ่ได้ และคงจะสะสมลงสู่เบื้องล่าง สร้างสัดส่วนของ PM_{10}/TSP ที่ได้จากการศึกษาสามารถออกแบบไว้ในของฝุ่นละอองแต่ละขนาดตามระดับความสูงได้ และอัตราการลดลงของฝุ่นละอองต่อความสูง 1 เมตร สามารถใช้เป็นแนวทางในการศึกษาในพื้นที่ศึกษาอื่นๆ ต่อไป ซึ่งนำไปสู่การทำนายการเปลี่ยนแปลงของฝุ่นละอองตามระดับความสูงของพื้นที่ศึกษาในประเทศไทยได้ และข้อพนอิงว่าฝุ่นละออง และสารประกอบ carcinogen มีค่าสูงในช่วงกลางคืน อันมีอินทรีย์ carcinogen ซึ่งประกอบด้วยสารก่อมะเร็งต่างๆ เช่น PAHs สารประกอบอะโรเมติก มีโอกาสก่อให้เกิดอันตรายต่อสุขภาพของมนุษย์ในช่วงเวลาดังกล่าวสูงที่สุด จากการศึกษาวัดถูกประสงค์หลักของงานวิจัยนี้ผู้เชี่ยวชาญในเรื่องการศึกษาความเสี่ยงของมลสาร สารเคมี และแหล่งกำเนิดส่งผลต่อสัดส่วนของมลสารในแต่ละช่วงเวลา เช่นกัน

5.2 ข้อเสนอแนะ

5.2.1 ควรเลือกในพื้นที่ศึกษาที่มีแหล่งกำเนิดที่แตกต่างกัน

5.2.2 ควรเพิ่มความถี่ จำนวนวันในการเก็บตัวอย่าง หรือหอหลายดูดูกาล เพื่อให้ได้ข้อมูลที่น่าเชื่อถือมากขึ้น

5.2.3 ควรศึกษาองค์ประกอบทางเคมีของผุ่นละอองเพิ่มเติม เพื่อสามารถจำแนกถึงแหล่งกำเนิดของผุ่นละอองตามระดับความสูงได้ชัดเจนยิ่งขึ้น เช่น โลหะหนัก



ศูนย์วิทยทรัพยากร
จุฬาลงกรณ์มหาวิทยาลัย

รายการอ้างอิง

ภาษาไทย

กรมส่งเสริมคุณภาพสิ่งแวดล้อม. 2549. รายงานสถานการณ์คุณภาพสิ่งแวดล้อม พ.ศ. 2549.

[Online]. กรุงเทพมหานคร. แหล่งที่มา: <http://www.onep.go.th/> [5 มกราคม พ.ศ. 2552]

กัลยากร ตั้งอุไรวรรณ. 2549. การเปลี่ยนแปลงความเข้มข้นและองค์ประกอบทางเคมีของฝุ่นละอองขนาดไม่เกิน 10 ไมครอน ในจังหวัดสมุทรปราการ. วิทยานิพนธ์ปริญญาบัณฑิต สาขาวิชาชีววิทยาศาสตร์สิ่งแวดล้อม บัณฑิตวิทยาลัย จุฬาลงกรณ์มหาวิทยาลัย เกษม จันทร์แก้ว. 2522. คุณภาพของค่าบรรยาย อุณหิญวิทยาไอลัมบิน. ภาควิชาอนุรักษ์วิทยา คณะวิทยาศาสตร์ มหาวิทยาลัยเกษตรศาสตร์, กรุงเทพฯ.

ธิดา อินทเสน. 2551. ลักษณะของขั้นบรรณาการที่มีผลต่อการกระจายตัวของก้าชไอโซน ออกไซด์ของไนโตรเจน และก้าชคาร์บอนมอนอกไซด์ตามแนวระดับความสูง และการเปลี่ยนแปลงของสารประกอบพอลิไชคลิกอะโรมาติกไไฮดรัสบอนในเขตเมือง. วิทยานิพนธ์ปริญญา มหาบัณฑิต สาขาวิชาชีววิทยาศาสตร์สิ่งแวดล้อม บัณฑิตวิทยาลัย จุฬาลงกรณ์มหาวิทยาลัย นพภพ พานิช และแสงสันติ พานิช. 2544. แบบจำลองทางคณิตศาสตร์ด้านคุณภาพอากาศ. พิมพ์ครั้งที่ 1. กรุงเทพมหานคร: สำนักพิมพ์จุฬาลงกรณ์มหาวิทยาลัย.

นิพนธ์ ตั้งคณาณรักษ์ และ ภพิตา ตั้งคณาณรักษ์. 2552. เกณฑ์บรรยายอากาศ. พิมพ์ครั้งที่ 1. กรุงเทพมหานคร: สำนักพิมพ์มหาวิทยาลัยเกษตรศาสตร์.

นิตยา มหาพล. 2533. เอกสารการสอนชุดวิชาภูมายสิ่งแวดล้อม หน่วยที่ 8 สาขาวิชานิติศาสตร์ มหาวิทยาลัยสุโขทัยธรรมราษฎร์. พิมพ์ครั้งที่ 1. กรุงเทพมหานคร: สำนักพิมพ์มหาวิทยาลัยสุโขทัยธรรมราษฎร์.

วรรุษ เสือดี. 2542. การประเมินผลกระทบด้านมลพิษทางอากาศโดยใช้แบบจำลองทางคณิตศาสตร์. กรุงเทพมหานคร: สำนักพิมพ์มหาวิทยาลัยธรรมศาสตร์.

วนิดา จินศาสตร์. 2550. มลพิษอากาศและการจัดการคุณภาพอากาศ. ภาควิชาชีววิทยาศาสตร์ทั่วไป กรุงเทพมหานคร: สำนักพิมพ์จุฬาลงกรณ์มหาวิทยาลัย.

วิชา นิยม. 2535. อุทกิจชาป่าไม้. พิมพ์ครั้งที่ 3. กรุงเทพมหานคร: สำนักพิมพ์มหาวิทยาลัยเกษตรศาสตร์.

วงศ์พันธ์ ลิมป์เสนีย์, นิตยา มหาพล และธีระ เกรอต. 2543. มลพิษอากาศ. กรุงเทพมหานคร: สำนักพิมพ์จุฬาลงกรณ์มหาวิทยาลัย.

ศิริวรรณ แก้วจัน. 2543. สัมฐานและองค์ประกอบมาตรฐานของฝุ่นละอองที่มีขนาดเล็กกว่า 10 ไมครอน. วิทยานิพนธ์ปริญญามหาบัณฑิต สาขาวิชาวิทยาศาสตร์สิ่งแวดล้อม บัณฑิต วิทยาลัย จุฬาลงกรณ์มหาวิทยาลัย

ส่วนแผนงานและประเมินผล สำนักจัดการคุณภาพอากาศและเสียง กรมควบคุมมลพิษ. ผลการ ตรวจวัดคุณภาพอากาศของประเทศไทย ปีพ.ศ. 2547-2551. [Online]. กรุงเทพมหานคร. แหล่งที่มา: www.aqnis.pcd.go.th. [13 พฤษภาคม พ.ศ. 2551]

สุรัตน์ นัวเดช. ขอบเขตของขั้นบรรยาย. เอกสารประกอบการสอนวิชา Fundamental Air Pollution [Online]. กรุงเทพมหานคร. แหล่งที่มา: <http://asrg2006.googlepages.com>. [5 พฤษภาคม 2550]

สุวพันธ์ นิลากาน. 2543. อุดมสิริวิทยา. พิมพ์ครั้งที่ 4. กรุงเทพมหานคร: สำนักพิมพ์จุฬาลงกรณ์ มหาวิทยาลัย.

สำนักการจัดการคุณภาพอากาศและเสียง, กรมควบคุมมลพิษ, กระทรวงทรัพยากรธรรมชาติและ สิ่งแวดล้อม. 2546. คู่มือการตรวจวัดฝุ่นละอองในบรรยายกาศ: พิมพ์ครั้งที่ 1. กรุงเทพมหานคร.

ภาษาอังกฤษ

- Arya, S. P. 1999. Air pollution metrology and dispersion. Oxford University Press, USA.
- Badarinath, K.V.S. and Latha, K.M. 2005. Direct radiative forcing from black carbon aerosols over urban environment, Advances in Space Research 37: 2183-2188.
- Cao, J.J., Chow, J.C., Lee, S.C., Li, Y., Chen, S.W., An, Z.S., Fung, K., J. Watson, G., Zhu, C.S., and Liu, S.X. 2005. Characterization and source apportionment of atmospheric organic and elemental carbon during fall and winter of 2003 in Xi'an, China. Atmospheric Chemistry and Physics Discussions 5: 3561-3593.
- Cao, J.J., Lee, S.C., Ho, K.F., Zou, S.C., Fung, Kochy, Li, Y., Watson, John G., Chow, Judith C. 2004. Spatial and seasonal variations of atmospheric organic carbon and elemental carbon in Pearl River Delta Region, China. Atmospheric Environment 38: 4447-4456.
- Cao, J.J., Lee, S.C., Ho, K.F., Chow, Judith C., Watson, John G. 2006. Characterization of roadside fine particulate carbon and its eight fractions in Hong Kong. Aerosol and Air Quality Research 6: 106-122.
- Castro, L.M., Pio, C.A., Harrison, R.M., Smith, D.J.T. 1999. Carbonaceous aerosol in urban and rural European atmospheres: estimation of secondary organic carbon concentrations. Atmospheric Environment 33: 2771-2781.

- Chan, L.Y. and Kwok, W.S. 2000. Vertical dispersion of suspended particulates in urban area of Hong Kong. *Atmospheric Environment* 34: 4403-4412.
- Chan, C.Y., Xu, X.D., Li, Y.S., Wong, K.H., Ding, G.A., Chan, L.Y., Cheng, X.H. 2005. Characteristics of vertical profiles and sources of PM_{2.5}, PM₁₀ and carbonaceous species in Beijing. *Atmospheric Environment* 39: 5113-5124.
- Chow, J.C., Watson, J.G., Lu, Z., Lowenthal, D.H., Frazier, C.A., Solomon, P.A., Thuillier, R.H., and Magliano, K. 1996. Descriptive analysis of PM_{2.5} and PM₁₀ at regionally representative locations during SJVQS/AUSPEX. *Atmospheric Environment* 30: 2079-2112.
- Chuersuwan, N., Nimrat, S., Lekphet, S., Kerdkumrai, T. 2008. Levels and major sources of PM_{2.5} and PM₁₀ in Bangkok Metropolitan Region. *Environment International*. 34: 671-677.
- Dan, M., Zhuang, G., Li, X., Tao, H., Zhuang, Y. 2004. The characteristics of carbonaceous species and their sources in PM_{2.5} in Beijing. *Atmospheric Environment* 38: 3443-3452.
- Desert research Institute. 2005. Procedures. *DRI standard operating procedure*.
- Duan, F., He, K., Ma, Y., Yingtao, J., Yang, F., Lei, Y., Tanaka, S., Okuta, T. 2005. Characteristics of carbonaceous aerosols in Beijing, China. *Chemosphere* 60: 355-364.
- Gelencser, A. 2005. Methods of observation of carbonaceous aerosol. *Carbonaceous Aerosol*: 7-44.
- Guinot, B., Roger, J. C., Cachier, H., Pucai, W., Jianhui, B., Tong, Y. 2006. Impact of Vertical atmospheric structure on Beijing aerosol distribution. *Atmospheric Environment* 40: 5167-5180.
- Hildemann, L.M., Markowski, G. R., Jones, M.C., and Cass, G.R. 1991. Submicrometer aerosol mass distributions of emissions from boilers, fireplace, automobiles, diesel, truck and meat-cooking operations. *Aerosol Science Technology* 14: 138-152.
- Ho, K.F., Lee, S.C., Chan, C.K., Yu, J. C., Chow, J. C., and Yao, X. H. 2003. Characterization of chemical species in PM_{2.5} and PM₁₀ aerosols in Hong Kong. *Atmospheric Environment* 37: 31-39.
- Huang, L., Brook, J.R., Zhang, W., Li, S.M., Graham, L., Ernst, D., Chivulescu, A., Lu, G. 2005. Stable isotope measurements of carbon fractions (OC/EC) in airborne particulate: A new dimension for source characterization and apportionment. *Atmospheric Environment* 40: 2690-2705.
- Lonati, G., Ozgen, M., Giugliano, M. 2007. Primary and secondary carbonaceous species in PM_{2.5} samples in Milan (Italy). *Atmospheric Environment* 41: 4599-4610.
- Qin, Y., and Oduyemi, K. 2003. Chemical composition of atmospheric aerosol in Dundee, UK. *Atmospheric Environment* 37: 93-104.

- Salma, I., Chi, X., Maenhaut, W. 2004. Elemental and organic carbon in urban canyon and background environments in Budapest, Hungary. *Atmospheric Environment* 38: 27-36.
- Schwarz, J., Chi, X., Maenhaut, W., Civis, M., Hocorka, J., Smolik, J. 2008. Elemental and organic carbon in atmospheric aerosols at downtown and suburban sites in Prague. *Atmospheric Research* 90: 287-302.
- Sasaki, K. and Sakamoto, K. 2005. Vertical differences in the composition of PM₁₀ and PM_{2.5} in the urban atmosphere of Osaka, Japan. *Atmospheric Environment* 39: 7240-7250.
- Turpin, B.J., Cary, R.A., Huntzicker, J.J. 1990a. An in-situ, time-resolved analysis for aerosol organic and elemental carbon. *Aerosol Science and Technology* 12: 161-171.
- Turpin, B.J. and Huntzicker, J.J. 1995. Identification of secondary organic aerosol episodes and quantitation of primary and secondary organic aerosol concentrations during SCAQS. *Atmospheric Environment* 29: 3527-3544.
- United States Environmental Protection Agency. 1994. Guidelines for PM₁₀ sampling and analysis applicable to receptor modeling. Triangle Park, North Carolina.
- United States Environmental Protection Agency. 1996a. Air quality criteria for particulate matter. volume 1. Triangle Park, North Carolina.
- United States Environmental Protection Agency. 1996b. Air quality criteria for particulate matter. volume 3. Triangle Park, North Carolina.
- Wallace, J.M., and Hobbs, P.V. 2006. The Earth system. *Atmospheric Science and introductory survey*. Second edition. :41-45, 160-198.
- Wangkiat, A. 2002. Source receptor modeling of particulate matter in Mae Moh area. Doctor of philosophy 's dissertation The joint graduate school of energy and environment King Mongkut 's University of Technology Thonburi.
- Watson, J.G., Chow, J.C., Lowenthal, L.C., Pritchett, C.A., Frazier, C.A., Neuroth, G. R., and Robbins, R. 1994. Differences in the carbon composition of source profile for diesel and gasoline-powered vehicles. *Atmospheric Environment* 28: 2493-2505.
- Yuan, Z.B., Yu ,J.Z., Lau, A.K.H., Louie, P.K.K., and Fung, J.C.H.. 2005. Application of positive matrix factorization in estimating aerosol secondary organic carbon in Hong Kong and insights into the formation mechanisms. *Atmospheric Chemistry and Physics Discussions* 5: 5299-5324.
- Zhang, R.J., Cao, J.J., Lee, S.C., Shen Z.X., Ho, K.F. 2007. Carbonaceous aerosols in PM₁₀ and pollution gases in winter in Beijing. *Journal of environmental sciences* 19: 564-571.



ศูนย์วิทยทรัพยากร
จุฬาลงกรณ์มหาวิทยาลัย



ภาคผนวก ก

ความเข้มข้นของ PM₁₀ (ในกรองรั่นด่ออุกกาศก์เมือง) ในบรรยากาศ
บริเวณใกล้พื้นที่ศึกษา ระหว่างปี พ.ศ. 2547-2551

ศูนย์วิทยทรัพยากร
จุฬาลงกรณ์มหาวิทยาลัย

ตารางที่ ก-1 ความเข้มข้นของ PM_{10} (ไมโครกรัมต่อลูกบาศก์เมตร) บริเวณเทศบาลนคร

หาดใหญ่ อําเภอหาดใหญ่ จังหวัดสงขลา ระหว่างปี พ.ศ. 2547-2551

เดือน	คุณภาพของขนาดไม่เกิน 10 ไมโครเมตร (PM_{10})											
	ปี พ.ศ. 2547				ปี พ.ศ. 2548				ปี พ.ศ. 2549			
	ค่าเฉลี่ย 24 ชั่วโมง ($\mu g/m^3$)			ค่าเฉลี่ย รายเดือน	ค่าเฉลี่ย 24 ชั่วโมง ($\mu g/m^3$)			ค่าเฉลี่ย รายเดือน	ค่าเฉลี่ย 24 ชั่วโมง ($\mu g/m^3$)			ค่าเฉลี่ย รายเดือน
	ค่ามาตรฐาน	ค่าท้าทุก	ครั้ง > std		ค่ามาตรฐาน	ค่าท้าทุก	ครั้ง > std		ค่ามาตรฐาน	ค่าท้าทุก	ครั้ง > std	
มกราคม	38.3	17.7	0/31	24.6	50.4	12.6	0/30	27.7	76.5	19.5	0/28	47.1
กุมภาพันธ์	64.4	20.2	0/29	34.2	42.0	13.3	0/13**	20.5	55.1	21.9	0/28	31.6
มีนาคม	50.7	22.2	0/31	34.0	34.7	12.7	0/23	21.5	98.2	20.6	0/27	56.0
เมษายน	51.0	20.5	0/30	35.0	42.8	20.2	0/30	31.8	66.5	9.9	0/29	36.4
พฤษภาคม	47.7	20.2	0/27	30.2	44.6	25.0	0/31	32.3	71.2	28.4	0/15*	54.1
มิถุนายน	59.2	17.6	0/30	35.0	56.3	25.3	0/30	37.4	80.0	24.0	0/29	47.6
กรกฎาคม	102.3	20.5	0/29	39.5	84.4	24.7	0/31	39.8	126.8	23.3	1/31	58.1
สิงหาคม	65.3	12.9	0/30	36.8	92.0	17.8	0/31	35.3	98.8	27.0	0/30	44.2
กันยายน	46.1	16.2	0/21*	33.2	54.2	22.5	0/30	36.0	72.0	18.1	0/30	42.2
ตุลาคม	44.0	20.3	0/31	31.4	28.9	15.7	0/29	20.3	103.0	20.0	0/31	43.7
พฤศจิกายน	42.2	16.4	0/30	24.7	88.1	11.3	0/27	37.6	61.6	23.1	0/30	35.1
ธันวาคม	45.0	21.0	0/31	30.0	86.9	13.8	0/31	41.2	63.6	18.6	0/29	38.1
ค่ามาตรฐาน	120			-	120			-	120			-

หมายเหตุ *: ข้อมูลร้อยละ 50-75

**: ข้อมูลน้อยกว่าร้อยละ 50

เดือน	คุณภาพของขนาดไม่เกิน 10 ไมโครเมตร (PM_{10})											
	ปี พ.ศ. 2550				ปี พ.ศ. 2551							
	ค่าเฉลี่ย 24 ชั่วโมง ($\mu g/m^3$)			ค่าเฉลี่ย รายเดือน	ค่าเฉลี่ย 24 ชั่วโมง ($\mu g/m^3$)			ค่าเฉลี่ย รายเดือน	ค่าเฉลี่ย 24 ชั่วโมง ($\mu g/m^3$)			ค่าเฉลี่ย รายเดือน
	ค่ามาตรฐาน	ค่าท้าทุก	ครั้ง > std		ค่ามาตรฐาน	ค่าท้าทุก	ครั้ง > std		ค่ามาตรฐาน	ค่าท้าทุก	ครั้ง > std	
มกราคม	71.3	15.6	0/31	40.5	67.2	18.6	0/30	36.2				
กุมภาพันธ์	62.5	18.2	0/28	33.3	79.9	18.5	0/29	39.5				
มีนาคม	66.6	21.9	0/31	40.2	57.6	17.0	0/31	33.6				
เมษายน	58.5	20.9	0/30	36.6	53.5	15.4	0/20*	38.2				
พฤษภาคม	84.6	19.1	0/24	48.9	57.5	25.4	0/28	38.3				
มิถุนายน	50.2	22.8	0/26	33.9	70.3	24.8	0/27	38.6				
กรกฎาคม	91.2	19.0	0/25	40.7	66.4	23.7	0/30	40.8				
สิงหาคม	60.6	19.3	0/27	37.7	87.9	26.6	0/29	49.5				
กันยายน	56.8	18.4	0/20*	40.3	54.5	21.2	0/30	34.4				
ตุลาคม	54.2	19.2	0/31	32.1	42.4	20.6	0/20*	30.5				
พฤศจิกายน	91.4	17.5	0/23	44.9	70.2	11.2	0/30	28.8				
ธันวาคม	55.2	19.2	0/31	34.2								
ค่ามาตรฐาน	120			-	120			-				

หมายเหตุ *: ข้อมูลร้อยละ 50-75

ที่มา : ศักดิ์เปล่งจาก ส่วนแผนงานและประเมินผล สำนักจัดการคุณภาพอากาศและเสียง กรมควบคุมมลพิษ, 2551

ตารางที่ ก-2 ความเข้มข้นของ PM_{10} (ไมโครกรัมต่อลูกบาศก์เมตร) บริเวณเคหะชุมชนดินแดง

ถนนดินแดง กรุงเทพมหานคร ระหว่างปี พ.ศ. 2547-2551

เดือน	คุณภาพของขนาดไม่เกิน 10 ไมโครเมตร (PM_{10})											
	ปีพ.ศ. 2547				ปีพ.ศ. 2548				ปีพ.ศ. 2549			
	ค่าเฉลี่ย 24 ชั่วโมง ($\mu g/m^3$)			จำนวน	ค่าเฉลี่ย 24 ชั่วโมง ($\mu g/m^3$)			จำนวน	ค่าเฉลี่ย 24 ชั่วโมง ($\mu g/m^3$)			จำนวน
	ค่ามาตรฐาน	ค่าต่ำสุด	ค่าสูงสุด		ค่ามาตรฐาน	ค่าต่ำสุด	ค่าสูงสุด		ค่ามาตรฐาน	ค่าต่ำสุด	ค่าสูงสุด	
มกราคม	142.4	29.5	5/31	87.7	121.2	41.0	1/29	73.0	206.2	62.1	13/30	118.6
กุมภาพันธ์	185.1	40.7	4/24	80.5	67.6	36.7	0/28	47.8	174.8	53.2	11/26	112.1
มีนาคม	141.7	40.3	1/30	62.9	107.8	18.1	0/31	43.2	146.1	50.8	3/31	77.7
เมษายน	83.6	34.2	0/30	52.9	68.8	16.4	0/28	31.2	114.2	49.3	0/24	70.3
พฤษภาคม	91.0	34.4	0/28	55.4	60.2	14.5	0/24	28.3	166.9	46.4	10/29	95.7
มิถุนายน	76.4	37.0	0/30	55.9	43.3	13.9	0/18*	21.8	125.7	32.4	1/30	66.0
กรกฎาคม	66.8	35.7	0/31	49.9	110.5	39.8	0/18*	62.8	93.4	29.9	0/27	53.9
สิงหาคม	93.6	32.8	0/28	46.9	129.5	44.2	1/31	70.0	69.0	44.0	0/8**	51.0
กันยายน	86.6	29.1	0/30	54.8	173.3	35.5	5/30	86.3	130.6	47.5	3/30	84.2
ตุลาคม	105.7	44.3	0/31	75.6	216.0	75.6	20/31	134.1	143.2	38.5	6/31	100.2
พฤศจิกายน	88.4	42.3	0/30	61.6	204.6	89.1	24/30	144.5	154.6	55.9	12/28	111.9
ธันวาคม	123.1	60.0	2/31	95.8	205.7	78.2	25/31	143.4	173.5	71.4	15/31	120.6
ค่ามาตรฐาน	120			-	120			-	120			-

หมายเหตุ *: ข้อมูลร้อยละ 50-75

**: ข้อมูลน้อยกว่าร้อยละ 50

เดือน	คุณภาพของขนาดไม่เกิน 10 ไมโครเมตร (PM_{10})											
	ปีพ.ศ. 2550				ปีพ.ศ. 2551				ปีพ.ศ. 2552			
	ค่าเฉลี่ย 24 ชั่วโมง ($\mu g/m^3$)			จำนวน	ค่าเฉลี่ย 24 ชั่วโมง ($\mu g/m^3$)			จำนวน	ค่าเฉลี่ย 24 ชั่วโมง ($\mu g/m^3$)			จำนวน
	ค่ามาตรฐาน	ค่าต่ำสุด	ค่าสูงสุด		ค่ามาตรฐาน	ค่าต่ำสุด	ค่าสูงสุด		ค่ามาตรฐาน	ค่าต่ำสุด	ค่าสูงสุด	
มกราคม	201.7	54.4	17/28	134.4	159.0	31.2	9/31	92.3	193.0	40.2	6/28	73.7
กุมภาพันธ์	193.0	40.2	6/28	73.7	164.5	34.2	5/29	85.5	98.5	43.9	0/27	60.9
มีนาคม	101.0	34.8	0/28	62.8	105.2	26.2	0/28	61.5	130.0	43.0	1/31	76.0
เมษายน	130.0	43.0	1/31	76.0	101.7	32.9	0/31	61.6	119.4	32.4	0/30	70.3
พฤษภาคม	149.8	39.3	3/31	72.0	109.2	30.9	0/31	49.0	101.5	39.0	0/29	60.6
สิงหาคม	117.9	29.2	0/30	61.9	115.5	34.0	0/30	60.5	136.3	31.5	3/26	79.8
กันยายน	137.3	34.9	1/30	69.4	135.5	47.4	1/30	85.7	128.5	28.0	3/31	82.5
ตุลาคม	128.5	28.0	3/31	82.5					ค่ามาตรฐาน	120		
พฤศจิกายน				-	120			-		120		
ธันวาคม					120					120		

ที่มา : ศักดิ์เปล่งจาก สำนักแผนงานและประเมินผล สำนักจัดการคุณภาพอาชญากรรมและเสียง กรมควบคุมคุณภาพชีวภาพ, 2551

ตารางที่ ก-3 ความเข้มข้นของ PM_{10} (ในไมโครกรัมต่อลูกบาศก์เมตร) บริเวณ โรงเรียนบุพราษ-
วิทยาลัย จังหวัดเชียงใหม่ ระหว่างปี พ.ศ. 2547-2551

เดือน	ค่าเฉลี่ยของขนาดไม่เกิน 10 ไมโครเมตร (PM_{10})											
	ปีพ.ศ. 2547			ปีพ.ศ. 2548			ปีพ.ศ. 2549					
	ค่าเฉลี่ย 24 ชั่วโมง ($\mu g/m^3$)	ค่าเฉลี่ย	รายเดือน	ค่าเฉลี่ย 24 ชั่วโมง ($\mu g/m^3$)	ค่าเฉลี่ย	รายเดือน	ค่าเฉลี่ย 24 ชั่วโมง ($\mu g/m^3$)	ค่าเฉลี่ย	รายเดือน	ค่าเฉลี่ย 24 ชั่วโมง ($\mu g/m^3$)	ค่าเฉลี่ย	รายเดือน
มกราคม	168.8	67.9	11/31	115.9	106.8	46.6	0/30	78.0	103.3	34.7	0/29	68.5
กุมภาพันธ์	291.0	65.6	24/29	159.5	206.9	63.3	16/28	127.8	111.3	50.0	0/28	71.0
มีนาคม	274.6	143.7	30/30	217.7	148.6	39.0	6/28	92.4	237.0	61.8	14/31	122.2
เมษายน	224.3	39.8	16/30	114.6	167.7	22.3	2/30	62.7	132.3	20.6	3/30	64.0
พฤษภาคม	56.6	21.0	0/31	34.9	69.2	14.8	0/30	37.8	53.0	21.8	0/31	37.6
มิถุนายน	63.5	27.8	0/30	41.1	38.3	17.1	0/27	24.5	49.5	19.4	0/30	31.2
กรกฎาคม	25.6	13.6	0/26	17.2	45.2	19.5	0/27	31.0	56.5	19.3	0/30	32.5
สิงหาคม	55.9	17.7	0/31	28.8	59.4	19.2	0/19*	38.5	50.1	17.3	0/24	32.9
กันยายน	57.9	17.5	0/28	34.3	69.3	15.7	0/22*	35.5	70.1	18.2	0/30	33.1
ตุลาคม	103.0	24.1	0/28	63.5	69.7	21.6	0/31	47.5	61.3	18.8	0/31	43.6
พฤศจิกายน	61.8	17.4	0/28	45.7	62.8	31.6	0/30	45.6	91.3	36.6	0/30	62.6
ธันวาคม	105.6	25.7	0/31	68.6	112.2	26.0	0/31	57.4	90.5	39.3	0/29	65.5
ทั้งมาตรวัน	120			-	120			-	120			-

หมายเหตุ *: ข้อมูลร้อยละ 50-75

เดือน	ค่าเฉลี่ยของขนาดไม่เกิน 10 ไมโครเมตร (PM_{10})											
	ปีพ.ศ. 2550			ปีพ.ศ. 2551								
	ค่าเฉลี่ย 24 ชั่วโมง ($\mu g/m^3$)	ค่าเฉลี่ย	รายเดือน	ค่าเฉลี่ย 24 ชั่วโมง ($\mu g/m^3$)	ค่าเฉลี่ย	รายเดือน	ค่าเฉลี่ย 24 ชั่วโมง ($\mu g/m^3$)	ค่าเฉลี่ย	รายเดือน	ค่าเฉลี่ย 24 ชั่วโมง ($\mu g/m^3$)	ค่าเฉลี่ย	รายเดือน
มกราคม	138.6	45.3	1/22*	70.5	98.6	36.4	0/31	64.2				
กุมภาพันธ์	162.2	24.5	7/27	97.0	100.1	43.1	0/28	65.1				
มีนาคม	396.4	62.0	19/25	162.5	178.9	59.8	7/28	99.9				
เมษายน	154.8	29.0	3/23	74.6	131.0	12.8	1/29	60.5				
พฤษภาคม	55.2	20.1	0/25	35.3	61.2	21.3	0/31	36.3				
มิถุนายน	40.2	20.5	0/30	29.4	63.1	20.3	0/30	34.1				
กรกฎาคม	42.7	18.3	0/31	30.2	38.5	12.7	0/29	24.1				
สิงหาคม	34.9	20.6	0/31	27.3	31.3	15.1	0/31	22.5				
กันยายน	57.3	18.2	0/30	35.3	50.8	18.5	0/30	29.5				
ตุลาคม	75.5	19.6	0/31	43.6	57.5	20.8	0/31	31.3				
พฤศจิกายน	94.3	24.2	0/25	51.6	62.5	20.0	0/30	38.3				
ธันวาคม	75.1	32.4	0/31	53.6								
ทั้งมาตรวัน	120			-	120			-				

หมายเหตุ *: ข้อมูลร้อยละ 50-75

ที่มา : ศักดิ์เปลกจาก สำนักแผนงานและประเมินผล สำนักจัดการคุณภาพอาชีวะและเสียง กรมควบคุมมลพิษ, 2551



ความเข้มข้นของผู้นักอธิบายรวม และ ผู้นักอธิบายขนาดไม่เกิน 10 ในกรมศรี



ตารางที่ ข-1 ความเข้มข้นของ TSP ($\mu\text{g}/\text{m}^3$) ระหว่างวันที่ 17-20 ธันวาคม พ.ศ. 2550 บริเวณพื้นที่
ศึกษา อำเภอหาดใหญ่ จังหวัดสงขลา

ความเข้มข้นของ TSP ($\mu\text{g}/\text{m}^3$)				
วันที่	เวลา	ชั้นล่าง	ชั้นกลาง	ชั้นบน
17-18 ธ.ค. 2550	21.00-03.00 น.	45.7	35.5	57.9
18 ธ.ค. 2550	03.00-09.00 น.	45.6	34.0	40.3
18 ธ.ค. 2550	09.00-15.00 น.	49.0	28.8	34.0
18 ธ.ค. 2550	15.00-21.00 น.	34.2	28.2	44.3
18-19 ธ.ค. 2550	21.00-03.00 น.	33.4	36.7	35.4
19 ธ.ค. 2550	03.00-09.00 น.	54.5	33.9	39.8
19 ธ.ค. 2550	09.00-15.00 น.	43.8	37.8	59.5
19 ธ.ค. 2550	15.00-21.00 น.	48.2	48.5	55.6
19-20 ธ.ค. 2550	21.00-03.00 น.	45.8	35.1	54.1
20 ธ.ค. 2550	03.00-09.00 น.	43.5	35.5	45.2
20 ธ.ค. 2550	09.00-15.00 น.	45.5	39.5	54.4
20 ธ.ค. 2550	15.00-21.00 น.	40.0	38.0	61.5
	ค่าเฉลี่ย \pm SD	44.1 \pm 5.9	35.9 \pm 5.2	48.5 \pm 9.8

ตารางที่ ข-2 ความเข้มข้นของ PM_{10} ($\mu\text{g}/\text{m}^3$) ระหว่างวันที่ 17-20 ธันวาคม พ.ศ. 2550 บริเวณพื้นที่
ศึกษา อำเภอหาดใหญ่ จังหวัดสงขลา

ความเข้มข้นของ PM_{10} ($\mu\text{g}/\text{m}^3$)				
วันที่	เวลา	ชั้นล่าง	ชั้นกลาง	ชั้นบน
17 ธ.ค. 2550	21.00-00.00 น.	24.2	48.9	47.8
18 ธ.ค. 2550	00.00-03.00 น.	36.3	44.0	39.1
18 ธ.ค. 2550	03.00-06.00 น.	33.0	43.0	33.8
18 ธ.ค. 2550	06.00-09.00 น.	49.6	49.3	38.1
18 ธ.ค. 2550	09.00-12.00 น.	27.4	34.8	15.7
18 ธ.ค. 2550	12.00-15.00 น.	36.6	43.2	47.5
18 ธ.ค. 2550	15.00-18.00 น.	35.5	40.9	29.1
18 ธ.ค. 2550	18.00-21.00 น.	43.7	58.1	47.1
18 ธ.ค. 2550	21.00-00.00 น.	33.0	44.9	31.8
19 ธ.ค. 2550	00.00-03.00 น.	42.4	---	28.5
19 ธ.ค. 2550	03.00-06.00 น.	61.4	32.8	34.3

ตารางที่ ข-2 ความเข้มข้นของ PM_{10} ($\mu\text{g}/\text{m}^3$) ระหว่างวันที่ 17-20 ธันวาคม พ.ศ. 2550 บริเวณพื้นที่ศึกษา อุ่นภูมิอากาศใหญ่ จังหวัดสงขลา (ต่อ)

ความเข้มข้นของ PM_{10} ($\mu\text{g}/\text{m}^3$)				
วันที่	เวลา	ชั้นล่าง	ชั้นกลาง	ชั้นบน
19 ธ.ค. 2550	06.00-09.00 น.	38.8	46.0	41.1
19 ธ.ค. 2550	09.00-12.00 น.	57.9	38.3	36.2
19 ธ.ค. 2550	12.00-15.00 น.	47.3	42.3	65.0
19 ธ.ค. 2550	15.00-18.00 น.	54.0	41.1	44.3
19 ธ.ค. 2550	18.00-21.00 น.	64.5	40.2	61.4
19 ธ.ค. 2550	21.00-00.00 น.	46.4	34.8	68.4
20 ธ.ค. 2550	00.00-03.00 น.	51.7	33.3	49.1
20 ธ.ค. 2550	03.00-06.00 น.	45.0	39.9	65.5
20 ธ.ค. 2550	06.00-09.00 น.	45.3	42.9	61.1
20 ธ.ค. 2550	09.00-12.00 น.	49.9	43.2	56.7
20 ธ.ค. 2550	12.00-15.00 น.	32.3	35.5	63.6
20 ธ.ค. 2550	15.00-18.00 น.	25.0	38.3	55.7
20 ธ.ค. 2550	18.00-21.00 น.	38.3	33.9	57.7
	ค่าเฉลี่ย $\pm SD$	42.5 \pm 11.0	41.3 \pm 6.0	46.6 \pm 14.1

ตารางที่ ข-3 ความเข้มข้นของ TSP และ PM_{10} ($\mu\text{g}/\text{m}^3$) ต่อความสูง 1 เมตร ระหว่างวันที่ 17-20 ธันวาคม พ.ศ. 2550 บริเวณพื้นที่ศึกษา อุ่นภูมิอากาศใหญ่ จังหวัดสงขลา

วันที่	เวลา	ความเข้มข้นของ TSP และ PM_{10} ($\mu\text{g}/\text{m}^3$) ต่อความสูง 1 เมตร				ชั้นล่าง-ชั้นบน	
		TSP	PM_{10}	TSP	PM_{10}		
17-18 ธ.ค. 2550	21.00-03.00 น.	-0.34	0.54	0.34	-0.05	0.13	0.14
18 ธ.ค. 2550	03.00-09.00 น.	-0.39	0.16	0.10	-0.16	-0.05	-0.06
18 ธ.ค. 2550	09.00-15.00 น.	-0.67	0.23	0.08	-0.11	-0.16	0.00
18 ธ.ค. 2550	15.00-21.00 น.	-0.20	0.33	0.25	-0.17	0.11	-0.02
18-19 ธ.ค. 2550	21.00-03.00 น.	0.11	0.24	-0.02	-0.23	0.02	-0.08
19 ธ.ค. 2550	03.00-09.00 น.	-0.68	-0.36	0.09	-0.12	-0.15	-0.20
19 ธ.ค. 2550	09.00-15.00 น.	-0.20	-0.41	0.33	0.16	0.17	-0.02
19 ธ.ค. 2550	15.00-21.00 น.	0.01	-0.62	0.11	0.19	0.08	-0.07
19-20 ธ.ค. 2550	21.00-03.00 น.	-0.36	-0.50	0.29	0.38	0.09	0.10
20 ธ.ค. 2550	03.00-09.00 น.	-0.27	-0.12	0.15	0.34	0.02	0.19
20 ธ.ค. 2550	09.00-15.00 น.	-0.20	-0.06	0.23	0.32	0.09	0.20
20 ธ.ค. 2550	15.00-21.00 น.	-0.07	0.15	0.36	0.32	0.23	0.26
	ค่าเฉลี่ย $\pm SD$	-0.27 \pm 0.24	-0.03 \pm 0.37	0.19 \pm 0.13	0.07 \pm 0.23	0.05 \pm 0.12	0.04 \pm 0.14

**ตารางที่ ข-4 สัดส่วนของ PM_{10}/TSP ระหว่างวันที่ 17-20 ธันวาคม พ.ศ. 2550 บริเวณพื้นที่ศึกษา
อุบลราชธานี จังหวัดสระบุรี**

สัดส่วนของ PM_{10}/TSP				
วันที่	เวลา	ชั้นล่าง	ชั้นกลาง	ชั้นบน
17-18 ธ.ค. 2550	21.00-03.00 น.	0.66	1.31	0.75
18 ธ.ค. 2550	03.00-09.00 น.	0.91	1.36	0.89
18 ธ.ค. 2550	09.00-15.00 น.	0.65	1.36	0.93
18 ธ.ค. 2550	15.00-21.00 น.	1.16	1.76	0.86
18-19 ธ.ค. 2550	21.00-03.00 น.	1.13	1.22	0.85
19 ธ.ค. 2550	03.00-09.00 น.	0.92	1.16	0.79
19 ธ.ค. 2550	09.00-15.00 น.	1.20	1.07	0.85
19 ธ.ค. 2550	15.00-21.00 น.	1.23	0.84	0.95
19-20 ธ.ค. 2550	21.00-03.00 น.	1.07	0.97	1.09
20 ธ.ค. 2550	03.00-09.00 น.	1.04	1.17	1.40
20 ธ.ค. 2550	09.00-15.00 น.	0.90	1.00	1.11
20 ธ.ค. 2550	15.00-21.00 น.	0.79	0.95	0.92
	ค่าเฉลี่ย $\pm SD$	0.97\pm0.20	1.18\pm0.25	0.95\pm0.18

**ตารางที่ ข-5 ความเข้มข้นของ TSP ($\mu\text{g}/\text{m}^3$) ระหว่างวันที่ 18-21 กุมภาพันธ์ พ.ศ. 2551 บริเวณพื้นที่
ศึกษาเขตราชเทวี กรุงเทพมหานคร**

ความเข้มข้นของ TSP ($\mu\text{g}/\text{m}^3$)				
วันที่	เวลา	ชั้นล่าง	ชั้นกลาง	ชั้นบน
18-19 ก.พ. 2551	21.00-03.00 น.	131.1	141.6	120.6
19 ก.พ. 2551	03.00-09.00 น.	134.7	123.0	115.7
19 ก.พ. 2551	09.00-15.00 น.	142.9	116.7	119.7
19 ก.พ. 2551	15.00-21.00 น.	143.2	124.7	111.4
19-20 ก.พ. 2551	21.00-03.00 น.	148.1	141.2	102.6
20 ก.พ. 2551	03.00-09.00 น.	113.0	101.4	92.3
20 ก.พ. 2551	09.00-15.00 น.	106.4	94.6	96.7
20 ก.พ. 2551	15.00-21.00 น.	158.1	145.4	126.5
20-21 ก.พ. 2551	21.00-03.00 น.	172.7	153.4	121.8
21 ก.พ. 2551	03.00-09.00 น.	113.7	100.0	94.5
21 ก.พ. 2551	09.00-15.00 น.	135.9	126.8	114.1
21 ก.พ. 2551	15.00-21.00 น.	180.2	160.8	127.7
	ค่าเฉลี่ย $\pm SD$	140.0\pm22.9	127.5\pm21.6	112.0\pm12.5

ตารางที่ ข-6 ความเข้มข้นของ PM_{10} ($\mu\text{g}/\text{m}^3$) ระหว่างวันที่ 18-21 กุมภาพันธ์ พ.ศ. 2551 บริเวณพื้นที่ศึกษาเขตราชเทวี กรุงเทพมหานคร

ความเข้มข้นของ PM_{10} ($\mu\text{g}/\text{m}^3$)				
วันที่	เวลา	ชั้นล่าง	ชั้นกลาง	ชั้นบน
18 ก.พ. 2551	21.00-00.00 น.	150.5	117.4	175.7
19 ก.พ. 2551	00.00-03.00 น.	143.2	136.9	131.0
19 ก.พ. 2551	03.00-06.00 น.	120.3	113.8	107.6
19 ก.พ. 2551	06.00-09.00 น.	117.1	106.9	98.3
19 ก.พ. 2551	09.00-12.00 น.	95.3	107.4	113.6
19 ก.พ. 2551	12.00-15.00 น.	94.1	113.0	115.3
19 ก.พ. 2551	15.00-18.00 น.	109.0	110.9	102.9
19 ก.พ. 2551	18.00-21.00 น.	122.8	128.8	117.5
19 ก.พ. 2551	21.00-00.00 น.	153.1	156.6	124.8
20 ก.พ. 2551	00.00-03.00 น.	119.0	113.4	100.0
20 ก.พ. 2551	03.00-06.00 น.	97.9	98.3	84.7
20 ก.พ. 2551	06.00-09.00 น.	88.4	89.4	100.3

ตารางที่ ข-6 ความเข้มข้นของ PM_{10} ($\mu\text{g}/\text{m}^3$) ระหว่างวันที่ 18-21 กุมภาพันธ์ พ.ศ. 2551 บริเวณพื้นที่ศึกษาเขตราชเทวี กรุงเทพมหานคร (ต่อ)

ความเข้มข้นของ PM_{10} ($\mu\text{g}/\text{m}^3$)				
วันที่	เวลา	ชั้นล่าง	ชั้นกลาง	ชั้นบน
20 ก.พ. 2551	09.00-12.00 น.	109.8	78.1	111.8
20 ก.พ. 2551	12.00-15.00 น.	93.9	93.4	97.0
20 ก.พ. 2551	15.00-18.00 น.	125.3	120.4	106.4
20 ก.พ. 2551	18.00-21.00 น.	139.6	128.7	116.3
20 ก.พ. 2551	21.00-00.00 น.	142.7	132.7	123.0
21 ก.พ. 2551	00.00-03.00 น.	164.6	144.2	110.2
21 ก.พ. 2551	03.00-06.00 น.	98.2	90.8	81.0
21 ก.พ. 2551	06.00-09.00 น.	103.3	101.1	113.5
21 ก.พ. 2551	09.00-12.00 น.	117.5	100.0	117.7
21 ก.พ. 2551	12.00-15.00 น.	125.9	103.5	115.9
21 ก.พ. 2551	15.00-18.00 น.	106.0	104.0	121.5
21 ก.พ. 2551	18.00-21.00 น.	110.2	122.9	110.2
	ค่าเฉลี่ย \pm SD	118.7 \pm 21.1	113.0 \pm 18.6	111.9 \pm 17.3

ตารางที่ ข-7 ความเข้มข้นของ TSP และ PM_{10} ($\mu g/m^3$) ต่อความสูง 1 เมตร ระหว่างวันที่ 18-21 กุมภาพันธ์ พ.ศ. 2551 บริเวณพื้นที่ศึกษาเขตราชเทวี กรุงเทพมหานคร

วันที่	เวลา	ความเข้มข้นของ TSP และ PM_{10} ($\mu g/m^3$) ต่อความสูง 1 เมตร		ชั้นคล่อง-ชั้นกลาง		ชั้นกลาง-ชั้นบน		ชั้นล่าง-ชั้นบน	
		TSP	PM_{10}	TSP	PM_{10}	TSP	PM_{10}	TSP	PM_{10}
17-18 ก.พ. 2550	21.00-03.00 น.	0.09	-0.16	-0.12	-0.03	-0.04	-0.08		
18 ก.พ. 2550	03.00-09.00 น.	-0.10	-0.07	-0.04	-0.04	-0.07	-0.05		
18 ก.พ. 2550	09.00-15.00 น.	-0.22	0.13	0.02	0.02	-0.08	0.07		
18 ก.พ. 2550	15.00-21.00 น.	-0.15	0.03	-0.08	-0.06	-0.11	-0.02		
18-19 ก.พ. 2550	21.00-03.00 น.	-0.06	-0.01	-0.23	-0.13	-0.16	-0.08		
19 ก.พ. 2550	03.00-09.00 น.	-0.10	0.01	-0.05	-0.01	-0.07	0.00		
19 ก.พ. 2550	09.00-15.00 น.	-0.10	-0.13	0.01	0.11	-0.03	0.01		
19 ก.พ. 2550	15.00-21.00 น.	-0.11	-0.07	-0.11	-0.08	-0.11	-0.07		
19-20 ก.พ. 2550	21.00-03.00 น.	-0.16	-0.13	-0.19	-0.13	-0.18	-0.13		
20 ก.พ. 2550	03.00-09.00 น.	-0.11	-0.04	-0.03	0.01	-0.07	-0.01		
20 ก.พ. 2550	09.00-15.00 น.	-0.08	-0.17	-0.07	0.09	-0.08	-0.02		
20 ก.พ. 2550	15.00-21.00 น.	-0.16	0.04	-0.19	0.01	-0.18	0.03		
	ค่าเฉลี่ย \pm SD	0.10 \pm 0.07	0.05 \pm 0.09	0.09 \pm 0.08	0.02 \pm 0.08	0.10 \pm 0.05	0.03 \pm 0.05		

ตารางที่ ข-8 สัดส่วนของ PM_{10} / TSP ระหว่างวันที่ 18-21 กุมภาพันธ์ พ.ศ. 2551 บริเวณพื้นที่ศึกษาเขตราชเทวี กรุงเทพมหานคร

สัดส่วนของ PM_{10} / TSP				
วันที่	เวลา	ชั้นล่าง	ชั้นกลาง	ชั้นบน
18-19 ก.พ. 2551	21.00-03.00 น.	1.12	0.90	1.27
19 ก.พ. 2551	03.00-09.00 น.	0.88	0.90	0.89
19 ก.พ. 2551	09.00-15.00 น.	0.66	0.94	0.96
19 ก.พ. 2551	15.00-21.00 น.	0.81	0.96	0.99
19-20 ก.พ. 2551	21.00-03.00 น.	0.92	0.96	1.10
20 ก.พ. 2551	03.00-09.00 น.	0.82	0.93	1.00
20 ก.พ. 2551	09.00-15.00 น.	0.96	0.91	1.08
20 ก.พ. 2551	15.00-21.00 น.	0.84	0.86	0.88
20-21 ก.พ. 2551	21.00-03.00 น.	0.89	0.90	0.96
21 ก.พ. 2551	03.00-09.00 น.	0.89	0.96	1.03
21 ก.พ. 2551	09.00-15.00 น.	0.90	0.80	1.02
21 ก.พ. 2551	15.00-21.00 น.	0.60	0.75	0.91
	ค่าเฉลี่ย \pm SD	0.86 \pm 0.13	0.89 \pm 0.07	1.00 \pm 0.10

ตารางที่ ข-9 ความเข้มข้นของ TSP ($\mu\text{g}/\text{m}^3$) ระหว่างวันที่ 25-28 กุมภาพันธ์ พ.ศ. 2551 บริเวณ

พื้นที่ศึกษา อําเภอเมือง จังหวัดเชียงใหม่

ความเข้มข้นของ TSP ($\mu\text{g}/\text{m}^3$)				
วันที่	เวลา	ชั้นล่าง	ชั้นกลาง	ชั้นบน
25-26 ก.พ. 2551	21.00-03.00 น.	136.8	128.1	96.3
26 ก.พ. 2551	03.00-09.00 น.	96.8	85.7	81.9
26 ก.พ. 2551	09.00-15.00 น.	112.5	111.8	104.5
26 ก.พ. 2551	15.00-21.00 น.	97.0	101.5	70.0
26-27 ก.พ. 2551	21.00-03.00 น.	103.5	108.3	84.4
27 ก.พ. 2551	03.00-09.00 น.	100.1	108.3	90.3
27 ก.พ. 2551	09.00-15.00 น.	136.2	152.3	133.8
27 ก.พ. 2551	15.00-21.00 น.	---	---	---
27-28 ก.พ. 2551	21.00-03.00 น.	65.4	96.3	61.9
28 ก.พ. 2551	03.00-09.00 น.	99.3	98.2	79.8
28 ก.พ. 2551	09.00-15.00 น.	79.6	90.5	69.0
28 ก.พ. 2551	15.00-21.00 น.	85.5	115.1	82.9
ค่าเฉลี่ย \pm SD		101.1 \pm 21.6	108.4 \pm 19.0	86.8 \pm 19.8

ตารางที่ ข-10 ความเข้มข้นของ PM_{10} ($\mu\text{g}/\text{m}^3$) ระหว่างวันที่ 25-28 กุมภาพันธ์ พ.ศ. 2551 บริเวณ

พื้นที่ศึกษา อําเภอเมือง จังหวัดเชียงใหม่

ความเข้มข้นของ PM_{10} ($\mu\text{g}/\text{m}^3$)				
วันที่	เวลา	ชั้นล่าง	ชั้นกลาง	ชั้นบน
25 ก.พ. 2551	21.00-00.00 น.	149.8	142.6	124.3
26 ก.พ. 2551	00.00-03.00 น.	123.7	115.7	140.3
26 ก.พ. 2551	03.00-06.00 น.	95.5	66.1	89.7
26 ก.พ. 2551	06.00-09.00 น.	106.6	95.8	85.6
26 ก.พ. 2551	09.00-12.00 น.	114.6	115.9	129.5
26 ก.พ. 2551	12.00-15.00 น.	55.7	77.8	84.3
26 ก.พ. 2551	15.00-18.00 น.	62.3	64.8	68.7
26 ก.พ. 2551	18.00-21.00 น.	117.8	90.2	82.6
26 ก.พ. 2551	21.00-00.00 น.	118.9	123.1	93.2
27 ก.พ. 2551	00.00-03.00 น.	92.7	108.4	86.1
27 ก.พ. 2551	03.00-06.00 น.	90.1	111.7	86.6
27 ก.พ. 2551	06.00-09.00 น.	111.4	112.3	109.1

ตารางที่ ข-10 ความเข้มข้นของ PM_{10} ($\mu\text{g}/\text{m}^3$) ระหว่างวันที่ 25-28 กุมภาพันธ์ พ.ศ. 2551 บริเวณพื้นที่ศึกษา อำเภอเมือง จังหวัดเชียงใหม่ (ต่อ)

ความเข้มข้นของ PM_{10} ($\mu\text{g}/\text{m}^3$)				
วันที่	เวลา	ชั้นล่าง	ชั้นกลาง	ชั้นบน
27 ก.พ. 2551	09.00-12.00 น.	148.0	160.9	154.4
27 ก.พ. 2551	12.00-15.00 น.	114.0	160.5	124.3
27 ก.พ. 2551	15.00-18.00 น.	---	---	---
27 ก.พ. 2551	18.00-21.00 น.	82.2	81.0	53.6
27 ก.พ. 2551	21.00-00.00 น.	70.3	95.0	64.8
28 ก.พ. 2551	00.00-03.00 น.	52.4	91.8	64.6
28 ก.พ. 2551	03.00-06.00 น.	64.1	88.9	60.5
28 ก.พ. 2551	06.00-09.00 น.	93.7	113.8	104.4
28 ก.พ. 2551	09.00-12.00 น.	72.5	85.2	64.5
28 ก.พ. 2551	12.00-15.00 น.	59.2	85.1	49.4
28 ก.พ. 2551	15.00-18.00 น.	63.4	110.9	72.8
28 ก.พ. 2551	18.00-21.00 น.	58.3	146.7	70.7
	ค่าเฉลี่ย $\pm SD$	92.0 \pm 29.4	106.3 \pm 27.1 -	89.8 \pm 28.8

ตารางที่ ข-11 ความเข้มข้นของ TSP และ PM_{10} ($\mu\text{g}/\text{m}^3$) ต่อความสูง 1 เมตร ระหว่างวันที่ 25-28 กุมภาพันธ์ พ.ศ. 2551 บริเวณพื้นที่ศึกษา อำเภอเมือง จังหวัดเชียงใหม่

วันที่	เวลา	ความเข้มข้นของ TSP และ PM_{10} ($\mu\text{g}/\text{m}^3$) ต่อความสูง 1 เมตร					
		TSP	PM_{10}	TSP	PM_{10}	TSP	PM_{10}
17-18 ก.พ. 2550	21.00-03.00 น.	-0.22	-0.19	-0.45	0.05	-0.37	-0.04
18 ก.พ. 2550	03.00-09.00 น.	-0.28	-0.50	-0.05	0.10	-0.14	-0.12
18 ก.พ. 2550	09.00-15.00 น.	-0.02	0.29	-0.11	0.14	-0.07	0.20
18 ก.พ. 2550	15.00-21.00 น.	0.11	-0.31	-0.45	-0.03	-0.25	-0.13
18-19 ก.พ. 2550	21.00-03.00 น.	0.12	0.25	-0.34	-0.37	-0.17	-0.15
19 ก.พ. 2550	03.00-09.00 น.	0.20	0.28	-0.26	-0.20	-0.09	-0.03
19 ก.พ. 2550	09.00-15.00 น.	0.40	0.74	-0.26	-0.31	-0.02	0.08
19 ก.พ. 2550	15.00-21.00 น.	---	---	---	---	---	---
19-20 ก.พ. 2550	21.00-03.00 น.	0.69	0.80	-0.44	-0.41	-0.03	0.03
20 ก.พ. 2550	03.00-09.00 น.	-0.03	0.56	-0.26	-0.27	-0.18	0.03
20 ก.พ. 2550	09.00-15.00 น.	0.27	0.48	-0.31	-0.40	-0.10	-0.08
20 ก.พ. 2550	15.00-21.00 น.	0.74	1.70	-0.46	-0.81	-0.02	0.10
	ค่าเฉลี่ย $\pm SD$	0.18 \pm 0.33	0.37 \pm 0.61	-0.31 \pm 0.14	-0.23 \pm 0.28	-0.13 \pm 0.11	-0.01 \pm 0.11

ตารางที่ ข-12 สัดส่วนของ PM_{10}/TSP ระหว่างวันที่ 25-28 กุมภาพันธ์ พ.ศ. 2551 บริเวณพื้นที่
ศึกษา อ.แก่งเมือง จังหวัดเชียงใหม่

วันที่	เวลา	สัดส่วนของ PM_{10}/TSP		
		ชั้นล่าง	ชั้นกลาง	ชั้นบน
25-26 ก.พ. 2551	21.00-03.00 น.	1.00	1.01	1.37
26 ก.พ. 2551	03.00-09.00 น.	1.04	0.94	1.07
26 ก.พ. 2551	09.00-15.00 น.	0.76	0.87	1.02
26 ก.พ. 2551	15.00-21.00 น.	0.93	0.76	1.08
26-27 ก.พ. 2551	21.00-03.00 น.	1.02	1.07	1.06
27 ก.พ. 2551	03.00-09.00 น.	1.01	1.03	1.08
27 ก.พ. 2551	09.00-15.00 น.	0.96	1.06	1.04
27 ก.พ. 2551	15.00-21.00 น.	---	---	---
27-28 ก.พ. 2551	21.00-03.00 น.	0.94	1.00	1.05
28 ก.พ. 2551	03.00-09.00 น.	0.79	1.03	1.03
28 ก.พ. 2551	09.00-15.00 น.	0.83	0.94	0.83
28 ก.พ. 2551	15.00-21.00 น.	0.71	1.12	0.87
	ค่าเฉลี่ย $\pm SD$	0.91 ± 0.12	0.99 ± 0.10	1.05 ± 0.14

ศูนย์วิทยทรัพยากร
จุฬาลงกรณ์มหาวิทยาลัย



ภาคผนวก ก

องค์ประกอบทางเคมี และ องค์ประกอบของสาร์บอน
ในฝุ่นละอองขนาดไม่เกิน 10 ไมโครเมตร



ศูนย์วิทยทรัพยากร จุฬาลงกรณ์มหาวิทยาลัย

ตารางที่ ค-1 องค์ประกอบทางเคมี ใน PM_{10} ($\mu\text{g}/\text{m}^3$) ระหว่างวันที่ 18-21 กุมภาพันธ์ พ.ศ. 2551
บริเวณพื้นที่ศึกษา เขตราชเทวี กรุงเทพมหานคร (ชั้นล่าง)

องค์ประกอบทางเคมี ใน PM_{10} ($\mu\text{g}/\text{m}^3$)											
วันที่	เวลา	OC	EC	Na^+	NH_4^+	K^+	Ca^{2+}	Cl^-	NO_3^-	SO_4^{2-}	Others
18 ก.พ. 2551	21.00-00.00 น.	29.2	10.7	1.5	1.8	1.3	0.1	1.5	8.6	12.5	71.5
19 ก.พ. 2551	00.00-03.00 น.	30.2	10.1	1.5	1.5	1.4	0.2	1.6	11.3	11.1	62.4
19 ก.พ. 2551	03.00-06.00 น.	34.0	8.9	0.2	0.8	1.3	0.1	0.7	4.3	6.9	49.5
19 ก.พ. 2551	06.00-09.00 น.	27.1	9.7	0.4	1.1	1.9	0.1	0.7	2.5	5.6	57.2
19 ก.พ. 2551	09.00-12.00 น.	23.9	6.8	0.0	0.3	1.9	1.0	0.8	2.2	6.8	42.0
19 ก.พ. 2551	12.00-15.00 น.	27.9	5.9	0.8	0.8	1.2	0.7	0.8	3.0	6.5	35.2
19 ก.พ. 2551	15.00-18.00 น.	29.2	7.1	0.5	0.7	0.9	0.8	0.8	2.5	5.7	49.1
19 ก.พ. 2551	18.00-21.00 น.	38.6	12.0	0.6	1.0	-	1.1	0.9	4.5	7.3	35.7
19 ก.พ. 2551	21.00-00.00 น.	41.2	13.9	0.5	0.9	2.5	1.2	0.9	6.3	7.6	61.8
20 ก.พ. 2551	00.00-03.00 น.	31.4	8.2	0.2	0.6	1.2	1.5	0.6	3.4	5.5	53.7
20 ก.พ. 2551	03.00-06.00 น.	23.8	7.3	0.2	0.6	0.9	1.2	0.7	2.6	4.7	46.4
20 ก.พ. 2551	06.00-09.00 น.	19.5	7.3	0.2	0.1	0.8	0.9	0.6	1.5	4.1	45.6
20 ก.พ. 2551	09.00-12.00 น.	17.9	5.7	0.3	0.9	0.8	0.9	0.7	1.9	7.1	66.5
20 ก.พ. 2551	12.00-15.00 น.	23.4	4.8	0.7	1.2	1.1	1.0	0.8	2.5	8.4	40.7
20 ก.พ. 2551	15.00-18.00 น.	34.5	7.8	0.6	1.5	1.6	1.3	0.7	4.1	10.1	49.2
20 ก.พ. 2551	18.00-21.00 น.	34.2	9.4	0.5	1.7	1.4	1.2	0.8	5.3	10.6	60.9
20 ก.พ. 2551	21.00-00.00 น.	38.5	12.0	0.4	1.9	2.7	1.5	1.0	7.1	10.9	51.3
21 ก.พ. 2551	00.00-03.00 น.	39.7	13.1	0.4	1.8	2.3	1.3	1.0	8.8	9.9	70.5
21 ก.พ. 2551	03.00-06.00 น.	20.6	5.8	0.2	1.5	0.9	1.4	0.5	2.5	9.7	46.9
21 ก.พ. 2551	06.00-09.00 น.	18.7	6.7	0.2	1.5	1.1	0.8	0.6	3.1	9.8	53.5
21 ก.พ. 2551	09.00-12.00 น.	24.8	8.9	0.1	1.2	0.9	1.1	0.6	4.1	8.0	57.9
21 ก.พ. 2551	12.00-15.00 น.	26.4	6.5	0.3	1.6	1.0	1.0	0.6	5.6	10.7	61.7
21 ก.พ. 2551	15.00-18.00 น.	29.0	6.6	0.5	2.0	1.5	1.3	0.7	6.1	13.0	33.9
21 ก.พ. 2551	18.00-21.00 น.	38.1	10.1	0.3	1.7	1.7	1.2	0.7	4.4	11.3	25.4
	ค่าเฉลี่ย	29.2	8.6	0.5	1.2	1.4	1.0	0.8	4.5	8.5	51.2
	$\pm SD$	7.0	2.5	0.4	0.5	0.6	0.4	0.3	2.5	2.5	12.0

ตารางที่ ค-2 องค์ประกอบของทางเคมี ใน PM_{10} ($\mu\text{g}/\text{m}^3$) ระหว่างวันที่ 18-21 กุมภาพันธ์ พ.ศ. 2551
บริเวณพื้นที่ศึกษา เขตราชเทวี กรุงเทพมหานคร (ชั้นกลาง)

วันที่	เวลา	องค์ประกอบของทางเคมี ใน PM_{10} ($\mu\text{g}/\text{m}^3$)									
		OC	EC	Na^+	NH_4^+	K^+	Ca^{2+}	Cl^-	NO_3^-	SO_4^{2-}	Others
18 ก.พ. 2551	21.00-00.00 น.	22.7	9.2	0.8	1.3	1.3	0.7	1.8	9.3	12.1	49.1
19 ก.พ. 2551	00.00-03.00 น.	29.0	9.6	0.8	1.3	1.5	0.8	2.2	13.5	12.2	54.4
19 ก.พ. 2551	03.00-06.00 น.	31.9	7.3	0.5	1.3	1.6	0.7	0.6	4.4	7.6	45.1
19 ก.พ. 2551	06.00-09.00 น.	25.7	8.0	0.2	1.1	1.2	0.6	0.6	2.9	7.1	49.3
19 ก.พ. 2551	09.00-12.00 น.	23.6	5.0	0.4	0.9	0.9	1.0	0.7	2.4	6.8	56.3
19 ก.พ. 2551	12.00-15.00 น.	26.4	5.5	0.7	1.0	1.1	1.0	0.7	3.0	7.6	55.4
19 ก.พ. 2551	15.00-18.00 น.	27.1	5.1	0.6	1.1	1.0	1.0	0.6	2.3	7.6	53.7
19 ก.พ. 2551	18.00-21.00 น.	33.1	7.5	0.5	1.1	1.1	0.9	0.8	4.6	7.1	58.9
19 ก.พ. 2551	21.00-00.00 น.	34.4	9.3	0.4	1.1	2.3	0.9	0.8	5.4	8.0	80.2
20 ก.พ. 2551	00.00-03.00 น.	33.3	7.8	0.3	0.9	1.4	1.3	0.6	3.3	6.5	44.7
20 ก.พ. 2551	03.00-06.00 น.	26.5	7.3	0.3	0.9	1.7	-	0.6	2.5	6.7	34.4
20 ก.พ. 2551	06.00-09.00 น.	24.8	8.1	0.5	1.2	0.9	1.0	0.6	2.4	8.7	31.3
20 ก.พ. 2551	09.00-12.00 น.	24.0	7.6	0.3	1.1	0.7	0.9	0.5	2.2	8.0	23.3
20 ก.พ. 2551	12.00-15.00 น.	27.0	7.1	0.3	0.9	0.7	0.8	0.5	2.0	6.3	37.0
20 ก.พ. 2551	15.00-18.00 น.	38.4	6.8	0.5	1.6	1.4	0.7	0.5	4.1	10.9	40.1
20 ก.พ. 2551	18.00-21.00 น.	39.8	11.1	0.4	1.7	1.7	0.6	0.6	5.5	11.7	39.7
20 ก.พ. 2551	21.00-00.00 น.	48.6	14.6	0.3	1.4	2.2	0.6	0.6	5.9	10.7	28.3
21 ก.พ. 2551	00.00-03.00 น.	47.8	13.7	0.4	1.8	2.5	0.6	0.7	8.6	11.7	37.3
21 ก.พ. 2551	03.00-06.00 น.	28.2	7.1	0.3	1.8	2.2	0.7	0.4	2.9	11.4	24.6
21 ก.พ. 2551	06.00-09.00 น.	31.2	11.2	0.2	1.7	1.2	1.4	0.4	3.3	11.3	26.7
21 ก.พ. 2551	09.00-12.00 น.	30.9	8.6	0.3	1.7	1.1	0.8	0.5	4.7	11.7	27.3
21 ก.พ. 2551	12.00-15.00 น.	30.0	7.3	0.3	2.0	1.3	0.6	0.5	4.8	13.1	31.5
21 ก.พ. 2551	15.00-18.00 น.	33.6	8.1	0.3	1.7	1.3	1.4	0.5	5.1	13.3	25.3
21 ก.พ. 2551	18.00-21.00 น.	50.3	13.5	0.3	2.1	2.1	0.9	0.5	4.7	15.3	13.0
	ค่าเฉลี่ย	32.0	8.6	0.4	1.4	1.4	0.9	0.7	4.6	9.7	40.3
	$\pm SD$	7.9	2.6	0.2	0.4	0.5	0.2	0.4	2.7	2.6	15.1

**ตารางที่ ค-3 องค์ประกอบทางเคมี ใน PM_{10} ($\mu\text{g}/\text{m}^3$) ระหว่างวันที่ 18-21 กุมภาพันธ์ พ.ศ. 2551
บริเวณพื้นที่ศึกษา เขตราชทวี กรุงเทพมหานคร (ชั้นบน)**

องค์ประกอบทางเคมี ใน PM_{10} ($\mu\text{g}/\text{m}^3$)											
วันที่	เวลา	OC	EC	Na^+	NH_4^+	K^+	Ca^{2+}	Cl^-	NO_3^-	SO_4^{2-}	Others
18 ก.พ. 2551	21.00-00.00 น.	37.6	8.2	1.6	3.1	1.6	0.6	1.9	13.5	12.2	46.9
19 ก.พ. 2551	00.00-03.00 น.	29.5	7.4	0.5	1.3	1.4	0.6	0.5	3.8	8.1	36.3
19 ก.พ. 2551	03.00-06.00 น.	34.1	6.7	0.2	1.0	0.9	0.8	0.5	2.6	6.6	33.1
19 ก.พ. 2551	06.00-09.00 น.	32.7	6.5	0.4	0.8	0.8	0.8	0.5	2.1	6.3	42.4
19 ก.พ. 2551	09.00-12.00 น.	38.0	6.9	0.7	0.9	1.0	0.7	0.6	2.6	7.0	48.8
19 ก.พ. 2551	12.00-15.00 น.	33.1	5.7	0.7	1.1	1.1	0.9	0.5	2.6	8.4	38.5
19 ก.พ. 2551	15.00-18.00 น.	31.0	8.0	0.6	1.1	1.5	0.8	0.5	3.9	7.8	33.0
19 ก.พ. 2551	18.00-21.00 น.	43.1	8.5	0.5	0.9	1.7	0.8	0.6	3.8	7.1	50.2
19 ก.พ. 2551	21.00-00.00 น.	36.0	6.3	0.4	0.8	1.2	1.1	0.5	2.6	6.1	44.0
20 ก.พ. 2551	00.00-03.00 น.	26.5	5.7	0.4	0.9	0.8	0.7	0.6	2.2	6.4	37.6
20 ก.พ. 2551	03.00-06.00 น.	21.1	5.2	0.3	1.0	1.0	0.7	0.5	2.4	8.8	46.7
20 ก.พ. 2551	06.00-09.00 น.	24.1	7.3	0.3	1.0	0.7	0.6	0.5	1.9	8.4	51.1
20 ก.พ. 2551	09.00-12.00 น.	28.5	7.1	0.4	1.0	0.9	0.8	0.5	2.0	7.8	38.2
20 ก.พ. 2551	12.00-15.00 น.	27.4	7.0	0.4	1.8	1.3	0.7	0.5	3.8	10.6	27.1
20 ก.พ. 2551	15.00-18.00 น.	37.9	6.9	0.5	2.6	2.1	0.9	0.8	5.5	12.6	32.5
20 ก.พ. 2551	18.00-21.00 น.	37.0	9.8	0.3	2.1	1.4	1.0	0.6	4.2	10.2	37.2
20 ก.พ. 2551	21.00-00.00 น.	40.2	7.7	0.4	2.4	1.7	0.9	0.6	4.6	10.5	35.3
21 ก.พ. 2551	00.00-03.00 น.	32.9	5.1	0.3	2.2	0.9	0.7	0.5	2.1	9.6	31.0
21 ก.พ. 2551	03.00-06.00 น.	20.3	6.2	0.2	2.0	1.0	0.5	0.5	2.5	9.4	58.7
21 ก.พ. 2551	06.00-09.00 น.	23.2	11.2	0.3	2.6	1.2	0.5	0.5	5.8	12.6	29.2
21 ก.พ. 2551	09.00-12.00 น.	38.3	6.3	0.2	1.9	1.0	1.1	0.5	5.5	10.1	50.7
21 ก.พ. 2551	12.00-15.00 น.	27.7	7.4	0.4	2.5	1.5	1.0	0.6	5.5	13.4	41.5
21 ก.พ. 2551	15.00-18.00 น.	34.1	5.8	0.3	2.7	1.6	1.3	0.5	4.2	13.3	38.8
21 ก.พ. 2551	18.00-21.00 น.	29.8	8.2	1.6	3.1	1.6	0.6	1.9	13.5	12.2	46.9
	ค่าเฉลี่ย	31.8	7.3	0.5	1.7	1.2	0.8	0.6	4.2	9.3	42.1
	$\pm SD$	6.2	1.6	0.4	0.8	0.4	0.2	0.4	2.8	2.3	11.7

ตารางที่ ค-4 ร้อยละขององค์ประกอบของทางเคมี ใน PM_{10} (%) ระหว่างวันที่ 18-21 กุมภาพันธ์ พ.ศ. 2551 บริเวณพื้นที่ศึกษา เขตราชเทวี กรุงเทพมหานคร (ชั้นล่าง)

ร้อยละขององค์ประกอบของทางเคมี ใน PM_{10} (%)											
วันที่	เวลา	OC	EC	Na^+	NH_4^+	K^+	Ca^{2+}	Cl^-	NO_3^-	SO_4^{2-}	Others
18 ก.พ. 2551	21.00-00.00 น.	19.4	7.1	1.0	1.2	0.8	0.1	1.0	5.7	8.3	47.5
19 ก.พ. 2551	00.00-03.00 น.	21.1	7.0	1.1	1.0	1.0	0.1	1.1	7.9	7.7	43.5
19 ก.พ. 2551	03.00-06.00 น.	28.2	7.4	0.2	0.7	1.1	0.1	0.6	3.6	5.8	41.1
19 ก.พ. 2551	06.00-09.00 น.	23.2	8.3	0.4	0.9	1.6	0.1	0.6	2.1	4.8	48.8
19 ก.พ. 2551	09.00-12.00 น.	25.1	7.1	0.0	0.3	1.9	1.1	0.8	2.3	7.2	44.1
19 ก.พ. 2551	12.00-15.00 น.	29.7	6.3	0.9	0.9	1.3	0.7	0.9	3.2	6.9	37.4
19 ก.พ. 2551	15.00-18.00 น.	26.8	6.5	0.5	0.6	0.8	0.7	0.7	2.3	5.2	45.1
19 ก.พ. 2551	18.00-21.00 น.	31.4	9.8	0.5	0.9	-	0.9	0.7	3.7	6.0	33.6
19 ก.พ. 2551	21.00-00.00 น.	26.9	9.1	0.3	0.6	1.6	0.8	0.6	4.1	5.0	40.3
20 ก.พ. 2551	00.00-03.00 น.	26.4	6.9	0.2	0.5	1.0	1.3	0.5	2.8	4.6	45.1
20 ก.พ. 2551	03.00-06.00 น.	24.3	7.5	0.2	0.6	0.9	1.2	0.8	2.7	4.8	47.4
20 ก.พ. 2551	06.00-09.00 น.	22.1	8.3	0.3	0.1	0.9	1.0	0.7	1.7	4.6	51.5
20 ก.พ. 2551	09.00-12.00 น.	16.3	5.2	0.3	0.8	0.7	0.8	0.6	1.7	6.4	60.6
20 ก.พ. 2551	12.00-15.00 น.	24.9	5.1	0.7	1.3	1.1	1.1	0.9	2.6	9.0	43.3
20 ก.พ. 2551	15.00-18.00 น.	27.6	6.2	0.5	1.2	1.3	1.0	0.6	3.3	8.1	39.2
20 ก.พ. 2551	18.00-21.00 น.	24.5	6.7	0.3	1.2	1.0	0.8	0.6	3.8	7.6	43.6
20 ก.พ. 2551	21.00-00.00 น.	27.0	8.4	0.3	1.3	1.9	1.1	0.7	5.0	7.6	36.0
21 ก.พ. 2551	00.00-03.00 น.	24.1	8.0	0.2	1.1	1.4	0.8	0.6	5.4	6.0	42.8
21 ก.พ. 2551	03.00-06.00 น.	20.9	5.9	0.2	1.5	0.9	1.4	0.5	2.5	9.9	47.8
21 ก.พ. 2551	06.00-09.00 น.	18.1	6.5	0.2	1.4	1.1	0.8	0.5	3.0	9.4	51.8
21 ก.พ. 2551	09.00-12.00 น.	21.1	7.6	0.1	1.0	0.7	0.9	0.5	3.5	6.8	49.2
21 ก.พ. 2551	12.00-15.00 น.	21.0	5.1	0.2	1.3	0.8	0.8	0.5	4.4	8.5	49.0
21 ก.พ. 2551	15.00-18.00 น.	27.3	6.3	0.4	1.8	1.4	1.2	0.6	5.7	12.3	31.9
21 ก.พ. 2551	18.00-21.00 น.	34.6	9.2	0.3	1.6	1.5	1.1	0.6	4.0	10.2	23.1
	ค่าเฉลี่ย	24.7	7.1	0.4	1.0	1.2	0.8	0.7	3.6	7.2	43.5
	$\pm SD$	4.3	1.3	0.3	0.4	0.4	0.4	0.2	1.5	2.0	7.7

ตารางที่ ค-5 ร้อยละขององค์ประกอบทางเคมี ใน PM_{10} (%) ระหว่างวันที่ 18-21 กุมภาพันธ์ พ.ศ. 2551 บริเวณพื้นที่ศึกษา เขตราชเทวี กรุงเทพมหานคร (ชั้นคลาด)

วันที่	เวลา	ร้อยละขององค์ประกอบทางเคมีใน PM_{10} (%)									
		OC	EC	Na^+	NH_4^+	K^+	Ca^{2+}	Cl^-	NO_3^-	SO_4^{2-}	Others
18 ก.พ. 2551	21.00-00.00 น.	19.3	7.8	0.6	1.1	1.1	0.6	1.6	7.9	10.3	41.8
19 ก.พ. 2551	00.00-03.00 น.	21.2	7.0	0.6	1.0	1.1	0.6	1.6	9.8	8.9	39.7
19 ก.พ. 2551	03.00-06.00 น.	28.0	6.4	0.4	1.2	1.4	0.6	0.6	3.8	6.7	39.6
19 ก.พ. 2551	06.00-09.00 น.	24.0	7.4	0.2	1.0	1.1	0.5	0.6	2.7	6.6	46.1
19 ก.พ. 2551	09.00-12.00 น.	22.0	4.6	0.4	0.8	0.8	1.0	0.6	2.2	6.3	52.5
19 ก.พ. 2551	12.00-15.00 น.	23.4	4.9	0.6	0.9	1.0	0.9	0.6	2.6	6.8	49.0
19 ก.พ. 2551	15.00-18.00 น.	24.4	4.6	0.5	1.0	0.9	0.9	0.5	2.1	6.9	48.5
19 ก.พ. 2551	18.00-21.00 น.	25.7	5.8	0.4	0.8	0.9	0.7	0.6	3.5	5.5	45.8
19 ก.พ. 2551	21.00-00.00 น.	22.0	6.0	0.2	0.7	1.5	0.6	0.5	3.5	5.1	51.2
20 ก.พ. 2551	00.00-03.00 น.	29.4	6.9	0.3	0.8	1.2	1.2	0.5	2.9	5.8	39.4
20 ก.พ. 2551	03.00-06.00 น.	27.0	7.5	0.3	0.9	1.7	-	0.6	2.6	6.8	41.9
20 ก.พ. 2551	06.00-09.00 น.	27.7	9.1	0.6	1.3	1.0	1.1	0.7	2.7	9.7	35.0
20 ก.พ. 2551	09.00-12.00 น.	30.7	9.7	0.4	1.3	0.9	1.1	0.6	2.8	10.2	29.9
20 ก.พ. 2551	12.00-15.00 น.	28.9	7.6	0.3	1.0	0.7	0.9	0.5	2.2	6.8	39.6
20 ก.พ. 2551	15.00-18.00 น.	31.9	5.7	0.4	1.3	1.2	0.6	0.4	3.4	9.0	33.3
20 ก.พ. 2551	18.00-21.00 น.	30.9	8.6	0.3	1.3	1.3	0.5	0.5	4.3	9.1	30.9
20 ก.พ. 2551	21.00-00.00 น.	36.6	11.0	0.2	1.1	1.7	0.4	0.5	4.4	8.1	21.3
21 ก.พ. 2551	00.00-03.00 น.	33.1	9.5	0.3	1.3	1.8	0.4	0.5	6.0	8.1	25.8
21 ก.พ. 2551	03.00-06.00 น.	31.0	7.8	0.3	1.9	2.4	0.8	0.5	3.2	12.5	27.1
21 ก.พ. 2551	06.00-09.00 น.	30.8	11.1	0.2	1.7	1.1	1.4	0.4	3.3	11.1	26.4
21 ก.พ. 2551	09.00-12.00 น.	30.9	8.6	0.3	1.7	1.1	0.8	0.5	4.7	11.7	27.3
21 ก.พ. 2551	12.00-15.00 น.	29.0	7.0	0.3	2.0	1.3	0.6	0.5	4.7	12.7	30.4
21 ก.พ. 2551	15.00-18.00 น.	32.3	7.7	0.3	1.7	1.2	1.4	0.4	4.9	12.8	24.4
21 ก.พ. 2551	18.00-21.00 น.	41.0	11.0	0.3	1.7	1.7	0.8	0.4	3.8	12.4	10.6
	ค่าเฉลี่ย	28.4	7.6	0.4	1.2	1.3	0.8	0.6	3.9	8.8	35.7
	$\pm SD$	5.1	1.9	0.1	0.4	0.4	0.3	0.3	1.8	2.5	10.6

ตารางที่ ค-6 ร้อยละขององค์ประกอบของทางเคมี ใน PM_{10} (%) ระหว่างวันที่ 18-21 กุมภาพันธ์ พ.ศ. 2551 บริเวณพื้นที่ศึกษา เขตราชเทวี กรุงเทพมหานคร (ชั้นบน)

ร้อยละขององค์ประกอบของทางเคมี ใน PM_{10} (%)											
วันที่	เวลา	OC	EC	Na^+	NH_4^+	K^+	Ca^{2+}	Cl^-	NO_3^-	SO_4^{2-}	Others
18 ก.พ. 2551	21.00-00.00 น.	21.4	6.4	0.9	1.1	0.7	0.3	1.1	6.2	6.3	47.0
19 ก.พ. 2551	00.00-03.00 น.	22.5	6.3	1.2	2.4	1.2	0.5	1.4	10.3	9.3	35.8
19 ก.พ. 2551	03.00-06.00 น.	31.6	6.9	0.5	1.2	1.3	0.6	0.4	3.6	7.5	33.7
19 ก.พ. 2551	06.00-09.00 น.	33.3	6.9	0.2	1.0	0.9	0.8	0.5	2.6	6.7	33.7
19 ก.พ. 2551	09.00-12.00 น.	33.4	5.7	0.4	0.7	0.7	0.7	0.4	1.8	5.5	37.3
19 ก.พ. 2551	12.00-15.00 น.	28.7	5.9	0.6	0.7	0.8	0.6	0.5	2.2	6.0	42.3
19 ก.พ. 2551	15.00-18.00 น.	30.2	5.6	0.7	1.1	1.1	0.8	0.5	2.5	8.1	37.4
19 ก.พ. 2551	18.00-21.00 น.	36.7	6.8	0.5	0.9	1.2	0.7	0.5	3.3	6.6	28.0
19 ก.พ. 2551	21.00-00.00 น.	28.9	6.8	0.4	0.7	1.4	0.7	0.5	3.1	5.7	40.3
20 ก.พ. 2551	00.00-03.00 น.	26.5	6.3	0.4	0.8	1.2	1.1	0.5	2.6	6.1	44.0
20 ก.พ. 2551	03.00-06.00 น.	24.9	6.8	0.5	1.1	1.0	0.8	0.7	2.6	7.5	44.3
20 ก.พ. 2551	06.00-09.00 น.	24.0	5.2	0.3	1.0	1.0	0.7	0.5	2.4	8.7	46.6
20 ก.พ. 2551	09.00-12.00 น.	25.5	6.5	0.3	0.9	0.6	0.6	0.4	1.7	7.5	45.7
20 ก.พ. 2551	12.00-15.00 น.	28.3	7.3	0.4	1.0	0.9	0.8	0.5	2.1	8.0	39.4
20 ก.พ. 2551	15.00-18.00 น.	35.7	6.6	0.4	1.7	1.3	0.7	0.5	3.6	9.9	25.4
20 ก.พ. 2551	18.00-21.00 น.	31.8	5.9	0.4	2.2	1.8	0.8	0.7	4.7	10.9	28.0
20 ก.พ. 2551	21.00-00.00 น.	32.7	8.0	0.2	1.7	1.2	0.8	0.5	3.4	8.3	30.2
21 ก.พ. 2551	00.00-03.00 น.	29.8	7.0	0.4	2.2	1.5	0.8	0.6	4.2	9.6	32.0
21 ก.พ. 2551	03.00-06.00 น.	25.1	6.3	0.3	2.8	1.1	0.9	0.7	2.6	11.9	38.3
21 ก.พ. 2551	06.00-09.00 น.	20.4	5.4	0.2	1.8	0.9	0.4	0.4	2.2	8.3	51.8
21 ก.พ. 2551	09.00-12.00 น.	32.6	9.5	0.2	2.2	1.0	0.4	0.4	4.9	10.7	24.9
21 ก.พ. 2551	12.00-15.00 น.	23.9	5.5	0.1	1.6	0.8	1.0	0.4	4.7	8.7	43.7
21 ก.พ. 2551	15.00-18.00 น.	28.1	6.1	0.3	2.1	1.2	0.8	0.5	4.6	11.0	34.1
21 ก.พ. 2551	18.00-21.00 น.	27.0	5.3	0.2	2.5	1.5	1.2	0.5	3.8	12.0	35.2
	ค่าเฉลี่ย	28.5	6.5	0.4	1.5	1.1	0.7	0.6	3.6	8.4	37.5
	$\pm SD$	4.5	1.0	0.2	0.7	0.3	0.2	0.2	1.8	2.0	7.3

ตารางที่ ค-7 ความเข้มข้นขององค์ประกอบการบ่อนใน PM_{10} ($\mu\text{g}/\text{m}^3$) ระหว่างวันที่ 18-21
กุมภาพันธ์ พ.ศ. 2551 บริเวณพื้นที่ศึกษา เขตราชเทวี กรุงเทพมหานคร (ชั้นล่าง)

ความเข้มข้นขององค์ประกอบการบ่อนใน PM_{10} ($\mu\text{g}/\text{m}^3$)											
วันที่	เวลา	TC	OC	EC	OC1	OC2	OC3	OC4	EC1	EC2	EC3
18 ก.พ. 2551	21.00-00.00 น.	40.0	29.2	10.7	1.4	8.2	13.1	6.3	10.4	0.5	0.0
19 ก.พ. 2551	00.00-03.00 น.	40.2	30.2	10.1	1.4	8.4	12.7	7.1	10.0	0.6	0.0
19 ก.พ. 2551	03.00-06.00 น.	42.8	34.0	8.9	3.1	6.4	13.4	7.9	10.9	1.0	0.2
19 ก.พ. 2551	06.00-09.00 น.	36.8	27.1	9.7	1.2	7.1	10.9	5.8	9.9	1.8	0.2
19 ก.พ. 2551	09.00-12.00 น.	30.7	23.9	6.8	0.8	6.1	9.6	5.3	7.4	1.3	0.2
19 ก.พ. 2551	12.00-15.00 น.	33.8	27.9	5.9	1.0	7.1	11.8	6.6	6.3	0.9	0.1
19 ก.พ. 2551	15.00-18.00 น.	36.3	29.2	7.1	1.3	7.0	12.3	6.2	7.9	1.2	0.4
19 ก.พ. 2551	18.00-21.00 น.	50.5	38.6	12.0	3.4	8.1	16.2	8.8	12.8	1.0	0.3
19 ก.พ. 2551	21.00-00.00 น.	55.1	41.2	13.9	1.2	12.2	17.2	10.5	12.3	1.4	0.2
20 ก.พ. 2551	00.00-03.00 น.	39.7	31.4	8.2	1.5	8.0	12.7	6.8	9.6	1.1	0.0
20 ก.พ. 2551	03.00-06.00 น.	31.1	23.8	7.3	1.1	5.4	9.8	5.1	7.8	1.5	0.6
20 ก.พ. 2551	06.00-09.00 น.	26.8	19.5	7.3	1.6	4.2	7.9	4.5	6.9	1.5	0.2
20 ก.พ. 2551	09.00-12.00 น.	23.6	17.9	5.7	1.1	4.5	7.1	4.2	5.2	1.4	0.1
20 ก.พ. 2551	12.00-15.00 น.	28.2	23.4	4.8	1.0	5.3	9.6	5.6	5.9	0.8	0.1
20 ก.พ. 2551	15.00-18.00 น.	42.3	34.5	7.8	3.3	5.9	13.8	8.4	9.2	1.2	0.5
20 ก.พ. 2551	18.00-21.00 น.	43.6	34.2	9.4	3.5	6.6	12.9	8.0	11.0	1.2	0.4
20 ก.พ. 2551	21.00-00.00 น.	50.5	38.5	12.0	4.3	7.5	14.4	8.2	14.6	1.2	0.3
21 ก.พ. 2551	00.00-03.00 น.	52.8	39.7	13.1	4.0	7.6	15.2	9.0	15.4	1.2	0.5
21 ก.พ. 2551	03.00-06.00 น.	26.4	20.6	5.8	1.1	4.9	7.7	4.6	6.6	1.1	0.3
21 ก.พ. 2551	06.00-09.00 น.	25.3	18.7	6.7	1.0	4.5	7.3	4.2	7.2	1.1	0.0
21 ก.พ. 2551	09.00-12.00 น.	33.7	24.8	8.9	1.2	6.0	9.6	6.1	9.0	1.4	0.4
21 ก.พ. 2551	12.00-15.00 น.	32.9	26.4	6.5	2.9	5.0	9.8	6.4	7.6	1.0	0.2
21 ก.พ. 2551	15.00-18.00 น.	35.6	29.0	6.6	1.3	6.6	11.7	6.9	7.6	1.1	0.4
21 ก.พ. 2551	18.00-21.00 น.	48.2	38.1	10.1	4.1	7.6	13.8	8.8	12.2	1.2	0.4
	ค่าเฉลี่ย	37.8	29.2	8.6	2.0	6.7	11.7	6.7	9.3	1.1	0.3
	$\pm SD$	9.1	7.0	2.5	1.2	1.7	2.8	1.7	2.7	0.3	0.2

ตารางที่ ค-8 ความเข้มข้นขององค์ประกอบอันตรายใน PM_{10} ($\mu\text{g}/\text{m}^3$) ระหว่างวันที่ 18-21 กุมภาพันธ์ พ.ศ. 2551 บริเวณพื้นที่กีழา เขตราชเทวี กรุงเทพมหานคร (ชั้นกลาง)

ความเข้มข้นขององค์ประกอบการรบอนใน PM_{10} ($\mu\text{g}/\text{m}^3$)											
วันที่	เวลา	TC	OC	EC	OC1	OC2	OC3	OC4	EC1	EC2	EC3
18 ก.พ. 2551	21.00-00.00 น.	31.9	22.7	9.2	1.4	6.4	8.9	5.6	7.3	1.2	1.1
19 ก.พ. 2551	00.00-03.00 น.	38.6	29.0	9.6	3.3	6.3	11.6	7.0	9.4	0.6	0.3
19 ก.พ. 2551	03.00-06.00 น.	39.2	31.9	7.3	1.2	7.1	13.3	6.8	10.0	0.7	0.0
19 ก.พ. 2551	06.00-09.00 น.	33.7	25.7	8.0	0.9	6.7	10.8	5.3	8.3	1.4	0.3
19 ก.พ. 2551	09.00-12.00 น.	28.6	23.6	5.0	0.9	5.7	9.7	5.2	6.1	0.9	0.0
19 ก.พ. 2551	12.00-15.00 น.	31.9	26.4	5.5	0.9	5.8	11.2	6.1	6.5	0.8	0.6
19 ก.พ. 2551	15.00-18.00 น.	32.2	27.1	5.1	1.0	7.0	10.6	5.7	7.1	0.7	0.2
19 ก.พ. 2551	18.00-21.00 น.	40.6	33.1	7.5	2.6	5.8	14.0	6.3	11.3	0.7	0.0
19 ก.พ. 2551	21.00-00.00 น.	43.7	34.4	9.3	3.4	7.1	13.7	7.5	11.2	1.0	0.0
20 ก.พ. 2551	00.00-03.00 น.	41.0	33.3	7.8	1.7	7.6	14.0	6.2	9.5	1.1	0.9
20 ก.พ. 2551	03.00-06.00 น.	33.9	26.5	7.3	1.4	6.4	10.6	5.5	7.2	1.6	1.2
20 ก.พ. 2551	06.00-09.00 น.	32.9	24.8	8.1	1.3	6.4	9.8	5.2	7.6	1.5	1.1
20 ก.พ. 2551	09.00-12.00 น.	31.6	24.0	7.6	1.2	5.9	9.8	5.4	6.9	1.4	1.1
20 ก.พ. 2551	12.00-15.00 น.	34.1	27.0	7.1	1.2	6.1	10.9	6.2	7.2	1.4	1.1
20 ก.พ. 2551	15.00-18.00 น.	45.3	38.4	6.8	1.4	8.3	16.4	8.5	9.4	0.9	0.4
20 ก.พ. 2551	18.00-21.00 น.	50.9	39.8	11.1	1.6	9.6	16.0	9.5	12.2	1.4	0.6
20 ก.พ. 2551	21.00-00.00 น.	63.2	48.6	14.6	1.9	11.8	20.1	10.4	16.4	1.5	1.0
21 ก.พ. 2551	00.00-03.00 น.	61.5	47.8	13.7	3.9	9.4	18.8	11.0	16.1	1.3	0.9
21 ก.พ. 2551	03.00-06.00 น.	35.3	28.2	7.1	1.1	6.7	11.0	5.7	9.0	1.3	0.4
21 ก.พ. 2551	06.00-09.00 น.	42.4	31.2	11.2	1.3	8.2	11.9	6.8	11.5	1.7	1.0
21 ก.พ. 2551	09.00-12.00 น.	39.5	30.9	8.6	3.6	6.0	12.0	6.1	10.1	1.5	0.2
21 ก.พ. 2551	12.00-15.00 น.	37.2	30.0	7.3	1.6	7.6	11.9	6.6	7.7	1.2	0.6
21 ก.พ. 2551	15.00-18.00 น.	41.7	33.6	8.1	1.4	7.7	13.4	7.9	8.5	1.6	1.1
21 ก.พ. 2551	18.00-21.00 น.	63.8	50.3	13.5	3.9	11.3	18.6	11.6	15.7	1.9	0.9
	ค่าเฉลี่ย	40.6	32.0	8.6	1.8	7.4	12.9	7.0	9.7	1.2	0.6
	$\pm SD$	10.0	7.9	2.6	1.0	1.7	3.1	1.9	3.0	0.4	0.4

ตารางที่ ค-9 ความเข้มข้นขององค์ประกอบคาร์บอน ใน PM_{10} ($\mu\text{g}/\text{m}^3$) ระหว่างวันที่ 18-21
กุมภาพันธ์ พ.ศ. 2551 บริเวณพื้นที่ศึกษา เขตราชเทวี กรุงเทพมหานคร (ชั้นบน)

ความเข้มข้นขององค์ประกอบคาร์บอน ใน PM_{10} ($\mu\text{g}/\text{m}^3$)											
วันที่	เวลา	TC	OC	EC	OC1	OC2	OC3	OC4	EC1	EC2	EC3
18 ก.พ. 2551	21.00-00.00 น.	48.9	37.6	11.3	1.5	8.9	16.8	8.6	11.3	1.3	0.7
19 ก.พ. 2551	00.00-03.00 น.	37.7	29.5	8.2	1.1	7.7	12.3	6.6	9.2	0.6	0.3
19 ก.พ. 2551	03.00-06.00 น.	41.4	34.1	7.4	1.4	7.8	13.4	6.7	10.5	1.0	0.7
19 ก.พ. 2551	06.00-09.00 น.	39.5	32.7	6.7	1.1	7.3	15.1	6.0	8.1	1.3	0.6
19 ก.พ. 2551	09.00-12.00 น.	44.5	38.0	6.5	1.1	8.3	18.5	7.0	7.9	1.2	0.5
19 ก.พ. 2551	12.00-15.00 น.	40.0	33.1	6.9	1.1	7.3	13.6	7.7	8.6	1.1	0.6
19 ก.พ. 2551	15.00-18.00 น.	36.8	31.0	5.7	1.4	6.9	13.0	6.4	7.6	0.9	0.5
19 ก.พ. 2551	18.00-21.00 น.	51.1	43.1	8.0	3.6	7.4	18.3	8.6	12.0	0.8	0.4
19 ก.พ. 2551	21.00-00.00 น.	44.6	36.0	8.5	1.4	7.9	15.6	7.2	10.5	1.5	0.6
20 ก.พ. 2551	00.00-03.00 น.	32.8	26.5	6.3	0.9	6.2	11.0	5.3	7.7	1.1	0.7
20 ก.พ. 2551	03.00-06.00 น.	26.8	21.1	5.7	0.8	5.4	8.7	2.9	6.9	1.3	0.8
20 ก.พ. 2551	06.00-09.00 น.	29.2	24.1	5.2	1.0	5.8	10.9	4.4	5.3	1.4	0.4
20 ก.พ. 2551	09.00-12.00 น.	35.8	28.5	7.3	0.7	6.5	13.1	5.8	7.3	1.6	0.7
20 ก.พ. 2551	12.00-15.00 น.	34.6	27.4	7.1	1.3	6.1	11.9	5.8	6.9	1.6	1.1
20 ก.พ. 2551	15.00-18.00 น.	44.9	37.9	7.0	1.1	8.7	15.6	8.2	9.8	1.4	0.3
20 ก.พ. 2551	18.00-21.00 น.	43.9	37.0	6.9	1.3	8.1	14.9	8.7	9.5	1.1	0.4
20 ก.พ. 2551	21.00-00.00 น.	50.0	40.2	9.8	3.6	7.5	15.7	8.3	12.9	1.3	0.6
21 ก.พ. 2551	00.00-03.00 น.	40.6	32.9	7.7	3.3	6.1	12.8	6.8	10.0	1.0	0.5
21 ก.พ. 2551	03.00-06.00 น.	25.4	20.3	5.1	0.8	4.7	8.0	4.1	6.4	0.9	0.6
21 ก.พ. 2551	06.00-09.00 น.	29.3	23.2	6.2	1.0	5.6	9.7	4.6	7.1	1.0	0.4
21 ก.พ. 2551	09.00-12.00 น.	49.5	38.3	11.2	1.3	9.3	16.0	8.0	12.4	1.9	0.7
21 ก.พ. 2551	12.00-15.00 น.	34.0	27.7	6.3	1.3	6.6	11.1	6.4	7.1	1.2	0.4
21 ก.พ. 2551	15.00-18.00 น.	41.5	34.1	7.4	3.3	6.1	13.4	7.6	9.4	1.2	0.6
21 ก.พ. 2551	18.00-21.00 น.	35.6	29.8	5.8	0.9	6.3	11.2	7.9	7.7	1.0	0.4
	ค่าเฉลี่ย	39.1	31.8	7.3	1.5	7.0	13.4	6.6	8.8	1.2	0.5
	$\pm SD$	7.4	6.2	1.6	0.9	1.2	2.8	1.6	2.0	0.3	0.2

ตารางที่ ค-10 ร้อยละขององค์ประกอบการบันบนใน PM_{10} (%) ระหว่างวันที่ 18-21 กุมภาพันธ์ พ.ศ. 2551 บริเวณพื้นที่ศึกษา เขตราชเทวี กรุงเทพมหานคร (ชั้นล่าง)

ร้อยละขององค์ประกอบการบันบนใน PM_{10} (%)											
วันที่	เวลา	TC	OC	EC	OCI	OC2	OC3	OC4	EC1	EC2	EC3
18 ก.พ. 2551	21.00-00.00 น.	26.6	19.4	7.1	0.9	5.5	8.7	4.2	6.9	0.4	0.0
19 ก.พ. 2551	00.00-03.00 น.	28.1	21.1	7.0	1.0	5.8	8.9	5.0	7.0	0.4	0.0
19 ก.พ. 2551	03.00-06.00 น.	35.6	28.2	7.4	2.5	5.3	11.2	6.5	9.1	0.8	0.2
19 ก.พ. 2551	06.00-09.00 น.	31.5	23.2	8.3	1.0	6.1	9.3	5.0	8.4	1.5	0.2
19 ก.พ. 2551	09.00-12.00 น.	32.2	25.1	7.1	0.8	6.4	10.1	5.6	7.7	1.4	0.2
19 ก.พ. 2551	12.00-15.00 น.	36.0	29.7	6.3	1.1	7.5	12.5	7.0	6.7	1.0	0.2
19 ก.พ. 2551	15.00-18.00 น.	33.3	26.8	6.5	1.2	6.4	11.3	5.7	7.3	1.1	0.4
19 ก.พ. 2551	18.00-21.00 น.	41.2	31.4	9.8	2.8	6.6	13.2	7.2	10.4	0.8	0.3
19 ก.พ. 2551	21.00-00.00 น.	36.0	26.9	9.1	0.8	7.9	11.3	6.9	8.0	0.9	0.2
20 ก.พ. 2551	00.00-03.00 น.	33.4	26.4	6.9	1.3	6.8	10.7	5.7	8.0	0.9	0.0
20 ก.พ. 2551	03.00-06.00 น.	31.8	24.3	7.5	1.1	5.5	10.0	5.2	7.9	1.5	0.6
20 ก.พ. 2551	06.00-09.00 น.	30.3	22.1	8.3	1.9	4.7	8.9	5.1	7.8	1.7	0.2
20 ก.พ. 2551	09.00-12.00 น.	21.5	16.3	5.2	1.0	4.1	6.4	3.9	4.8	1.3	0.1
20 ก.พ. 2551	12.00-15.00 น.	30.0	24.9	5.1	1.1	5.7	10.2	5.9	6.2	0.9	0.1
20 ก.พ. 2551	15.00-18.00 น.	33.8	27.6	6.2	2.7	4.7	11.0	6.7	7.3	1.0	0.4
20 ก.พ. 2551	18.00-21.00 น.	31.2	24.5	6.7	2.5	4.7	9.2	5.7	7.9	0.9	0.3
20 ก.พ. 2551	21.00-00.00 น.	35.4	27.0	8.4	3.0	5.3	10.1	5.8	10.2	0.8	0.2
21 ก.พ. 2551	00.00-03.00 น.	32.1	24.1	8.0	2.4	4.6	9.2	5.4	9.4	0.7	0.3
21 ก.พ. 2551	03.00-06.00 น.	26.9	20.9	5.9	1.2	5.0	7.8	4.7	6.7	1.1	0.4
21 ก.พ. 2551	06.00-09.00 น.	24.5	18.1	6.5	0.9	4.4	7.1	4.1	7.0	1.0	0.0
21 ก.พ. 2551	09.00-12.00 น.	28.7	21.1	7.6	1.0	5.1	8.2	5.2	7.7	1.2	0.3
21 ก.พ. 2551	12.00-15.00 น.	26.1	21.0	5.1	2.3	3.9	7.8	5.1	6.0	0.8	0.2
21 ก.พ. 2551	15.00-18.00 น.	33.6	27.3	6.3	1.3	6.2	11.0	6.5	7.2	1.0	0.4
21 ก.พ. 2551	18.00-21.00 น.	43.8	34.6	9.2	3.7	6.9	12.6	8.0	11.1	1.1	0.4
	ค่าเฉลี่ย	31.8	24.7	7.1	1.6	5.6	9.9	5.7	7.8	1.0	0.2
	$\pm SD$	5.0	4.3	1.3	0.9	1.1	1.7	1.0	1.4	0.3	0.1

ตารางที่ ก-11 ร้อยละขององค์ประกอบของคาร์บอน ใน PM_{10} (%) ระหว่างวันที่ 18-21 กุมภาพันธ์ พ.ศ. 2551 บริเวณพื้นที่ศึกษาเขตราชเทวี กรุงเทพมหานคร (ชั้นกลาง)

ร้อยละขององค์ประกอบของคาร์บอน ใน PM_{10} (%)											
วันที่	เวลา	TC	OC	EC	OCI	OC2	OC3	OC4	EC1	EC2	EC3
18 ก.พ. 2551	21.00-00.00 น.	27.2	19.3	7.8	1.2	5.5	7.6	4.8	6.2	1.0	0.9
19 ก.พ. 2551	00.00-03.00 น.	28.2	21.2	7.0	2.4	4.6	8.5	5.1	6.9	0.5	0.2
19 ก.พ. 2551	03.00-06.00 น.	34.4	28.0	6.4	1.1	6.3	11.7	6.0	8.8	0.6	0.0
19 ก.พ. 2551	06.00-09.00 น.	31.5	24.0	7.4	0.8	6.2	10.1	5.0	7.8	1.3	0.3
19 ก.พ. 2551	09.00-12.00 น.	26.6	22.0	4.6	0.9	5.3	9.1	4.9	5.7	0.8	0.0
19 ก.พ. 2551	12.00-15.00 น.	28.3	23.4	4.9	0.8	5.2	9.9	5.4	5.7	0.7	0.6
19 ก.พ. 2551	15.00-18.00 น.	29.1	24.4	4.6	0.9	6.3	9.6	5.2	6.4	0.6	0.2
19 ก.พ. 2551	18.00-21.00 น.	31.6	25.7	5.8	2.0	4.5	10.9	4.9	8.8	0.5	0.0
19 ก.พ. 2551	21.00-00.00 น.	27.9	22.0	6.0	2.1	4.5	8.7	4.8	7.1	0.6	0.0
20 ก.พ. 2551	00.00-03.00 น.	36.2	29.4	6.9	1.5	6.7	12.4	5.5	8.4	0.9	0.8
20 ก.พ. 2551	03.00-06.00 น.	34.4	27.0	7.5	1.4	6.5	10.8	5.6	7.3	1.6	1.2
20 ก.พ. 2551	06.00-09.00 น.	36.8	27.7	9.1	1.5	7.2	11.0	5.8	8.5	1.7	1.2
20 ก.พ. 2551	09.00-12.00 น.	40.5	30.7	9.7	1.5	7.5	12.6	6.9	8.8	1.8	1.4
20 ก.พ. 2551	12.00-15.00 น.	36.5	28.9	7.6	1.3	6.5	11.7	6.6	7.7	1.5	1.2
20 ก.พ. 2551	15.00-18.00 น.	37.6	31.9	5.7	1.2	6.9	13.6	7.0	7.8	0.8	0.3
20 ก.พ. 2551	18.00-21.00 น.	39.5	30.9	8.6	1.2	7.4	12.4	7.4	9.5	1.1	0.4
20 ก.พ. 2551	21.00-00.00 น.	47.6	36.6	11.0	1.4	8.9	15.2	7.8	12.4	1.2	0.8
21 ก.พ. 2551	00.00-03.00 น.	42.6	33.1	9.5	2.7	6.5	13.0	7.6	11.2	0.9	0.6
21 ก.พ. 2551	03.00-06.00 น.	38.9	31.0	7.8	1.2	7.4	12.1	6.3	9.9	1.4	0.5
21 ก.พ. 2551	06.00-09.00 น.	42.0	30.8	11.1	1.3	8.1	11.8	6.7	11.4	1.7	1.0
21 ก.พ. 2551	09.00-12.00 น.	39.5	30.9	8.6	3.6	6.0	12.0	6.1	10.1	1.5	0.2
21 ก.พ. 2551	12.00-15.00 น.	36.0	29.0	7.0	1.5	7.4	11.5	6.3	7.4	1.2	0.6
21 ก.พ. 2551	15.00-18.00 น.	40.1	32.3	7.7	1.4	7.4	12.9	7.6	8.2	1.5	1.0
21 ก.พ. 2551	18.00-21.00 น.	51.9	41.0	11.0	3.1	9.2	15.1	9.5	12.8	1.5	0.7
	ค่าเฉลี่ย	36.0	28.4	7.6	1.6	6.6	11.4	6.2	8.5	1.1	0.6
	$\pm SD$	6.6	5.1	1.9	0.7	1.3	1.9	1.2	2.0	0.4	0.4

ตารางที่ ค-12 ร้อยละขององค์ประกอบน้ำมันใน PM_{10} (%) ระหว่างวันที่ 18-21 กุมภาพันธ์
พ.ศ. 2551 บริเวณพื้นที่ศึกษา เขตราชเทวี กรุงเทพมหานคร (ชั้นบน)

ร้อยละขององค์ประกอบน้ำมันใน PM_{10} (%)											
วันที่	เวลา	TC	OC	EC	OC1	OC2	OC3	OC4	EC1	EC2	EC3
18 ก.พ. 2551	21.00-00.00 น.	27.9	21.4	6.4	0.8	5.1	9.5	4.9	6.4	0.7	0.4
19 ก.พ. 2551	00.00-03.00 น.	28.8	22.5	6.3	0.8	5.9	9.4	5.0	7.0	0.4	0.2
19 ก.พ. 2551	03.00-06.00 น.	38.5	31.6	6.9	1.3	7.3	12.5	6.2	9.7	0.9	0.6
19 ก.พ. 2551	06.00-09.00 น.	40.2	33.3	6.9	1.1	7.4	15.3	6.1	8.2	1.4	0.6
19 ก.พ. 2551	09.00-12.00 น.	39.1	33.4	5.7	1.0	7.3	16.3	6.2	6.9	1.0	0.4
19 ก.พ. 2551	12.00-15.00 น.	34.7	28.7	5.9	0.9	6.3	11.8	6.7	7.5	0.9	0.5
19 ก.พ. 2551	15.00-18.00 น.	35.7	30.2	5.6	1.4	6.7	12.6	6.2	7.4	0.9	0.5
19 ก.พ. 2551	18.00-21.00 น.	43.5	36.7	6.8	3.0	6.3	15.5	7.4	10.2	0.7	0.3
19 ก.พ. 2551	21.00-00.00 น.	35.7	28.9	6.8	1.1	6.3	12.5	5.8	8.4	1.2	0.5
20 ก.พ. 2551	00.00-03.00 น.	32.8	26.5	6.3	0.9	6.2	11.0	5.3	7.7	1.1	0.7
20 ก.พ. 2551	03.00-06.00 น.	31.6	24.9	6.8	0.9	6.4	10.2	3.4	8.2	1.6	0.9
20 ก.พ. 2551	06.00-09.00 น.	29.2	24.0	5.2	1.0	5.8	10.9	4.4	5.3	1.4	0.4
20 ก.พ. 2551	09.00-12.00 น.	32.0	25.5	6.5	0.6	5.8	11.7	5.2	6.6	1.5	0.7
20 ก.พ. 2551	12.00-15.00 น.	35.6	28.3	7.3	1.3	6.3	12.2	6.0	7.1	1.6	1.1
20 ก.พ. 2551	15.00-18.00 น.	42.2	35.7	6.6	1.0	8.1	14.6	7.7	9.2	1.3	0.3
20 ก.พ. 2551	18.00-21.00 น.	37.8	31.8	5.9	1.1	7.0	12.8	7.5	8.2	1.0	0.3
20 ก.พ. 2551	21.00-00.00 น.	40.6	32.7	8.0	2.9	6.1	12.8	6.8	10.5	1.1	0.5
21 ก.พ. 2551	00.00-03.00 น.	36.8	29.8	7.0	3.0	5.6	11.6	6.2	9.1	0.9	0.4
21 ก.พ. 2551	03.00-06.00 น.	31.4	25.1	6.3	1.0	5.9	9.9	5.0	7.9	1.1	0.7
21 ก.พ. 2551	06.00-09.00 น.	25.8	20.4	5.4	0.8	4.9	8.5	4.1	6.2	0.9	0.4
21 ก.พ. 2551	09.00-12.00 น.	42.1	32.6	9.5	1.1	7.9	13.6	6.8	10.5	1.6	0.6
21 ก.พ. 2551	12.00-15.00 น.	29.4	23.9	5.5	1.1	5.7	9.6	5.5	6.2	1.0	0.3
21 ก.พ. 2551	15.00-18.00 น.	34.2	28.1	6.1	2.7	5.0	11.0	6.3	7.7	1.0	0.5
21 ก.พ. 2551	18.00-21.00 น.	32.3	27.0	5.3	0.8	5.7	10.2	7.2	7.0	0.9	0.4
	ค่าเฉลี่ย	34.9	28.5	6.5	1.3	6.3	11.9	5.9	7.9	1.1	0.5
	$\pm SD$	4.9	4.5	1.0	0.7	0.9	2.1	1.1	1.4	0.3	0.2

ตารางที่ ค-13 ร้อยละขององค์ประกอบคาร์บอน ใน PM_{10} (%) ระหว่างวันที่ 18-21 กุมภาพันธ์ พ.ศ. 2551 บริเวณพื้นที่ศึกษาเขตราชเทวี กรุงเทพมหานคร

วันที่	เวลา	ร้อยละขององค์ประกอบคาร์บอน ใน PM_{10}								
		% TC in PM_{10}	% OC in PM_{10}	% EC in PM_{10}	ชั่นต่ำ	ชั่นกลาง	ชั่นบน	ชั่นต่ำ	ชั่นกลาง	ชั่นบน
18 ก.พ. 2551	21.00-00.00 น.	26.6	27.2	27.9	19.4	19.3	21.4	7.1	7.8	6.4
19 ก.พ. 2551	00.00-03.00 น.	28.1	28.2	28.8	21.1	21.2	22.5	7.0	7.0	6.3
19 ก.พ. 2551	03.00-06.00 น.	35.6	34.4	38.5	28.2	28.0	31.6	7.4	6.4	6.9
19 ก.พ. 2551	06.00-09.00 น.	31.5	31.5	40.2	23.2	24.0	33.3	8.3	7.4	6.9
19 ก.พ. 2551	09.00-12.00 น.	32.2	26.6	39.1	25.1	22.0	33.4	7.1	4.6	5.7
19 ก.พ. 2551	12.00-15.00 น.	36.0	28.3	34.7	29.7	23.4	28.7	6.3	4.9	5.9
19 ก.พ. 2551	15.00-18.00 น.	33.3	29.1	35.7	26.8	24.4	30.2	6.5	4.6	5.6
19 ก.พ. 2551	18.00-21.00 น.	41.2	31.6	43.5	31.4	25.7	36.7	9.8	5.8	6.8
19 ก.พ. 2551	21.00-00.00 น.	36.0	27.9	35.7	26.9	22.0	28.9	9.1	6.0	6.8
20 ก.พ. 2551	00.00-03.00 น.	33.4	36.2	32.8	26.4	29.4	26.5	6.9	6.9	6.3
20 ก.พ. 2551	03.00-06.00 น.	31.8	34.4	31.6	24.3	27.0	24.9	7.5	7.5	6.8
20 ก.พ. 2551	06.00-09.00 น.	30.3	36.8	29.2	22.1	27.7	24.0	8.3	9.1	5.2
20 ก.พ. 2551	09.00-12.00 น.	21.5	40.5	32.0	16.3	30.7	25.5	5.2	9.7	6.5
20 ก.พ. 2551	12.00-15.00 น.	30.0	36.5	35.6	24.9	28.9	28.3	5.1	7.6	7.3
20 ก.พ. 2551	15.00-18.00 น.	33.8	37.6	42.2	27.6	31.9	35.7	6.2	5.7	6.6
20 ก.พ. 2551	18.00-21.00 น.	31.2	39.5	37.8	24.5	30.9	31.8	6.7	8.6	5.9
20 ก.พ. 2551	21.00-00.00 น.	35.4	47.6	40.6	27.0	36.6	32.7	8.4	11.0	8.0
21 ก.พ. 2551	00.00-03.00 น.	32.1	42.6	36.8	24.1	33.1	29.8	8.0	9.5	7.0
21 ก.พ. 2551	03.00-06.00 น.	26.9	38.9	31.4	20.9	31.0	25.1	5.9	7.8	6.3
21 ก.พ. 2551	06.00-09.00 น.	24.5	42.0	25.8	18.1	30.8	20.4	6.5	11.1	5.4
21 ก.พ. 2551	09.00-12.00 น.	28.7	39.5	42.1	21.1	30.9	32.6	7.6	8.6	9.5
21 ก.พ. 2551	12.00-15.00 น.	26.1	36.0	29.4	21.0	29.0	23.9	5.1	7.0	5.5
21 ก.พ. 2551	15.00-18.00 น.	33.6	40.1	34.2	27.3	32.3	28.1	6.3	7.7	6.1
21 ก.พ. 2551	18.00-21.00 น.	43.8	51.9	32.3	34.6	41.0	27.0	9.2	11.0	5.3
	ค่าเฉลี่ย	31.8	36.0	34.9	24.7	28.4	28.5	7.1	7.6	6.5
	$\pm SD$	5.0	6.6	4.9	4.3	5.1	4.5	1.3	1.9	1.0

ตารางที่ ก-14 ร้อยละของ OC และ EC ใน TC (%) ตามระดับความสูง ระหว่างวันที่ 18-21
กุมภาพันธ์ พ.ศ. 2551 บริเวณพื้นที่ศึกษา เขตราชเทวี กรุงเทพมหานคร

วันที่	เวลา	ร้อยละของ OC และ EC ใน TC (%)					
		ชั้นล่าง		ชั้นกลาง		ชั้นบน	
		OC	EC	OC	EC	OC	EC
18 ก.พ. 2551	21.00-00.00 น.	73.1	26.9	71.2	28.8	76.9	23.1
19 ก.พ. 2551	00.00-03.00 น.	75.0	25.0	75.1	24.9	78.2	21.8
19 ก.พ. 2551	03.00-06.00 น.	79.3	20.7	81.4	18.6	82.2	17.8
19 ก.พ. 2551	06.00-09.00 น.	73.6	26.4	76.4	23.6	82.9	17.1
19 ก.พ. 2551	09.00-12.00 น.	77.9	22.1	82.7	17.3	85.4	14.6
19 ก.พ. 2551	12.00-15.00 น.	82.5	17.5	82.8	17.2	82.9	17.1
19 ก.พ. 2551	15.00-18.00 น.	80.5	19.5	84.1	15.9	84.4	15.6
19 ก.พ. 2551	18.00-21.00 น.	76.3	23.7	81.5	18.5	84.3	15.7
19 ก.พ. 2551	21.00-00.00 น.	74.8	25.2	78.7	21.3	80.9	19.1
20 ก.พ. 2551	00.00-03.00 น.	79.2	20.8	81.1	18.9	80.8	19.2
20 ก.พ. 2551	03.00-06.00 น.	76.5	23.5	78.3	21.7	78.6	21.4
20 ก.พ. 2551	06.00-09.00 น.	72.7	27.3	75.3	24.7	82.3	17.7
20 ก.พ. 2551	09.00-12.00 น.	75.8	24.2	75.9	24.1	79.7	20.3
20 ก.พ. 2551	12.00-15.00 น.	82.9	17.1	79.3	20.7	79.4	20.6
20 ก.พ. 2551	15.00-18.00 น.	81.6	18.4	84.9	15.1	84.5	15.5
20 ก.พ. 2551	18.00-21.00 น.	78.5	21.5	78.3	21.7	84.3	15.7
20 ก.พ. 2551	21.00-00.00 น.	76.3	23.7	76.8	23.2	80.4	19.6
21 ก.พ. 2551	00.00-03.00 น.	75.2	24.8	77.6	22.4	81.0	19.0
21 ก.พ. 2551	03.00-06.00 น.	77.9	22.1	79.8	20.2	80.0	20.0
21 ก.พ. 2551	06.00-09.00 น.	73.6	26.4	73.5	26.5	79.0	21.0
21 ก.พ. 2551	09.00-12.00 น.	73.6	26.4	78.2	21.8	77.4	22.6
21 ก.พ. 2551	12.00-15.00 น.	80.3	19.7	80.5	19.5	81.3	18.7
21 ก.พ. 2551	15.00-18.00 น.	81.4	18.6	80.7	19.3	82.2	17.8
21 ก.พ. 2551	18.00-21.00 น.	79.0	21.0	78.9	21.1	83.7	16.3
	ค่าเฉลี่ย	77.4	22.6	78.9	21.1	81.4	18.6
	±SD	3.1	3.1	3.3	3.3	2.4	2.4

ตารางที่ ค-15 สัดส่วนของ OC/EC ใน PM₁₀ ระหว่างวันที่ 18-21 กุมภาพันธ์ พ.ศ. 2551 ตาม
ระดับความสูง บริเวณพื้นที่ศึกษา เขตราชเทวี กรุงเทพมหานคร

สัดส่วนของ OC/EC ใน PM ₁₀				
วันที่	เวลา	ชั้นล่าง	ชั้นกลาง	ชั้นบน
18 ก.พ. 2551	21.00-00.00 น.	2.72	2.47	3.32
19 ก.พ. 2551	00.00-03.00 น.	2.99	3.01	3.60
19 ก.พ. 2551	03.00-06.00 น.	3.84	4.37	4.60
19 ก.พ. 2551	06.00-09.00 น.	2.79	3.23	4.85
19 ก.พ. 2551	09.00-12.00 น.	3.53	4.77	5.87
19 ก.พ. 2551	12.00-15.00 น.	4.71	4.81	4.83
19 ก.พ. 2551	15.00-18.00 น.	4.12	5.28	5.43
19 ก.พ. 2551	18.00-21.00 น.	3.21	4.42	5.37
19 ก.พ. 2551	21.00-00.00 น.	2.96	3.69	4.24
20 ก.พ. 2551	00.00-03.00 น.	3.81	4.28	4.21
20 ก.พ. 2551	03.00-06.00 น.	3.25	3.61	3.68
20 ก.พ. 2551	06.00-09.00 น.	2.66	3.05	4.65
20 ก.พ. 2551	09.00-12.00 น.	3.13	3.15	3.92
20 ก.พ. 2551	12.00-15.00 น.	4.84	3.83	3.85
20 ก.พ. 2551	15.00-18.00 น.	4.44	5.62	5.44
20 ก.พ. 2551	18.00-21.00 น.	3.65	3.60	5.35
20 ก.พ. 2551	21.00-00.00 น.	3.22	3.32	4.10
21 ก.พ. 2551	00.00-03.00 น.	3.03	3.47	4.27
21 ก.พ. 2551	03.00-06.00 น.	3.53	3.95	4.00
21 ก.พ. 2551	06.00-09.00 น.	2.79	2.77	3.77
21 ก.พ. 2551	09.00-12.00 น.	2.79	3.59	3.42
21 ก.พ. 2551	12.00-15.00 น.	4.08	4.13	4.36
21 ก.พ. 2551	15.00-18.00 น.	4.37	4.18	4.61
21 ก.พ. 2551	18.00-21.00 น.	3.77	3.73	5.14
	ค่าเฉลี่ย	3.51	3.85	4.45
	±SD	0.65	0.78	0.71

ตารางที่ ค-16 ความเข้มข้นของ SOC ใน PM_{10} และร้อยละของ SOC/OC (%) ระหว่างวันที่ 18-21 กุมภาพันธ์ พ.ศ. 2551 ตามระดับความสูง บริเวณพื้นที่ศึกษา เขตราชเทวี กรุงเทพมหานคร

วันที่	เวลา	ความเข้มข้นของ SOC ใน PM_{10}			ร้อยละของ SOC/OC (%)		
		ชั้นล่าง	ชั้นกลาง	ชั้นบน	ชั้นล่าง	ชั้นกลาง	ชั้นบน
18 ก.พ. 2551	21.00-00.00 น.	0.62	0.00	0.04	2.12	-0.02	0.12
19 ก.พ. 2551	00.00-03.00 น.	3.36	5.20	2.26	11.15	17.93	7.67
19 ก.พ. 2551	03.00-06.00 น.	10.42	13.84	9.50	30.67	43.41	27.90
19 ก.พ. 2551	06.00-09.00 น.	1.22	6.06	10.34	4.50	23.57	31.59
19 ก.พ. 2551	09.00-12.00 น.	5.89	11.38	16.52	24.64	48.18	43.47
19 ก.พ. 2551	12.00-15.00 น.	12.14	12.87	10.36	43.48	48.66	31.29
19 ก.พ. 2551	15.00-18.00 น.	10.35	14.42	12.06	35.42	53.22	38.84
19 ก.พ. 2551	18.00-21.00 น.	6.63	14.61	16.47	17.21	44.10	38.21
19 ก.พ. 2551	21.00-00.00 น.	4.21	11.39	7.79	10.21	33.11	21.62
20 ก.พ. 2551	00.00-03.00 น.	9.50	14.06	5.60	30.21	42.26	21.15
20 ก.พ. 2551	03.00-06.00 น.	4.32	8.36	2.08	18.15	31.54	9.86
20 ก.พ. 2551	06.00-09.00 น.	0.03	4.70	6.87	0.16	18.96	28.57
20 ก.พ. 2551	09.00-12.00 น.	2.71	5.19	4.38	15.11	21.63	15.36
20 ก.พ. 2551	12.00-15.00 น.	10.51	9.61	3.79	44.99	35.53	13.81
20 ก.พ. 2551	15.00-18.00 น.	13.84	21.56	14.77	40.10	56.08	38.94
20 ก.พ. 2551	18.00-21.00 น.	9.31	12.51	14.06	27.22	31.41	37.98
20 ก.พ. 2551	21.00-00.00 น.	6.68	12.38	7.62	17.34	25.50	18.96
21 ก.พ. 2551	00.00-03.00 น.	4.81	13.79	7.29	12.12	28.88	22.19
21 ก.พ. 2551	03.00-06.00 น.	5.06	10.56	3.47	24.61	37.49	17.08
21 ก.พ. 2551	06.00-09.00 น.	0.88	3.42	2.74	4.73	10.96	11.83
21 ก.พ. 2551	09.00-12.00 น.	1.17	9.61	1.08	4.70	31.12	2.82
21 ก.พ. 2551	12.00-15.00 น.	9.22	12.03	6.61	34.87	40.13	23.86
21 ก.พ. 2551	15.00-18.00 น.	11.32	13.74	9.54	39.06	40.84	27.94
21 ก.พ. 2551	18.00-21.00 น.	11.23	17.01	10.53	29.46	33.80	35.36
	ค่าเฉลี่ย	6.48	10.76	7.74	21.8	33.3	23.6
	$\pm SD$	4.20	4.82	4.81	13.9	13.5	12.2



ศูนย์วิทยทรัพยากร จุฬาลงกรณ์มหาวิทยาลัย

ตารางที่ ง-1 ข้อมูลอุตุนิยมวิทยาพื้นผิวน้ำทะเล 3 ชั่วโมง พื้นที่ศึกษาอำเภอหาดใหญ่ จังหวัด
สงขลา (ชั้นล่าง)

อุตุนิยมวิทยาพื้นผิวน้ำทะเล 3 ชั่วโมง							
วันที่	เวลา	อุณหภูมิ (°C)	ความดัน บรรยากาศ (mmHg)	รังสีดวง ^{อาทิตย์} (W/m ²)	ความชื้น สัมพัทธ์ (%)	ความเร็ว ลม (m/sec)	ทิศทาง ลม (องศา)
17 ธ.ค. 2550	21.00-00.00 น.	26.5	755.1	0.0	84.5	2.7	230.6
18 ธ.ค. 2550	00.00-03.00 น.	26.3	754.3	0.0	85.8	2.0	232.5
18 ธ.ค. 2550	03.00-06.00 น.	26.1	753.7	0.0	86.8	1.8	226.9
18 ธ.ค. 2550	06.00-09.00 น.	26.8	754.7	95.5	84.4	2.0	234.4
18 ธ.ค. 2550	09.00-12.00 น.	27.4	755.6	367.2	81.8	3.2	238.1
18 ธ.ค. 2550	12.00-15.00 น.	29.4	753.7	500.2	70.8	3.8	264.4
18 ธ.ค. 2550	15.00-18.00 น.	28.1	753.0	105.5	77.5	3.3	268.1
18 ธ.ค. 2550	18.00-21.00 น.	27.2	754.2	0.2	81.9	2.7	264.4
18 ธ.ค. 2550	21.00-00.00 น.	26.7	754.9	0.0	84.0	2.6	262.5
19 ธ.ค. 2550	00.00-03.00 น.	26.7	754.1	0.0	83.3	2.3	264.4
19 ธ.ค. 2550	03.00-06.00 น.	26.8	753.5	0.0	81.5	2.3	262.5
19 ธ.ค. 2550	06.00-09.00 น.	26.9	754.7	98.0	83.2	2.1	226.9
19 ธ.ค. 2550	09.00-12.00 น.	28.4	755.5	244.3	76.2	2.9	240.0
19 ธ.ค. 2550	12.00-15.00 น.	28.6	754.0	254.2	72.8	3.0	268.1
19 ธ.ค. 2550	15.00-18.00 น.	28.0	753.2	104.3	75.1	2.6	270.0
19 ธ.ค. 2550	18.00-21.00 น.	27.3	754.4	0.0	76.2	2.7	270.0
19 ธ.ค. 2550	21.00-00.00 น.	27.2	755.0	0.0	75.4	2.5	268.1
20 ธ.ค. 2550	00.00-03.00 น.	26.4	754.1	0.0	81.2	2.0	251.3
20 ธ.ค. 2550	03.00-06.00 น.	26.0	753.6	0.0	84.5	1.4	249.4
20 ธ.ค. 2550	06.00-09.00 น.	26.2	755.2	74.6	86.3	2.4	221.3
20 ธ.ค. 2550	09.00-12.00 น.	28.5	755.9	383.8	70.7	3.0	243.8
20 ธ.ค. 2550	12.00-15.00 น.	28.5	754.7	281.4	71.5	2.2	270.0
20 ธ.ค. 2550	15.00-18.00 น.	27.9	754.0	113.3	74.0	2.5	273.8
20 ธ.ค. 2550	18.00-21.00 น.	27.1	755.7	0.0	79.4	1.8	256.9

ตารางที่ ง-2 ข้อมูลอุตุนิยมวิทยาพื้นผิวน้ำเสื่อมราย 6 ชั่วโมง พื้นที่ศึกษาอ้ามหาดใหญ่ จังหวัด
สงขลา (ชั้นล่าง)

อุตุนิยมวิทยาพื้นผิวน้ำเสื่อมราย 6 ชั่วโมง							
วันที่	เวลา	อุณหภูมิ (°C)	ความดัน บรรยากาศ (mmHg)	รังสีคิว อาทิตย์ (W/m ²)	ความชื้น สัมพัทธ์ (%)	ความเร็ว ลม (m/sec)	พิศทาง ลม (องศา)
17-18 ต.ค. 2550	21.00-03.00 น.	26.4	754.7	0.0	85.2	2.3	231.6
18 ต.ค. 2550	03.00-09.00 น.	26.4	754.2	47.8	85.6	1.9	230.6
18 ต.ค. 2550	09.00-15.00 น.	28.4	754.6	433.7	76.3	3.5	251.3
18 ต.ค. 2550	15.00-21.00 น.	27.6	753.6	52.8	79.7	3.0	266.3
18-19 ต.ค. 2550	21.00-03.00 น.	26.7	754.5	0.0	83.7	2.4	263.4
19 ต.ค. 2550	03.00-09.00 น.	26.8	754.1	49.0	82.3	2.2	244.7
19 ต.ค. 2550	09.00-15.00 น.	28.5	754.7	249.2	74.5	2.9	254.1
19 ต.ค. 2550	15.00-21.00 น.	27.6	753.8	52.1	75.6	2.7	270.0
19-20 ต.ค. 2550	21.00-03.00 น.	26.8	754.6	0.0	78.3	2.3	259.7
20 ต.ค. 2550	03.00-09.00 น.	26.1	754.4	37.3	85.4	1.9	235.3
20 ต.ค. 2550	09.00-15.00 น.	28.5	755.3	332.6	71.1	2.6	256.9
20 ต.ค. 2550	15.00-21.00 น.	27.5	754.8	56.6	76.7	2.2	265.3

ตารางที่ ง-3 ข้อมูลอุตุนิยมวิทยาพื้นผิวน้ำเสื่อมราย 3 ชั่วโมง พื้นที่ศึกษาอ้ามหาดใหญ่ จังหวัดสงขลา
(ชั้นกลาง)

อุตุนิยมวิทยาพื้นผิวน้ำเสื่อมราย 3 ชั่วโมง							
วันที่	เวลา	อุณหภูมิ (°C)	ความดัน บรรยากาศ (mmHg)	รังสีคิว อาทิตย์ (W/m ²)	ความชื้น สัมพัทธ์ (%)	ความเร็ว ลม (m/sec)	พิศทาง ลม (องศา)
17 ต.ค. 2550	21.00-00.00 น.	26.2	750.4	0.0	79.8	3.0	116.3
18 ต.ค. 2550	00.00-03.00 น.	26.0	749.6	0.0	80.7	2.6	110.6
18 ต.ค. 2550	03.00-06.00 น.	25.9	749.1	0.0	82.0	2.2	112.5
18 ต.ค. 2550	06.00-09.00 น.	26.5	750.1	152.1	79.3	2.5	110.6
18 ต.ค. 2550	09.00-12.00 น.	26.9	750.9	297.9	77.7	3.9	116.3
18 ต.ค. 2550	12.00-15.00 น.	28.8	749.0	213.4	68.0	5.6	97.5
18 ต.ค. 2550	15.00-18.00 น.	27.6	748.3	114.2	73.7	5.0	93.8
18 ต.ค. 2550	18.00-21.00 น.	26.8	749.5	0.3	78.1	4.3	88.1
18 ต.ค. 2550	21.00-00.00 น.	26.3	750.2	0.0	80.3	4.0	93.8

ตารางที่ ง-3 ข้อมูลอุตุนิยมวิทยาพื้นผิวดินลีบราย 3 ชั่วโมง พื้นที่ศึกษาอ้าก傲หาดใหญ่ จังหวัดสงขลา (ชั้นกลาง) (ต่อ)

อุตุนิยมวิทยาพื้นผิวดินลีบราย 3 ชั่วโมง							
วันที่	เวลา	อุณหภูมิ (°C)	ความดัน บรรยากาศ (mmHg)	รังสีคง อาทิตย์ (W/m ²)	ความชื้น สัมพัทธ์ (%)	ความเร็ว ลม (m/sec)	พิกัด ละมุน (องศา)
19 ธ.ค. 2550	00.00-03.00 น.	26.5	749.4	0.0	78.9	3.8	91.9
19 ธ.ค. 2550	03.00-06.00 น.	26.6	748.8	0.0	77.0	4.2	103.1
19 ธ.ค. 2550	06.00-09.00 น.	26.6	750.1	106.3	78.6	2.6	112.5
19 ธ.ค. 2550	09.00-12.00 น.	27.9	750.8	237.8	71.7	4.0	106.9
19 ธ.ค. 2550	12.00-15.00 น.	28.1	749.3	257.1	69.1	4.7	97.5
19 ธ.ค. 2550	15.00-18.00 น.	27.6	748.5	106.8	71.7	3.8	88.1
19 ธ.ค. 2550	18.00-21.00 น.	27.0	749.8	0.0	72.3	4.1	86.3
19 ธ.ค. 2550	21.00-00.00 น.	26.9	750.4	0.0	71.8	3.6	88.1
20 ธ.ค. 2550	00.00-03.00 น.	26.1	749.4	0.0	77.2	2.9	103.1
20 ธ.ค. 2550	03.00-06.00 น.	25.8	748.9	0.0	79.7	2.0	99.4
20 ธ.ค. 2550	06.00-09.00 น.	25.9	750.5	125.8	80.2	2.2	118.1
20 ธ.ค. 2550	09.00-12.00 น.	28.1	751.2	360.7	67.3	4.0	99.4
20 ธ.ค. 2550	12.00-15.00 น.	28.1	750.0	279.0	68.1	2.8	86.3
20 ธ.ค. 2550	15.00-18.00 น.	27.6	749.3	118.1	70.4	3.1	88.1
20 ธ.ค. 2550	18.00-21.00 น.	26.7	751.1	0.0	75.7	3.3	97.5

ตารางที่ ง-4 ข้อมูลอุตุนิยมวิทยาพื้นผิวดินลีบราย 6 ชั่วโมง พื้นที่ศึกษาอ้าก傲หาดใหญ่ จังหวัดสงขลา (ชั้นกลาง)

อุตุนิยมวิทยาพื้นผิวดินลีบราย 6 ชั่วโมง							
วันที่	เวลา	อุณหภูมิ (°C)	ความดัน บรรยากาศ (mmHg)	รังสีคง อาทิตย์ (W/m ²)	ความชื้น สัมพัทธ์ (%)	ความเร็ว ลม (m/sec)	พิกัด ละมุน (องศา)
17-18 ธ.ค. 2550	21.00-03.00 น.	26.1	750.0	0.0	80.3	2.8	113.4
18 ธ.ค. 2550	03.00-09.00 น.	26.2	749.6	76.0	80.6	2.4	111.6
18 ธ.ค. 2550	09.00-15.00 น.	27.9	749.9	255.7	72.8	4.7	106.9
18 ธ.ค. 2550	15.00-21.00 น.	27.2	748.9	57.2	75.9	4.6	90.9
18-19 ธ.ค. 2550	21.00-03.00 น.	26.4	749.8	0.0	79.6	3.9	92.8
19 ธ.ค. 2550	03.00-09.00 น.	26.6	749.4	53.1	77.8	3.4	107.8

ตารางที่ ง-4 ข้อมูลอุตุนิยมวิทยาพื้นผิวน้ำเสียราย 6 ชั่วโมง พื้นที่ศึกษาอ้าเกอหาดใหญ่ จังหวัดสิงค์โปร์ (ชั้นกลาง) (ต่อ)

อุตุนิยมวิทยาพื้นผิวน้ำเสียราย 6 ชั่วโมง							
วันที่	เวลา	อุณหภูมิ (°C)	ความดัน บรรยากาศ (mmHg)	รังสีคง อาทิตย์ (W/m ²)	ความชื้น สัมพัทธ์ (%)	ความเร็ว ลม (m/sec)	พิศวง ลม (องศา)
19 ธ.ค. 2550	09.00-15.00 น.	28.0	750.0	247.4	70.4	4.3	102.2
19 ธ.ค. 2550	15.00-21.00 น.	27.3	749.1	53.4	72.0	4.0	87.2
19-20 ธ.ค. 2550	21.00-03.00 น.	26.5	749.9	0.0	74.5	3.2	95.6
20 ธ.ค. 2550	03.00-09.00 น.	25.8	749.7	62.9	79.9	2.1	108.8
20 ธ.ค. 2550	09.00-15.00 น.	28.1	750.6	319.8	67.7	3.4	92.8
20 ธ.ค. 2550	15.00-21.00 น.	27.1	750.2	59.0	73.0	3.2	92.8

ตารางที่ ง-5 ข้อมูลอุตุนิยมวิทยาพื้นผิวน้ำเสียราย 3 ชั่วโมง พื้นที่ศึกษาอ้าเกอหาดใหญ่ จังหวัดสิงค์โปร์ (ชั้นบน)

อุตุนิยมวิทยาพื้นผิวน้ำเสียราย 3 ชั่วโมง							
วันที่	เวลา	อุณหภูมิ (°C)	ความดัน บรรยากาศ (mmHg)	รังสีคง อาทิตย์ (W/m ²)	ความชื้น สัมพัทธ์ (%)	ความเร็ว ลม (m/sec)	พิศวง ลม (องศา)
17 ธ.ค. 2550	21.00-00.00 น.	25.6	748.0	0.0	84.2	1.4	86.3
18 ธ.ค. 2550	00.00-03.00 น.	25.4	747.2	0.0	85.3	1.2	116.3
18 ธ.ค. 2550	03.00-06.00 น.	25.3	746.7	0.0	86.2	1.0	112.5
18 ธ.ค. 2550	06.00-09.00 น.	26.1	747.8	173.5	83.7	1.0	157.5
18 ธ.ค. 2550	09.00-12.00 น.	26.7	748.5	401.7	81.3	1.6	228.8
18 ธ.ค. 2550	12.00-15.00 น.	28.8	746.6	675.5	71.5	2.7	177.2
18 ธ.ค. 2550	15.00-18.00 น.	27.5	745.9	242.8	77.2	2.5	144.4
18 ธ.ค. 2550	18.00-21.00 น.	26.4	747.0	0.3	82.5	2.0	140.6
18 ธ.ค. 2550	21.00-00.00 น.	25.8	747.7	0.0	84.8	1.9	165.0
19 ธ.ค. 2550	00.00-03.00 น.	25.8	747.0	0.0	84.2	1.7	140.6
19 ธ.ค. 2550	03.00-06.00 น.	25.9	746.4	0.0	82.6	1.7	288.8
19 ธ.ค. 2550	06.00-09.00 น.	26.1	747.7	124.9	83.0	1.1	170.6
19 ธ.ค. 2550	09.00-12.00 น.	27.5	748.5	295.8	75.9	1.7	140.6
19 ธ.ค. 2550	12.00-15.00 น.	27.8	746.9	367.3	73.0	2.1	234.4
19 ธ.ค. 2550	15.00-18.00 น.	27.2	746.2	167.3	76.3	1.9	150.0

ตารางที่ ง-5 ข้อมูลอุตุนิยมวิทยาพื้นผิวดินลีบราย 3 ชั่วโมง พื้นที่ศึกษาอ้าเกอหาดใหญ่ จังหวัดสระบุรี (ชั้นบน) (ต่อ)

อุตุนิยมวิทยาพื้นผิวดินลีบราย 3 ชั่วโมง							
วันที่	เวลา	อุณหภูมิ (°C)	ความดัน บรรยากาศ (mmHg)	รังสีดวง [*] อาทิตย์ (W/m ²)	ความชื้น สัมพัทธ์ (%)	ความเร็ว ลม (m/sec)	พิศวง ลม (องศา)
19 ธ.ค. 2550	18.00-21.00 น.	26.4	747.4	0.0	78.0	1.8	135.0
19 ธ.ค. 2550	21.00-00.00 น.	26.2	748.0	0.0	76.8	1.8	114.4
20 ธ.ค. 2550	00.00-03.00 น.	25.6	747.0	0.0	82.0	1.1	191.3
20 ธ.ค. 2550	03.00-06.00 น.	25.2	746.5	0.0	84.2	1.0	125.6
20 ธ.ค. 2550	06.00-09.00 น.	25.4	748.1	148.5	83.7	1.0	181.9
20 ธ.ค. 2550	09.00-12.00 น.	27.7	748.9	443.3	71.3	1.7	91.9
20 ธ.ค. 2550	12.00-15.00 น.	27.8	747.7	338.1	72.4	1.4	84.4
20 ธ.ค. 2550	15.00-18.00 น.	27.3	746.9	164.8	74.7	1.5	112.5
20 ธ.ค. 2550	18.00-21.00 น.	26.1	748.7	0.0	81.3	1.2	215.6

ตารางที่ ง-6 ข้อมูลอุตุนิยมวิทยาพื้นผิวดินลีบราย 6 ชั่วโมง พื้นที่ศึกษาอ้าเกอหาดใหญ่ จังหวัดสระบุรี (ชั้นบน)

อุตุนิยมวิทยาพื้นผิวดินลีบราย 6 ชั่วโมง							
วันที่	เวลา	อุณหภูมิ (°C)	ความดัน บรรยากาศ (mmHg)	รังสีดวง [*] อาทิตย์ (W/m ²)	ความชื้น สัมพัทธ์ (%)	ความเร็ว ลม (m/sec)	พิศวง ลม (องศา)
17-18 ธ.ค. 2550	21.00-03.00 น.	25.5	747.6	0.0	84.8	1.3	101.3
18 ธ.ค. 2550	03.00-09.00 น.	25.7	747.3	86.8	84.9	1.0	135.0
18 ธ.ค. 2550	09.00-15.00 น.	28.1	747.2	584.2	74.7	2.2	203.8
18 ธ.ค. 2550	15.00-21.00 น.	27.0	746.5	121.5	79.8	2.2	142.5
18-19 ธ.ค. 2550	21.00-03.00 น.	25.8	747.4	0.0	84.5	1.8	152.8
19 ธ.ค. 2550	03.00-09.00 น.	26.0	747.1	62.5	82.8	1.4	229.7
19 ธ.ค. 2550	09.00-15.00 น.	27.7	747.7	331.6	74.5	1.9	187.5
19 ธ.ค. 2550	15.00-21.00 น.	26.8	746.8	83.7	77.1	1.8	142.5
19-20 ธ.ค. 2550	21.00-03.00 น.	25.9	747.5	0.0	79.4	1.5	152.8
20 ธ.ค. 2550	03.00-09.00 น.	25.3	747.3	74.3	83.9	1.0	153.8
20 ธ.ค. 2550	09.00-15.00 น.	27.8	748.3	390.7	71.9	1.5	88.1
20 ธ.ค. 2550	15.00-21.00 น.	26.7	747.8	82.4	78.0	1.4	164.1

**ตารางที่ ง-7 ข้อมูลอุตุนิยมวิทยาพื้นผิวเฉลี่ยราย 3 ชั่วโมง พื้นที่ศึกษาเขตราชเทวี
กรุงเทพมหานคร (ขั้นล่าง)**

อุตุนิยมวิทยาพื้นผิวเฉลี่ยราย 3 ชั่วโมง							
วันที่	เวลา	อุณหภูมิ (°C)	ความดัน บรรยากาศ (mmHg)	รังสีดวง [*] อาทิตย์ (W/m ²)	ความชื้น สัมพัทธ์ (%)	ความเร็ว ลม (m/sec)	ทิศทางลม (องศา)
18 ก.พ. 2551	21.00-00.00 น.	28.1	757.8	0.0	72.6	0.6	176.3
19 ก.พ. 2551	00.00-03.00 น.	27.0	757.3	0.0	75.7	0.8	88.1
19 ก.พ. 2551	03.00-06.00 น.	25.9	757.4	0.0	58.1	1.8	78.8
19 ก.พ. 2551	06.00-09.00 น.	24.9	758.8	146.8	59.7	2.6	78.8
19 ก.พ. 2551	09.00-12.00 น.	27.0	759.8	747.5	52.8	3.2	78.8
19 ก.พ. 2551	12.00-15.00 น.	29.7	757.7	858.6	45.7	2.7	73.1
19 ก.พ. 2551	15.00-18.00 น.	30.7	756.3	349.9	43.5	2.1	75.0
19 ก.พ. 2551	18.00-21.00 น.	29.4	757.4	2.0	47.9	1.6	56.3
19 ก.พ. 2551	21.00-00.00 น.	27.9	758.5	0.0	53.1	1.2	45.0
20 ก.พ. 2551	00.00-03.00 น.	26.6	757.9	0.0	53.5	1.6	76.9
20 ก.พ. 2551	03.00-06.00 น.	24.3	757.9	0.0	57.3	1.9	71.3
20 ก.พ. 2551	06.00-09.00 น.	23.5	759.2	145.7	57.4	3.1	78.8
20 ก.พ. 2551	09.00-12.00 น.	25.9	759.9	765.3	50.2	3.3	69.4
20 ก.พ. 2551	12.00-15.00 น.	29.2	757.5	898.8	43.3	2.5	73.1
20 ก.พ. 2551	15.00-18.00 น.	29.9	755.9	317.3	43.2	1.8	71.3
20 ก.พ. 2551	18.00-21.00 น.	27.9	757.2	1.7	49.5	1.3	112.5
20 ก.พ. 2551	21.00-00.00 น.	26.4	758.3	0.0	55.3	0.7	247.5
21 ก.พ. 2551	00.00-03.00 น.	25.3	757.7	0.0	58.6	0.7	159.4
21 ก.พ. 2551	03.00-06.00 น.	23.5	757.2	0.0	55.3	2.0	67.5
21 ก.พ. 2551	06.00-09.00 น.	22.7	758.6	162.8	58.0	1.3	56.3
21 ก.พ. 2551	09.00-12.00 น.	25.9	759.3	781.2	49.2	1.2	65.6
21 ก.พ. 2551	12.00-15.00 น.	29.4	756.9	882.4	40.3	1.7	48.8
21 ก.พ. 2551	15.00-18.00 น.	30.4	755.0	337.5	38.0	2.0	174.4
21 ก.พ. 2551	18.00-21.00 น.	28.1	756.0	1.3	46.9	0.9	226.9

ตารางที่ ง-8 ข้อมูลอุตุนิยมวิทยาพื้นผิวน้ำลึก 6 ชั่วโมง พื้นที่ศึกษาเขตราชเทวี
 กรุงเทพมหานคร (ชั้นล่าง)

อุตุนิยมวิทยาพื้นผิวน้ำลึก 6 ชั่วโมง							
วันที่	เวลา	อุณหภูมิ (°C)	ความดัน บรรยากาศ (mmHg)	รังสีคิวต์ อาทิตย์ (W/m ²)	ความชื้น สัมพักธ์ (%)	ความเร็วลม (m/sec)	พิกัดทางลม (องศา)
18-19 ก.พ. 2551	21.00-03.00 น.	27.6	757.6	0.0	74.1	0.7	132.2
19 ก.พ. 2551	03.00-09.00 น.	25.4	758.1	73.4	58.9	2.2	78.8
19 ก.พ. 2551	09.00-15.00 น.	28.3	758.8	803.0	49.3	3.0	75.9
19 ก.พ. 2551	15.00-21.00 น.	30.1	756.9	176.0	45.7	1.9	65.6
19-20 ก.พ. 2551	21.00-03.00 น.	27.3	758.2	0.0	53.3	1.4	60.9
20 ก.พ. 2551	03.00-09.00 น.	23.9	758.5	72.8	57.4	2.5	75.0
20 ก.พ. 2551	09.00-15.00 น.	27.5	758.7	832.0	46.8	2.9	71.3
20 ก.พ. 2551	15.00-21.00 น.	28.9	756.5	159.5	46.3	1.6	91.9
20-21 ก.พ. 2551	21.00-03.00 น.	25.9	758.0	0.0	56.9	0.7	203.4
21 ก.พ. 2551	03.00-09.00 น.	23.1	757.9	81.4	56.7	1.7	61.9
21 ก.พ. 2551	09.00-15.00 น.	27.7	758.1	831.8	44.7	1.5	57.2
21 ก.พ. 2551	15.00-21.00 น.	29.2	755.5	169.4	42.4	1.5	200.6

ตารางที่ ง-9 ข้อมูลอุตุนิยมวิทยาพื้นผิวน้ำลึก 3 ชั่วโมง พื้นที่ศึกษาเขตราชเทวี กรุงเทพมหานคร
 (ชั้นกลาง)

อุตุนิยมวิทยาพื้นผิวน้ำลึก 3 ชั่วโมง							
วันที่	เวลา	อุณหภูมิ (°C)	ความดัน บรรยากาศ (mmHg)	รังสีคิวต์ อาทิตย์ (W/m ²)	ความชื้น สัมพักธ์ (%)	ความเร็ว ลม (m/sec)	พิกัดทางลม (องศา)
18 ก.พ. 2551	21.00-00.00 น.	27.0	749.1	0.0	73.1	1.3	153.8
19 ก.พ. 2551	00.00-03.00 น.	25.8	748.5	0.0	76.3	1.5	78.8
19 ก.พ. 2551	03.00-06.00 น.	24.9	748.4	0.0	57.3	5.1	71.3
19 ก.พ. 2551	06.00-09.00 น.	23.7	749.8	150.0	60.3	5.7	67.5
19 ก.พ. 2551	09.00-12.00 น.	25.6	751.0	733.6	53.4	5.8	58.1
19 ก.พ. 2551	12.00-15.00 น.	27.7	749.1	714.2	47.6	5.4	67.5
19 ก.พ. 2551	15.00-18.00 น.	29.1	747.8	338.7	44.4	3.9	52.5
19 ก.พ. 2551	18.00-21.00 น.	28.1	748.7	2.4	48.4	3.8	142.5
19 ก.พ. 2551	21.00-00.00 น.	26.8	749.7	0.0	52.5	2.7	63.8

ตารางที่ ง-9 ข้อมูลอุตุนิยมวิทยาพื้นผิวดินลีบราย 3 ชั่วโมง พื้นที่ศึกษาเขตราชเทวี
กรุงเทพมหานคร (ชั้นก่อสร้าง) (ต่อ)

อุตุนิยมวิทยาพื้นผิวดินลีบราย 3 ชั่วโมง							
วันที่	เวลา	อุณหภูมิ (°C)	ความดัน บรรยากาศ (mmHg)	รังสีดวง อาทิตย์ (W/m ²)	ความชื้น สัมพัทธ์ (%)	ความเร็ว ลม (m/sec)	ทิศทางลม (องศา)
20 ก.พ. 2551	00.00-03.00 น.	25.6	749.2	0.0	52.7	4.4	45.0
20 ก.พ. 2551	03.00-06.00 น.	23.0	748.9	0.0	58.1	5.0	69.4
20 ก.พ. 2551	06.00-09.00 น.	22.1	750.1	143.9	58.3	6.9	65.6
20 ก.พ. 2551	09.00-12.00 น.	24.6	751.1	761.3	50.7	4.9	52.5
20 ก.พ. 2551	12.00-15.00 น.	27.4	748.9	739.5	44.6	4.1	50.6
20 ก.พ. 2551	15.00-18.00 น.	28.3	747.3	325.3	44.1	3.4	165.0
20 ก.พ. 2551	18.00-21.00 น.	26.6	748.4	2.0	50.0	3.5	315.0
20 ก.พ. 2551	21.00-00.00 น.	25.6	749.5	0.0	54.5	0.5	294.4
21 ก.พ. 2551	00.00-03.00 น.	24.5	748.8	0.0	55.4	1.8	91.9
21 ก.พ. 2551	03.00-06.00 น.	22.2	748.2	0.0	55.8	4.2	67.5
21 ก.พ. 2551	06.00-09.00 น.	21.6	749.6	157.0	58.4	2.0	50.6
21 ก.พ. 2551	09.00-12.00 น.	25.3	750.6	766.8	48.2	1.3	183.8
21 ก.พ. 2551	12.00-15.00 น.	27.9	748.3	722.8	40.6	2.2	247.5
21 ก.พ. 2551	15.00-18.00 น.	28.8	746.5	353.8	38.8	4.2	292.5
21 ก.พ. 2551	18.00-21.00 น.	27.1	747.3	2.3	46.2	1.9	281.3

ตารางที่ ง-10 ข้อมูลอุตุนิยมวิทยาพื้นผิวดินลีบราย 6 ชั่วโมง พื้นที่ศึกษาเขตราชเทวี กรุงเทพมหานคร
(ชั้นก่อสร้าง)

อุตุนิยมวิทยาพื้นผิวดินลีบราย 6 ชั่วโมง							
วันที่	เวลา	อุณหภูมิ (°C)	ความดัน บรรยากาศ (mmHg)	รังสีดวง อาทิตย์ (W/m ²)	ความชื้น สัมพัทธ์ (%)	ความเร็ว ลม (m/sec)	ทิศทาง ลม (องศา)
18-19 ก.พ. 2551	21.00-03.00 น.	26.4	748.8	0.0	74.7	1.4	116.3
19 ก.พ. 2551	03.00-09.00 น.	24.3	749.1	75.0	58.8	5.4	69.4
19 ก.พ. 2551	09.00-15.00 น.	26.6	750.1	723.9	50.5	5.6	62.8
19 ก.พ. 2551	15.00-21.00 น.	28.6	748.2	170.5	46.4	3.8	97.5
19-20 ก.พ. 2551	21.00-03.00 น.	26.2	749.5	0.0	52.6	3.6	54.4
20 ก.พ. 2551	03.00-09.00 น.	22.6	749.5	72.0	58.2	6.0	67.5

ตารางที่ ง-10 ข้อมูลอุตุนิยมวิทยาพื้นผิวน้ำเสียราย 6 ชั่วโมง พื้นที่ศึกษาเขตราชเทวี
กรุงเทพมหานคร (ชั้นกลาง) (ต่อ)

อุตุนิยมวิทยาพื้นผิวน้ำเสียราย 6 ชั่วโมง							
วันที่	เวลา	อุณหภูมิ (°C)	ความดัน บรรยากาศ (mmHg)	รังสีคิว อาทิตย์ (W/m ²)	ความชื้น สัมพัทธ์ (%)	ความเร็ว ลม (m/sec)	พิศวง ลม (องศา)
20 ก.พ. 2551	09.00-15.00 น.	26.0	750.0	750.4	47.6	4.5	51.6
20 ก.พ. 2551	15.00-21.00 น.	27.4	747.9	163.7	47.0	3.4	240.0
20-21 ก.พ. 2551	21.00-03.00 น.	25.0	749.1	0.0	55.0	1.1	193.1
21 ก.พ. 2551	03.00-09.00 น.	21.9	748.9	78.5	57.1	3.1	59.1
21 ก.พ. 2551	09.00-15.00 น.	26.6	749.5	744.8	44.4	1.8	215.6
21 ก.พ. 2551	15.00-21.00 น.	27.9	746.9	178.0	42.5	3.1	286.9

ตารางที่ ง-11 ข้อมูลอุตุนิยมวิทยาพื้นผิวน้ำเสียราย 3 ชั่วโมง พื้นที่ศึกษาเขตราชเทวี กรุงเทพมหานคร
(ชั้นบน)

อุตุนิยมวิทยาพื้นผิวน้ำเสียราย 3 ชั่วโมง							
วันที่	เวลา	อุณหภูมิ (°C)	ความดัน บรรยากาศ (mmHg)	รังสีคิว อาทิตย์ (W/m ²)	ความชื้น สัมพัทธ์ (%)	ความเร็ว ลม (m/sec)	พิศวง ลม (องศา)
18 ก.พ. 2551	21.00-00.00 น.	25.9	735.3	0.0	76.3	2.2	166.9
19 ก.พ. 2551	00.00-03.00 น.	25.0	734.6	0.0	80.2	0.6	187.5
19 ก.พ. 2551	03.00-06.00 น.	23.8	734.4	0.0	59.9	2.1	208.1
19 ก.พ. 2551	06.00-09.00 น.	22.8	735.8	118.5	62.9	2.1	228.8
19 ก.พ. 2551	09.00-12.00 น.	24.3	737.0	508.4	59.8	2.4	75.0
19 ก.พ. 2551	12.00-15.00 น.	26.5	735.2	787.4	52.9	2.6	86.3
19 ก.พ. 2551	15.00-18.00 น.	27.9	734.0	317.8	48.8	1.3	108.8
19 ก.พ. 2551	18.00-21.00 น.	26.7	734.8	2.0	53.5	1.4	108.8
19 ก.พ. 2551	21.00-00.00 น.	25.5	735.8	0.0	55.5	2.4	48.8
20 ก.พ. 2551	00.00-03.00 น.	24.3	735.2	0.0	54.1	1.6	204.4
20 ก.พ. 2551	03.00-06.00 น.	22.0	734.9	0.0	61.3	2.2	206.3
20 ก.พ. 2551	06.00-09.00 น.	21.1	736.0	131.0	61.3	3.0	151.9
20 ก.พ. 2551	09.00-12.00 น.	23.4	737.0	502.3	56.2	2.0	90.0
20 ก.พ. 2551	12.00-15.00 น.	26.2	735.1	816.1	49.0	2.1	58.1
20 ก.พ. 2551	15.00-18.00 น.	27.3	733.5	316.4	47.3	2.1	125.6

ตารางที่ ง-11 ข้อมูลอุตุนิยมวิทยาพื้นผิวน้ำเสียราย 3 ชั่วโมง พื้นที่ศึกษาเขตราชเทวี
กรุงเทพมหานคร (ชั้นบน) (ต่อ)

อุตุนิยมวิทยาพื้นผิวน้ำเสียราย 3 ชั่วโมง							
วันที่	เวลา	อุณหภูมิ (°C)	ความดัน บรรยากาศ (mmHg)	รังสีคง อาทิตย์ (W/m ²)	ความชื้น สัมพัทธ์ (%)	ความเร็วลม (m/sec)	ทิศทางลม (องศา)
20 ก.พ. 2551	18.00-21.00 น.	26.0	734.5	2.0	50.2	2.4	88.1
20 ก.พ. 2551	21.00-00.00 น.	24.7	735.5	0.0	54.6	1.7	91.9
21 ก.พ. 2551	00.00-03.00 น.	23.4	734.8	0.0	55.2	1.4	148.1
21 ก.พ. 2551	03.00-06.00 น.	21.1	734.2	0.0	60.6	2.1	180.0
21 ก.พ. 2551	06.00-09.00 น.	20.7	735.5	122.2	61.5	1.4	157.5
21 ก.พ. 2551	09.00-12.00 น.	23.7	736.4	492.5	52.4	1.1	50.6
21 ก.พ. 2551	12.00-15.00 น.	26.5	734.5	794.8	44.6	1.9	46.9
21 ก.พ. 2551	15.00-18.00 น.	27.9	732.7	322.2	40.5	3.3	331.9
21 ก.พ. 2551	18.00-21.00 น.	26.3	733.4	0.4	44.2	2.6	151.9

ตารางที่ ง-12 ข้อมูลอุตุนิยมวิทยาพื้นผิวน้ำเสียราย 6 ชั่วโมง พื้นที่ศึกษาเขตราชเทวี กรุงเทพมหานคร
(ชั้นบน)

อุตุนิยมวิทยาพื้นผิวน้ำเสียราย 6 ชั่วโมง							
วันที่	เวลา	อุณหภูมิ (°C)	ความดัน บรรยากาศ (mmHg)	รังสีคง อาทิตย์ (W/m ²)	ความชื้น สัมพัทธ์ (%)	ความเร็ว ลม (m/sec)	ทิศทางลม (องศา)
18-19 ก.พ. 2551	21.00-03.00 น.	25.4	735.0	0.0	78.3	1.4	177.2
19 ก.พ. 2551	03.00-09.00 น.	23.3	735.1	59.3	61.4	2.1	218.4
19 ก.พ. 2551	09.00-15.00 น.	25.4	736.1	647.9	56.4	2.5	80.6
19 ก.พ. 2551	15.00-21.00 น.	27.3	734.4	159.9	51.1	1.4	108.8
19-20 ก.พ. 2551	21.00-03.00 น.	24.9	735.5	0.0	54.8	2.0	126.6
20 ก.พ. 2551	03.00-09.00 น.	21.6	735.4	65.5	61.3	2.6	179.1
20 ก.พ. 2551	09.00-15.00 น.	24.8	736.1	659.2	52.6	2.0	74.1
20 ก.พ. 2551	15.00-21.00 น.	26.7	734.0	159.2	48.7	2.3	106.9
20-21 ก.พ. 2551	21.00-03.00 น.	24.0	735.2	0.0	54.9	1.5	120.0
21 ก.พ. 2551	03.00-09.00 น.	20.9	734.8	61.1	61.0	1.7	168.8
21 ก.พ. 2551	09.00-15.00 น.	25.1	735.4	643.7	48.5	1.5	48.8
21 ก.พ. 2551	15.00-21.00 น.	27.1	733.0	161.3	42.3	3.0	241.9

ตารางที่ ง-13 ข้อมูลอุตุนิยมวิทยาพื้นผิวน้ำทะเล 3 ชั่วโมง พื้นที่ศึกษาอำเภอเมือง จังหวัด
เชียงใหม่ (ชั้นล่าง)

อุตุนิยมวิทยาพื้นผิวน้ำทะเล 3 ชั่วโมง							
วันที่	เวลา	อุณหภูมิ (°C)	ความดัน บรรยากาศ (mmHg)	รังสีคง อาทิตย์ (W/m ²)	ความชื้น สัมพักธ์ (%)	ความเร็ว ลม (m/sec)	ทิศทางลม (องศา)
25 ก.พ. 2551	21.00-00.00 น.	26.0	729.7	0.0	44.2	0.3	105.8
26 ก.พ. 2551	00.00-03.00 น.	23.2	729.9	0.0	49.5	0.0	168.8
26 ก.พ. 2551	03.00-06.00 น.	20.6	730.4	0.0	53.8	0.1	247.5
26 ก.พ. 2551	06.00-09.00 น.	20.3	732.3	145.5	56.1	0.4	217.5
26 ก.พ. 2551	09.00-12.00 น.	26.6	733.0	754.7	39.8	0.3	219.4
26 ก.พ. 2551	12.00-15.00 น.	32.4	730.4	915.9	25.1	1.0	116.3
26 ก.พ. 2551	15.00-18.00 น.	34.2	728.5	348.7	20.4	1.1	121.9
26 ก.พ. 2551	18.00-21.00 น.	29.8	729.4	2.8	33.8	0.4	275.6
26 ก.พ. 2551	21.00-00.00 น.	25.9	730.7	0.0	40.8	0.1	204.4
27 ก.พ. 2551	00.00-03.00 น.	23.2	731.1	0.0	45.8	0.3	226.9
27 ก.พ. 2551	03.00-06.00 น.	21.5	731.6	0.0	52.3	0.4	260.6
27 ก.พ. 2551	06.00-09.00 น.	21.0	733.1	92.3	53.2	0.5	286.9
27 ก.พ. 2551	09.00-12.00 น.	26.3	733.8	554.4	42.9	0.6	230.6
27 ก.พ. 2551	12.00-15.00 น.	31.3	731.3	754.9	42.4	1.2	95.6
27 ก.พ. 2551	15.00-18.00 น.	27.1	731.3	136.8	58.6	3.2	75.0
27 ก.พ. 2551	18.00-21.00 น.	25.0	732.7	2.7	64.0	1.4	80.6
27 ก.พ. 2551	21.00-00.00 น.	23.9	733.8	0.0	68.9	0.6	69.4
28 ก.พ. 2551	00.00-03.00 น.	22.9	733.2	0.0	72.1	0.4	69.4
28 ก.พ. 2551	03.00-06.00 น.	21.4	732.6	0.0	78.8	0.1	133.1
28 ก.พ. 2551	06.00-09.00 น.	22.1	733.3	124.6	76.3	0.1	215.6
28 ก.พ. 2551	09.00-12.00 น.	26.4	733.4	694.7	58.2	0.6	131.3
28 ก.พ. 2551	12.00-15.00 น.	29.6	730.5	841.5	48.3	1.3	105.0
28 ก.พ. 2551	15.00-18.00 น.	31.2	728.1	312.5	44.2	1.5	116.3
28 ก.พ. 2551	18.00-21.00 น.	27.4	729.7	4.7	57.3	1.7	101.3

ตารางที่ ง-14 ข้อมูลอุตุนิยมวิทยาพื้นผิวน้ำทะเล 6 ชั่วโมง พื้นที่ศึกษาอ้าก傲เมือง จังหวัดเชียงใหม่ (ชั้นล่าง)

อุตุนิยมวิทยาพื้นผิวน้ำทะเล 6 ชั่วโมง							
วันที่	เวลา	อุณหภูมิ (°C)	ความดัน บรรยากาศ (mmHg)	รังสีคิว อาทิตย์ (W/m ²)	ความชื้น สัมพัทธ์ (%)	ความเร็ว ลม (m/sec)	ทิศทางลม (องศา)
25-26 ก.พ. 2551	21.00-03.00 น.	24.6	729.8	0.0	46.8	0.1	140.1
26 ก.พ. 2551	03.00-09.00 น.	20.4	731.3	72.8	55.0	0.2	232.5
26 ก.พ. 2551	09.00-15.00 น.	29.5	731.7	835.3	32.4	0.6	167.8
26 ก.พ. 2551	15.00-21.00 น.	32.0	729.0	175.7	27.1	0.7	198.8
26-27 ก.พ. 2551	21.00-03.00 น.	24.5	730.9	0.0	43.3	0.2	215.6
27 ก.พ. 2551	03.00-09.00 น.	21.2	732.3	46.1	52.7	0.4	273.8
27 ก.พ. 2551	09.00-15.00 น.	28.8	732.6	654.7	42.7	0.9	163.1
27 ก.พ. 2551	15.00-21.00 น.	26.0	732.0	69.8	61.3	2.3	77.8
27-28 ก.พ. 2551	21.00-03.00 น.	23.4	733.5	0.0	70.5	0.5	69.4
28 ก.พ. 2551	03.00-09.00 น.	21.8	732.9	62.3	77.5	0.1	174.4
28 ก.พ. 2551	09.00-15.00 น.	28.0	732.0	768.1	53.3	1.0	118.1
28 ก.พ. 2551	15.00-21.00 น.	29.3	728.9	158.6	50.7	1.6	108.8

ตารางที่ ง-15 ข้อมูลอุตุนิยมวิทยาพื้นผิวน้ำทะเล 3 ชั่วโมง พื้นที่ศึกษาอ้าก傲เมือง จังหวัดเชียงใหม่ (ชั้นกลาง)

อุตุนิยมวิทยาพื้นผิวน้ำทะเล 3 ชั่วโมง							
วันที่	เวลา	อุณหภูมิ (°C)	ความดัน บรรยากาศ (mmHg)	รังสีคิว อาทิตย์ (W/m ²)	ความชื้น สัมพัทธ์ (%)	ความเร็ว ลม (m/sec)	ทิศทางลม (องศา)
25 ก.พ. 2551	21.00-00.00 น.	26.0	727.0	0.0	42.8	0.8	103.1
26 ก.พ. 2551	00.00-03.00 น.	23.0	727.1	0.0	49.3	0.7	170.6
26 ก.พ. 2551	03.00-06.00 น.	20.2	727.6	0.0	53.5	0.7	247.5
26 ก.พ. 2551	06.00-09.00 น.	19.9	729.5	128.9	56.5	0.8	221.3
26 ก.พ. 2551	09.00-12.00 น.	26.2	730.5	704.8	40.0	0.4	165.0
26 ก.พ. 2551	12.00-15.00 น.	32.0	728.1	854.9	26.0	1.0	153.8
26 ก.พ. 2551	15.00-18.00 น.	34.2	726.3	373.0	20.5	0.8	174.4
26 ก.พ. 2551	18.00-21.00 น.	30.3	726.9	2.9	28.4	0.5	234.4
26 ก.พ. 2551	21.00-00.00 น.	25.6	728.2	0.0	39.6	1.1	251.3

ตารางที่ ง-15 ข้อมูลอุตุนิยมวิทยาพื้นผิวน้ำทะเล 3 ชั่วโมง พื้นที่ศึกษาอำเภอเมือง จังหวัด
เชียงใหม่ (ชั้นกลาง) (ต่อ)

อุตุนิยมวิทยาพื้นผิวน้ำทะเล 3 ชั่วโมง								
วันที่	เวลา	อุณหภูมิ (°C)	ความดัน บรรยากาศ (mmHg)	รังสีคง อาทิตย์ (W/m ²)	ความชื้น สัมพัทธ์ (%)	ความเร็ว ลม (m/sec)	ทิศทางลม (องศา)	
27 ก.พ. 2551	00.00-03.00 น.	22.8	728.4	0.0	44.9	0.8	301.9	
27 ก.พ. 2551	03.00-06.00 น.	21.0	728.8	0.0	51.6	0.9	262.5	
27 ก.พ. 2551	06.00-09.00 น.	20.6	730.4	90.0	52.2	0.8	266.3	
27 ก.พ. 2551	09.00-12.00 น.	26.2	731.3	534.0	42.8	0.3	176.3	
27 ก.พ. 2551	12.00-15.00 น.	31.2	729.1	702.2	43.4	1.0	196.9	
27 ก.พ. 2551	15.00-18.00 น.	27.1	728.7	137.3	59.7	2.4	232.5	
27 ก.พ. 2551	18.00-21.00 น.	24.9	730.1	2.7	65.8	1.2	180.0	
27 ก.พ. 2551	21.00-00.00 น.	23.8	731.2	0.0	71.6	0.9	159.4	
28 ก.พ. 2551	00.00-03.00 น.	22.9	730.6	0.0	74.5	0.7	155.6	
28 ก.พ. 2551	03.00-06.00 น.	21.3	729.9	0.0	80.1	0.1	90.0	
28 ก.พ. 2551	06.00-09.00 น.	21.9	730.7	114.4	77.6	0.0	43.0	
28 ก.พ. 2551	09.00-12.00 น.	26.2	731.1	651.4	60.4	0.7	144.4	
28 ก.พ. 2551	12.00-15.00 น.	29.7	728.2	786.1	49.6	1.1	178.1	
28 ก.พ. 2551	15.00-18.00 น.	31.2	725.6	307.2	45.9	1.4	146.3	
28 ก.พ. 2551	18.00-21.00 น.	27.2	727.1	5.1	59.8	2.0	189.4	

ตารางที่ ง-16 ข้อมูลอุตุนิยมวิทยาพื้นผิวน้ำทะเล 6 ชั่วโมง พื้นที่ศึกษาอำเภอเมือง จังหวัดเชียงใหม่
(ชั้นกลาง)

อุตุนิยมวิทยาพื้นผิวน้ำทะเล 6 ชั่วโมง								
วันที่	เวลา	อุณหภูมิ (°C)	ความดัน บรรยากาศ (mmHg)	รังสีคง อาทิตย์ (W/m ²)	ความชื้น สัมพัทธ์ (%)	ความเร็ว ลม (m/sec)	ทิศทางลม (องศา)	
25-26 ก.พ. 2551	21.00-03.00 น.	24.5	727.1	0.0	46.0	0.8	136.9	
26 ก.พ. 2551	03.00-09.00 น.	20.0	728.6	64.5	55.0	0.8	234.4	
26 ก.พ. 2551	09.00-15.00 น.	29.1	729.3	779.9	33.0	0.7	159.4	
26 ก.พ. 2551	15.00-21.00 น.	32.3	726.6	188.0	24.5	0.7	204.4	
26-27 ก.พ. 2551	21.00-03.00 น.	24.2	728.3	0.0	42.3	1.0	276.6	
27 ก.พ. 2551	03.00-09.00 น.	20.8	729.6	45.0	51.9	0.8	264.4	

ตารางที่ ง-16 ข้อมูลอุตุนิยมวิทยาพื้นผิวน้ำทะเล 6 ชั่วโมง พื้นที่ศึกษาอำเภอเมือง จังหวัดเชียงใหม่ (ชั้นกลาง) (ต่อ)

อุตุนิยมวิทยาพื้นผิวน้ำทะเล 6 ชั่วโมง							
วันที่	เวลา	อุณหภูมิ (°C)	ความดัน บรรยากาศ (mmHg)	รังสีดวง [*] อาทิตย์ (W/m ²)	ความชื้น สัมพัทธ์ (%)	ความเร็ว ลม (m/sec)	ทิศทางลม (องศา)
27 ก.พ. 2551	09.00-15.00 น.	28.7	730.2	618.1	43.1	0.7	186.6
27 ก.พ. 2551	15.00-21.00 น.	26.0	729.4	70.0	62.8	1.8	206.3
27-28 ก.พ. 2551	21.00-03.00 น.	23.4	730.9	0.0	73.0	0.8	157.5
28 ก.พ. 2551	03.00-09.00 น.	21.6	730.3	57.2	78.8	0.1	66.5
28 ก.พ. 2551	09.00-15.00 น.	28.0	729.6	718.8	55.0	0.9	161.3
28 ก.พ. 2551	15.00-21.00 น.	29.2	726.3	156.1	52.9	1.7	167.8

ตารางที่ ง-17 ข้อมูลอุตุนิยมวิทยาพื้นผิวน้ำทะเล 3 ชั่วโมง พื้นที่ศึกษาอำเภอเมือง จังหวัดเชียงใหม่ (ชั้นบน)

อุตุนิยมวิทยาพื้นผิวน้ำทะเล 3 ชั่วโมง							
วันที่	เวลา	อุณหภูมิ (°C)	ความดัน บรรยากาศ (mmHg)	รังสีดวง [*] อาทิตย์ (W/m ²)	ความชื้น สัมพัทธ์ (%)	ความเร็ว ลม (m/sec)	ทิศทางลม (องศา)
25 ก.พ. 2551	21.00-00.00 น.	26.2	724.3	0.0	42.1	1.3	101.3
26 ก.พ. 2551	00.00-03.00 น.	23.1	724.5	0.0	48.1	2.1	135.0
26 ก.พ. 2551	03.00-06.00 น.	20.0	725.0	0.0	54.2	2.2	279.4
26 ก.พ. 2551	06.00-09.00 น.	19.7	726.8	154.6	56.7	2.6	226.9
26 ก.พ. 2551	09.00-12.00 น.	25.9	727.5	773.1	42.0	0.5	58.1
26 ก.พ. 2551	12.00-15.00 น.	31.7	725.1	927.4	26.9	1.5	176.3
26 ก.พ. 2551	15.00-18.00 น.	33.7	723.3	402.8	21.4	1.6	189.4
26 ก.พ. 2551	18.00-21.00 น.	30.9	724.0	3.2	27.9	0.7	228.8
26 ก.พ. 2551	21.00-00.00 น.	26.0	725.4	0.0	38.2	2.5	30.0
27 ก.พ. 2551	00.00-03.00 น.	22.8	725.7	0.0	44.8	3.2	253.1
27 ก.พ. 2551	03.00-06.00 น.	21.0	726.1	0.0	51.8	2.1	230.6
27 ก.พ. 2551	06.00-09.00 น.	20.1	727.7	104.0	54.3	2.3	305.6
27 ก.พ. 2551	09.00-12.00 น.	26.1	728.3	595.3	43.0	0.3	217.5
27 ก.พ. 2551	12.00-15.00 น.	30.6	726.0	780.9	45.6	2.2	174.4
27 ก.พ. 2551	15.00-18.00 น.	26.5	725.7	155.7	62.2	4.6	155.6

ตารางที่ ง-17 ข้อมูลอุตุนิยมวิทยาพื้นผิวน้ำทะเลลึกราย 3 ชั่วโมง พื้นที่ศึกษาอ้าเมือง จังหวัดเชียงใหม่ (ชั้นบน) (ต่อ)

อุตุนิยมวิทยาพื้นผิวน้ำทะเลลึกราย 3 ชั่วโมง							
วันที่	เวลา	อุณหภูมิ (°C)	ความดัน บรรยากาศ (mmHg)	รังสีดวง [*] อาทิตย์ (W/m ²)	ความชื้น สัมพัทธ์ (%)	ความเร็ว ลม (m/sec)	ทิศทางลม (องศา)
27 ก.พ. 2551	18.00-21.00 น.	24.5	727.3	3.0	67.8	3.2	168.8
27 ก.พ. 2551	21.00-00.00 น.	23.7	728.4	0.0	71.9	0.8	127.5
28 ก.พ. 2551	00.00-03.00 น.	22.8	727.9	0.0	74.7	0.6	159.4
28 ก.พ. 2551	03.00-06.00 น.	21.1	727.2	0.0	81.8	0.6	120.0
28 ก.พ. 2551	06.00-09.00 น.	21.6	727.9	135.0	79.8	0.2	103.1
28 ก.พ. 2551	09.00-12.00 น.	25.7	728.0	719.6	61.8	1.0	193.1
28 ก.พ. 2551	12.00-15.00 น.	28.8	725.1	860.4	52.7	2.3	148.1
28 ก.พ. 2551	15.00-18.00 น.	30.8	722.7	335.1	47.3	1.9	170.6
28 ก.พ. 2551	18.00-21.00 น.	27.0	724.2	5.9	60.7	2.8	150.0

ตารางที่ ง-18 ข้อมูลอุตุนิยมวิทยาพื้นผิวน้ำทะเลลึกราย 6 ชั่วโมง พื้นที่ศึกษาอ้าเมือง จังหวัดเชียงใหม่ (ชั้นบน)

อุตุนิยมวิทยาพื้นผิวน้ำทะเลลึกราย 6 ชั่วโมง							
วันที่	เวลา	อุณหภูมิ (°C)	ความดัน บรรยากาศ (mmHg)	รังสีดวง [*] อาทิตย์ (W/m ²)	ความชื้น สัมพัทธ์ (%)	ความเร็ว ลม (m/sec)	ทิศทางลม (องศา)
25-26 ก.พ. 2551	21.00-03.00 น.	24.7	724.4	0.0	45.1	1.7	118.1
26 ก.พ. 2551	03.00-09.00 น.	19.8	725.9	77.3	55.4	2.4	253.1
26 ก.พ. 2551	09.00-15.00 น.	28.8	726.3	850.3	34.5	1.0	117.2
26 ก.พ. 2551	15.00-21.00 น.	32.3	723.7	203.0	24.7	1.1	209.1
26-27 ก.พ. 2551	21.00-03.00 น.	24.4	725.5	0.0	41.5	2.9	141.6
27 ก.พ. 2551	03.00-09.00 น.	20.5	726.9	52.0	53.0	2.2	268.1
27 ก.พ. 2551	09.00-15.00 น.	28.4	727.2	688.1	44.3	1.2	195.9
27 ก.พ. 2551	15.00-21.00 น.	25.5	726.5	79.3	65.0	3.9	162.2
27-28 ก.พ. 2551	21.00-03.00 น.	23.3	728.2	0.0	73.3	0.7	143.4
28 ก.พ. 2551	03.00-09.00 น.	21.4	727.6	67.5	80.8	0.4	111.6
28 ก.พ. 2551	09.00-15.00 น.	27.2	726.5	790.0	57.3	1.6	170.6
28 ก.พ. 2551	15.00-21.00 น.	28.9	723.4	170.5	54.0	2.4	160.3



ศูนย์วิทยทรัพยากร
จุฬาลงกรณ์มหาวิทยาลัย

**ตารางที่ ๑-๑ การวิเคราะห์ความแตกต่างของ TSP PM₁₀ และ สัดส่วนของ PM₁₀/TSP ตามระดับความสูง
พื้นที่ศึกษา อ้าเภอหาดใหญ่ จังหวัดสงขลา**

Multiple Comparisons

LSD						95% Confidence Interval	
Dependent Variable	(I) height	(J) height	Mean Difference (I-J)	Std. Error	Sig.	Lower Bound	Upper Bound
TSP	1	2	8.14167*	2.960	0.01	2.119	14.165
		3	-4.4	2.960	0.147	-10.423	1.623
	2	1	-8.14167*	2.960	0.01	-14.165	-2.119
		3	-12.54167*	2.960	0	-18.565	-6.519
	3	1	4.4	2.960	0.147	-1.623	10.423
		2	12.54167*	2.960	0	6.519	18.565
PM ₁₀	1	2	1.05	3.770	0.782	-6.621	8.721
		3	-3.6	3.770	0.347	-11.271	4.071
	2	1	-1.05	3.770	0.782	-8.721	6.621
		3	-4.65	3.770	0.226	-12.321	3.021
	3	1	3.6	3.770	0.347	-4.071	11.271
		2	4.65	3.770	0.226	-3.021	12.321
PM ₁₀ /TSP	1	2	-.20833*	0.086	0.021	-0.383	-0.034
		3	0.0225	0.086	0.795	-0.152	0.197
	2	1	.20833*	0.086	0.021	0.034	0.383
		3	.23083*	0.086	0.011	0.056	0.406
	3	1	-0.0225	0.086	0.795	-0.197	0.152
		2	-.23083*	0.086	0.011	-0.406	-0.056

*. The mean difference is significant at the 0.05 level.

หมายเหตุ: 1: ขั้นล่าง 2: ขั้นกลาง 3: ขั้นบน

ตารางที่ ๑-๒ การวิเคราะห์ความแตกต่างของ TSP PM₁₀ และ สัดส่วนของ PM₁₀/TSP ตามระดับความสูง
พื้นที่ศึกษา เขตราชเทวี กรุงเทพมหานคร

Multiple Comparisons

LSD						95% Confidence Interval	
Dependent Variable	(I) height	(J) height	Mean Difference (I-J)	Std. Error	Sig.	Lower Bound	Upper Bound
TSP	1	2	12.53333	7.991	0.126	-3.725	28.791
		3	28.03333*	7.991	0.001	11.775	44.291
	2	1	-12.53333	7.991	0.126	-28.791	3.725
		3	15.5	7.991	0.061	-0.758	31.758
	3	1	-28.03333*	7.991	0.001	-44.291	-11.775
		2	-15.5	7.991	0.061	-31.758	0.758
PM ₁₀	1	2	5.63333	6.505	0.393	-7.602	18.868
		3	8.89167	6.505	0.181	-4.343	22.127
	2	1	-5.63333	6.505	0.393	-18.868	7.602
		3	3.25833	6.505	0.620	-9.977	16.493
	3	1	-8.89167	6.505	0.181	-22.127	4.343
		2	-3.25833	6.505	0.620	-16.493	9.977
PM ₁₀ /TSP	1	2	-0.03667	0.040	0.362	-0.117	0.044
		3	-.12917*	0.040	0.003	-0.210	-0.049
	2	1	0.03667	0.040	0.362	-0.044	0.117
		3	-.09250*	0.040	0.026	-0.173	-0.012
	3	1	.12917*	0.040	0.003	0.049	0.210
		2	.09250*	0.040	0.026	0.012	0.173

*. The mean difference is significant at the 0.05 level.

หมายเหตุ: 1: ชั้นล่าง 2: ชั้นกลาง 3: ชั้นบน

ตารางที่ ๑-๓ การวิเคราะห์ความแตกต่างของ TSP PM₁₀ และสัดส่วนของ PM₁₀/TSP ตามระดับความสูง
พื้นที่ศึกษาอ้าเกอเมือง จังหวัดเชียงใหม่

Multiple Comparisons

LSD						95% Confidence Interval	
Dependent Variable	(I) height	(J) height	Mean Difference (I-J)	Std. Error	Sig.	Lower Bound	Upper Bound
TSP	1	2	-7.28182	8.597	0.404	-24.840	10.276
		3	14.35455	8.597	0.105	-3.204	31.913
	2	1	7.28182	8.597	0.404	-10.276	24.840
		3	21.63636*	8.597	0.017	4.078	39.195
	3	1	-14.35455	8.597	0.105	-31.913	3.204
		2	-21.63636*	8.597	0.017	-39.195	-4.078
PM ₁₀	1	2	-14.94545	10.976	0.183	-37.361	7.470
		3	1.08182	10.976	0.922	-21.334	23.498
	2	1	14.94545	10.976	0.183	-7.470	37.361
		3	16.02727	10.976	0.155	-6.388	38.443
	3	1	-1.08182	10.976	0.922	-23.498	21.334
		2	-16.02727	10.976	0.155	-38.443	6.388
PM ₁₀ /TSP	1	2	-0.07636	0.051	0.143	-0.180	0.027
		3	-0.13727*	0.051	0.011	-0.241	-0.034
	2	1	0.07636	0.051	0.143	-0.027	0.180
		3	-0.06091	0.051	0.239	-0.165	0.043
	3	1	0.13727*	0.051	0.011	0.034	0.241
		2	0.06091	0.051	0.239	-0.043	0.165

*. The mean difference is significant at the 0.05 level.

หมายเหตุ: 1: ขั้นล่าง 2: ขั้นกลาง 3: ขั้นบน

จุฬาลงกรณ์มหาวิทยาลัย

ตารางที่ ๔-๔ ค่าสัมประสิทธิ์สแตนด์พันธ์ (R^2) ระหว่าง TSP และ PM_{10} ตามระดับความสูง พื้นที่ศึกษาอำเภอ
หาดใหญ่ จังหวัดสงขลา

1) ขั้นล่าง

Model Summary

Model	R	R Square	Adjusted R Square	Std. Error of the Estimate
1	.344a	0.118	0.03	8.9342

a. Predictors: (Constant), tsp

ANOVA(b)

Model		Sum of Squares	df	Mean Square	F	Sig.
1	Regression	107.158	1	107.158	1.342	.274a
	Residual	798.199	10	79.82		
	Total	905.357	11			

a. Predictors: (Constant), tsp

b. Dependent Variable: pm10

2) ขั้นตอน

Model Summary

Model	R	R Square	Adjusted R Square	Std. Error of the Estimate
1	.283a	0.08	-0	4.54519

a. Predictors: (Constant), tsp

ANOVA(b)

Model		Sum of Squares	df	Mean Square	F	Sig.
1	Regression	18.019	1	18.019	0.872	.372a
	Residual	206.587	10	20.659		
	Total	224.607	11			

a. Predictors: (Constant), tsp

b. Dependent Variable: pm10

ตารางที่ ๑-๔ ค่าสัมประสิทธิ์สหสัมพันธ์ (R^2) ระหว่าง TSP และ PM_{10} ตามระดับความสูง พื้นที่ศึกษาอีก
ภาคในญี่ปุ่น จังหวัดสงขลา (ต่อ)

3) ขั้นบัน

Model Summary

Model	R	R Square	Adjusted R Square	Std. Error of the Estimate
1	.731a	0.534	0.49	8.86147

a. Predictors: (Constant), tsp

ANOVA(b)

Model		Sum of Squares	df	Mean Square	F	Sig.
1	Regression	899.601	1	899.601	11.456	.007a
	Residual	785.256	10	78.526		
	Total	1684.857	11			

a. Predictors: (Constant), tsp

b. Dependent Variable: pm10

ตารางที่ ๔-๕ ค่าสัมประสิทธิ์ทางสัมพันธ์ (R^2) ระหว่าง TSP และ PM_{10} ตามระดับความสูง พื้นที่ศึกษา
เขตราชเทวี กรุงเทพมหานคร

1) ขั้นถ่าง

Model Summary

Model	R	R Square	Adjusted R Square	Std. Error of the Estimate
1	.491a	0.241	0.165	18.40844

a. Predictors: (Constant), tsp

ANOVA(b)

Model		Sum of Squares	df	Mean Square	F	Sig.
1	Regression	1074.44	1	1074.44	3.171	.105a
	Residual	3388.707	10	338.871		
	Total	4463.147	11			

a. Predictors: (Constant), tsp

b. Dependent Variable: pm10

ตารางที่ ๔-๕ ค่าสัมประสิทธิ์ทางสัมพันธ์ (R^2) ระหว่าง TSP และ PM_{10} ตามระดับความสูง พื้นที่ศึกษา เขตราชเทวี กรุงเทพมหานคร (ต่อ)

2) ขั้นตอน

Model Summary

Model	R	R Square	Adjusted R Square	Std. Error of the Estimate
1	.826a	0.682	0.65	9.85443

a. Predictors: (Constant), tsp

ANOVA(b)

Model		Sum of Squares	df	Mean Square	F	Sig.
1	Regression	2082.21	1	2082.21	21.442	.001a
	Residual	971.097	10	97.11		
	Total	3053.307	11			

a. Predictors: (Constant), tsp

b. Dependent Variable: pm10

3) ขั้นบน

Model Summary

Model	R	R Square	Adjusted R Square	Std. Error of the Estimate
1	.771a	0.594	0.553	5.91849

a. Predictors: (Constant), tsp

ANOVA(b)

Model		Sum of Squares	df	Mean Square	F	Sig.
1	Regression	512.077	1	512.077	14.619	.003a
	Residual	350.286	10	35.029		
	Total	862.362	11			

a. Predictors: (Constant), tsp

b. Dependent Variable: pm10

ตารางที่ ๑-๖ ค่าสัมประสิทธิ์สหสัมพันธ์ (R^2) ระหว่าง TSP และ PM_{10} ตามระดับความสูง พื้นที่ศึกษาอำเภอเมือง จังหวัดเชียงใหม่

1) ขั้นล่าง

Model Summary

Model	R	R Square	Adjusted R Square	Std. Error of the Estimate
1	.904a	0.818	0.797	11.6484

a. Predictors: (Constant), tsp

ANOVA(b)

Model		Sum of Squares	df	Mean Square	F	Sig.
1	Regression	5470.181	1	5470.181	40.315	.000a
	Residual	1221.168	9	135.685		
	Total	6691.349	10			

a. Predictors: (Constant), tsp

b. Dependent Variable: pm10

2) ທິດຕາວຸດ

Model Summary

Model	R	R Square	Adjusted R Square	Std. Error of the Estimate
1	.916a	0.839	0.821	10.62861

a. Predictors: (Constant), tsp

ANOVA(b)

Model		Sum of Squares	df	Mean Square	F	Sig.
1	Regression	5280.438	1	5280.438	46.743	.000a
	Residual	1016.707	9	112.967		
	Total	6297.145	10			

a. Predictors: (Constant), tsp

b. Dependent Variable: pm10

ตารางที่ ๑-๖ ค่าสัมประสิทธิ์สหสัมพันธ์ (r^2) ระหว่าง TSP และ PM_{10} ตามระดับความสูง พื้นที่ศึกษาอีก座
เมือง จังหวัดเชียงใหม่ (ต่อ)

3) ขั้นตอน

Model Summary

Model	R	R Square	Adjusted R Square	Std. Error of the Estimate
1	.892a	0.795	0.773	12.51257
a. Predictors: (Constant), tsp				

ANOVA(b)

Model		Sum of Squares	df	Mean Square	F	Sig.
1	Regression	5479.809	1	5479.809	35	.000a
	Residual	1409.08	9	156.564		
	Total	6888.889	10			
a. Predictors: (Constant), tsp						
b. Dependent Variable: pm10						

ศูนย์วิทยทรัพยากร
จุฬาลงกรณ์มหาวิทยาลัย

ตารางที่ ๑-๗ การวิเคราะห์ความสัมพันธ์ของ TSP PM₁₀ และสัดส่วนของ PM₁₀/TSP กับระดับความสูง

		อำเภอหาดใหญ่ จังหวัดสงขลา				เขตราชเทวี กรุงเทพมหานคร				อำเภอเมือง จังหวัดเชียงใหม่			
		Height	TSP	PM ₁₀	PM ₁₀ /TSP	Height	TSP	PM ₁₀	PM ₁₀ /TSP	Height	TSP	PM ₁₀	PM ₁₀ /TSP
Height	Pearson Correlation	1	0.207	0.162	-0.041	1	-.521**	-0.231	.489**	1	-0.276	-0.017	.443**
	Sig. (2-tailed)		0.225	0.345	0.814		0.001	0.175	0.002		0.12	0.924	0.01
N		36	36	36	36	36	36	36	36	33	33	33	33
TSP	Pearson Correlation	0.207	1	.506**	-.480**	-.521**	1	.660**	-.634**	-0.276	1	.880**	0.113
	Sig. (2-tailed)	0.225		0.002	0.003	0.001		0	0	0.12		0	0.532
N		36	36	36	36	36	36	36	36	33	33	33	33
PM ₁₀	Pearson Correlation	0.162	.506**	1	.490**	-0.231	.660**	1	0.146	-0.017	.880**	1	.567**
	Sig. (2-tailed)	0.345	0.002		0.002	0.175	0		0.396	0.924	0		0.001
N		36	36	36	36	36	36	36	36	33	33	33	33
PM ₁₀ /TSP	Pearson Correlation	-0.041	-.480**	.490**	1	.489**	-.634**	0.146	1	.443**	0.113	.567**	1
	Sig. (2-tailed)	0.814	0.003	0.002		0.002	0	0.396		0.01	0.532	0.001	
N		36	36	36	36	36	36	36	36	33	33	33	33

**, Correlation is significant at the 0.01 level (2-tailed).

ตารางที่ ๘-๘ การวิเคราะห์ความแตกต่างขององค์ประกอบของทางเคมีใน PM_{10} ตามระดับความสูง พื้นที่ศึกษา
เขตราชเทวี กรุงเทพมหานคร

Multiple Comparisons

LSD						95% Confidence Interval	
Dependent Variable	(I) height	(J) height	Mean Difference (I-J)	Std. Error	Sig.	Lower Bound	Upper Bound
OC	1	2	-3.71667*	1.33345	.007	-6.3768	-1.0565
		3	-3.79167*	1.33345	.006	-6.4518	-1.1315
	2	1	3.71667*	1.33345	.007	1.0565	6.3768
		3	.07500	1.33345	.955	-2.7352	2.5852
	3	1	3.79167*	1.33345	.006	1.1315	6.4518
		2	.07500	1.33345	.955	-2.5852	2.7352
EC	1	2	-0.49167	0.41586	0.241	-1.3213	0.338
		3	0.6875	0.41586	0.103	-0.1421	1.5171
	2	1	0.49167	0.41586	0.241	-0.338	1.3213
		3	1.17917*	0.41586	0.006	0.3495	2.0088
	3	1	-0.6875	0.41586	0.103	-1.5171	0.1421
		2	-1.17917*	0.41586	0.006	-2.0088	-0.3495
Na	1	2	0.025	0.06572	0.705	-0.1061	0.1561
		3	-0.02917	0.06572	0.659	-0.1603	0.1019
	2	1	-0.025	0.06572	0.705	-0.1561	0.1061
		3	-0.05417	0.06572	0.413	-0.1853	0.0769
	3	1	0.02917	0.06572	0.659	-0.1019	0.1603
		2	0.05417	0.06572	0.413	-0.0769	0.1853
NH_4	1	2	-0.2375	0.1441	0.104	-0.525	0.05
		3	-.48333*	0.1441	0.001	-0.7708	-0.1959
	2	1	0.2375	0.1441	0.104	-0.05	0.525
		3	-0.24583	0.1441	0.093	-0.5333	0.0416
	3	1	.48333*	0.1441	0.001	0.1959	0.7708
		2	0.24583	0.1441	0.093	-0.0416	0.5333
K	1	2	-0.0933	0.10148	0.361	-0.2958	0.1092
		3	0.06504	0.10148	0.524	-0.1375	0.2675
	2	1	0.0933	0.10148	0.361	-0.1092	0.2958
		3	0.15833	0.10039	0.119	-0.042	0.3587
	3	1	-0.06504	0.10148	0.524	-0.2675	0.1375
		2	-0.15833	0.10039	0.119	-0.3587	0.042

ตารางที่ ๔-๘ การวิเคราะห์ความแตกต่างขององค์ประกอบทางเคมีใน PM_{10} ตามระดับความสูง พื้นที่ศึกษา
เขตราชเทวี กรุงเทพมหานคร (ต่อ)

Multiple Comparisons

LSD						95% Confidence Interval	
Dependent Variable	(I) height	(J) height	Mean Difference (I-J)	Std. Error	Sig.	Lower Bound	Upper Bound
Ca^{+}	1	2	0.02917	0.08839	0.742	-0.1472	0.2055
		3	0.1	0.08744	0.257	-0.0745	0.2745
	2	1	-0.02917	0.08839	0.742	-0.2055	0.1472
		3	0.07083	0.08839	0.426	-0.1055	0.2472
	3	1	-0.1	0.08744	0.257	-0.2745	0.0745
		2	-0.07083	0.08839	0.426	-0.2472	0.1055
Cl^{-}	1	2	0.0625	0.07075	0.38	-0.0786	0.2036
		3	0.10833	0.07075	0.13	-0.0328	0.2495
	2	1	-0.0625	0.07075	0.38	-0.2036	0.0786
		3	0.04583	0.07075	0.519	-0.0953	0.187
	3	1	-0.10833	0.07075	0.13	-0.2495	0.0328
		2	-0.04583	0.07075	0.519	-0.187	0.0953
NO_3^{-}	1	2	-0.29167	0.49727	0.559	-1.2837	0.7004
		3	0.05417	0.49727	0.914	-0.9379	1.0462
	2	1	0.29167	0.49727	0.559	-0.7004	1.2837
		3	0.34583	0.49727	0.489	-0.6462	1.3379
	3	1	-0.05417	0.49727	0.914	-1.0462	0.9379
		2	-0.34583	0.49727	0.489	-1.3379	0.6462
SO_4^{2-}	1	2	-1.55000*	0.62626	0.016	-2.7994	-0.3006
		3	-1.17083	0.62626	0.066	-2.4202	0.0785
	2	1	1.55000*	0.62626	0.016	0.3006	2.7994
		3	0.37917	0.62626	0.547	-0.8702	1.6285
	3	1	1.17083	0.62626	0.066	-0.0785	-2.4202
		2	-0.37917	0.62626	0.547	-1.6285	0.8702
Other species	1	2	6.29583*	2.04851	0.003	2.2092	10.3825
		3	4.51667*	2.04851	0.031	0.43	8.6033
	2	1	-6.29583*	2.04851	0.003	-10.3825	-2.2092
		3	-1.77917	2.04851	0.388	-5.8658	2.3075
	3	1	-4.51667*	2.04851	0.031	-8.6033	-0.43
		2	1.77917	2.04851	0.388	-2.3075	5.8658

*. The mean difference is significant at the 0.05 level.

ตารางที่ ๔-๙ การวิเคราะห์ความแตกต่างขององค์ประกอบของการบัน
ความสูง พื้นที่ศึกษา เขตราชเทวี กรุงเทพมหานคร

Multiple Comparisons

LSD					95% Confidence Interval		
Dependent Variable	(I) height	(J) height	Mean Difference (I-J)	Std. Error	Sig.	Lower Bound	Upper Bound
TC	1	2	-2.82	2.57015	0.276	-7.9473	2.3073
		3	-1.305	2.57015	0.613	-6.4323	3.8223
	2	1	2.82	2.57015	0.276	-2.3073	7.9473
		3	1.515	2.57015	0.557	-3.6123	6.6423
	3	1	1.305	2.57015	0.613	-3.8223	6.4323
		2	-1.515	2.57015	0.557	-6.6423	3.6123
OC	1	2	-2.775	2.03189	0.176	-6.8285	1.2785
		3	-2.605	2.03189	0.204	-6.6585	1.4485
	2	1	2.775	2.03189	0.176	-1.2785	6.8285
		3	0.17	2.03189	0.934	-3.8835	4.2235
	3	1	2.605	2.03189	0.204	-1.4485	6.6585
		2	-0.17	2.03189	0.934	-4.2235	3.8835
EC	1	2	-0.04667	0.65654	0.944	-1.3564	1.2631
		3	1.29667	0.65654	0.052	-0.0131	2.6064
	2	1	0.04667	0.65654	0.944	-1.2631	1.3564
		3	1.34333*	0.65654	0.045	0.0336	2.6531
	3	1	-1.29667	0.65654	0.052	-2.6064	0.0131
		2	-1.34333*	0.65654	0.045	-2.6531	-0.0336
OC1	1	2	0.16375	0.29918	0.586	-0.4331	0.7606
		3	0.49208	0.29918	0.105	-0.1048	1.0889
	2	1	-0.16375	0.29918	0.586	-0.7606	0.4331
		3	0.32833	0.29918	0.276	-0.2685	0.9252
	3	1	-0.49208	0.29918	0.105	-1.0889	0.1048
		2	-0.32833	0.29918	0.276	-0.9252	0.2685
OC2	1	2	-0.70042	0.44624	0.121	-1.5906	0.1898
		3	-0.34875	0.44624	0.437	-1.239	0.5415
	2	1	0.70042	0.44624	0.121	-0.1898	1.5906
		3	0.35167	0.44624	0.433	-0.5386	1.2419
	3	1	0.34875	0.44624	0.437	-0.5415	1.239
		2	-0.35167	0.44624	0.433	-1.2419	0.5386

**ตารางที่ ๙-๙ การวิเคราะห์ความแตกต่างขององค์ประกอบในการบอน และ สัดส่วนของ OC/EC ตามระดับ
ความสูง พื้นที่ศึกษา เขตราชเทวี กรุงเทพมหานคร (ต่อ)**

Multiple Comparisons

LSD					95% Confidence Interval		
Dependent Variable	(I) height	(J) height	Mean Difference (I-J)	Std. Error	Sig.	Lower Bound	Upper Bound
OC3	1	2	-1.19833	0.8371	0.157	-2.8683	0.4716
		3	-1.6625	0.8371	0.051	-3.3325	0.0075
	2	1	1.19833	0.8371	0.157	-0.4716	2.8683
		3	-0.46417	0.8371	0.581	-2.1341	1.2058
	3	1	1.6625	0.8371	0.051	-0.0075	3.3325
		2	0.46417	0.8371	0.581	-1.2058	2.1341
OC4	1	2	-0.29208	0.49582	0.558	-1.2812	0.6971
		3	0.07125	0.49582	0.886	-0.9179	1.0604
	2	1	0.29208	0.49582	0.558	-0.6971	1.2812
		3	0.36333	0.49582	0.466	-0.6258	1.3525
	3	1	-0.07125	0.49582	0.886	-1.0604	0.9179
		2	-0.36333	0.49582	0.466	-1.3525	0.6258
EC1	1	2	-0.35125	0.75442	0.643	-1.8563	1.1538
		3	0.48792	0.75442	0.52	-1.0171	1.9929
	2	1	0.35125	0.75442	0.643	-1.1538	1.8563
		3	0.83917	0.75442	0.27	-0.6659	2.3442
	3	1	-0.48792	0.75442	0.52	-1.9929	1.0171
		2	-0.83917	0.75442	0.27	-2.3442	0.6659
EC2	1	2	-0.07542	0.09075	0.409	-0.2565	0.1056
		3	-0.05125	0.09075	0.574	-0.2323	0.1298
	2	1	0.07542	0.09075	0.409	-0.1056	0.2565
		3	0.02417	0.09075	0.791	-0.1569	0.2052
	3	1	0.05125	0.09075	0.574	-0.1298	0.2323
		2	-0.02417	0.09075	0.791	-0.2052	0.1569
EC3	1	2	-0.36792*	0.08102	0	-0.5296	-0.2063
		3	-0.29333*	0.08102	0.001	-0.455	-0.1317
	2	1	0.36792*	0.08102	0	0.2063	0.5296
		3	0.07458	0.08102	0.361	-0.0871	0.2362
	3	1	0.29333*	0.08102	0.001	0.1317	0.455
		2	-0.07458	0.08102	0.361	-0.2362	0.0871

ตารางที่ ๙-๙ การวิเคราะห์ความแตกต่างขององค์ประกอบบนภาร์บน และ สัดส่วนของ OC/EC ตามระดับความสูง พื้นที่ศึกษา เขตราชเทวี กรุงเทพมหานคร (ต่อ)

Multiple Comparisons

LSD					95% Confidence Interval		
Dependent Variable	(I) height	(J) height	Mean Difference (I-J)	Std. Error	Sig.	Lower Bound	Upper Bound
OC/EC	1	2	-0.3375	0.20695	0.107	-0.7503	0.0753
		3	-.94375*	0.20695	0	-1.3566	-0.5309
	2	1	0.3375	0.20695	0.107	-0.0753	0.7503
		3	-.60625*	0.20695	0.005	-1.0191	-0.1934
	3	1	.94375*	0.20695	0	0.5309	1.3566
		2	.60625*	0.20695	0.005	0.1934	1.0191

*. The mean difference is significant at the 0.05 level.

ตารางที่ จ-10 ค่าสัมประสิทธิ์สหสัมพันธ์ (R^2) ระหว่าง OC และ EC ตามระดับความสูง พื้นที่ศึกษา เขตราชเทวี กรุงเทพมหานคร

1) ขั้นล่าง

Model Summary

Model	R	R Square	Adjusted R Square	Std. Error of the Estimate
1	.810a	0.656	0.641	1.487

a. Predictors: (Constant), tsp

ANOVA(b)

Model		Sum of Squares	df	Mean Square	F	Sig.
1	Regression	92.877	1	92.877	42.003	.000a
	Residual	48.646	22	2.211		
	Total	141.522	23			

a. Predictors: (Constant), tsp

b. Dependent Variable: pm10

ตารางที่ ๙-๑๐ ค่าสัมประสิทธิ์สหสัมพันธ์ (R^2) ระหว่าง OC และ EC ตามระดับความสูง พื้นที่ศึกษา เขต
ราชเทวี กรุงเทพมหานคร (ต่อ)

2) ขั้นกลาง

Model Summary

Model	R	R Square	Adjusted R Square	Std. Error of the Estimate
1	.916a	.791a	0.626	0.609

a. Predictors: (Constant), tsp

ANOVA(b)

Model		Sum of Squares	df	Mean Square	F	Sig.
1	Regression	95.908	1	95.908	36.768	.000a
	Residual	57.386	22	2.608		
	Total	153.294	23			

a. Predictors: (Constant), tsp

b. Dependent Variable: pm10

မျှန်

Model Summary

Model	R	R Square	Adjusted R Square	Std. Error of the Estimate
I	.664a	0.441	0.416	1.25586

a. Predictors: (Constant), tsp

ANOVA(b)

Model		Sum of Squares	df	Mean Square	F	Sig.
1	Regression	27.388	1	27.388	17.365	.000a
	Residual	34.698	22	1.577		
	Total	62.086	23			

a. Predictors: (Constant), tsp

b. Dependent Variable: pm10

ตารางที่ ๑-๑๑ การวิเคราะห์ความแตกต่างของร้อยละ OC และ EC ใน TC (%) ตามระดับความสูง พื้นที่
ศึกษา เขตราชเทวี กรุงเทพมหานคร

Multiple Comparisons LSD						95% Confidence Interval	
Dependent Variable	(I) height	(J) height	Mean Difference (I-J)	Std. Error	Sig.	Lower Bound	Upper Bound
OC	1	2	-1.47917	0.86241	0.091	-3.1996	0.2413
		3	-3.96667*	0.86241	0	-5.6871	-2.2462
	2	1	1.47917	0.86241	0.091	-0.2413	3.1996
		3	-2.48750*	0.86241	0.005	-4.208	-0.767
	3	1	3.96667*	0.86241	0	2.2462	5.6871
		2	2.48750*	0.86241	0.005	0.767	4.208
EC	1	2	1.47917	0.86241	0.091	-0.2413	3.1996
		3	3.96667*	0.86241	0	2.2462	5.6871
	2	1	-1.47917	0.86241	0.091	-3.1996	0.2413
		3	2.48750*	0.86241	0.005	0.767	4.208
	3	1	-3.96667*	0.86241	0	-5.6871	-2.2462
		2	-2.48750*	0.86241	0.005	-4.208	-0.767

*. The mean difference is significant at the 0.05 level.

ศูนย์วิทยทรัพยากร
จุฬาลงกรณ์มหาวิทยาลัย

ตารางที่ ๑-๑๒ การวิเคราะห์ความสัมพันธ์ระหว่างสัดส่วนของ PM_{10}/TSP กับลักษณะทางดุคุนิบมวิทยา พื้นที่ศึกษา

	PM_{10}/TSP	อำเภอหาดใหญ่ จังหวัดสงขลา			เขตราชเทวี กรุงเทพมหานคร			อำเภอเมือง จังหวัดเชียงใหม่		
		ชั้นล่าง	ชั้นกลาง	ชั้นบน	ชั้นล่าง	ชั้นกลาง	ชั้นบน	ชั้นล่าง	ชั้นกลาง	ชั้นบน
temp	Pearson Correlation	0.036	-0.152	-0.117	-0.265	-0.392	-0.253	-0.456	-0.248	-0.185
	Sig. (2-tailed)	0.913	0.638	0.717	0.404	0.208	0.427	0.136	0.437	0.566
	N	12	12	12	12	12	12	12	12	12
pressure	Pearson Correlation	-0.462	-0.431	0.185	0.368	.580*	0.568	0.127	-0.014	-0.157
	Sig. (2-tailed)	0.131	0.162	0.564	0.24	0.048	0.054	0.693	0.966	0.626
	N	12	12	12	12	12	12	12	12	12
sr	Pearson Correlation	-0.301	-0.093	0.067	-0.182	-0.177	0.168	-0.469	-0.034	-0.224
	Sig. (2-tailed)	0.341	0.774	0.837	0.572	0.582	0.601	0.124	0.916	0.484
	N	12	12	12	12	12	12	12	12	12
rh	Pearson Correlation	-0.123	0.454	-0.118	.669*	0.406	0.233	-0.019	0.091	-0.318
	Sig. (2-tailed)	0.702	0.138	0.714	0.017	0.191	0.466	0.954	0.779	0.314
	N	12	12	12	12	12	12	12	12	12
ws	Pearson Correlation	0.001	0.211	-0.358	-0.393	0.321	-0.402	-0.19	-0.362	-0.468
	Sig. (2-tailed)	0.997	0.51	0.254	0.207	0.309	0.196	0.555	0.248	0.125
	N	12	12	12	12	12	12	12	12	12

**. Correlation is significant at the 0.01 level (2-tailed).

*. Correlation is significant at the 0.05 level (2-tailed).

ตารางที่ ๘-๑๓ การวิเคราะห์ความสัมพันธ์ระหว่าง TSP PM₁₀ และ สัดส่วนของ PM₁₀/TSP กับความสูงผ่าน (MH)

		อำเภอหาดใหญ่ จังหวัดสงขลา				เขตราชเทวี กรุงเทพมหานคร				อำเภอเมือง จังหวัดเชียงใหม่			
		PM ₁₀ /TSP	MH	PM ₁₀	TSP	PM ₁₀ /TSP	MH	PM ₁₀	TSP	PM ₁₀ /TSP	MH	PM ₁₀	TSP
PM ₁₀ /TSP	Pearson Correlation	1	0.256	.490**	-.480**	1	-0.223	0.276	-.585**	0.443	0.000	-0.017	-0.276
	Sig. (2-tailed)		0.263	0.002	0.003		0.264	0.103	0	0.010	1	0.924	0.120
N		36	21	36	36	36	27	36	36	33	27	33	33
MH	Pearson Correlation	0.256	1	0.231	-0.033	-0.223	1	.655**	.591**	1	-0.076	0.568	0.115
	Sig. (2-tailed)	0.263		0.313	0.888	0.264		0	0.001		0.705	0.001	0.525
N		21	21	21	21	27	27	27	27	33	27	33	33
PM ₁₀	Pearson Correlation	.490**	0.231	1	.506**	0.276	.655**	1	.605**	-0.076	1	-0.132	-0.122
	Sig. (2-tailed)	0.002	0.313		0.002	0.103	0		0	0.705		0.510	0.545
N		36	21	36	36	36	27	36	36	27	27	27	27
TSP	Pearson Correlation	-.480**	-0.033	.506**	1	-.585**	.591**	.605**	1	0.568	-0.132	1	0.880
	Sig. (2-tailed)	0.003	0.888	0.002		0	0.001	0	0.001	0.001	0.510		0.000
N		36	21	36	36	36	27	36	33	33	27	33	33

**, Correlation is significant at the 0.01 level (2-tailed).

ศูนย์วิทยทรัพยากร
จุฬาลงกรณ์มหาวิทยาลัย

ตารางที่ ๑-๑๔ การวิเคราะห์ความสัมพันธ์ระหว่าง สัดส่วนของ OC/EC กับลักษณะทางอุตุนิยมวิทยา พื้นที่
ศึกษา เขตราชเทวี กรุงเทพมหานคร

		OC/EC		
		ชั้นล่าง	ชั้นกลาง	ชั้นบน
อุณหภูมิ	Pearson Correlation	.679**	.559**	.413*
	Sig. (2-tailed)	0	0.005	0.045
	N	24	24	24
ความคันบัตรยาการ	Pearson Correlation	-.613**	-0.387	-0.23
	Sig. (2-tailed)	0.001	0.062	0.279
	N	24	24	24
รังสีดวงอาทิตย์	Pearson Correlation	.447*	0.293	0.072
	Sig. (2-tailed)	0.028	0.165	0.737
	N	24	24	24
ความชื้นสัมพัทธ์	Pearson Correlation	-.699**	-.637**	-.455*
	Sig. (2-tailed)	0	0.001	0.025
	N	24	24	24
ความเร็วลม	Pearson Correlation	0.263	0.318	0.315
	Sig. (2-tailed)	0.215	0.13	0.133
	N	24	24	24
ความชุ่งฝน	Pearson Correlation	.659**	0.395	0.363
	Sig. (2-tailed)	0.008	0.145	0.184
	N	15	15	15

**. Correlation is significant at the 0.01 level (2-tailed).

*. Correlation is significant at the 0.05 level (2-tailed).

ประวัติผู้เขียนวิทยานิพนธ์

นางสาวสุวพร นฤทาสุวรรณ เกิดเมื่อวันที่ 4 มกราคม พ.ศ. 2518 อำเภอเมือง จังหวัด นครปฐม สำเร็จการศึกษาระดับมัธยมศึกษาตอนต้นและตอนปลายจากโรงเรียนราชินีบูรณะ อำเภอ เมือง จังหวัดนครปฐม สำเร็จการศึกษาระดับปริญญาวิทยาศาสตร์บัณฑิต สาขาวิทยาศาสตร์ สิ่งแวดล้อม คณะวิทยาศาสตร์ มหาวิทยาลัยศิลปากร ในปีการศึกษา 2539 ประสบการณ์ทำงาน เจ้าหน้าที่เคมี บริษัทเทสท์เทค จำกัด ผู้ช่วยผู้จัดการฝ่ายห้องปฏิบัติการวิเคราะห์ บริษัทญี่ปุ่นเต็ค แอนนาลิสต์ แอนด์ เอ็นจิเนียริ่ง คอนซัลแทนท์ จำกัด และเข้าศึกษาต่อในระดับบัณฑิตศึกษา หลักสูตรสาขาวิทยาศาสตร์สิ่งแวดล้อม จุฬาลงกรณ์มหาวิทยาลัย ในปีการศึกษา 2549



**ศูนย์วิทยทรัพยากร
จุฬาลงกรณ์มหาวิทยาลัย**